

**Departament de Prehistòria, Història Antiga i Arqueologia  
Facultat de Geografia i Història  
UNIVERSITAT DE BARCELONA**

**LA CARACTERITZACIÓ ARQUEOMÈTRICA  
de la ceràmica de Terra Sigillata Hispanica Avançada de la  
ciutat romana de Clunia i la seva contrastació amb la Terra  
Sigillata Hispanica d'un centre productor contemporani, el  
taller d'Abeilla**

**TESIS DOCTORAL presentada per  
Jaume Buxeda i Garrigós  
per a optar al títol de doctor en  
Geografia i Història (Secció de  
Prehistòria, Història Antiga i  
Arqueologia)  
Setembre de 1994**

**Codirigida per:**

**Dr. Pere de Palol i Salellas  
Professor Emèrit d'Arqueologia**

**Dr. Josep M. Gurt i Esparraguera  
Catedràtic d'Arqueologia Cristiana i  
Antiguitat Tarracona**

**Programa de Doctorat 912 (bienni 89-91): Economia i societat en el Món Antic  
Programa de Doctorat 014 (bienni 91-93): Estudi del territori a la Prehistòria i Món Antic**

S 0025 (ECER)

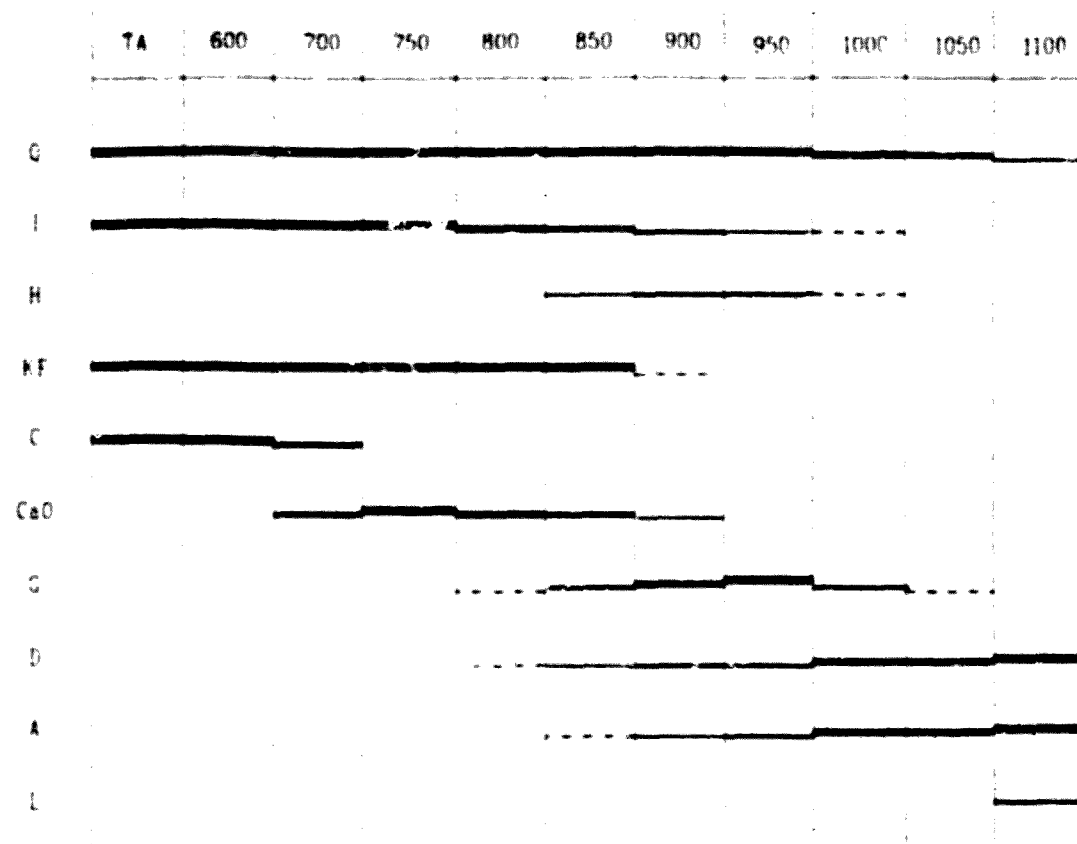
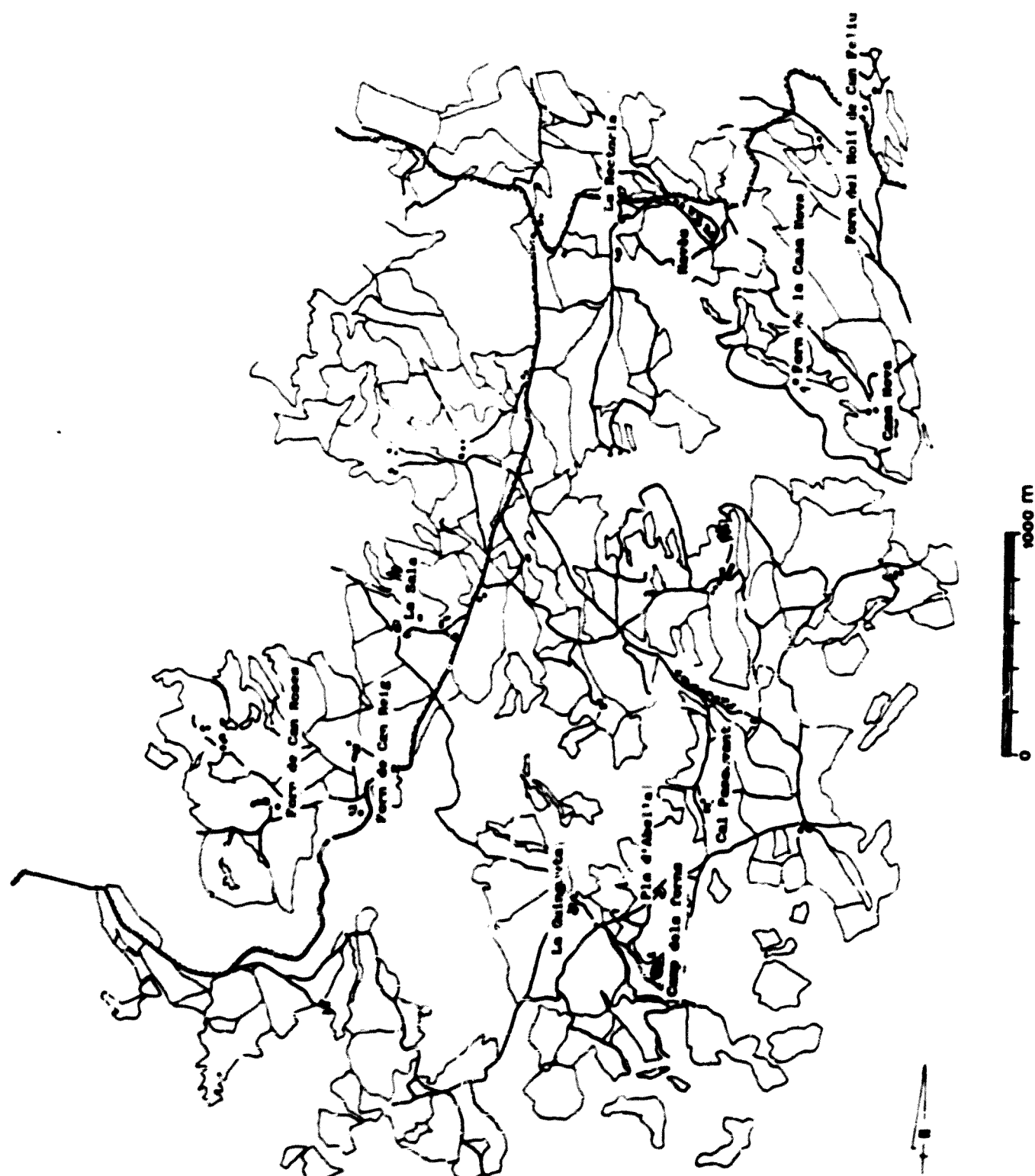
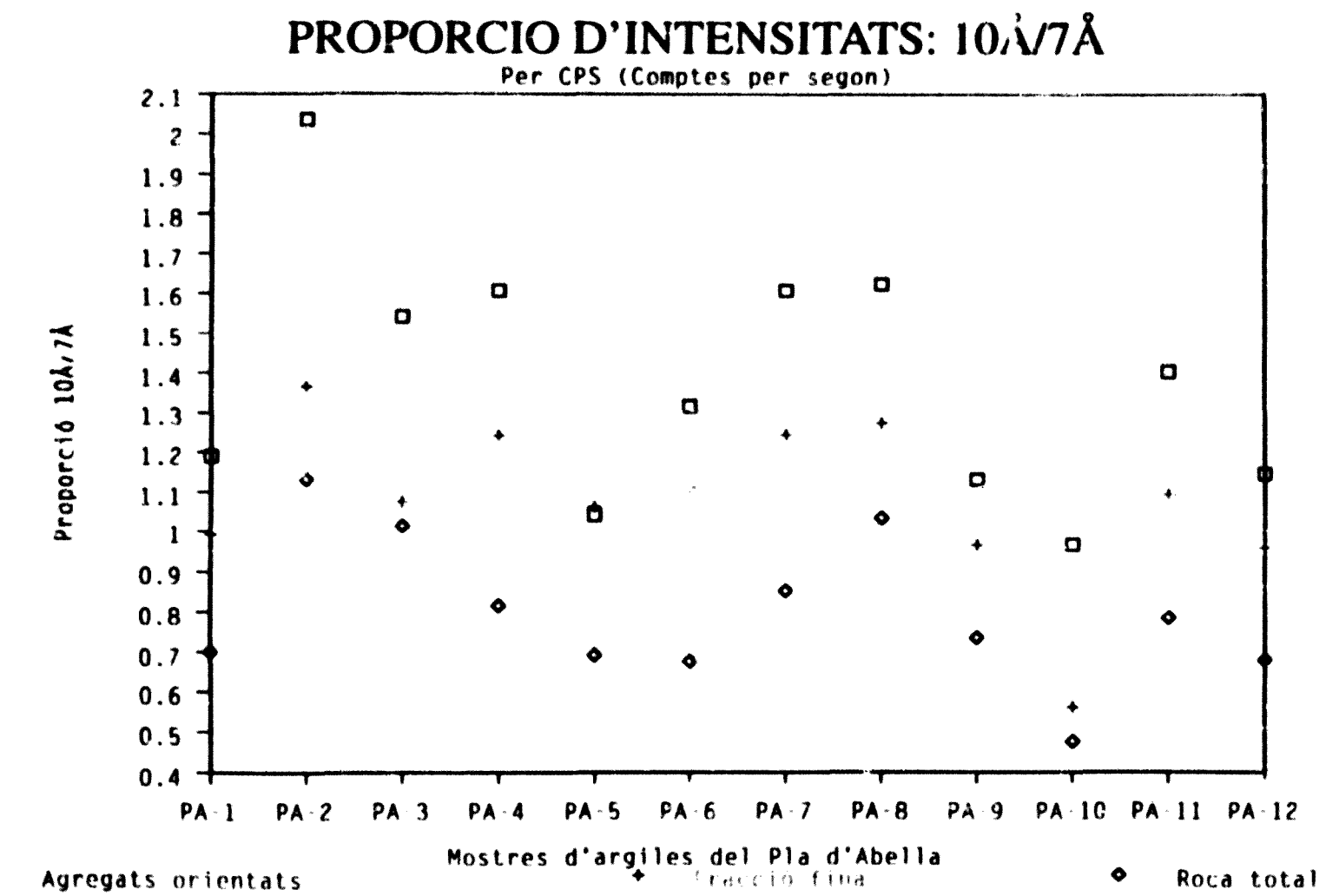


Figura 29. Experiments d'alta temperatura, emprant l'I<sub>c</sub> 25. TA: temperatura ambiental.



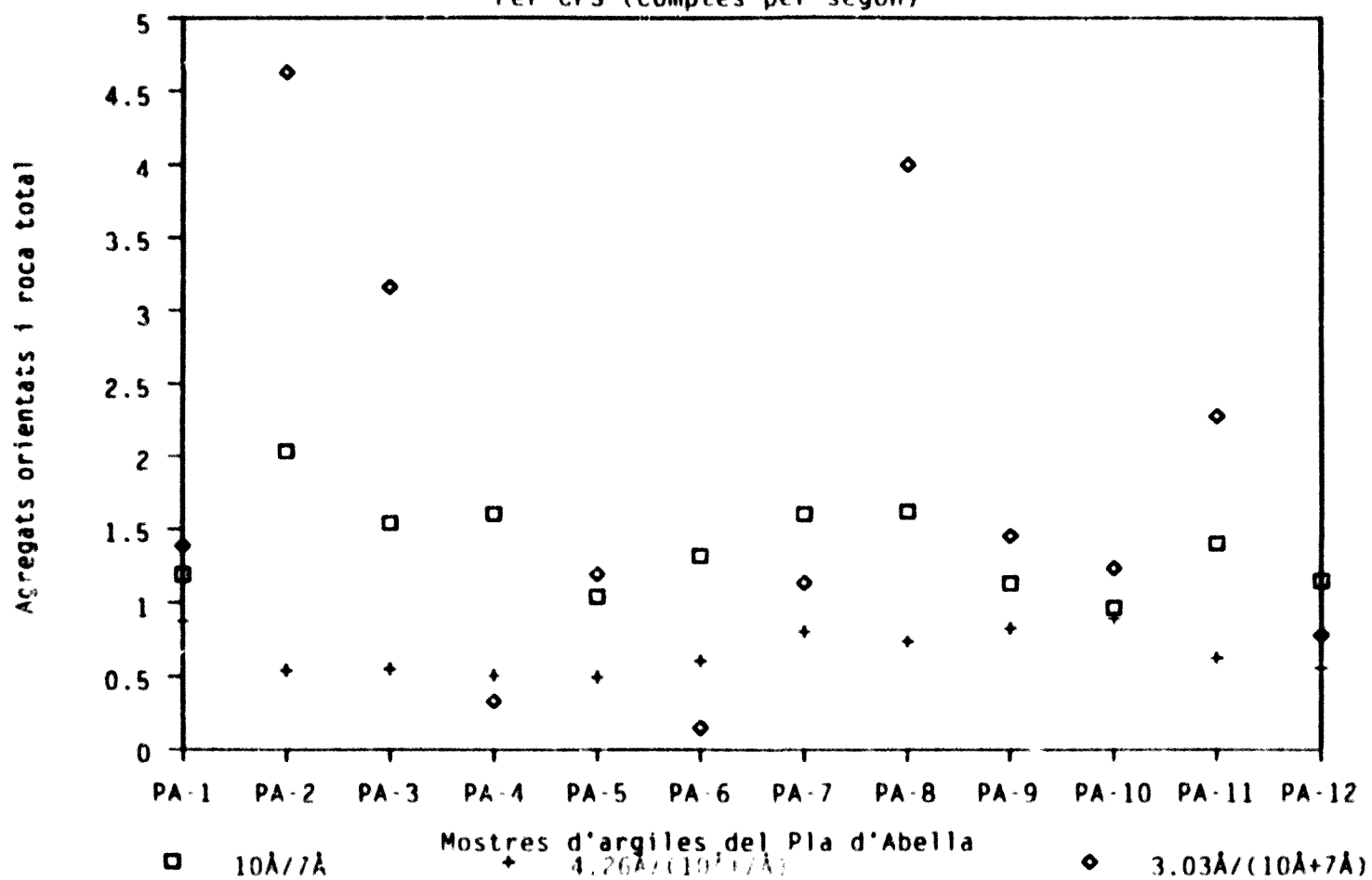
**Figura 30.** Localització dels fons de teules tradicionals (assenyalats amb un \*) i de les mostres d'argiles (indicades amb el número corresponent). En negre, el Camp dels Fons.



**Figura 31.** Proporció d'intensitats il·lites/clorites, semi-quantificades pels pics de 10 Å i 7 Å respectivament.

## PROPORCIO D'INTENSITATS

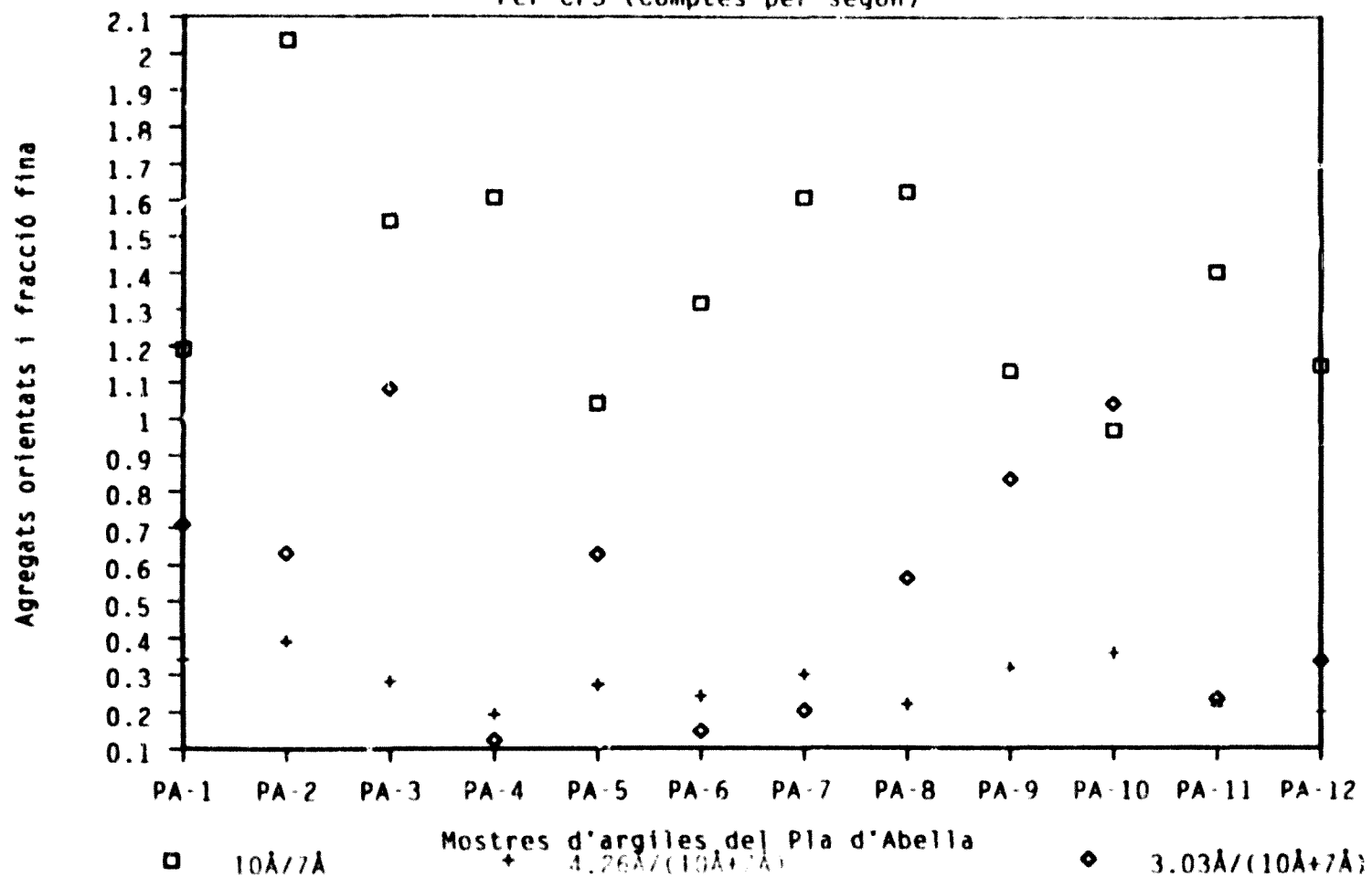
Per CPS (Comptes per segon)



**Figura 32.** Proporció d'intensitats il·lites/clorites, semi-quantificades pels pics de  $10\text{\AA}$  i  $7\text{\AA}$  de la preparació d'agregats orientats respectivament. Proporció d'intensitats quars/argiles i calcita/argiles, semi-quantificats pels pics de  $4.26\text{\AA}$  i  $3.03\text{\AA}$  de la preparació de roca total respectivament. Les argiles semi-quantificades com a suma de les intensitats d'il·lita i de clorita.

## PROPORCIO D'INTENSITATS

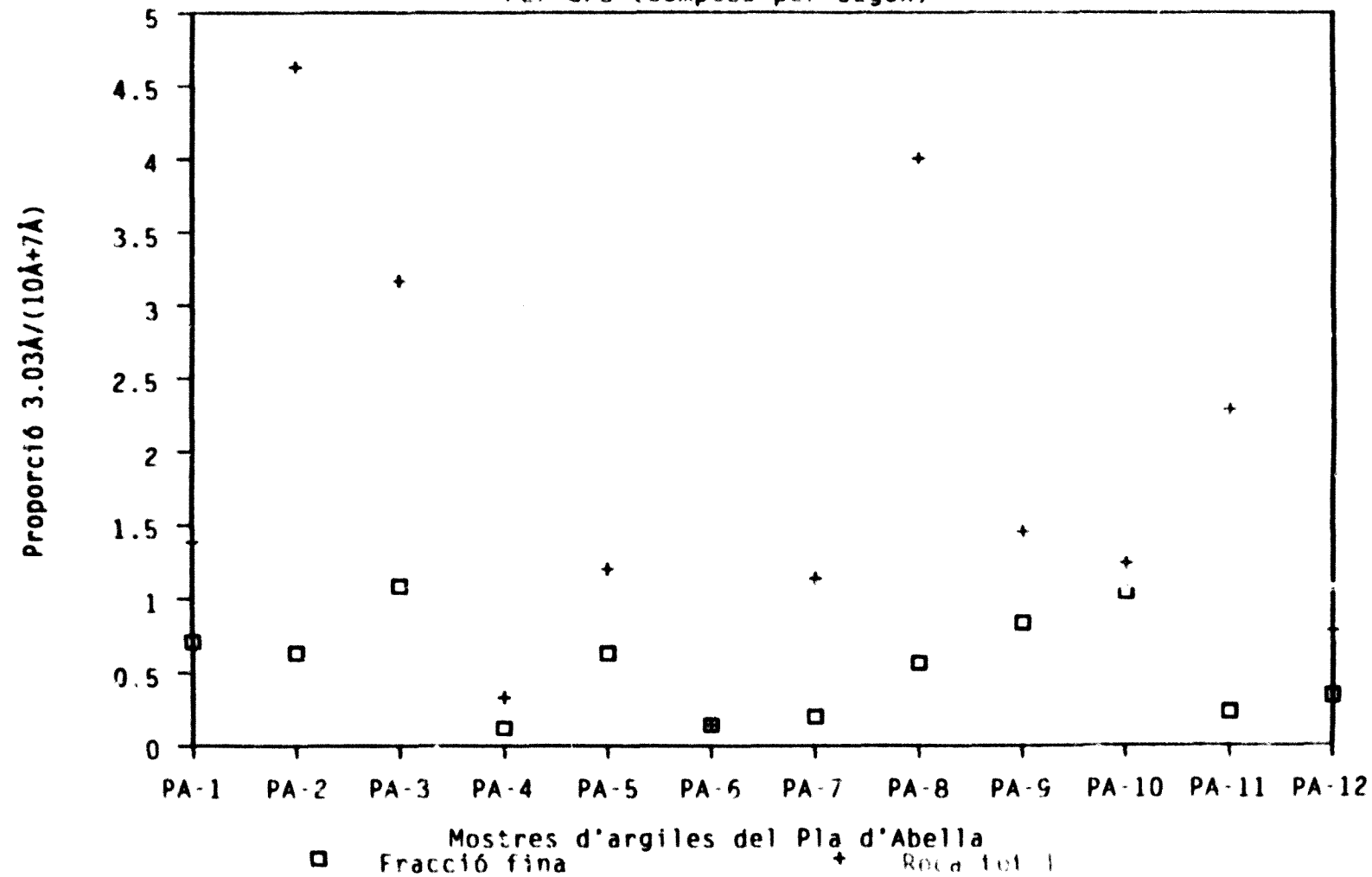
Per CPS (Comptes per segon)



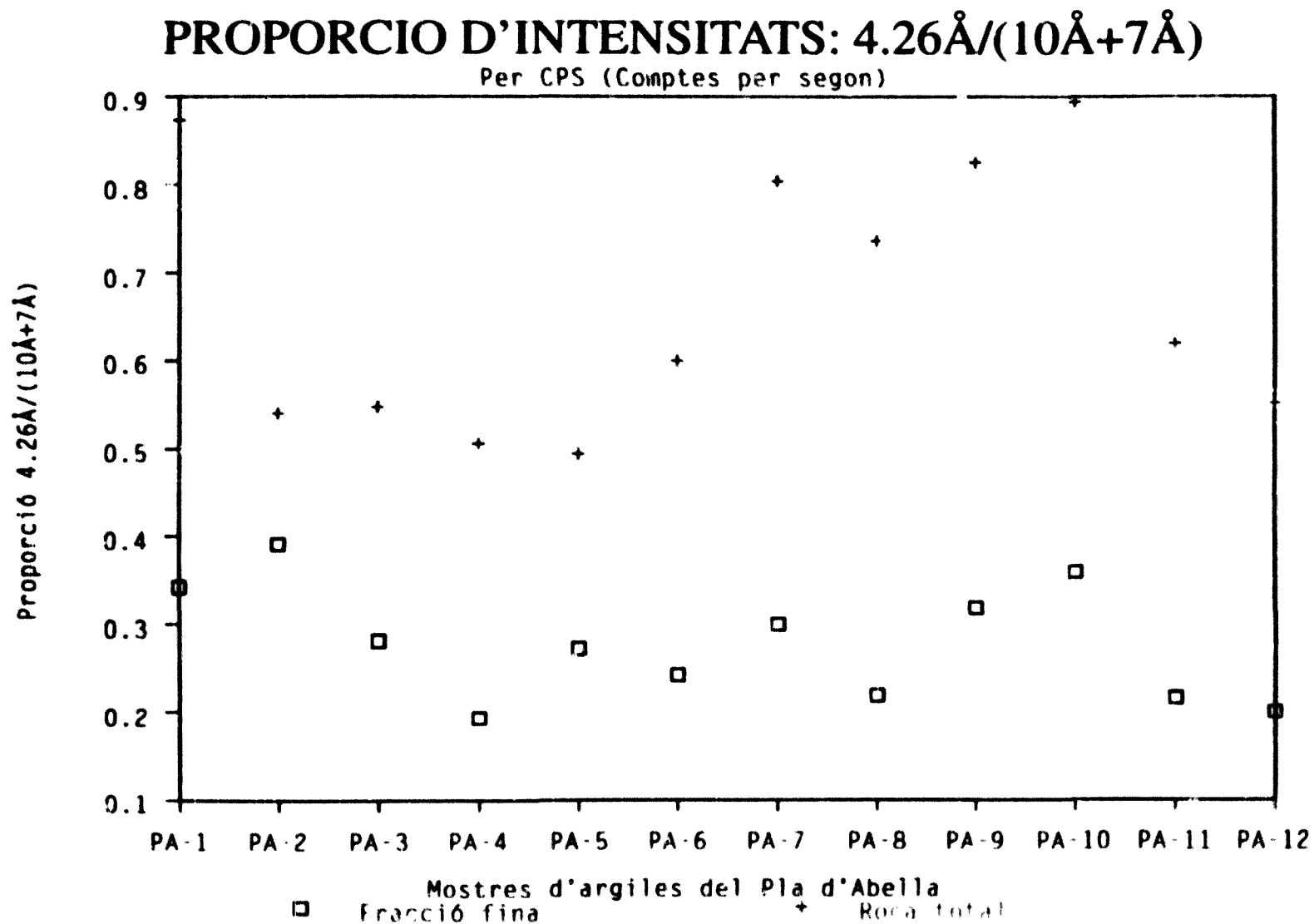
**Figura 33.** Proporció d'intensitats il·lites/clorites, semi-quantificades pels pics de  $10\text{\AA}$  i  $7\text{\AA}$  de la preparació d'agregats orientats respectivament. Proporció d'intensitats quars/argiles i calcita/argiles, semi-quantificats pels pics de  $4.26\text{\AA}$  i  $3.03\text{\AA}$  de la preparació de fracció fina respectivament. Les argiles semi-quantificades com a suma de les intensitats d'il·lita i de clorita.

## PROPORCIO D'INTENSITATS: $3.03\text{\AA}/(10\text{\AA}+7\text{\AA})$

Per CPS (Comptes per segon)



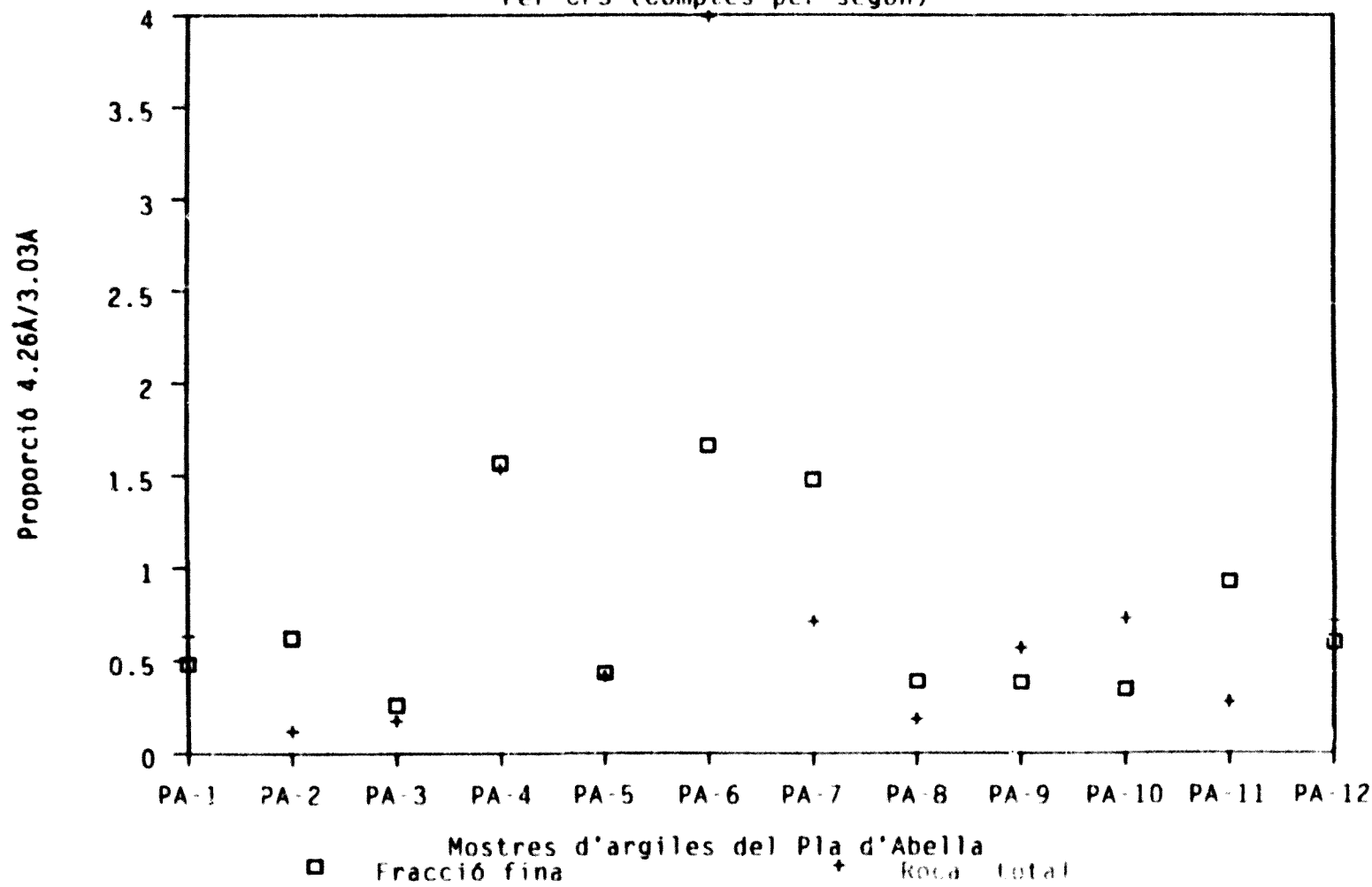
**Figura 34.** Proporció d'intensitats calcita/argiles, semi-quantificada la calcita pel pic de  $3.03\text{\AA}$  de la preparació de roca total i de fracció fina. Les argiles semi-quantificades com a suma de les intensitats d'il·lita i de clorita, en els pics de  $10\text{\AA}$  i  $7\text{\AA}$  en la preparació d'agregats orientats respectivament.



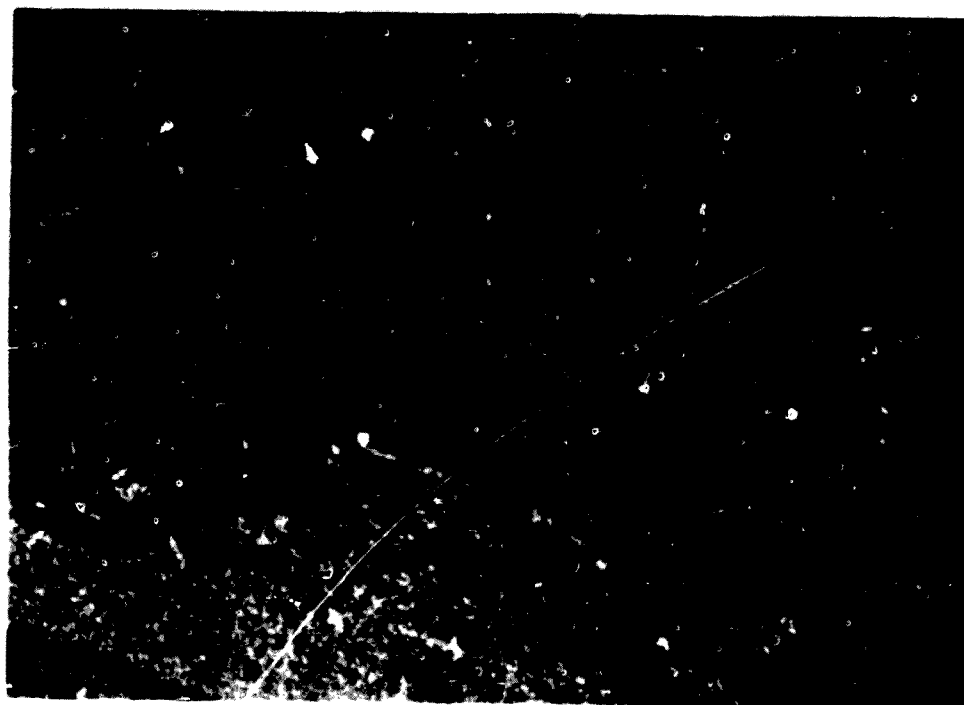
**Figura 35.** Proporció d'intensitats quars/argiles, semi-quantificat el quars pel pic de  $4.26\text{\AA}$  de la preparació de roca total i de fracció fina. Les argiles semi-quantificades com a suma de les intensitats d'il·lita i de clorita, en els pics de  $10\text{\AA}$  i  $7\text{\AA}$  en la preparació d'agregats orientats respectivament.

## PROPORCIO D'INTENSITATS: 4.26 $\text{\AA}$ /3.03 $\text{\AA}$

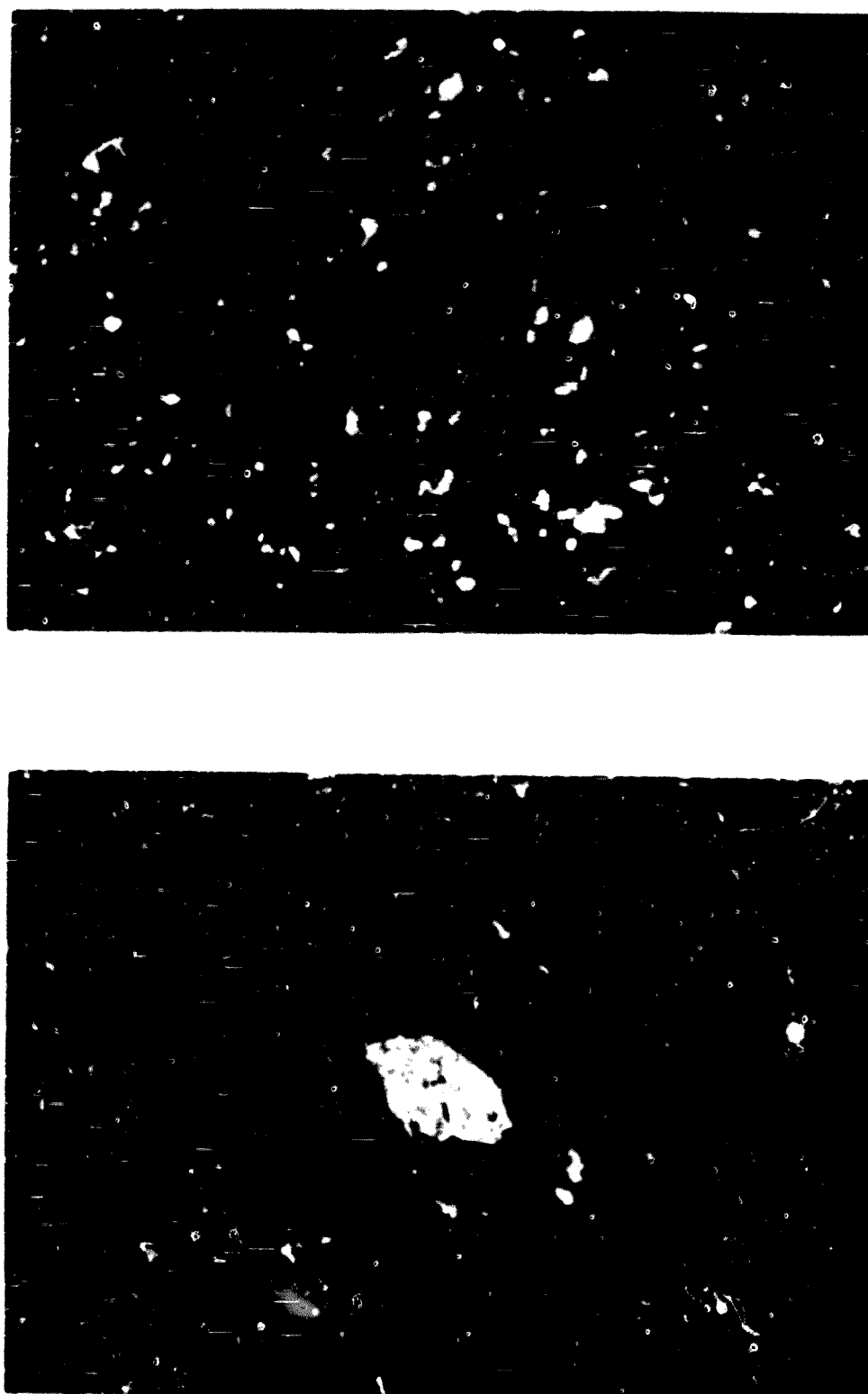
Per CPS (Comptes per segon)



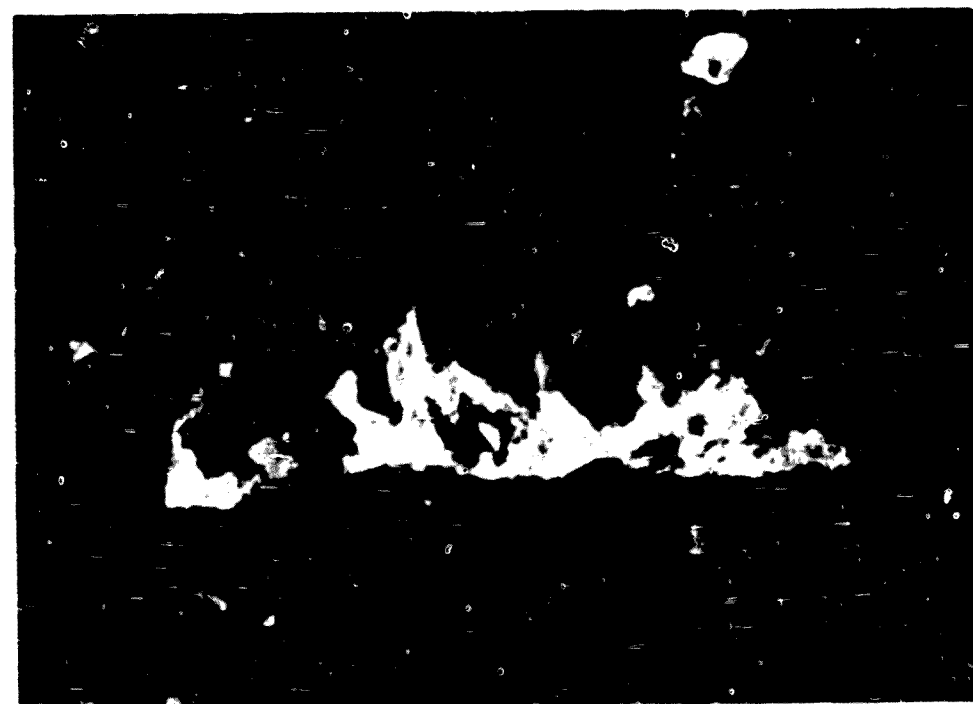
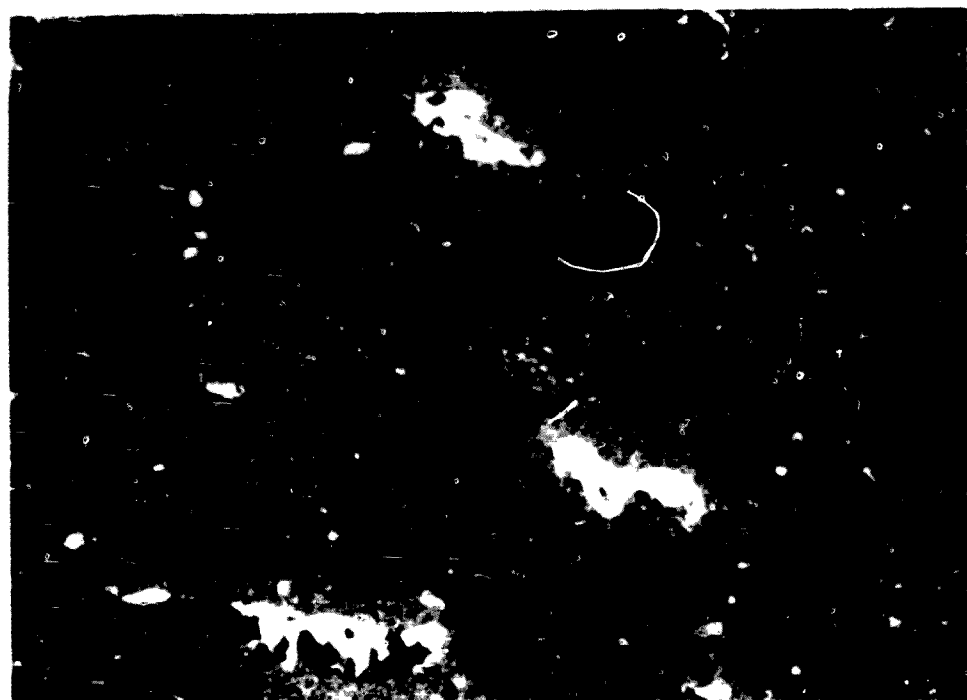
**Figura 36.** Proporció d'intensitats quars/calcita, semi-quantificats el quars pel pic de 4.26  $\text{\AA}$  i la calcita pel pic de 3.03  $\text{\AA}$  de la preparació de roca total i de fracció fina.



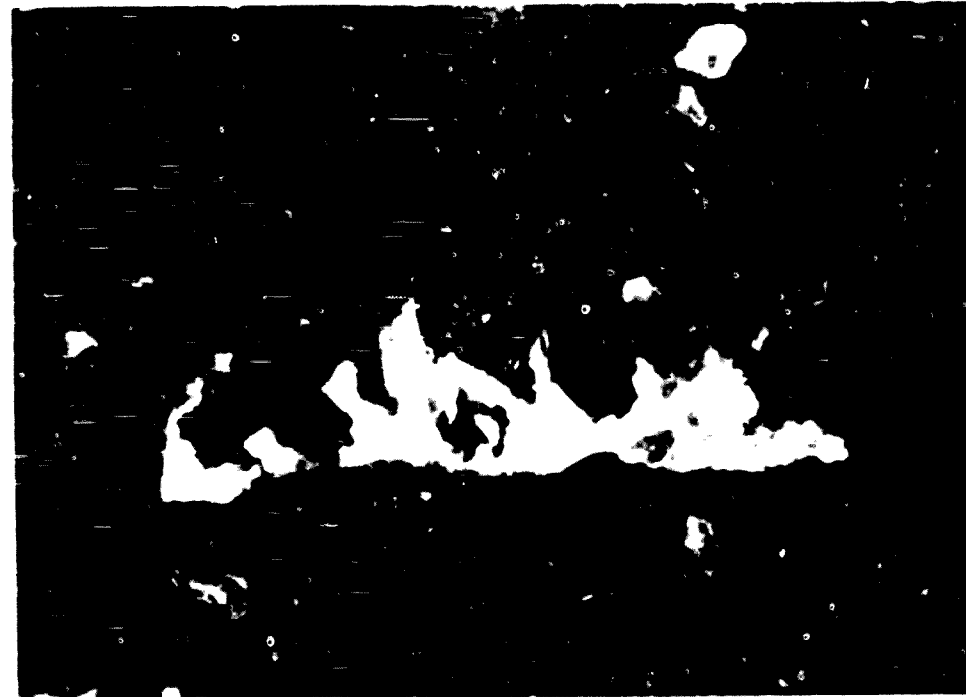
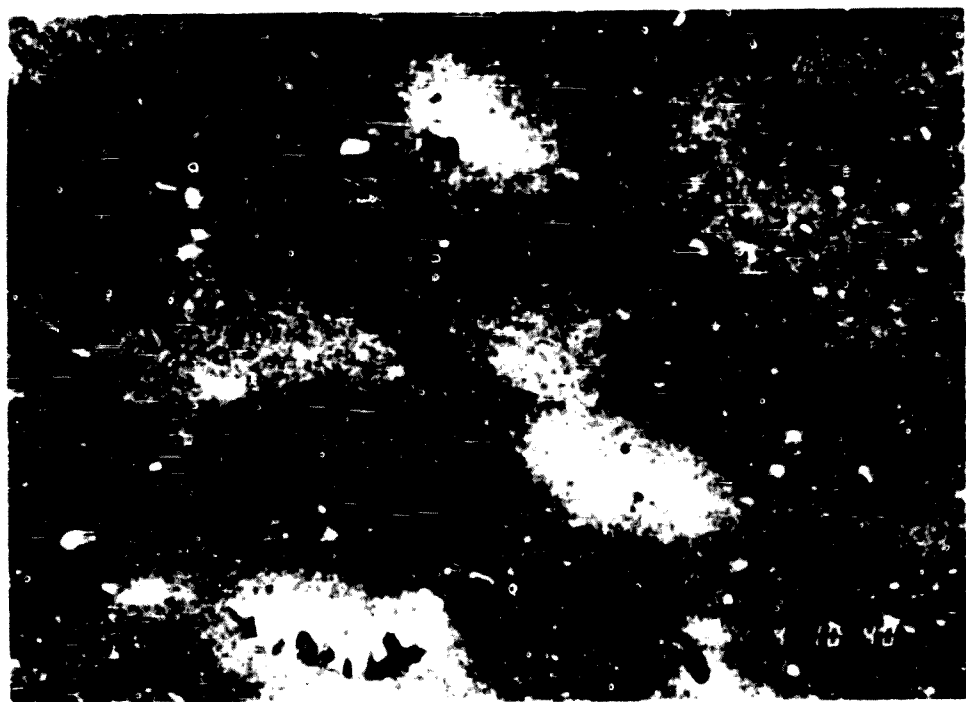
**Figura 37. Fotografies de làmines primes a 40X, nícols creuats. Superior: visió general de la matriu de baixa temperatura, I<sub>C</sub> 25 (F<sub>1</sub>). S'aprecia quars, calcita primària, fil·losilicats i opacs. Inferior: visió general de la matriu de l'I<sub>C</sub> 1 (F<sub>2</sub>). S'aprecia bàsicament quars, opacs i calcita. El color de la matriu passa de marró a ataronjat.**



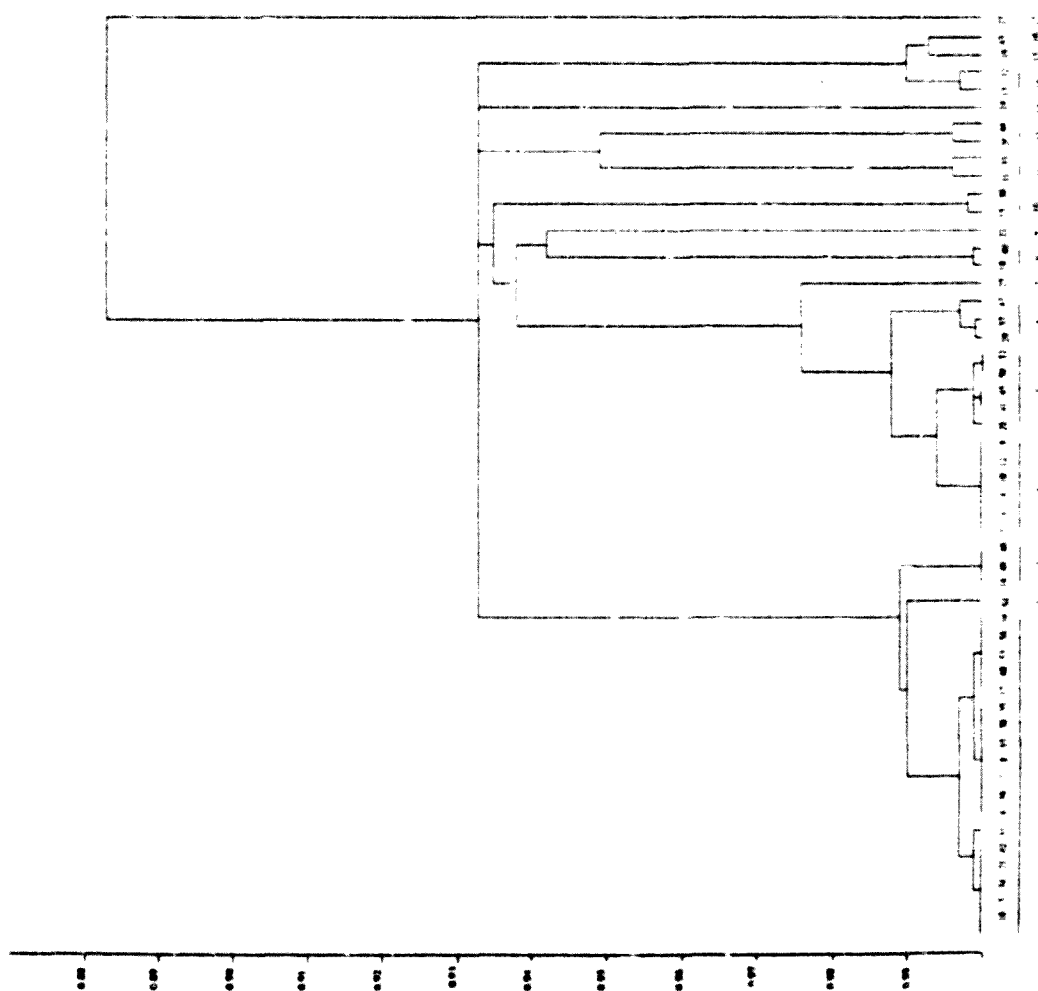
**Figura 37 continuació.** Superior: fotografia de làmina prima a 40X, nícols creuats. Visió general de la matriu d'alta temperatura,  $L_c$  13 ( $F_4$ ). S'aprecia el canvi de color de la matriu i l'aspecte vitri, així com la calcita secundària de fàcies geòdica i opacs. Inferior: fotografia de làmina prima a 100X, nícols creuats. Detall de calcita primària en la matriu de baixa temperatura de l' $L_c$  24 ( $F_1$ ).



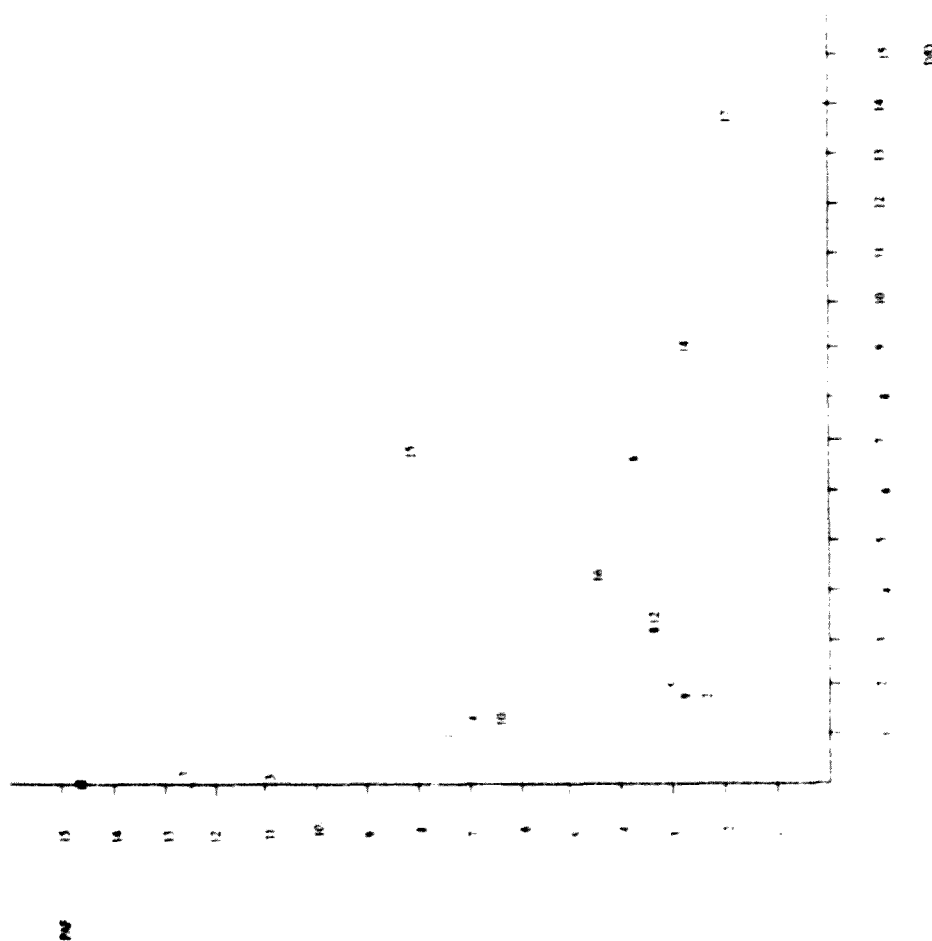
**Figura 37 - continuació.** Superior: fotografia de làmina prima a 40X, nícols creuats. Visió general de la matriu d'alta temperatura, L. 41 (F<sub>3</sub>). S'aprecia la calcita secundària de fàcies geòdica i formant zones tacades en la matriu. Inferior: fotografia de làmina prima a 100X, nícols creuats. Detall de la calcita secundària de fàcies geòdica de la fotografia anterior.



**Figura 37 continuació.** Superior: fotografia de làmina prima a 40X, nícols creuats. Visió general de la matriu d'alta temperatura, I<sub>c</sub>-41 (F<sub>3</sub>). S'aprecia la calcita secundària de facies geòdica i formant zones tacades en la matriu. Inferior: fotografia de làmina prima a 100X, nícols creuats. Detall de la calcita secundària de facies geòdica de la fotografia anterior.



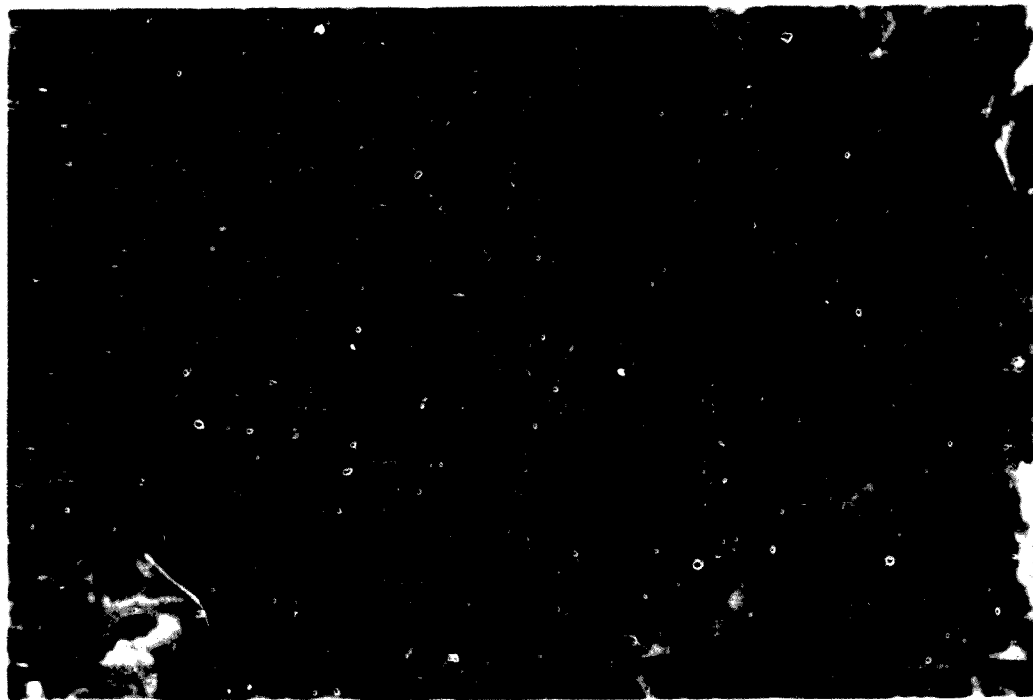
**Figura 38.** Dendrograma de l'AA realitzada sobre la variable nominal presència/absència de pic de 10 Å d'il·lites, la variable nominal de color de pasta i les variables contínues proporció d'intensitats piroxens/quars i pèrdua al foc. Coeficient de Gower i mètode aglomeratiu UPGMA.



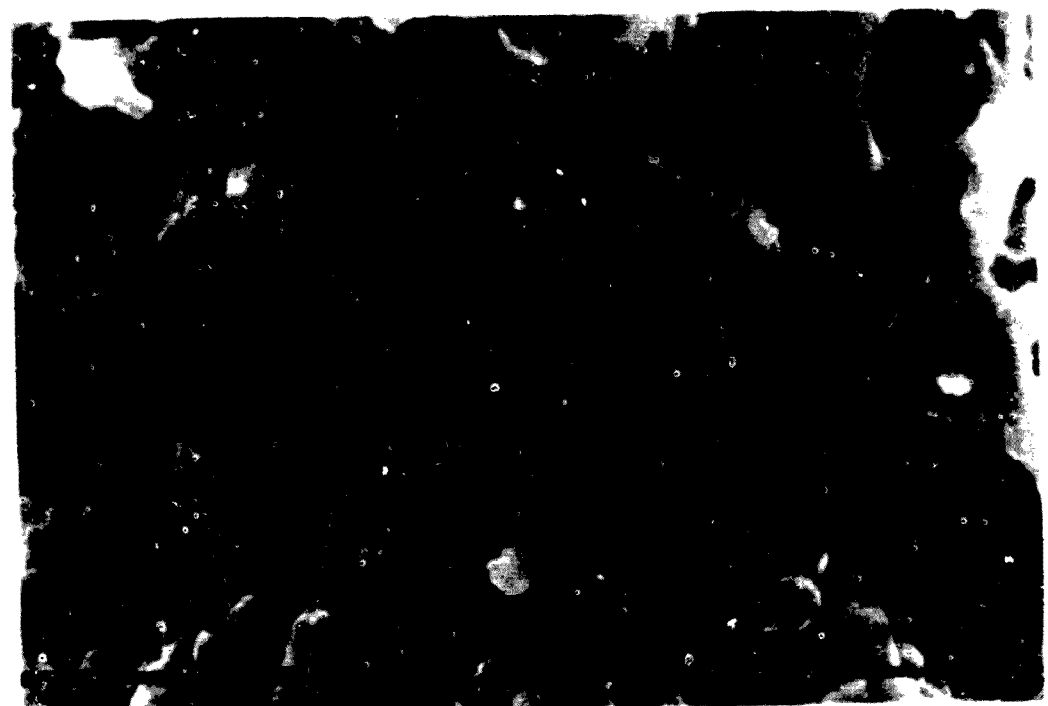
**Figura 39.** Gràfic de doble entrada de les mitjanes aritmètiques de les 17 agrupacions definides en l'AA sobre variables mixtes, emprant el coeficient de Gower, en les variables contínues proporció d'intensitats piroxens/quars i pèrdua al foc.



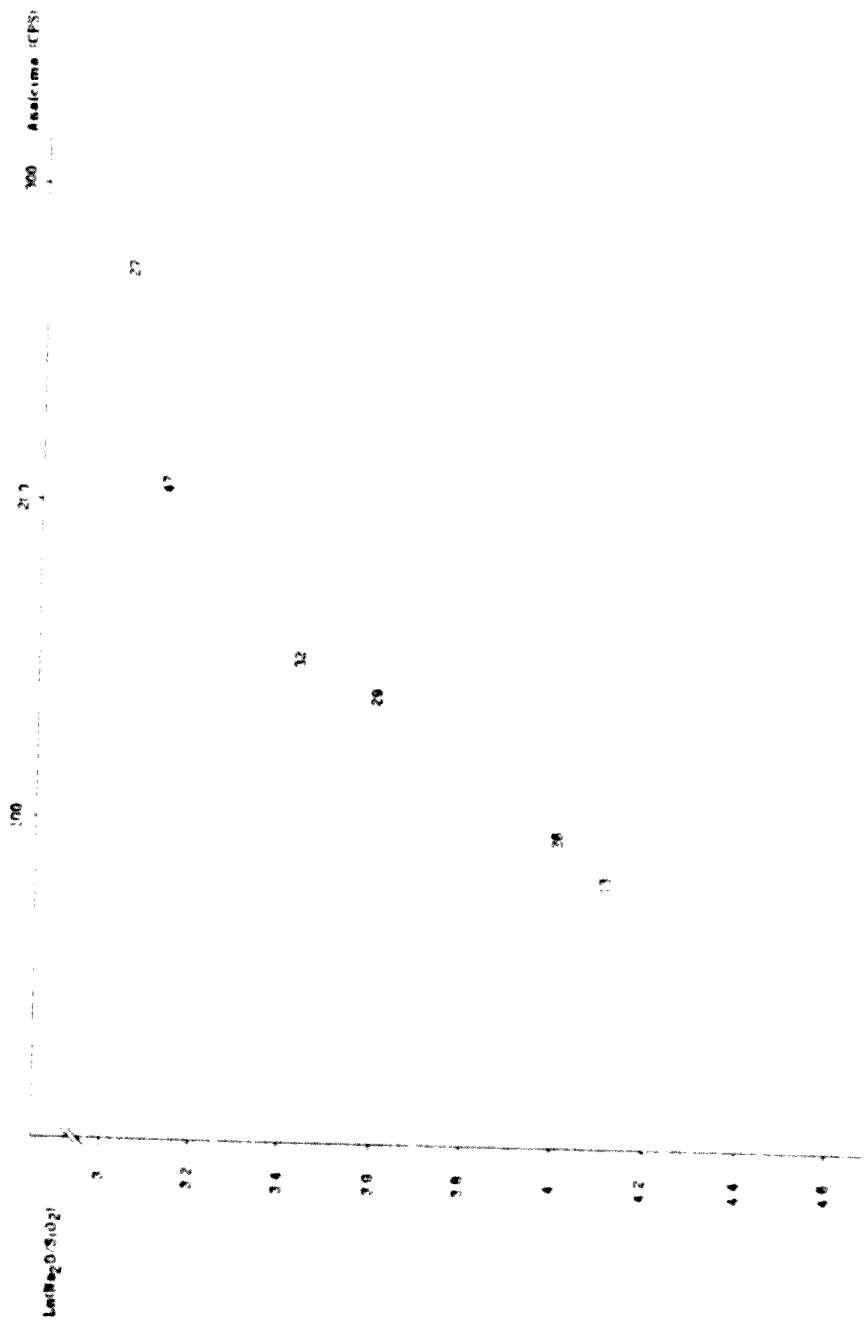
**Figura 40.** Fotografies de MÉR sobre fractura fresca a 2020X. Cada part de la línia de referència són 20  $\mu\text{m}$ . Superior: I<sub>SCER</sub> 46 (F<sub>1</sub>). Inferior: I<sub>C</sub> 46 recuit a 850°C.



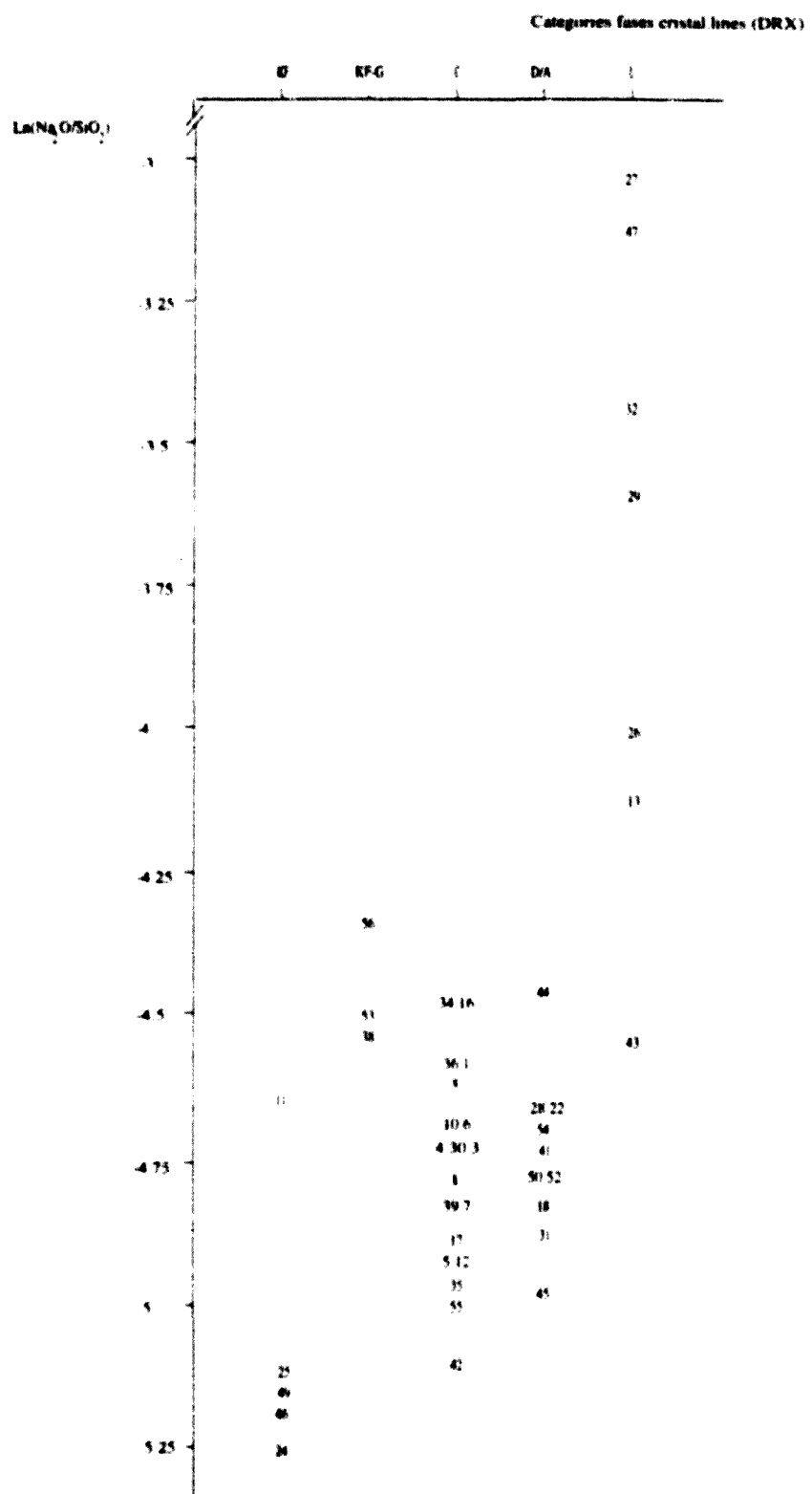
**Figura 41.** Fotografies de MER sobre fractura fresca a 2020X. Cada part de la línia de referència són 20  $\mu$ m. Superior:  $I_{\text{BCER}} 1$  ( $F_2$ ). Inferior:  $I_C 1$  recuit a 1080°C.



**Figura 41 continuació.** Fotografies de MER sobre fractura fresca a 2020X. Cada part de la línia de referència són 20  $\mu\text{m}$ . Superior i inferior: I<sub>C</sub> 1 recuit a 1150°C.

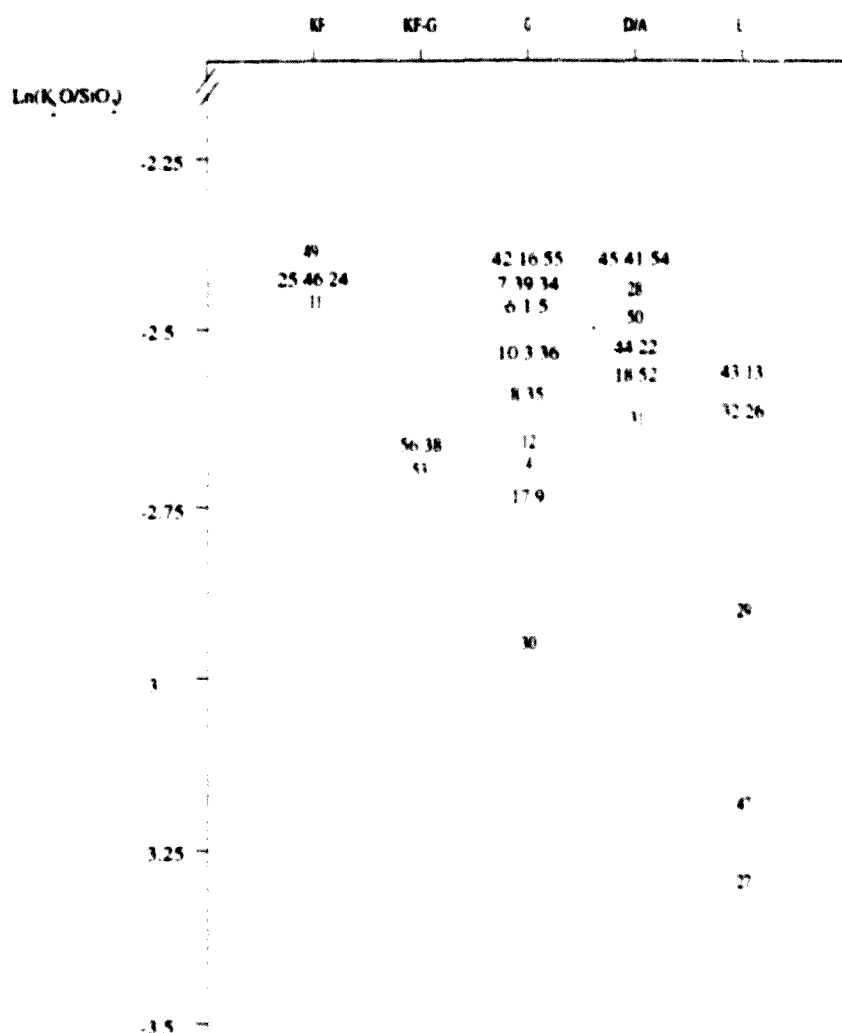


**Figura 42.** Gràfic de doble entrada analcima-In(Na<sub>2</sub>O/SiO<sub>2</sub>).



**Figura 43.** Gràfic de doble entrada categories de fases cristal.lines a partir de DRX- $\text{In}(\text{Na}_2\text{O}/\text{SiO}_2)$ .

Categories fases cristal·lines (DRX)



**Figura 44.** Gràfic de doble entrada categories de fases cristal·lines a partir de DRX-In( $K_2O/SiO_2$ ).

Categories fases cristal.lines (DRX)

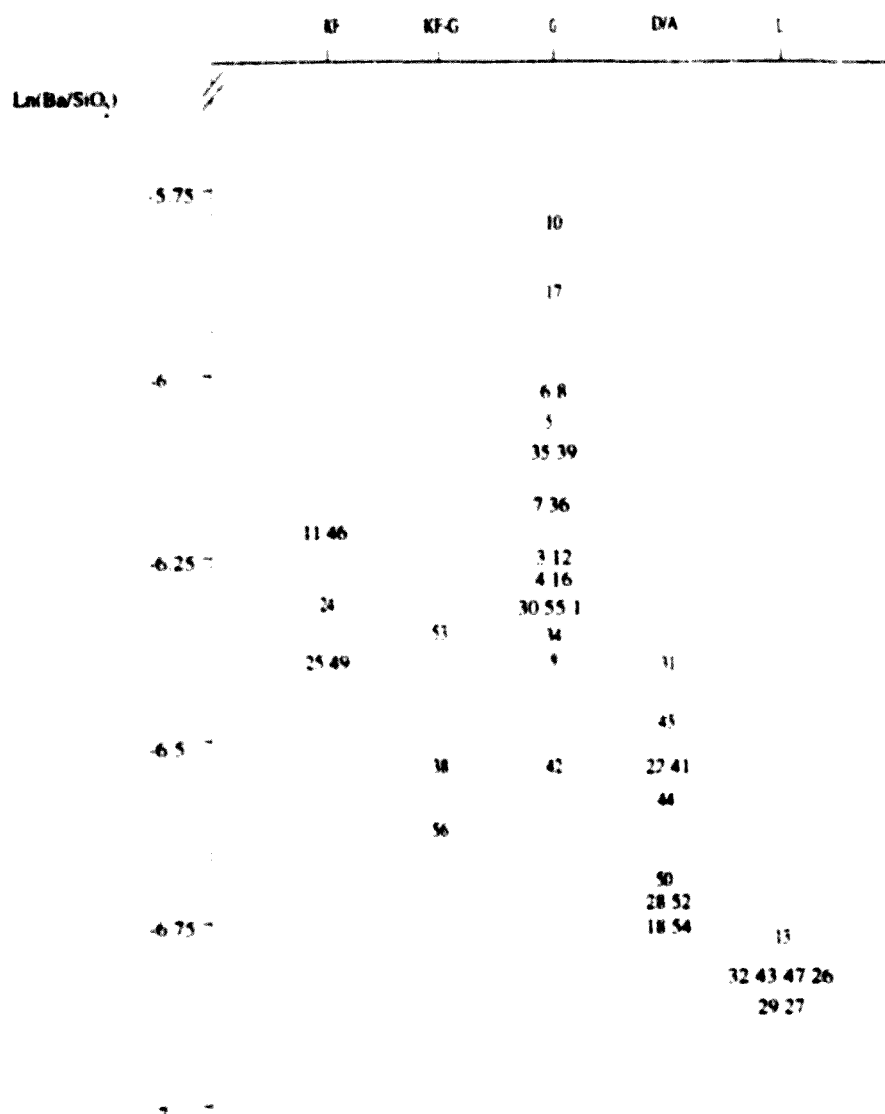
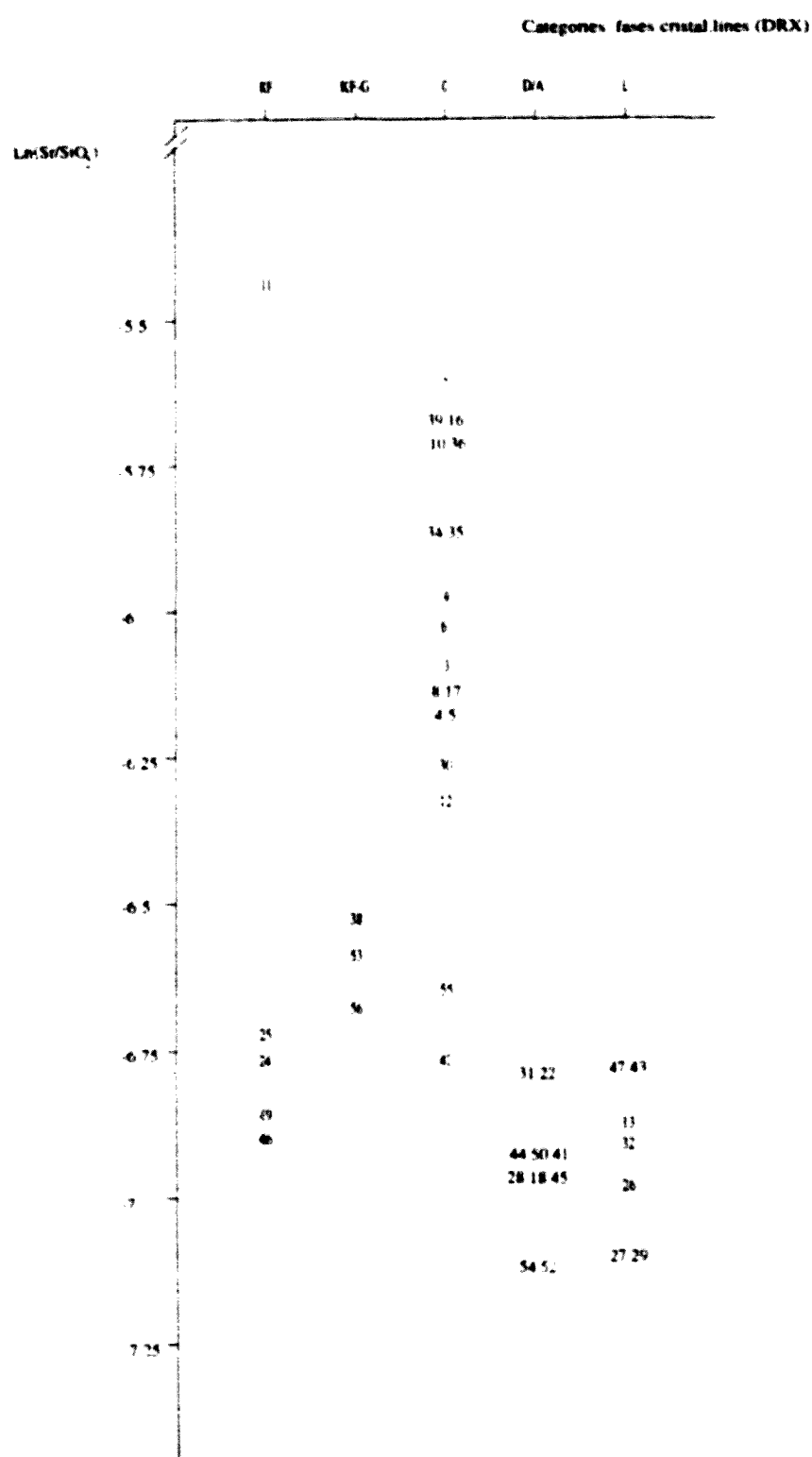


Figura 45. Gràfic de doble entrada categories de fases cristal.lines a partir de DRX.  $\text{Ln}(\text{Ba/SiO}_3)$ .



**Figura 46.** Gràfic de doble entrada categories de fases cristalines a partir de DRX- $\ln(\text{Sr}/\text{SiO}_2)$ .

Categories fases cristal·lines (DRX)

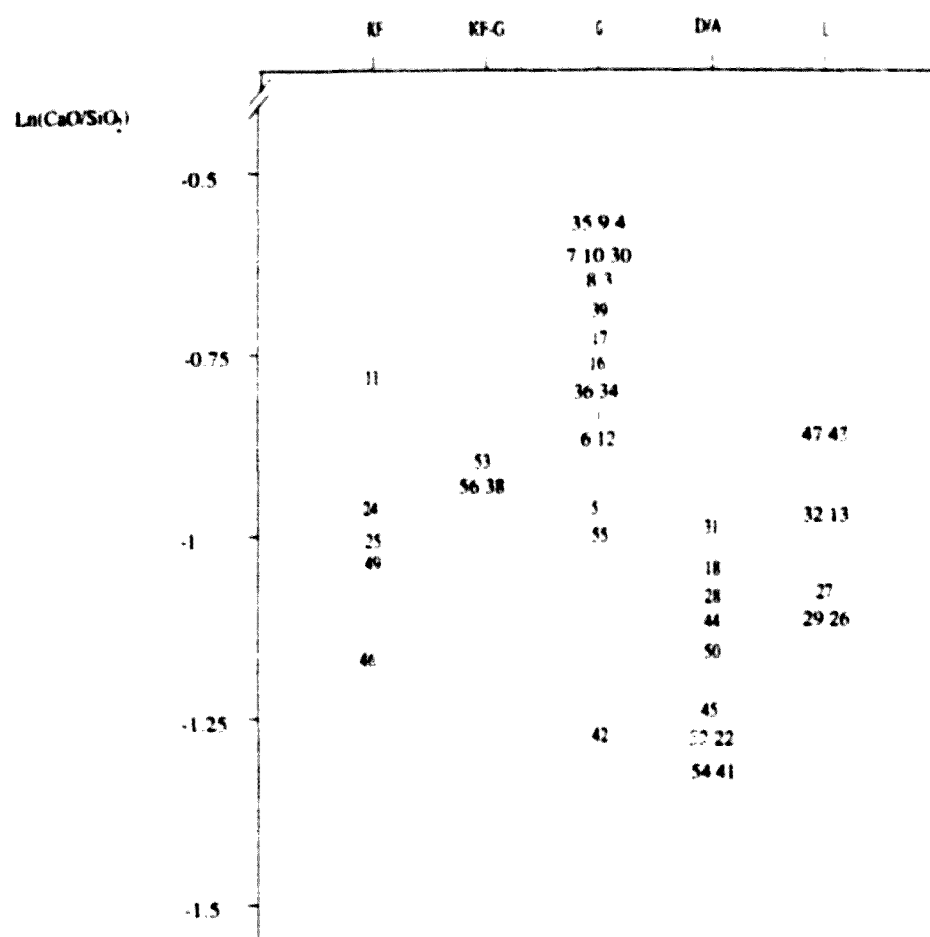
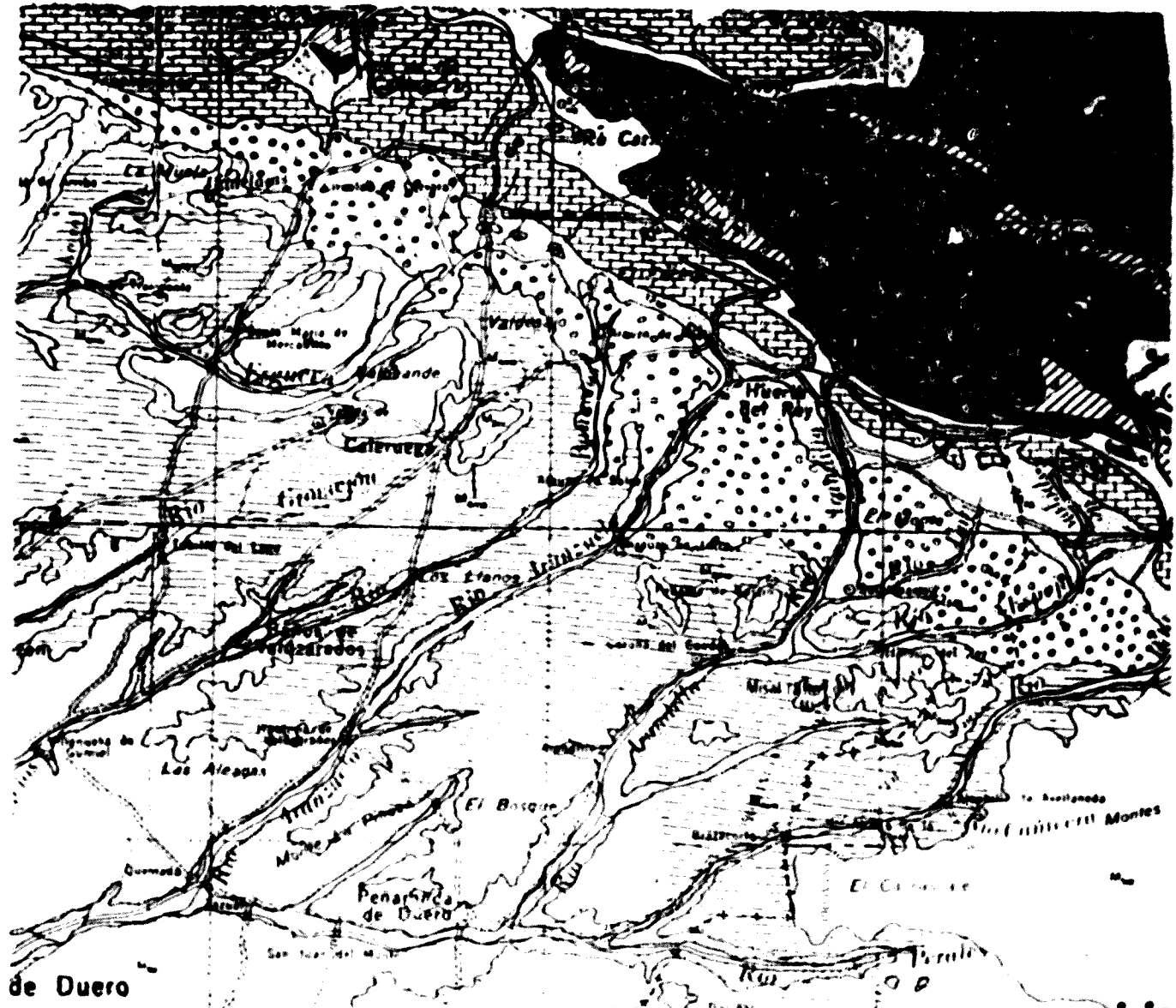
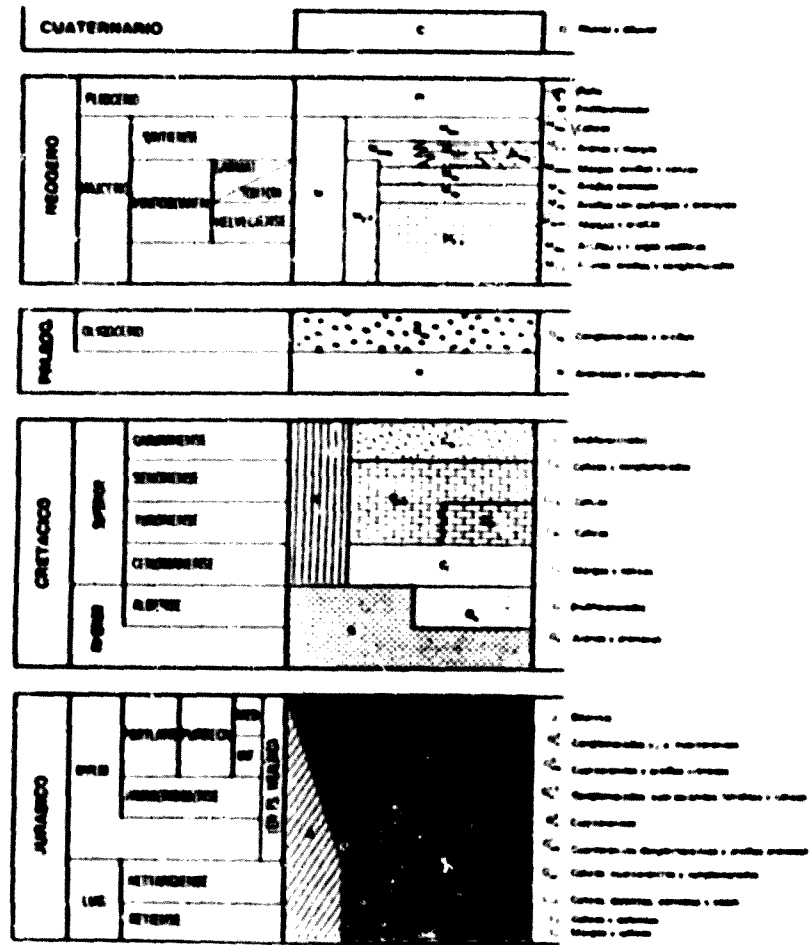
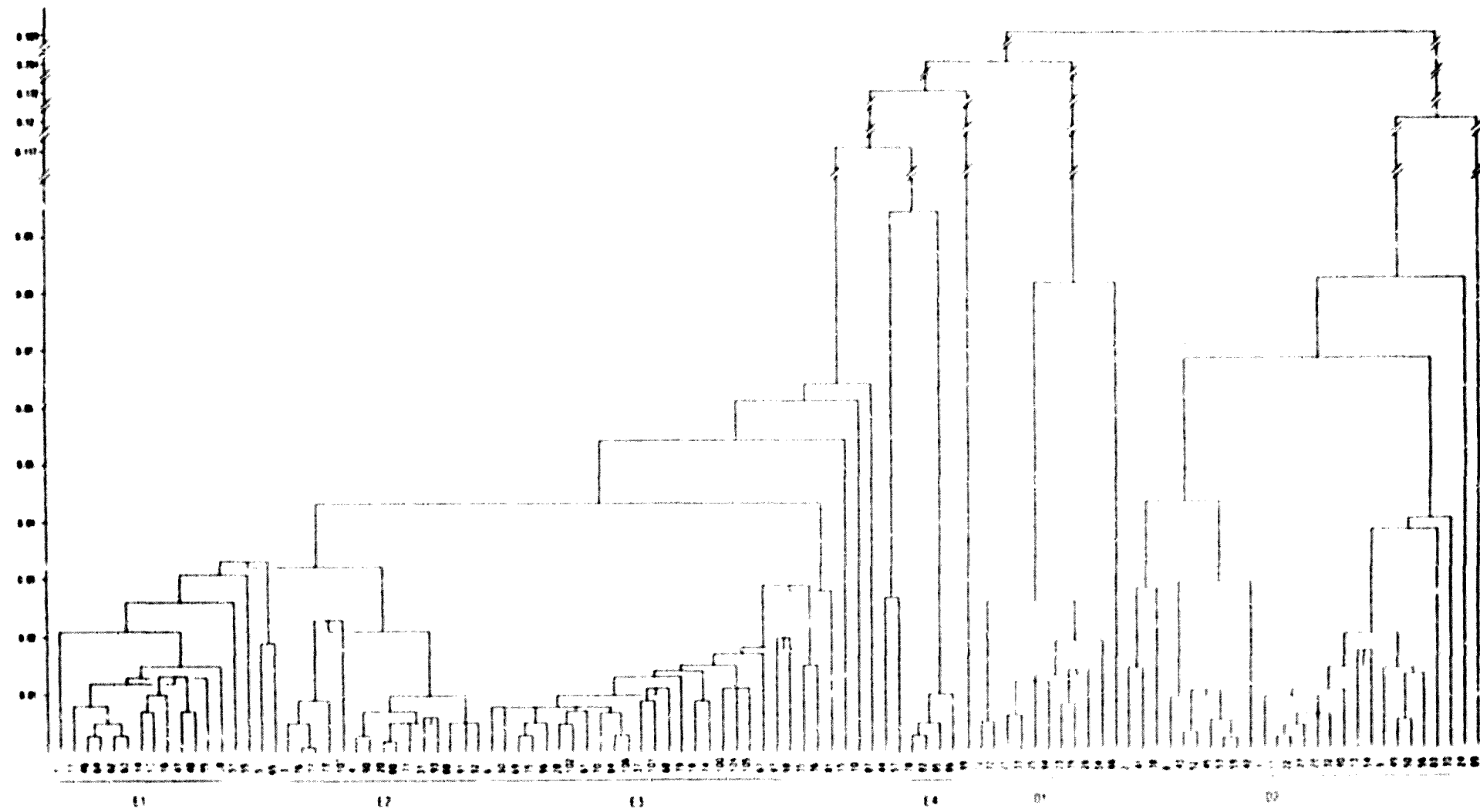


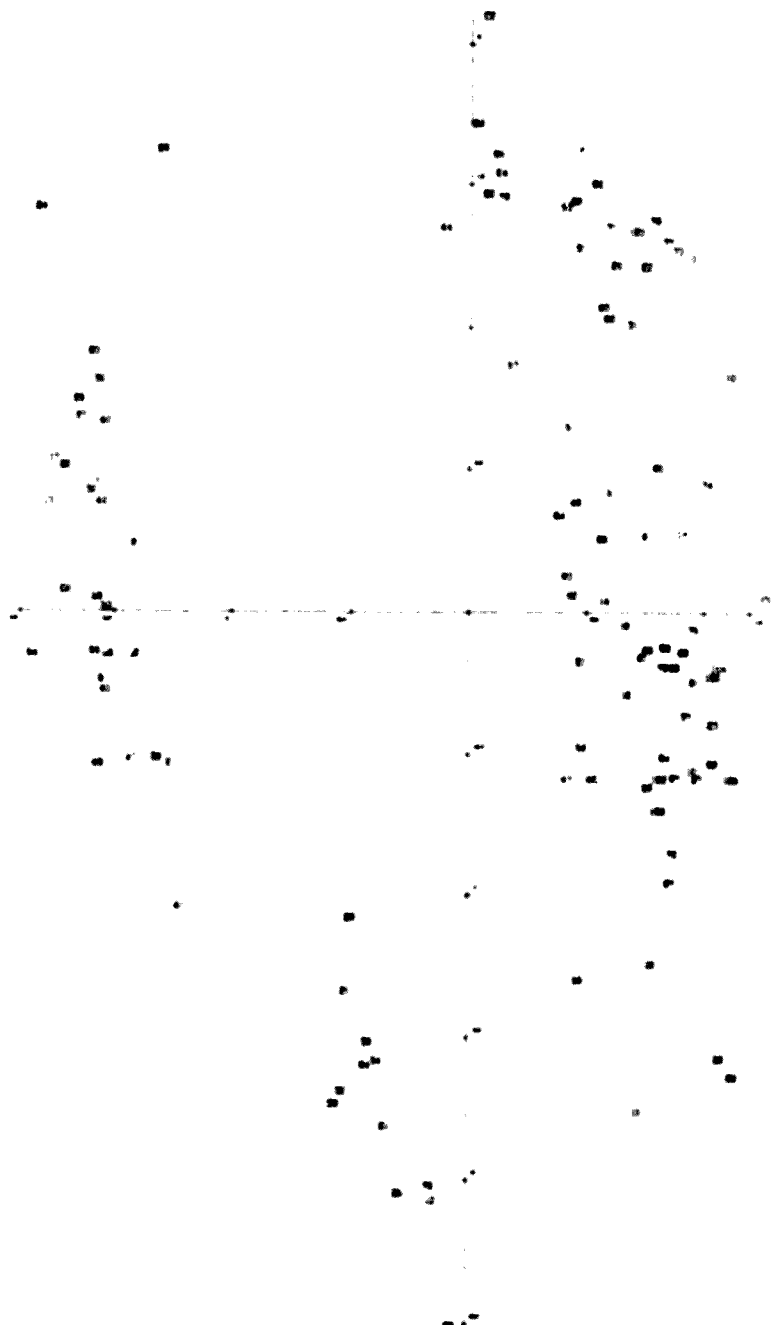
Figura 47. Gràfic de doble entrada categories de fases cristal·lines a partir de DRX- $\ln(\text{CaO}/\text{SiO}_2)$ .



**Figura 48.** Mapa geològic de la zona de Clunia (Peñalba de Castro) (extret de la fulla 30 de l'IGME, 1986). E. 1:200000.



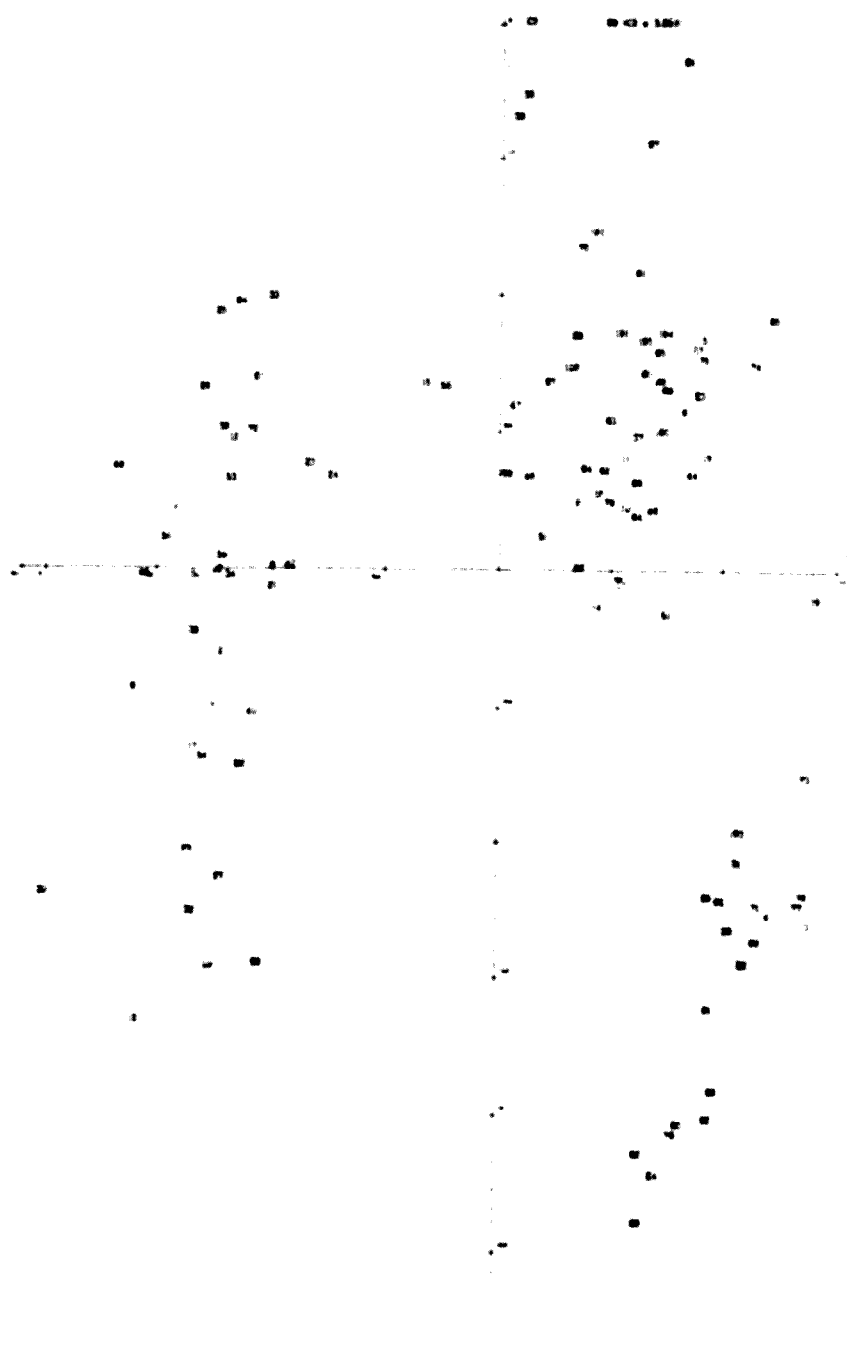
**Figura 49.** Dendrograma de l'AA de Clunia, emprant el  $\text{SiO}_2$  com a divisor. Distància euclidiana al quadrat mitjana i mètode aglomeratiu del centreïde.



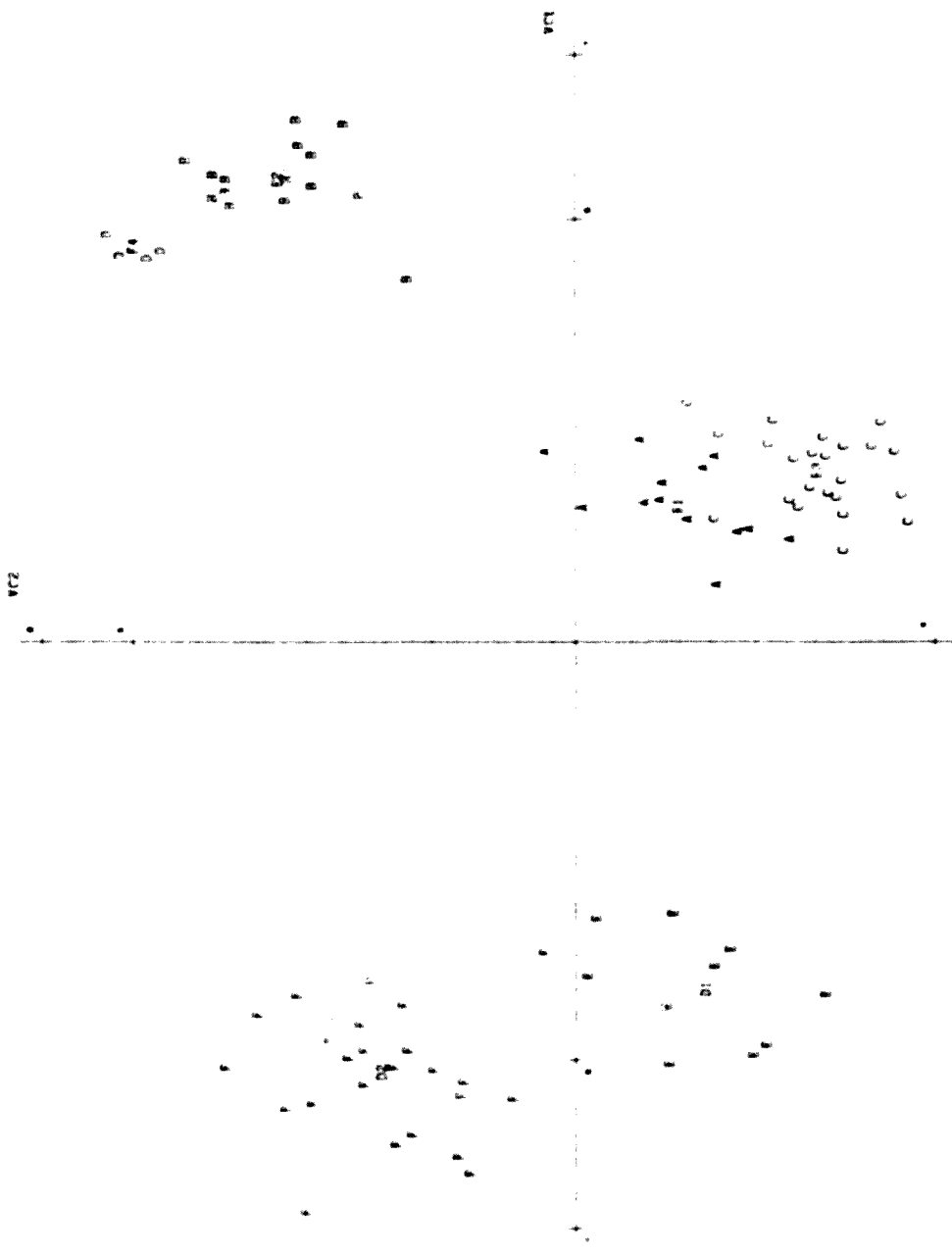
**Figura 50.** Projecte dels  $L_c$  en els eixos de la primera component principal (C1) i de la segona component principal (C2), de l'ACP realitzada, sense rotació. 91.74 % de la variància explicada.



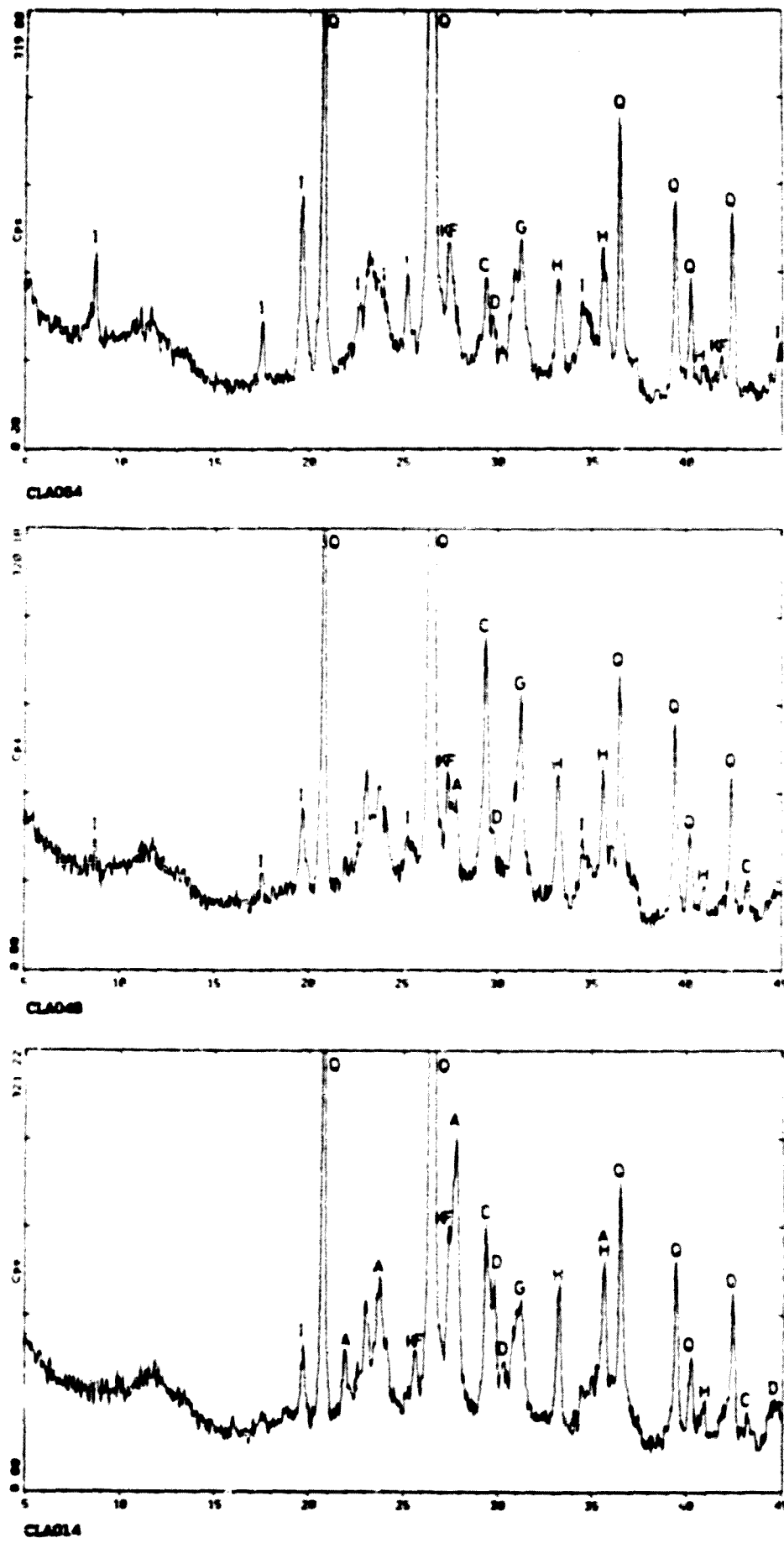
**Figura 51.** Projecció dels  $l_c$  en els eixos de la primera component principal (C1) i de la segona component principal (C2), de l'ACP realitzada, amb rotació varimax. 82.89 % de la variància explicada.



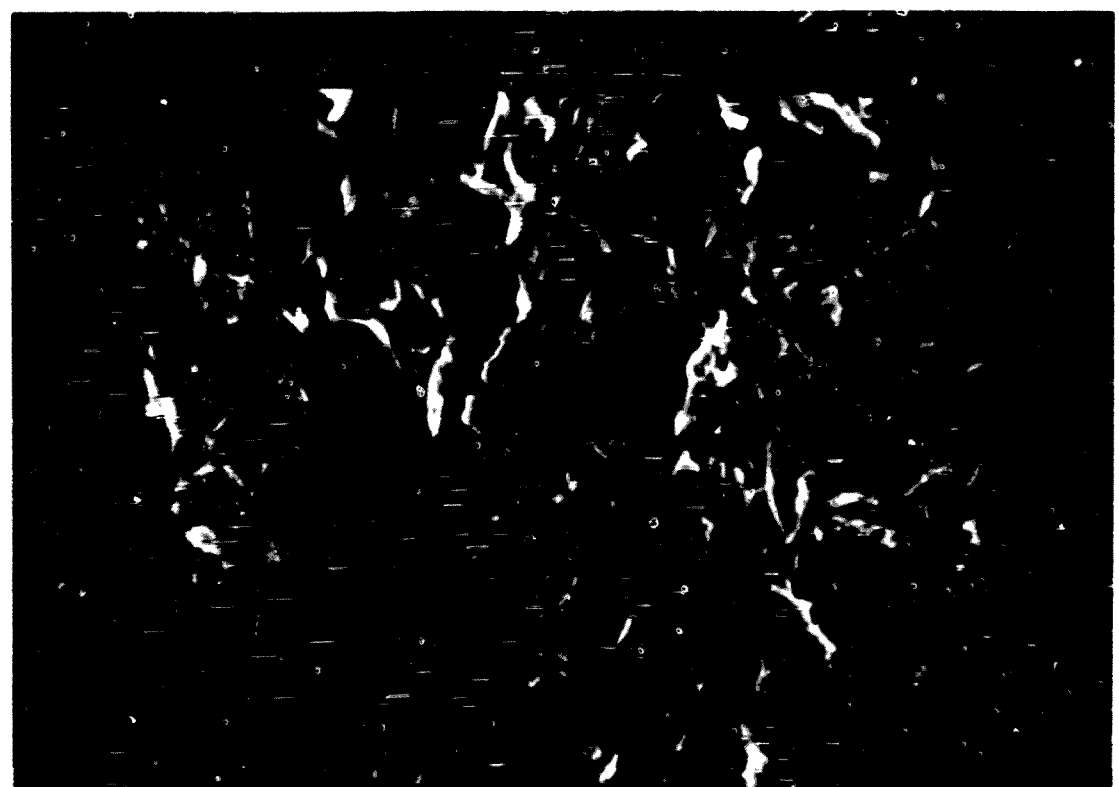
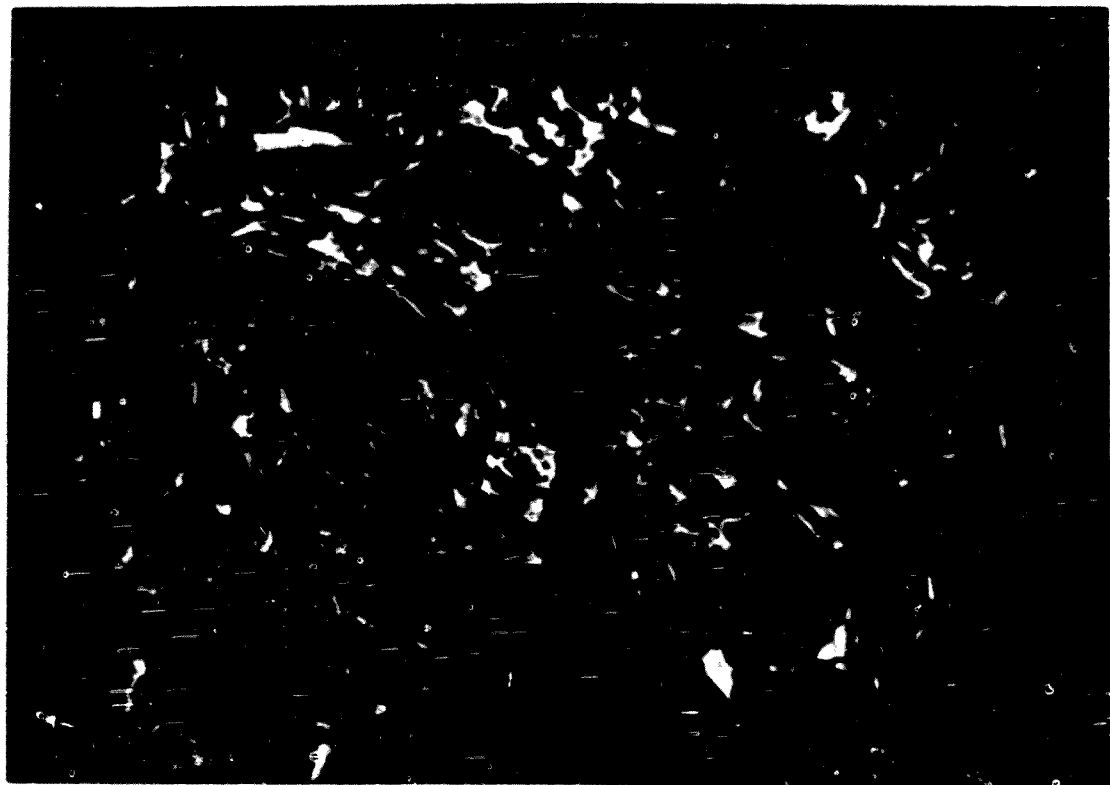
**Figura 52.** Projecció dels L en els eixos de la primera component principal (C1) i de la tercera component principal (C3), de l'ACP realitzada, amb rotació varimax. 77.63 % de la variància explicada.



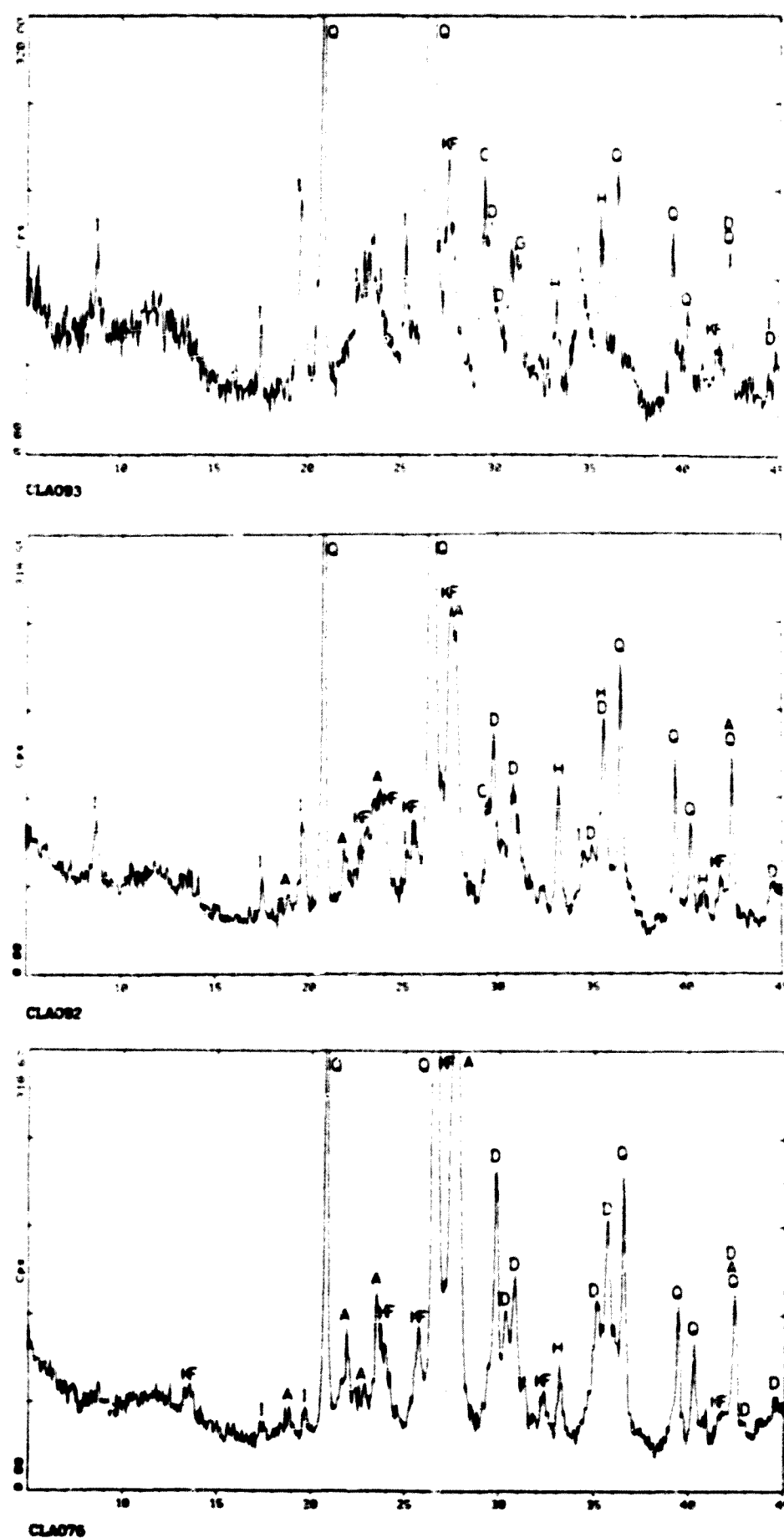
**Figura 53.** Projecció dels  $I_C$  i dels centroides de les 6 agrupacions preses en els eixos de la primera variable canònica (VC1) i de la segona variable canònica (VC2). Proporció acumulada de la dispersió total: 0.929.



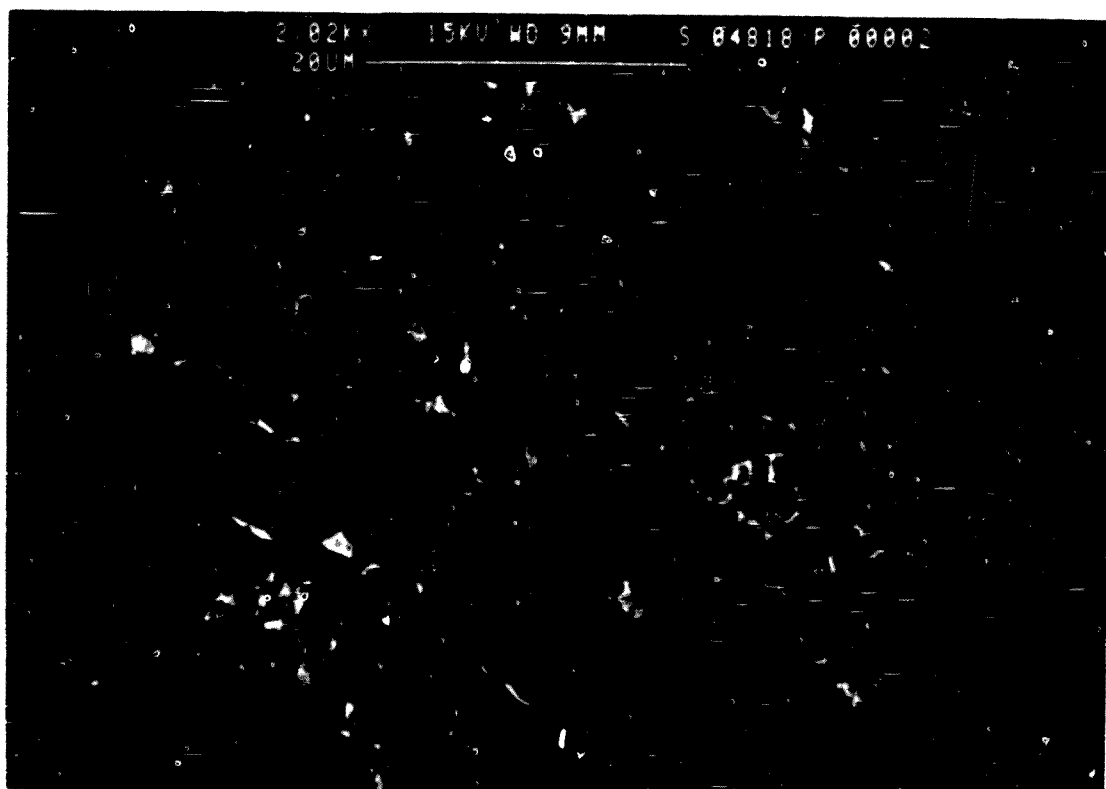
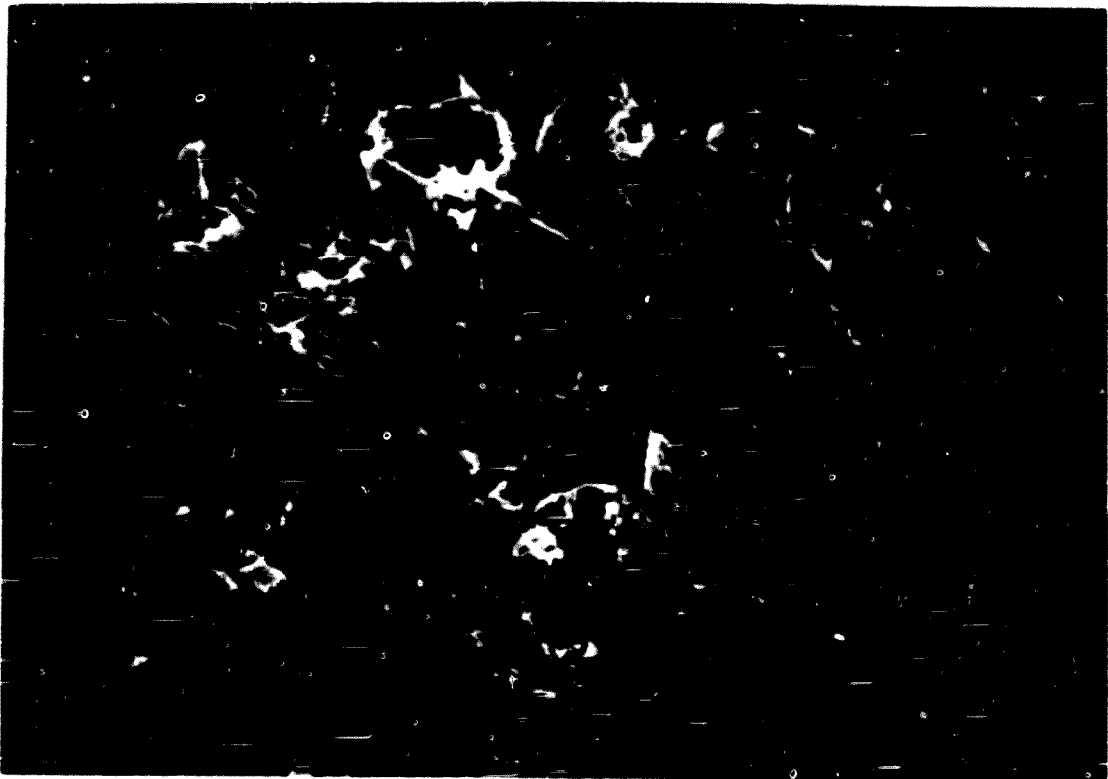
**Figura 54.** Categories a partir de les fases cristal·lines per DRX per a l'agrupació El. Elb:  $I_c$  64. Elm:  $I_c$  48. Ela:  $I_c$  14.



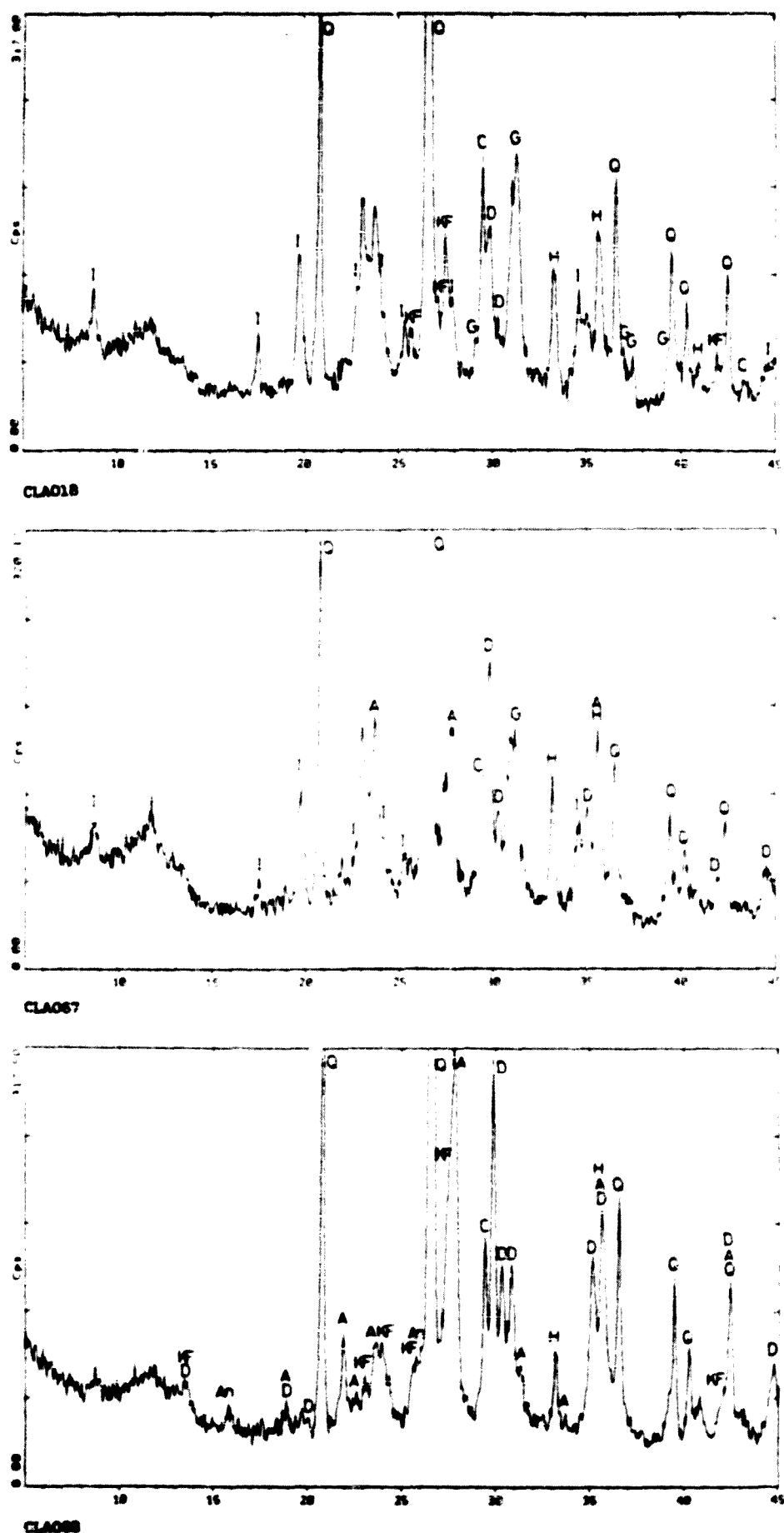
**Figura 55.** Fotografies de MER sobre fractura fresca a 2020X. La línia de referència són 20  $\mu\text{m}$ . Superior:  $I_c$  64 (E1b). Inferior:  $I_c$  14 (E1a).



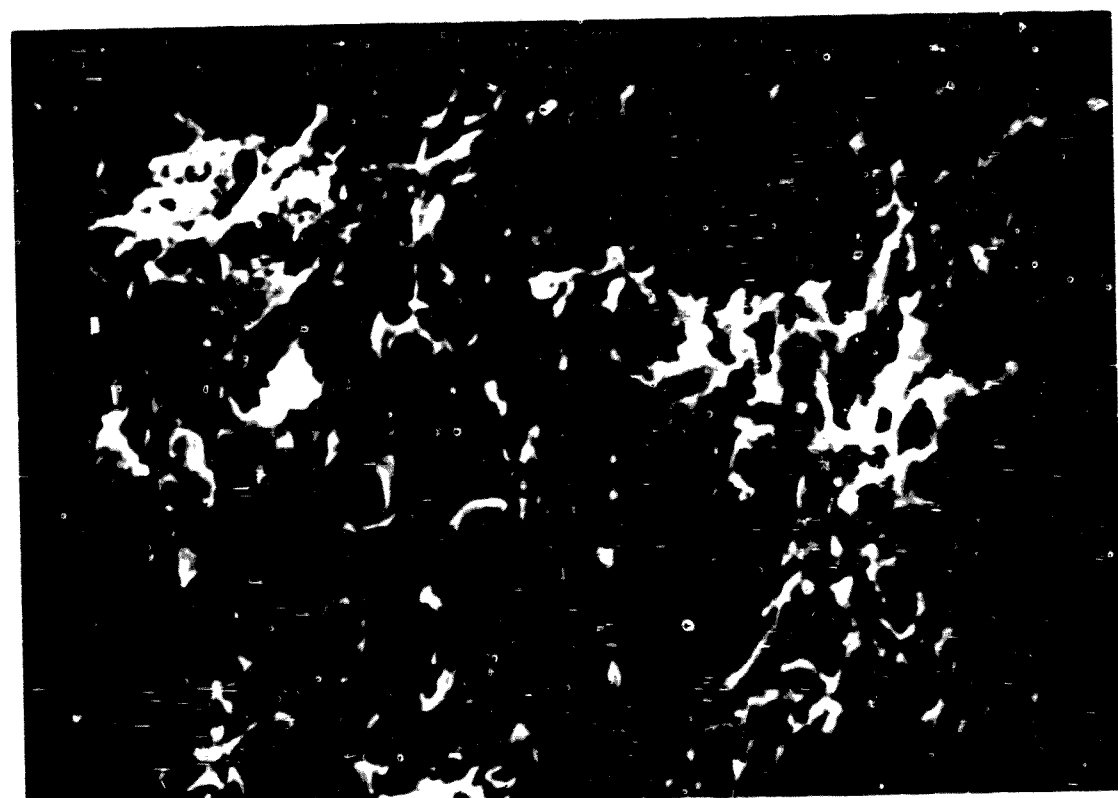
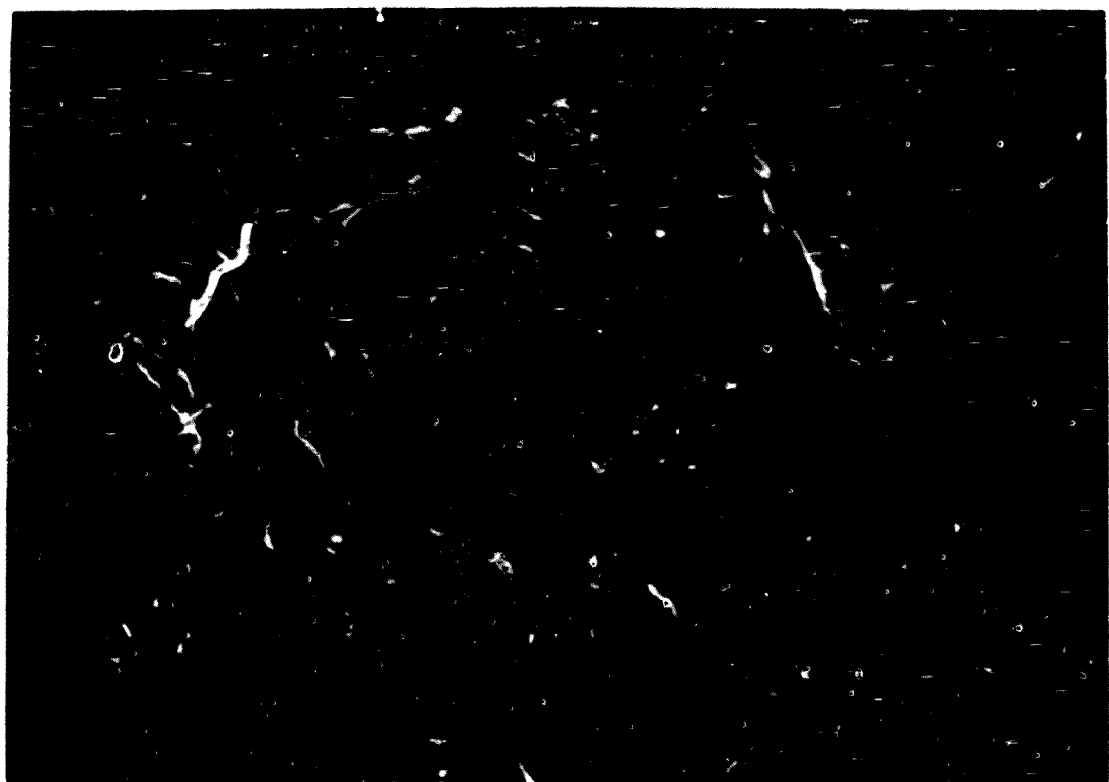
**Figura 56.** Categories - partir de les fases cristal·lines per DRX per a l'agrupació E2. E2b: I<sub>c</sub> 93. E2m: I<sub>c</sub> 92. E2a: I<sub>c</sub> 76.



**Figura 57.** Fotografies de MER sobre fractura fresca a 2020X. La línia de referència són 20  $\mu$ m. Superior: Lc 92 (E2m). Inferior: Lc 76 (E2a).



**Figura 58.** Categories a partir de les fases cristal·lines per DRX per a l'agrupació E3. E3b: I<sub>c</sub> 18. E3m: I<sub>c</sub> 67. E3a: I<sub>c</sub> 68.



**Figura 59. Fotografies de MER sobre fractura fresca a 2020X. La línia de referència són 20  $\mu$ m. Superior:  $I_c$  18 (E3b). Inferior:  $I_c$  102 (E3a).**

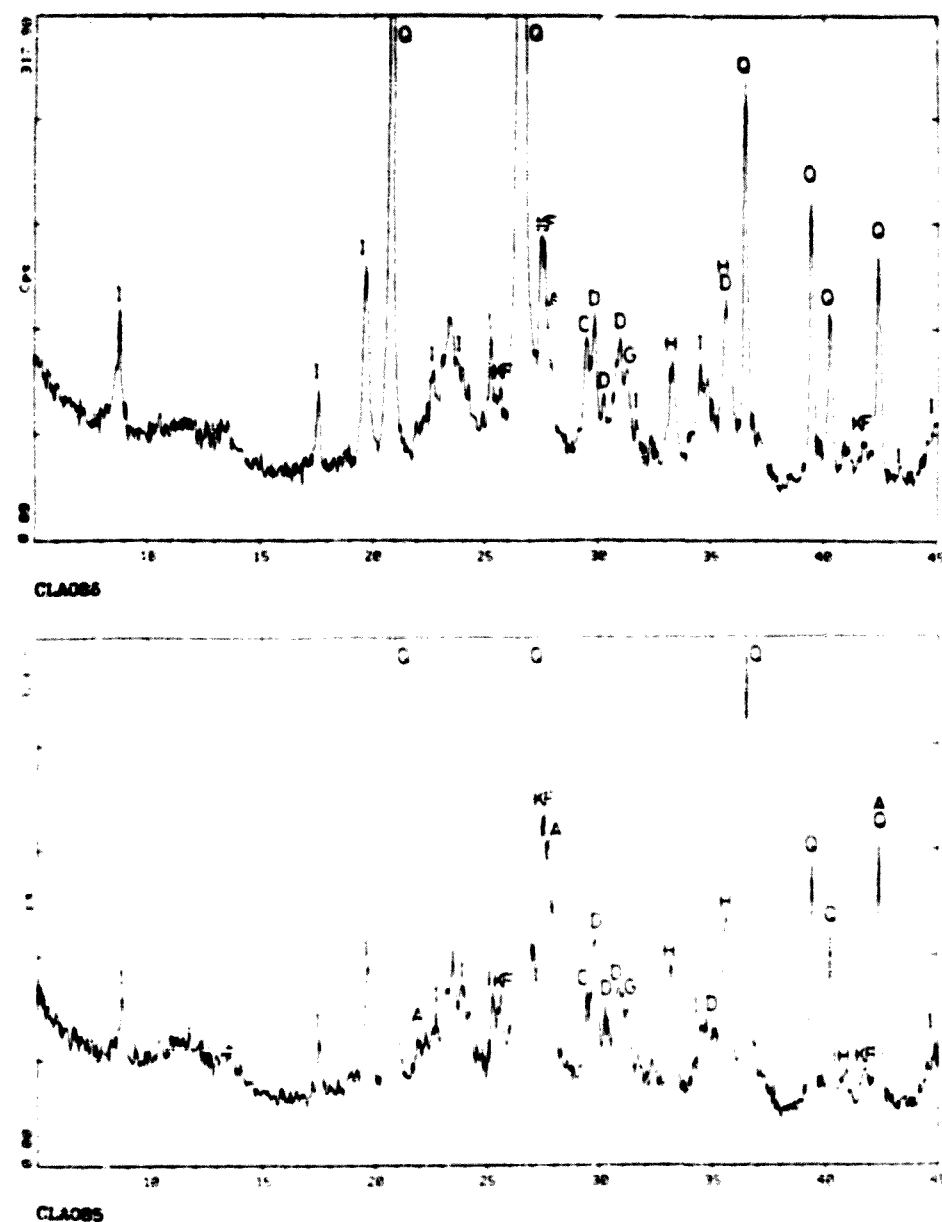
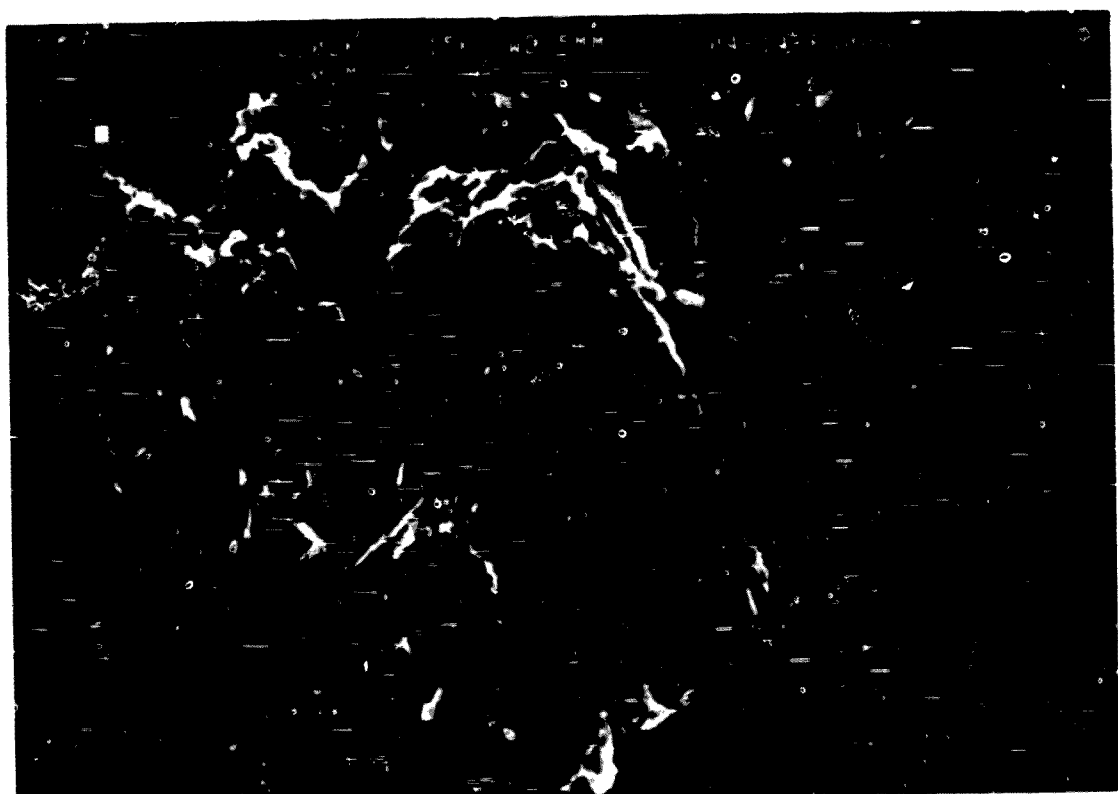
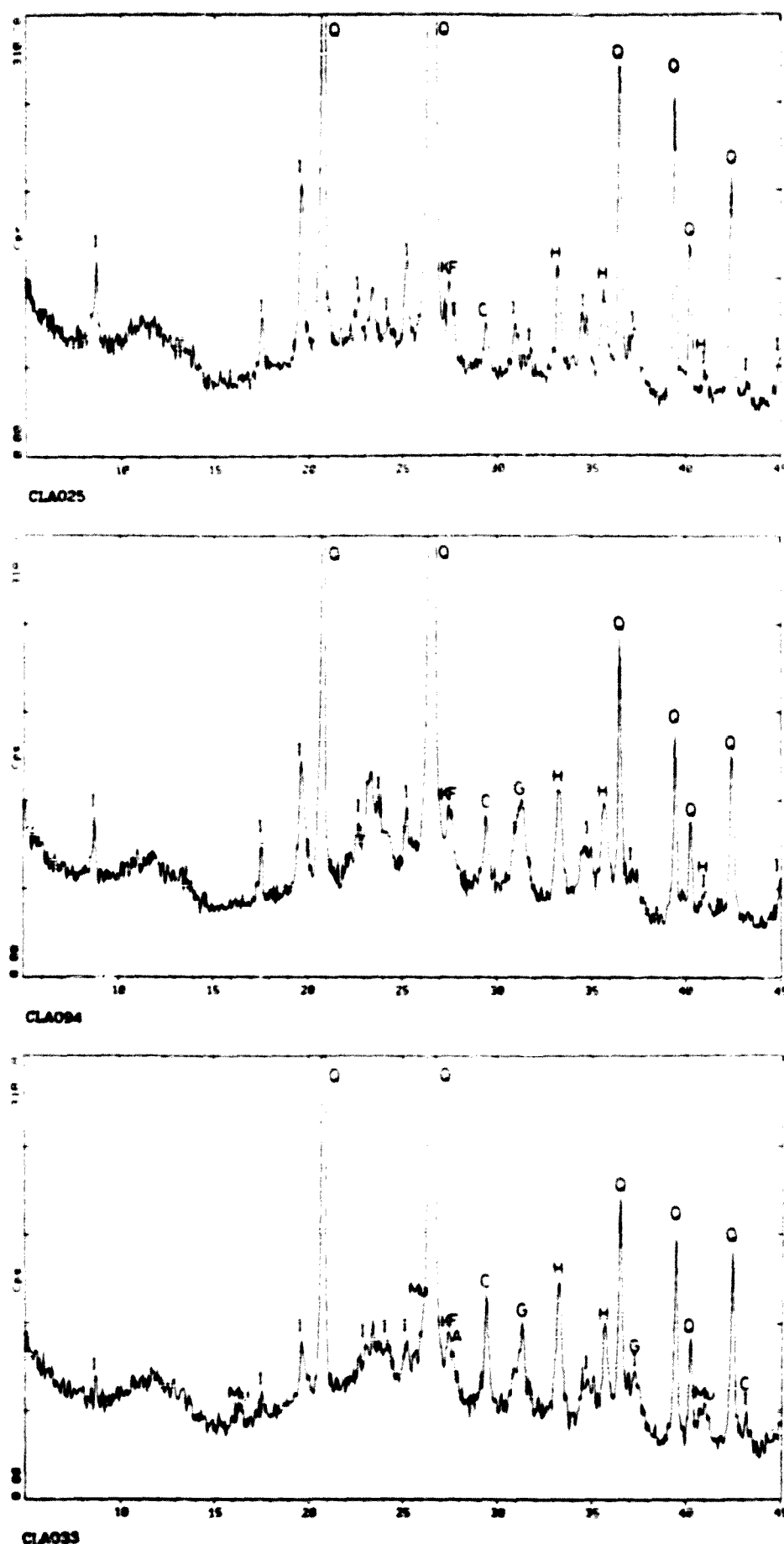


Figura 60. Difractogrames de DRX per a l'agrupació E4. Superior:  $I_c$  86. Inferior:  $I_c$  85.



**Figura 61.** Fotografies de MER sobre fractura fresca a 2020X. La línia de referència són 20  $\mu\text{m}$ . I<sub>c</sub> 82 (E4).

D1



**Figura 62.** Categories a partir de les fases cristal·lines per DRX per a l'agrupació D1. D1b:  $I_c$  25. D1m:  $I_c$  94. D1a:  $I_c$  33.

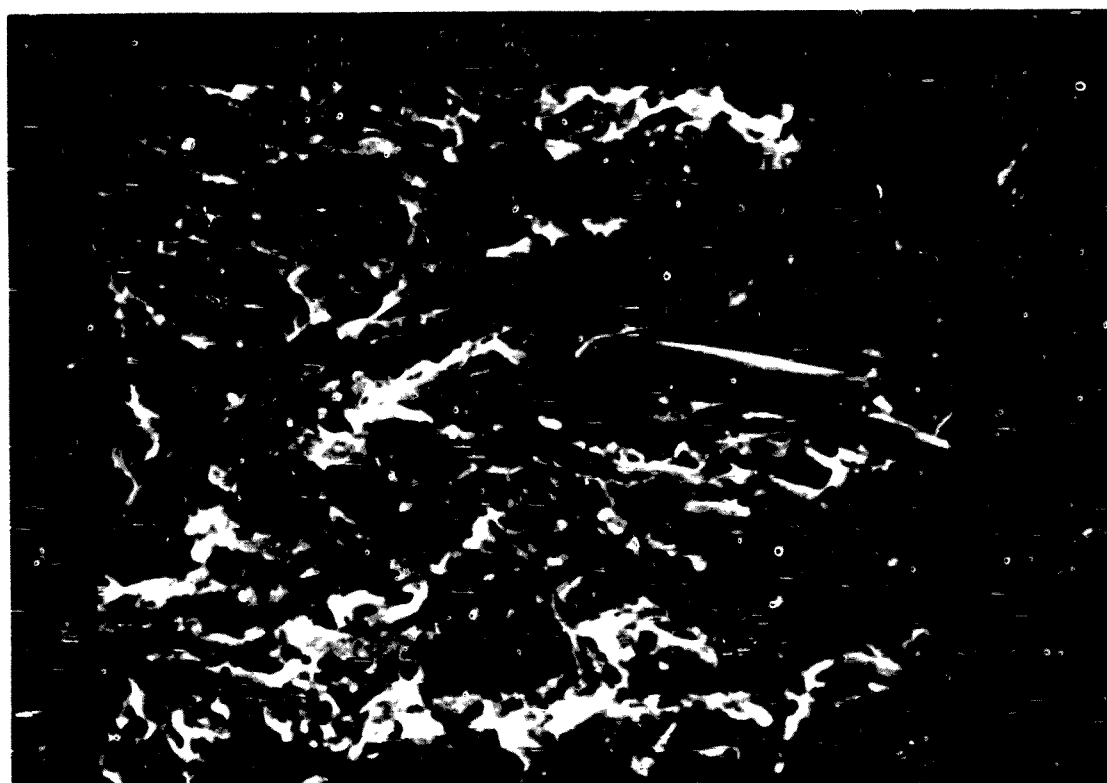
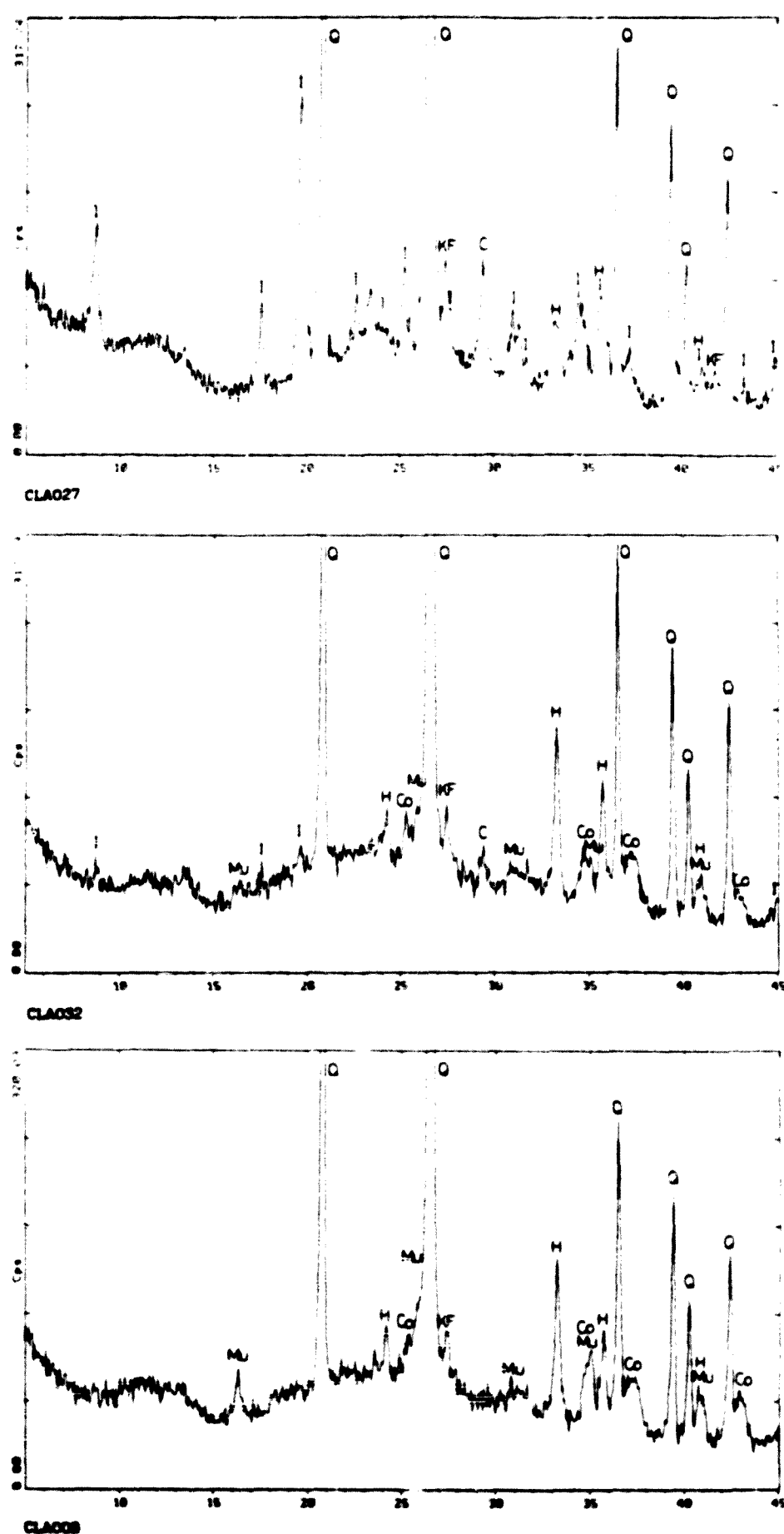
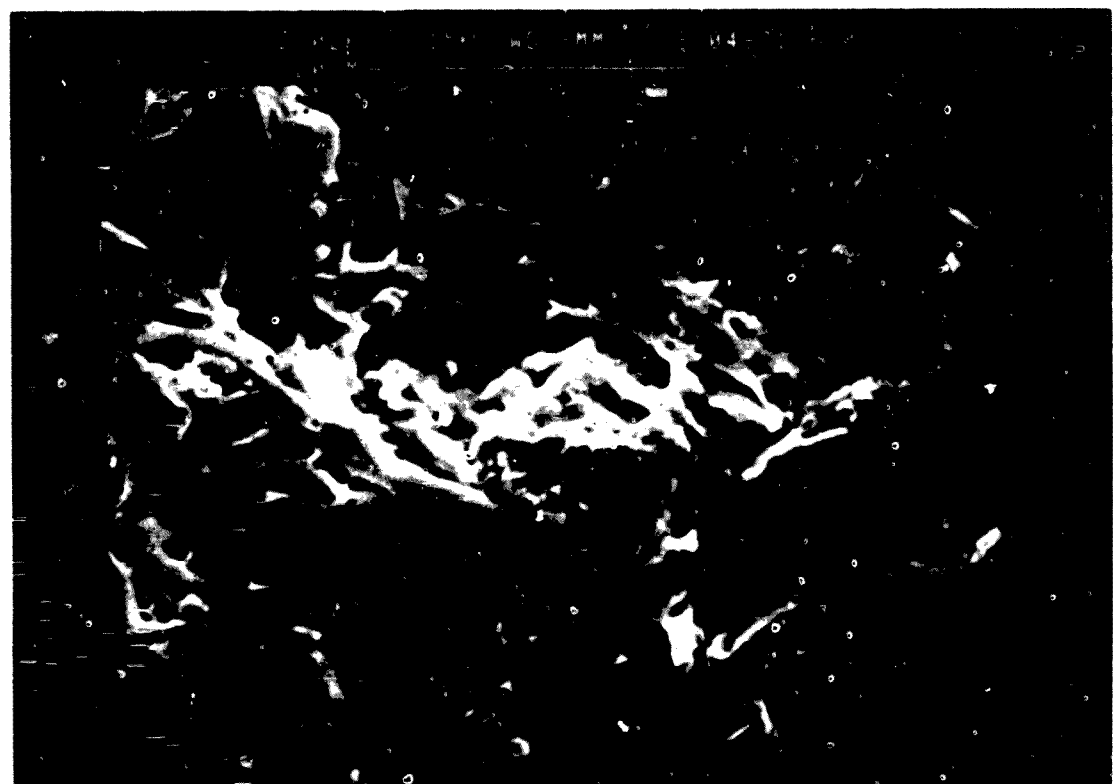
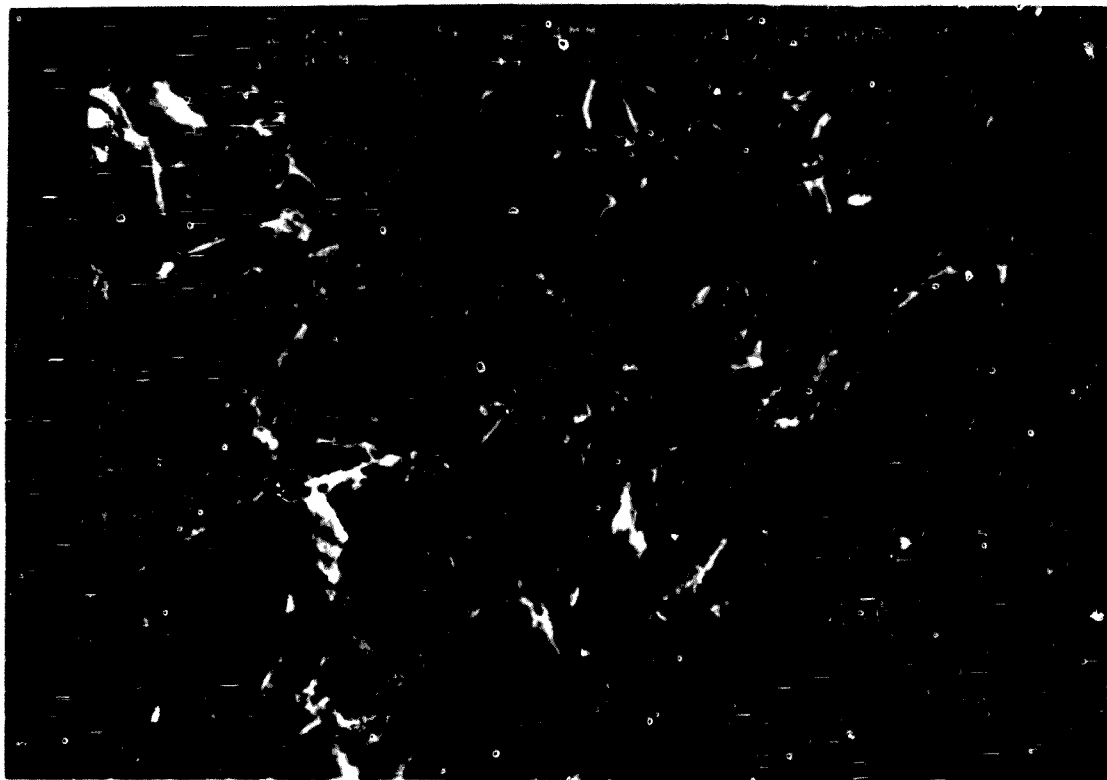


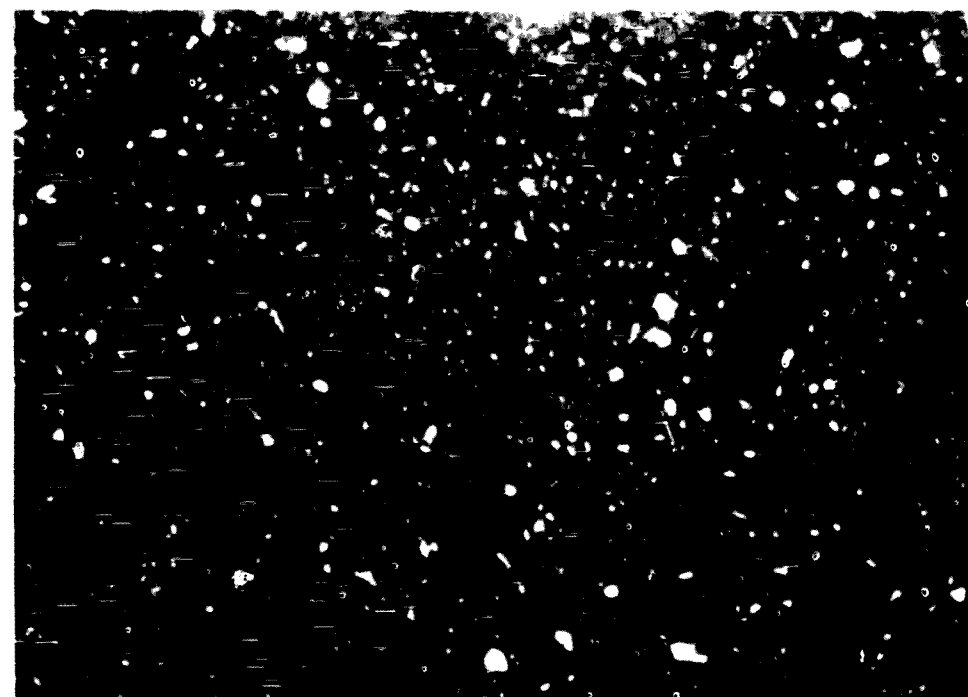
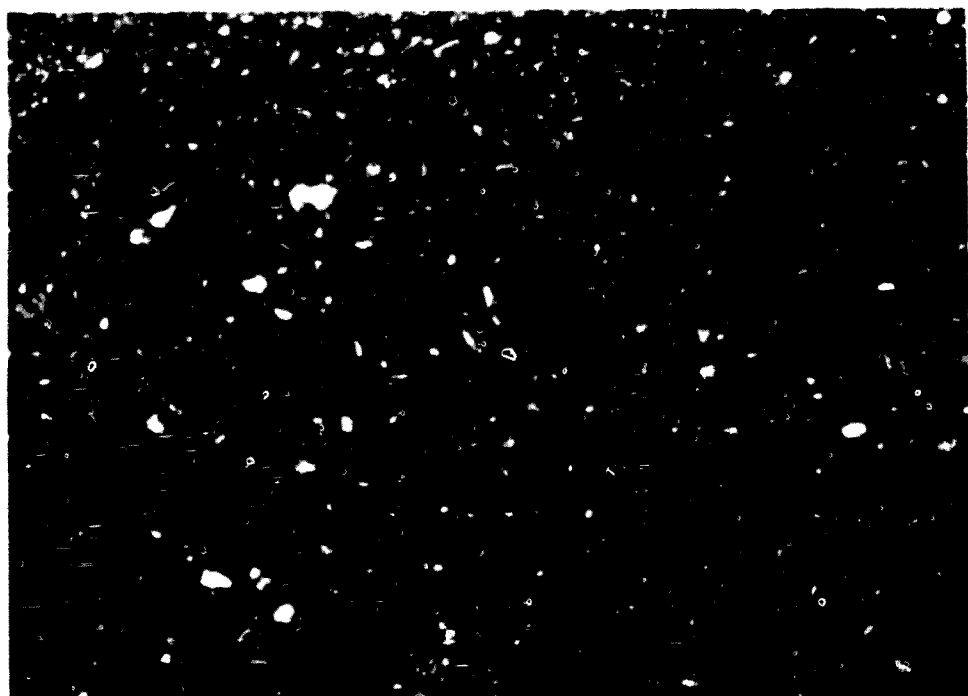
Figura 63. Fotografies de MER sobre fractura fresca a 2020X. La línia de referència són 20  $\mu\text{m}$ . Superior:  $I_c$  94 (D1m). Inferior:  $I_c$  21 (D1a).



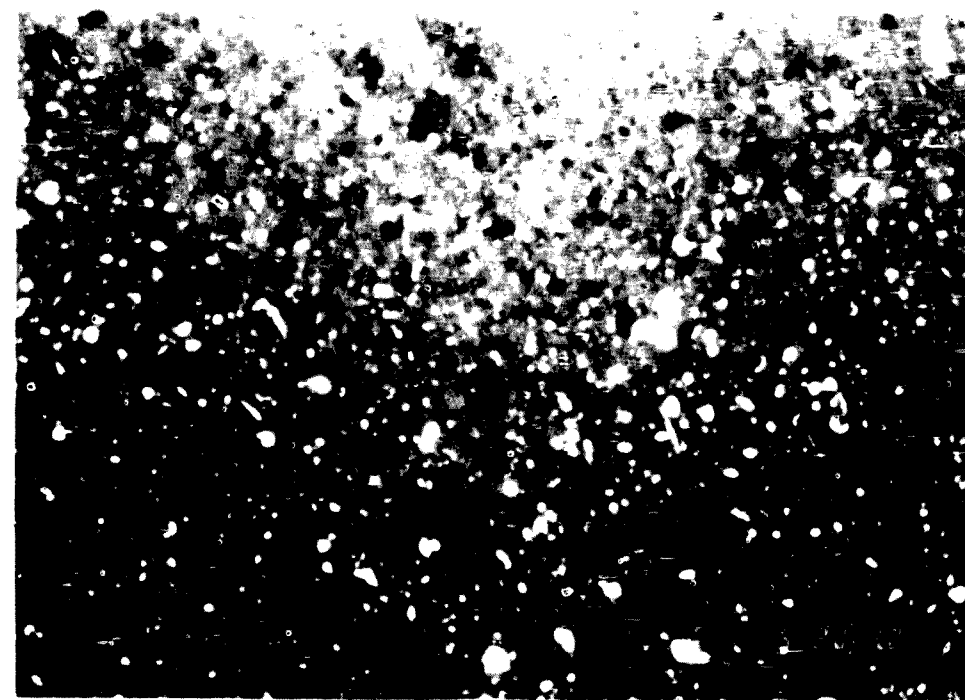
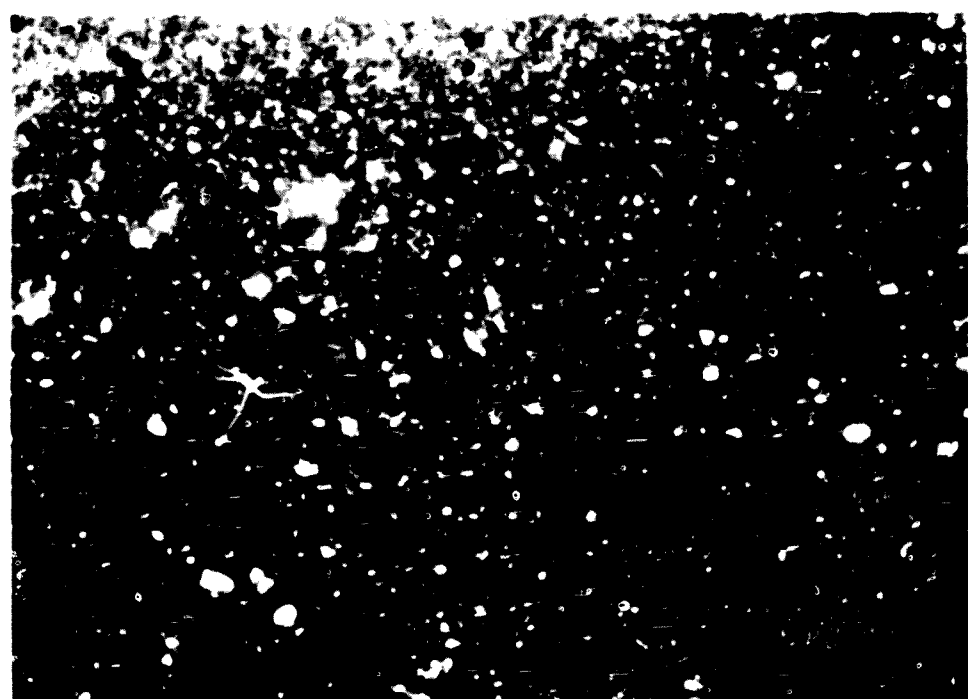
**Figura 64.** Categories a partir de les fases cristal·lines per DRX per a l'agrupació D2. D2b: I<sub>c</sub> 27. D2m: I<sub>c</sub> 32. D2a: I<sub>c</sub> 8.



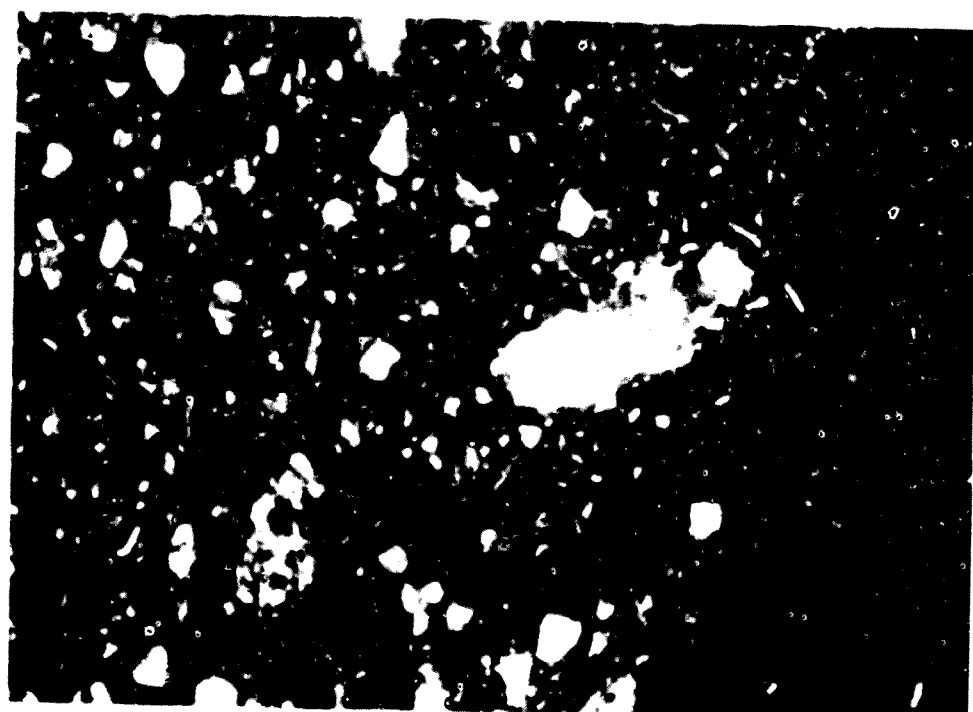
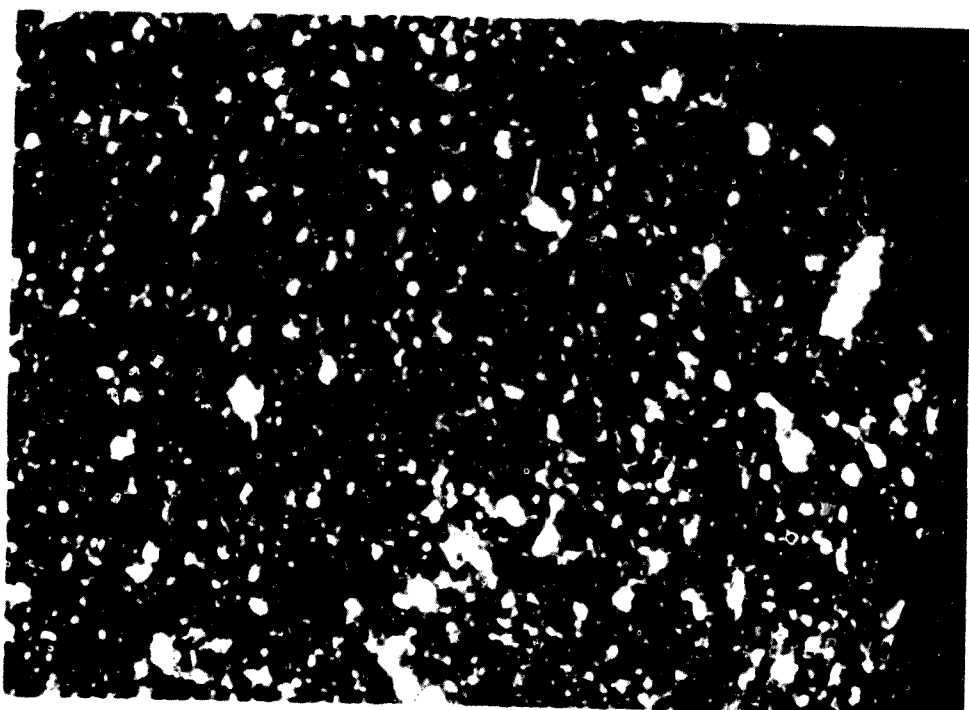
**Figura 65.** Fotografies de MER sobre fractura fresca a 2020X. La línia de referència són 20  $\mu\text{m}$ . Superior:  $I_c$  27 (D2b). Inferior:  $I_c$  42 (D2a).



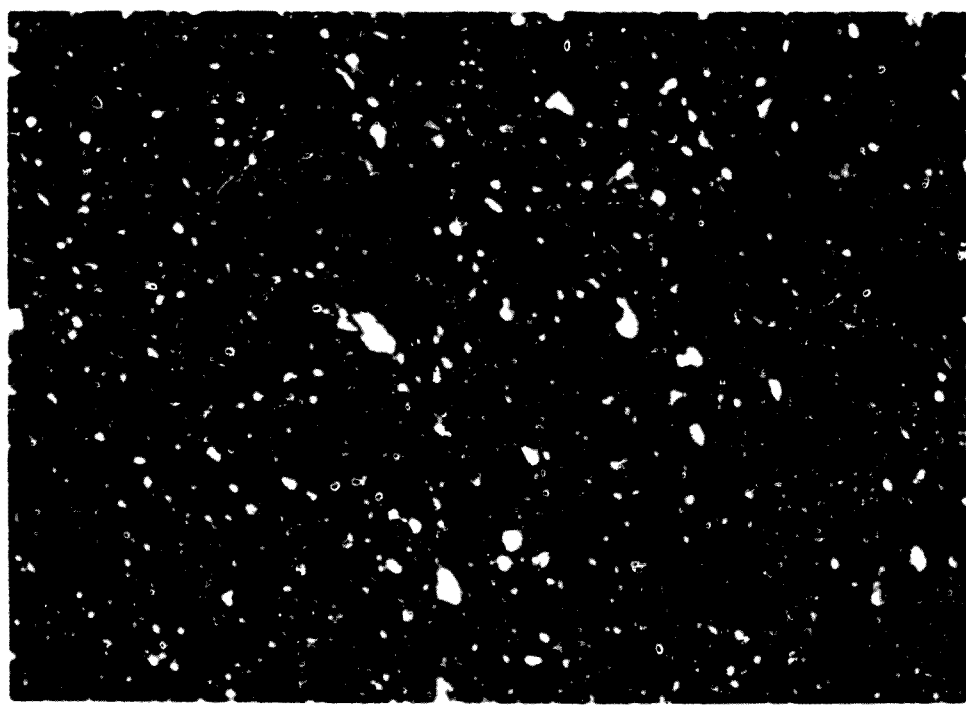
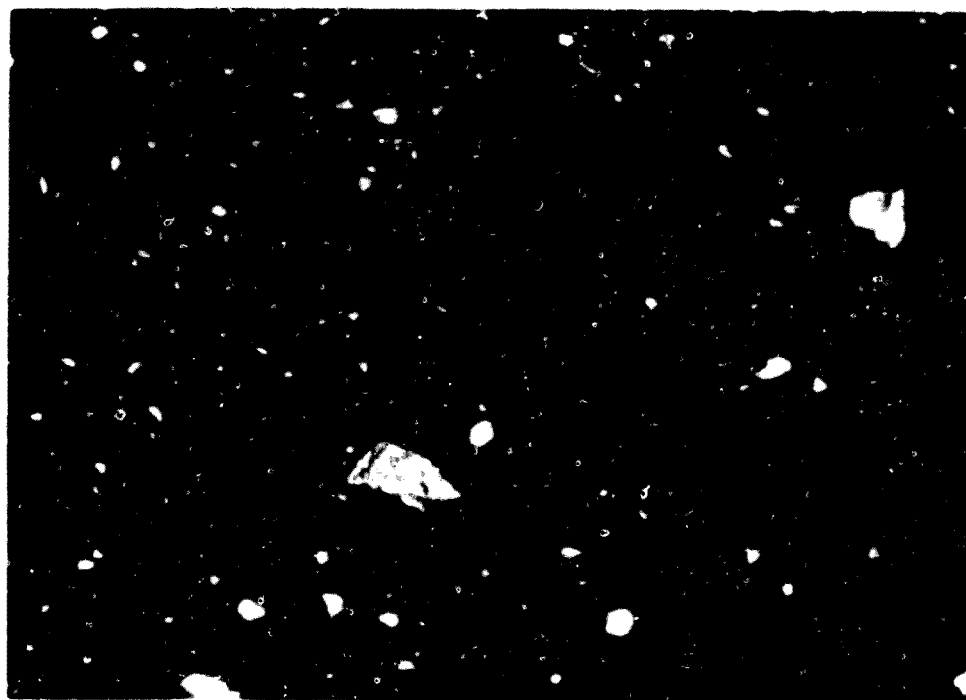
**Figura 66.** Fotografies de làmines primes a 40X. Nícols creuats. Superior: visió general de la matriu de l'l<sub>c</sub> 18 (E3b). S'observa el predomini de les inclusions de quars de distribució regular. Inferior: visió general de la matriu de l'l<sub>c</sub> 68 (E3a). S'observa la decoloració de la matriu.



**Figura 66.** Fotografies de lamines primes a 40X. Nicols creuats. Superior: visió general de la matriu de l'I<sub>c</sub> 18 (E3b). S'observa el predomini de les inclusions de quars de distribució regular. Inferior: visió general de la matriu de l'I<sub>c</sub> 68 (E3a). S'observa la decoloració de la matriu



**Figura 66 continuació.** Fotografies de làmines. Nícols creuats. Superior: visió general a 40X de la matriu de l'<sup>1</sup>C 82 (E4). S'observa la distribució irregular de les inclusions, així com trases de roques metamòrfiques. Inferior: detall a 100X de l'anterior. S'observen trases de roques metamòrfiques a més d'una plagiòclassis alotriomorfa.



**Figura 67.** Fotografies de làmines primes a 40X. Nícols creuats. Superior: visió general de la matriu de l'I<sub>c</sub> 39 (D1m). S'observa la gran diversitat granulomètrica de les inclusions, irregularment distribuïdes. Inferior: visió general de la matriu de l'I<sub>c</sub> 29 (D2a). S'observa, en relació a l'anterior, la major abundància d'opacs. Dominada, com l'anterior pel quars.

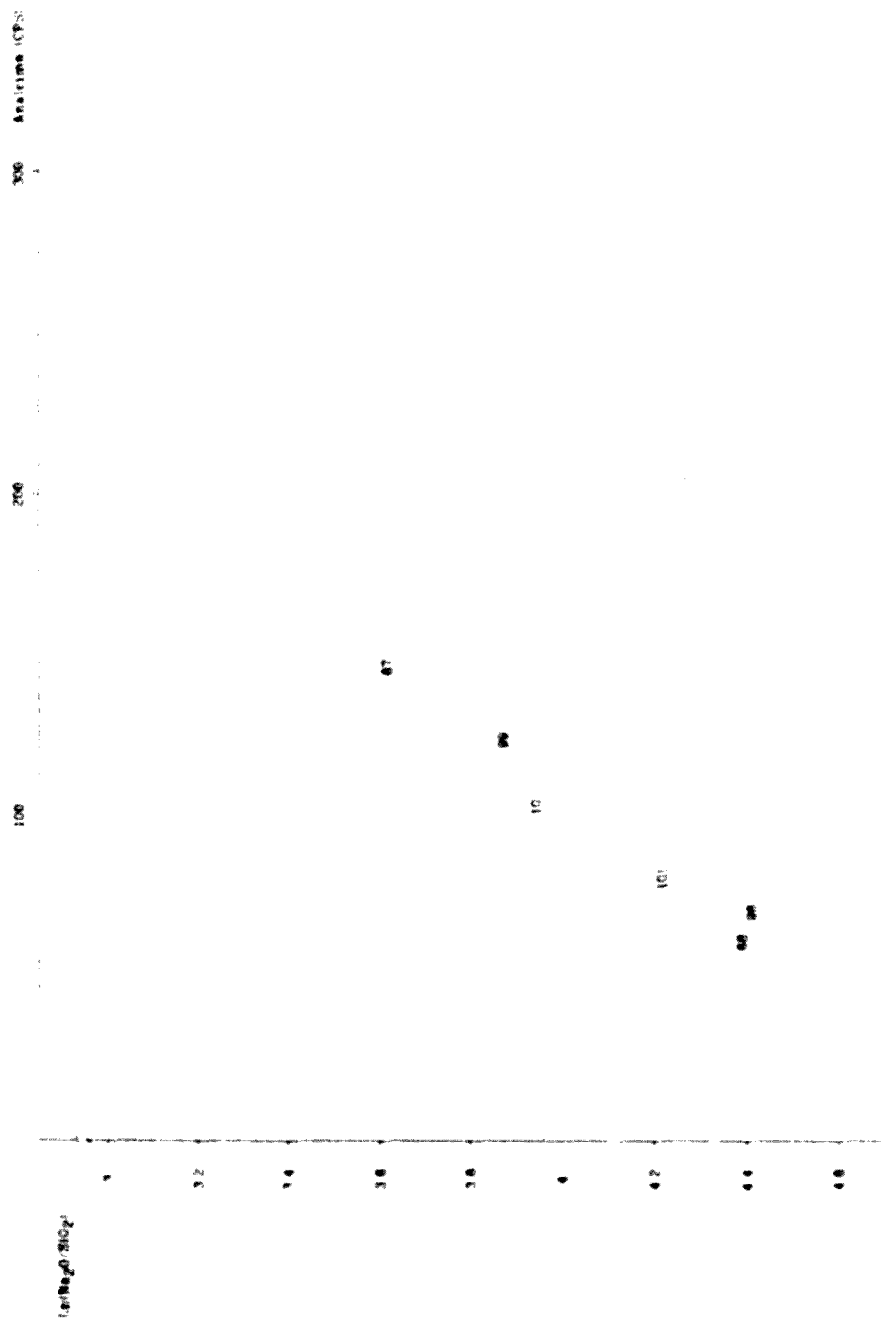
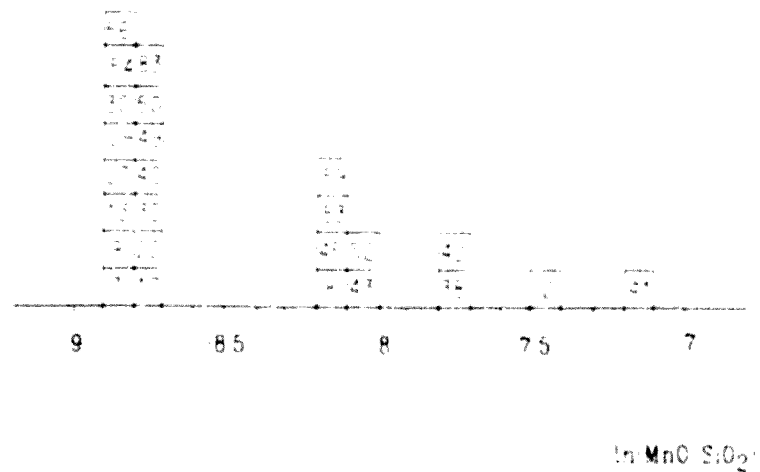


Figura 68. Gràfic de doble entrada analcima- $\text{Im}(\text{Na}_2\text{O}/\text{SiO}_2)$ .

D2



**Figura 69.** Histograma dels valors dels  $\ln(\text{MnO}/\text{SiO}_2)$  de l'agrupació D2.

249

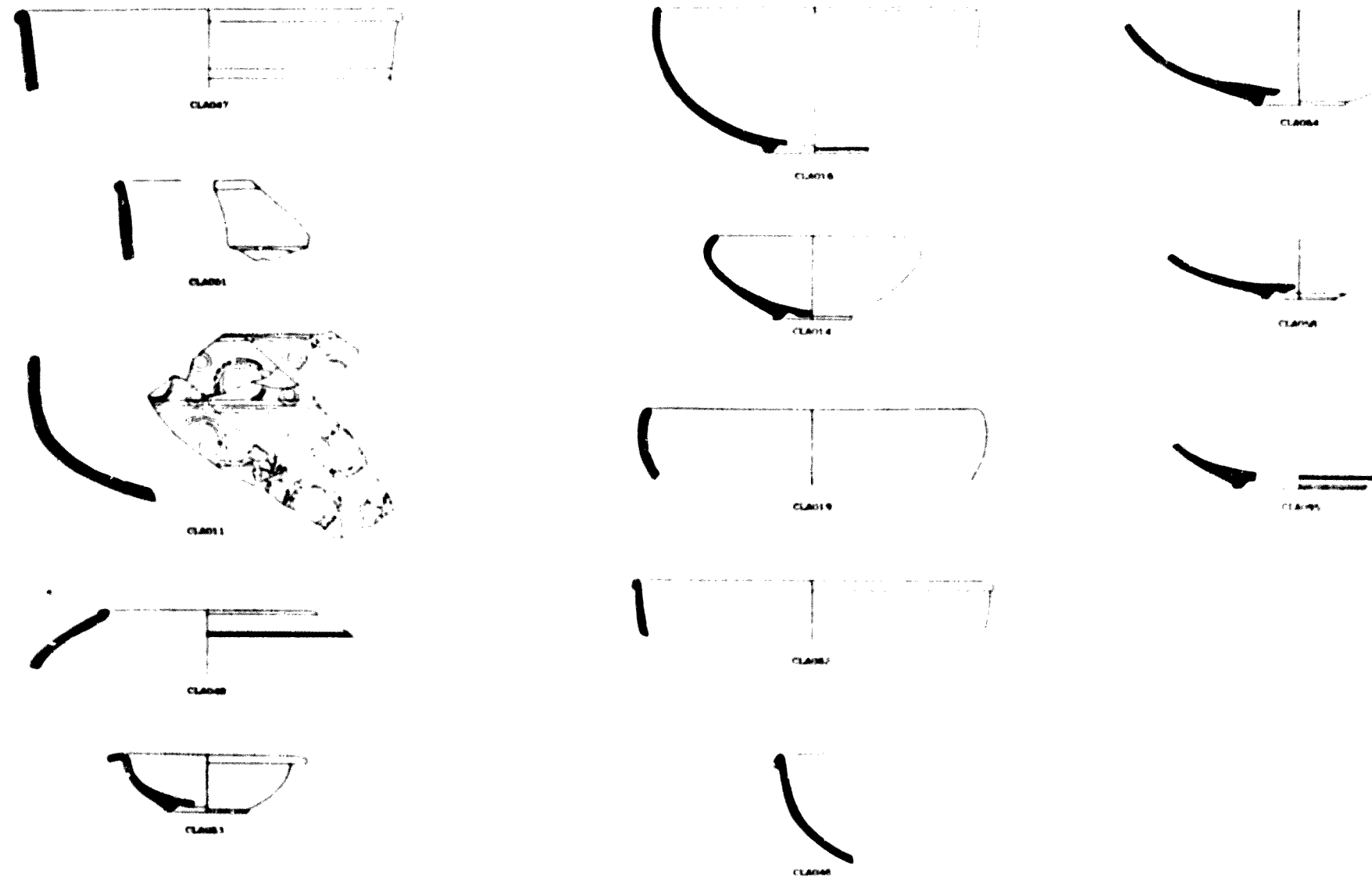


Figura 70. Lámina resum dels  $I_c$  de l'agrupació E1.

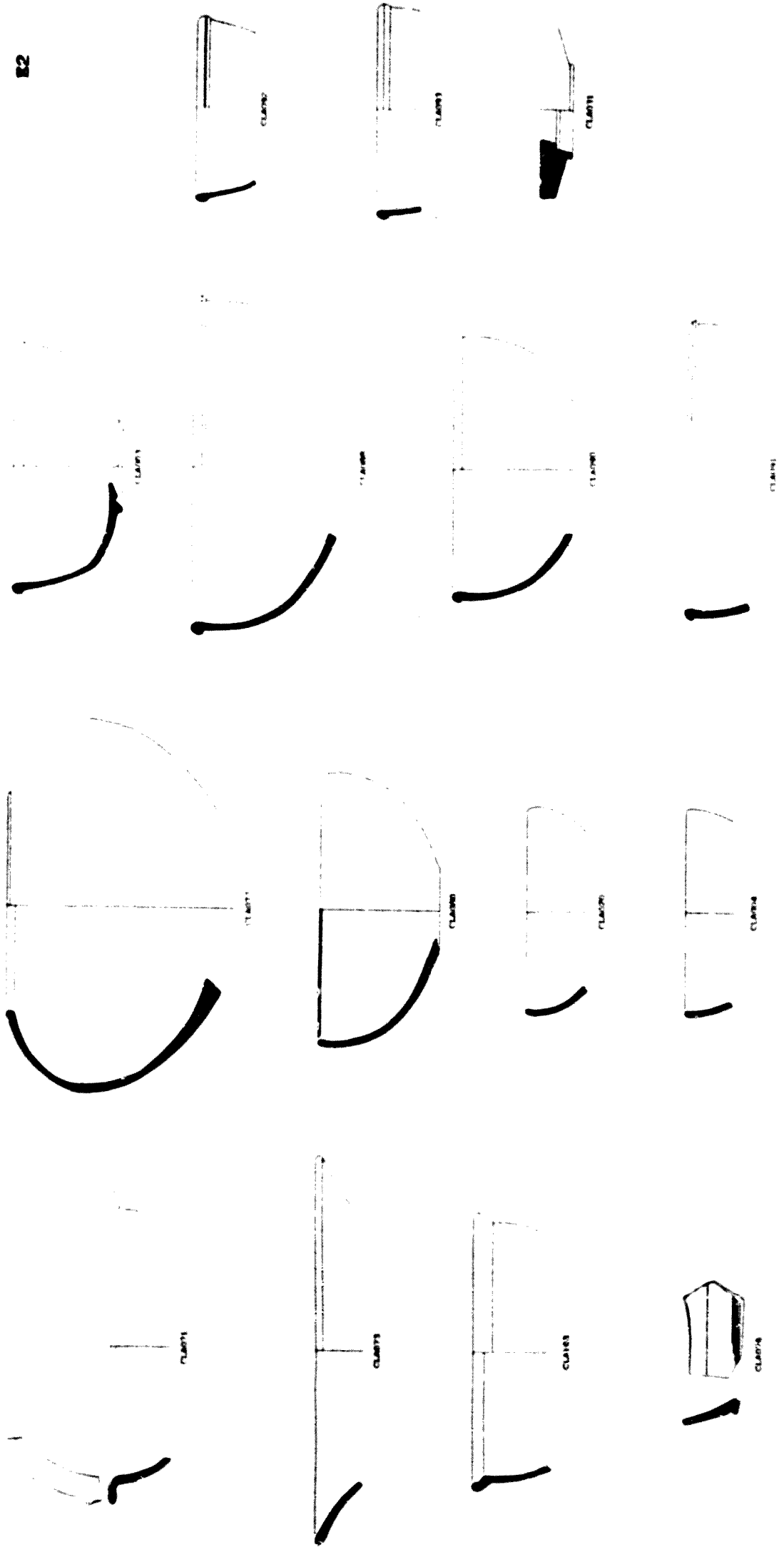


Figura 71. Làmina resum dels i<sub>c</sub> de l'agrupació E2.

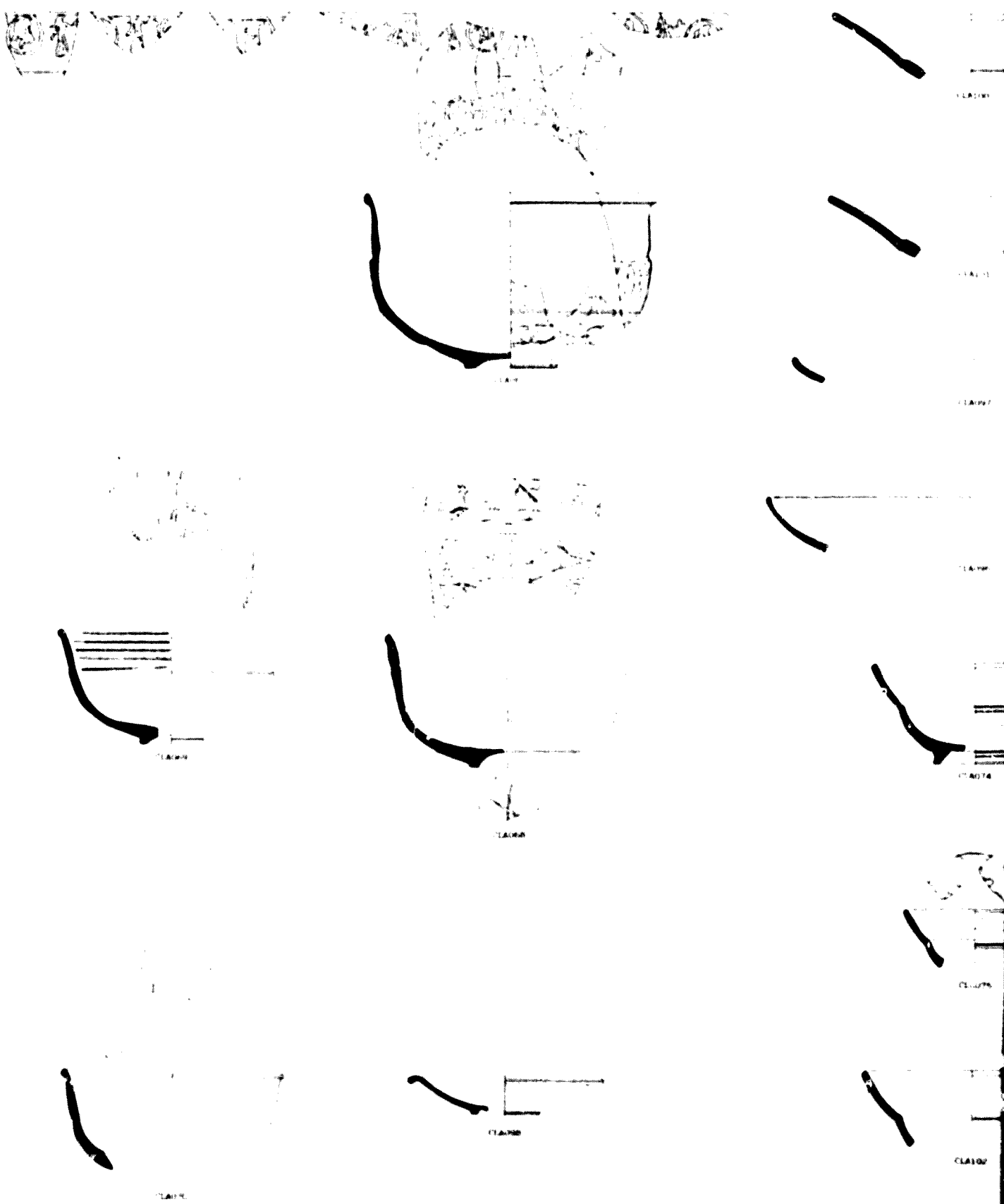
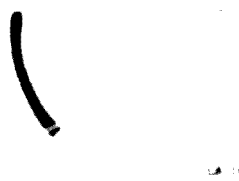
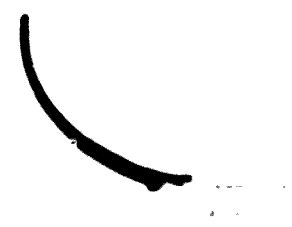
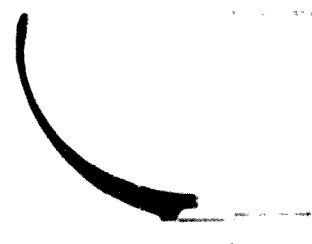


Figura 72. Làmina resum dels  $L_c$  de l'agrupació E3.

E3



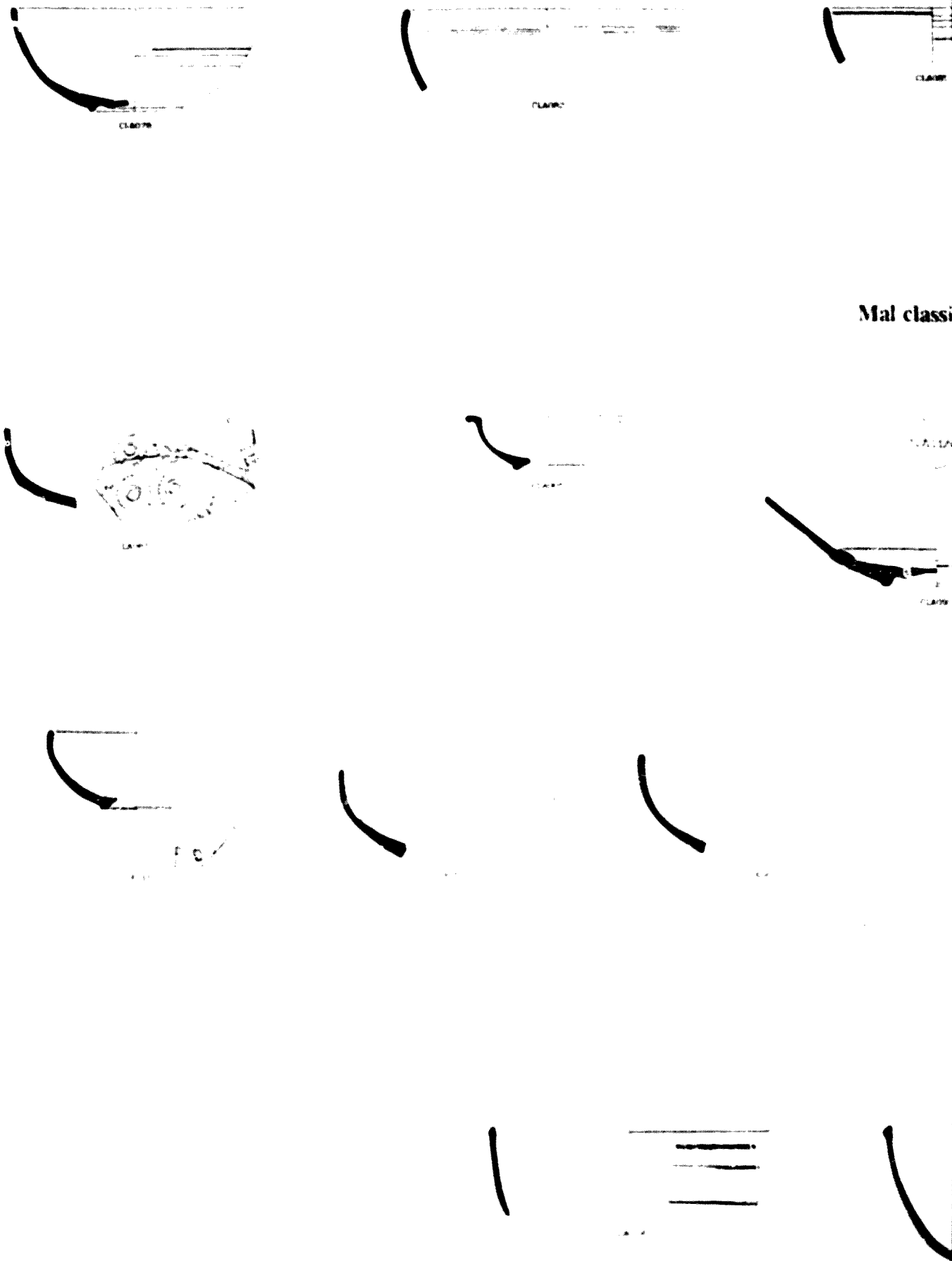


Figura 73. Làmina resum dels  $I_1$  de l'agrupació E4 i dels  $I_1$  definits com a *outliers*.

sificats



24



Q. 10

10



Q. 11

11



Q. 12



Q. 13

D1

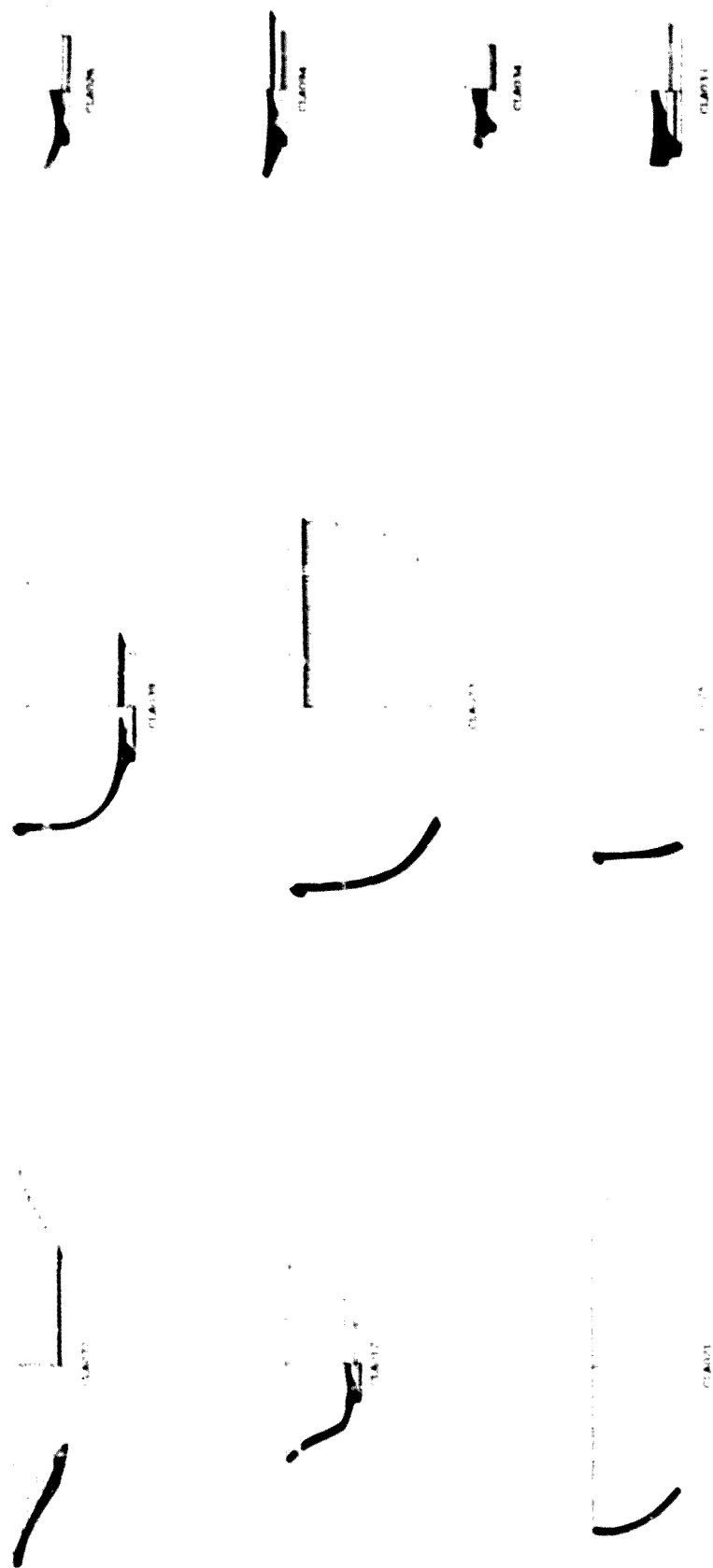
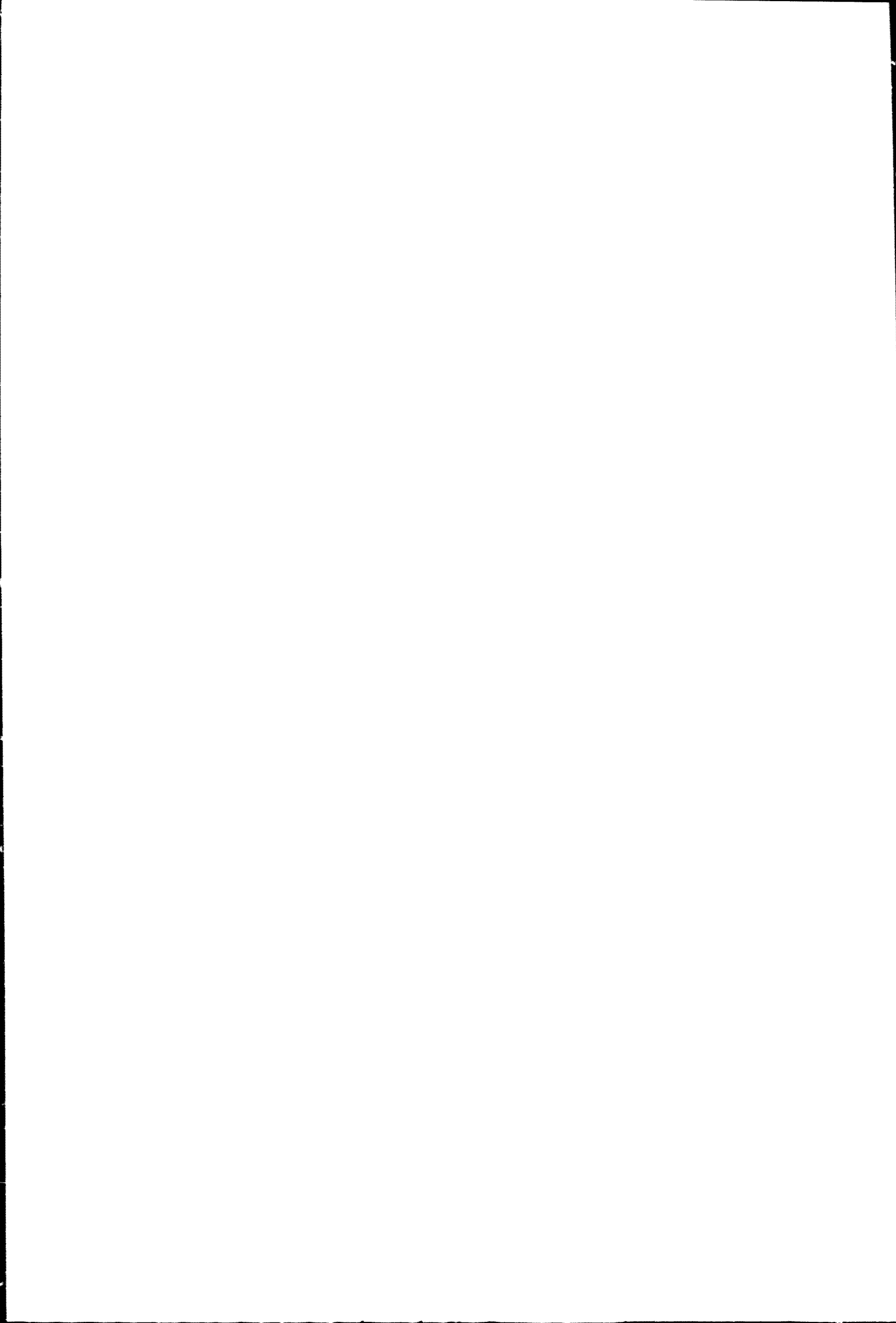


Figura 74. Laminas resum dels  $I_1$  de l'agrupació D1.



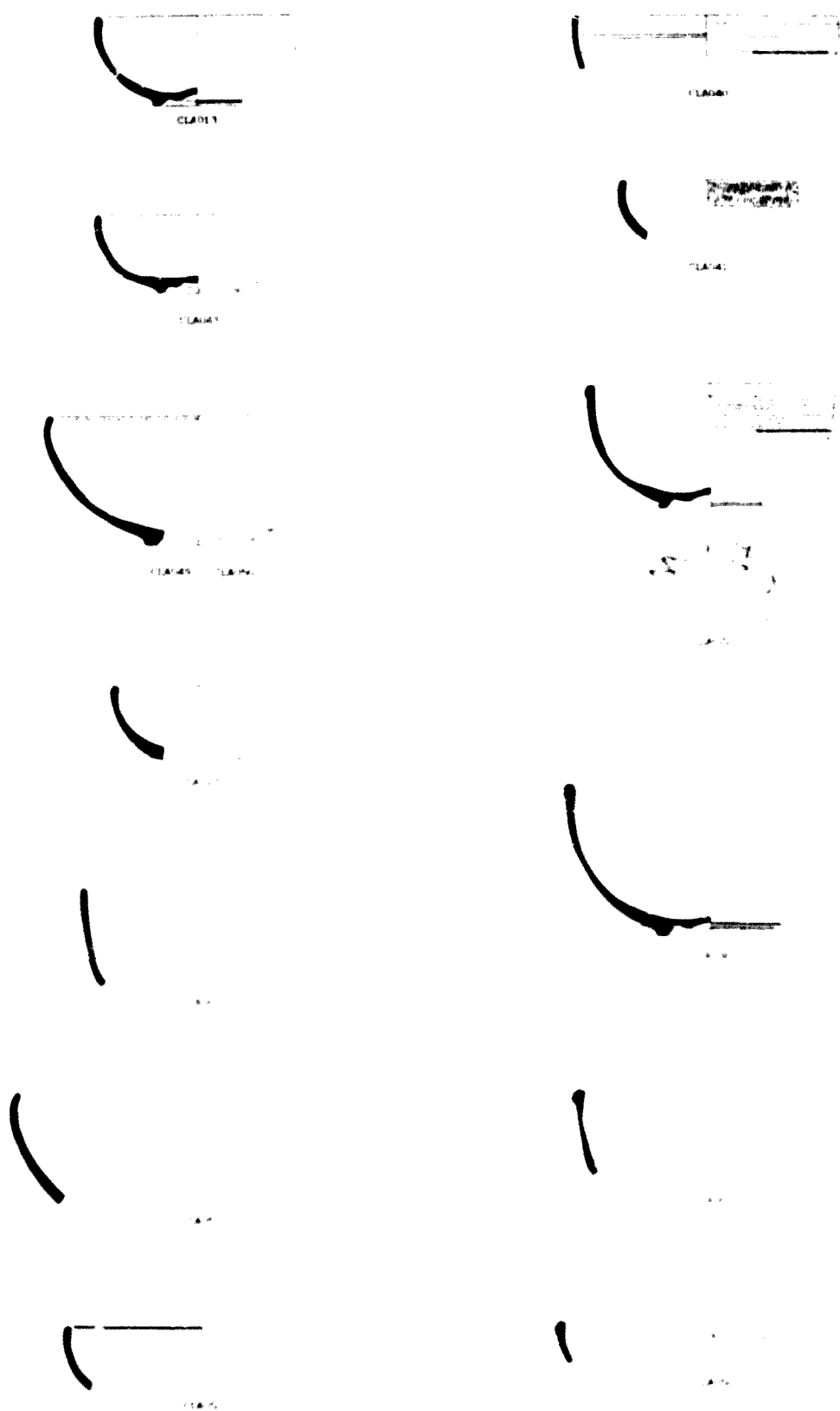
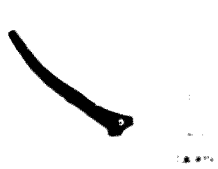
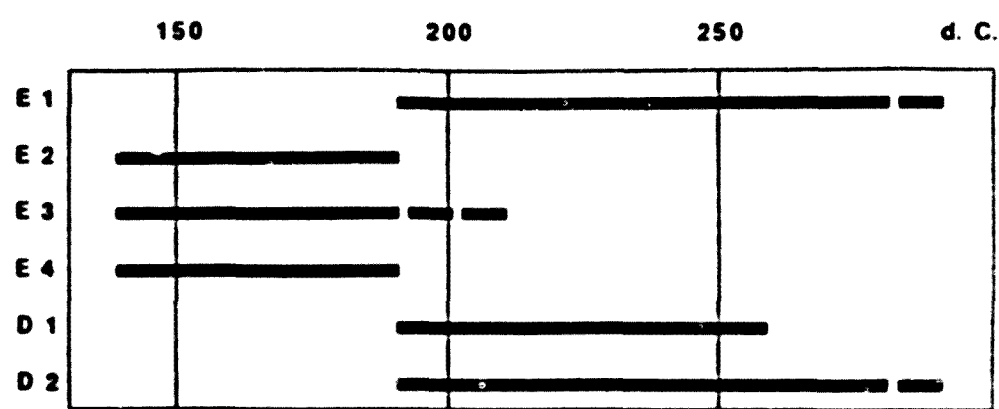


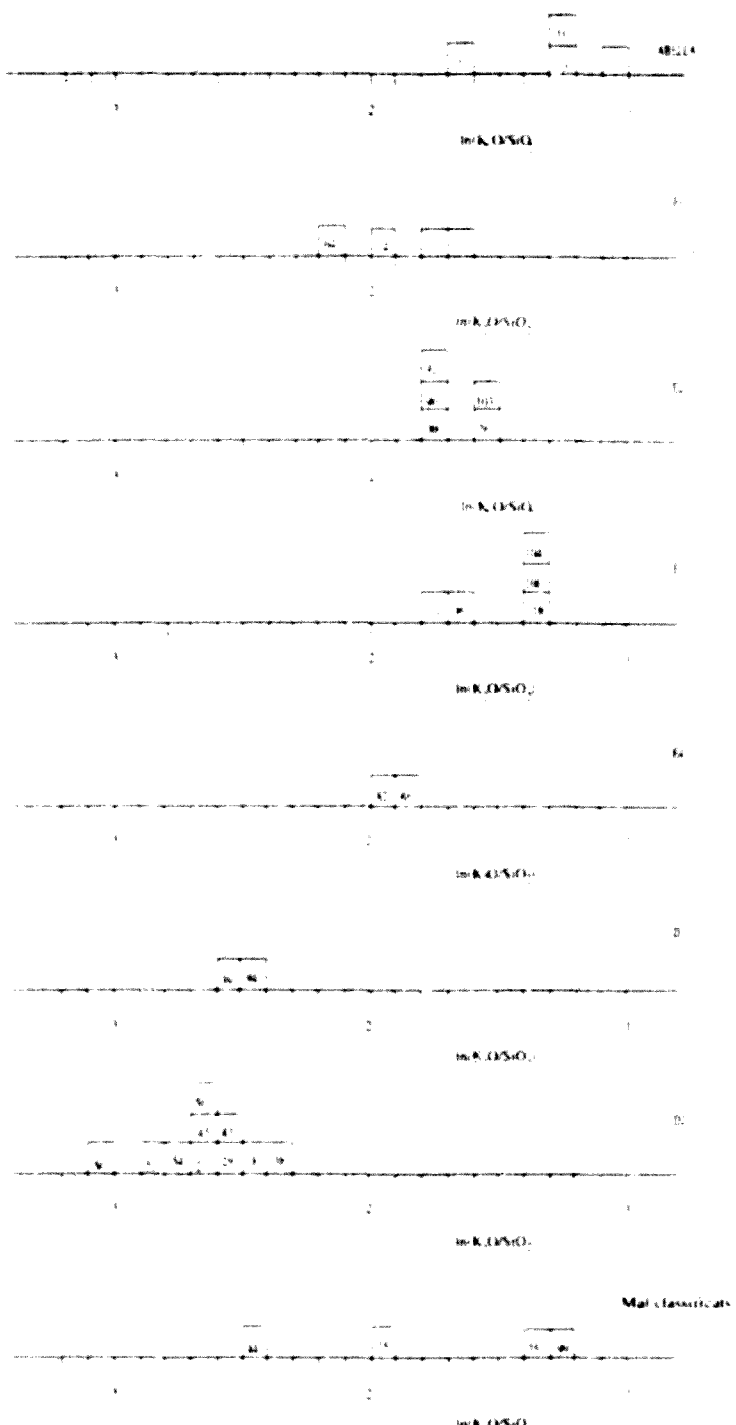
Figura 75. Lámina resum del *L.* de l'agrupació D2.

D2

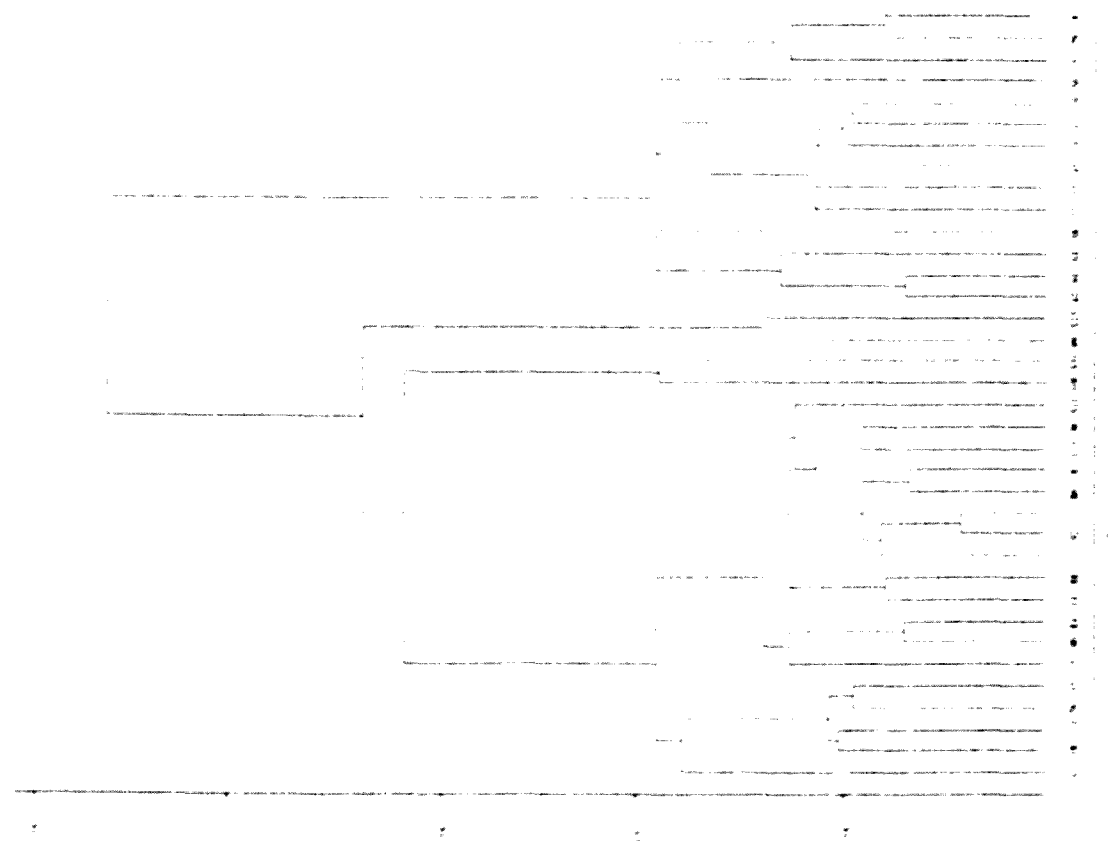




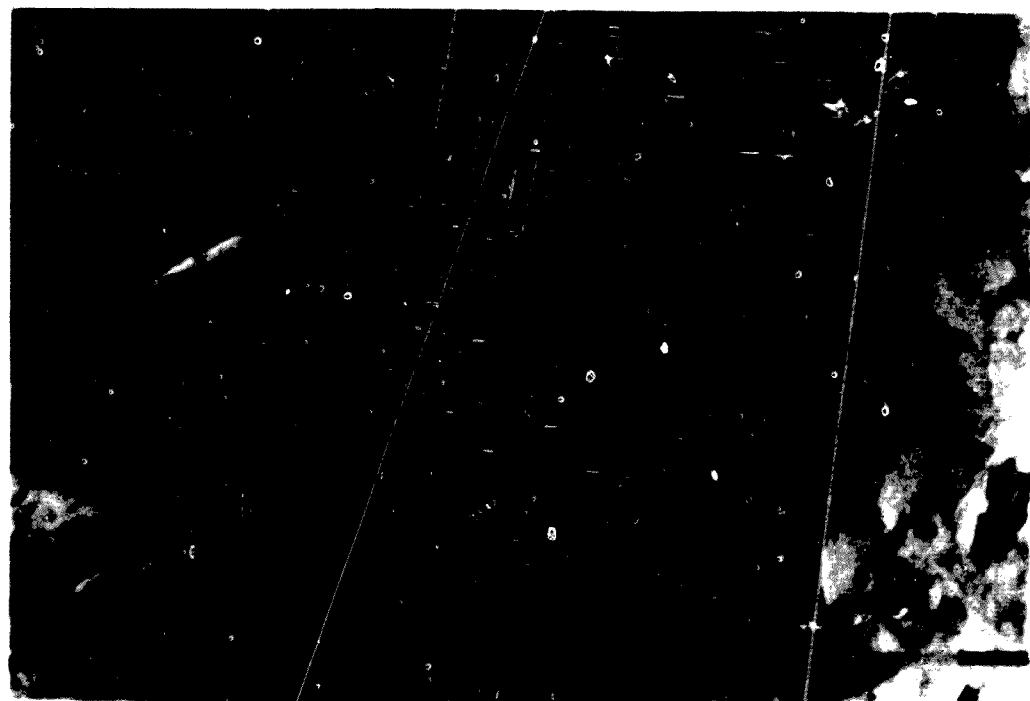
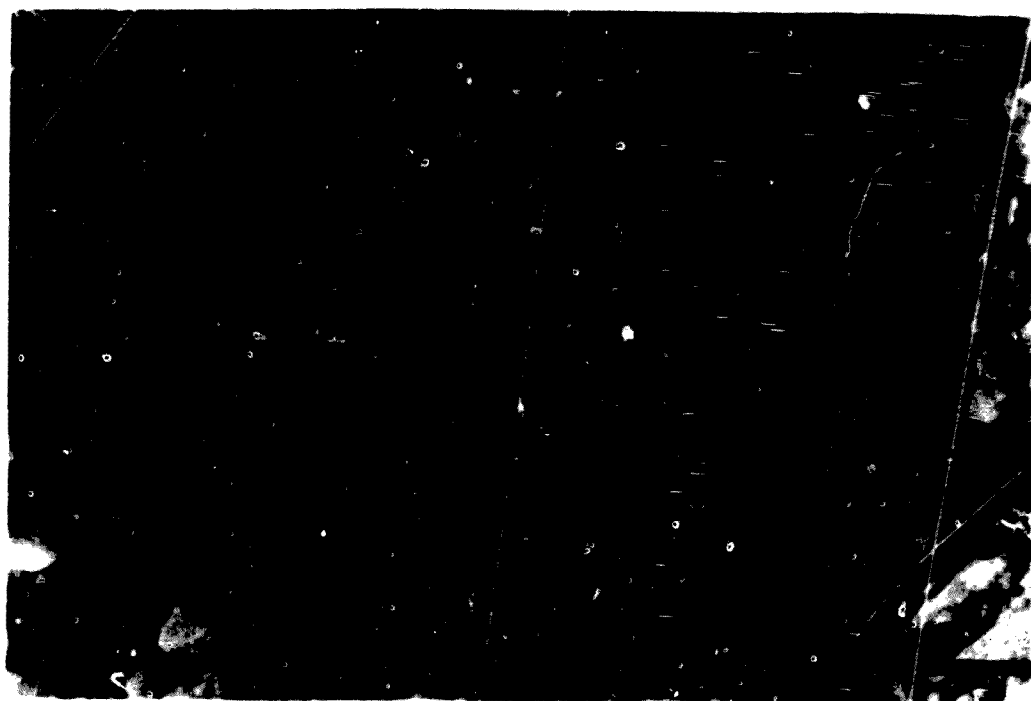
**Figura 76.** Gràfic on es representen les cronologies de cadascuna de les URCP definides.



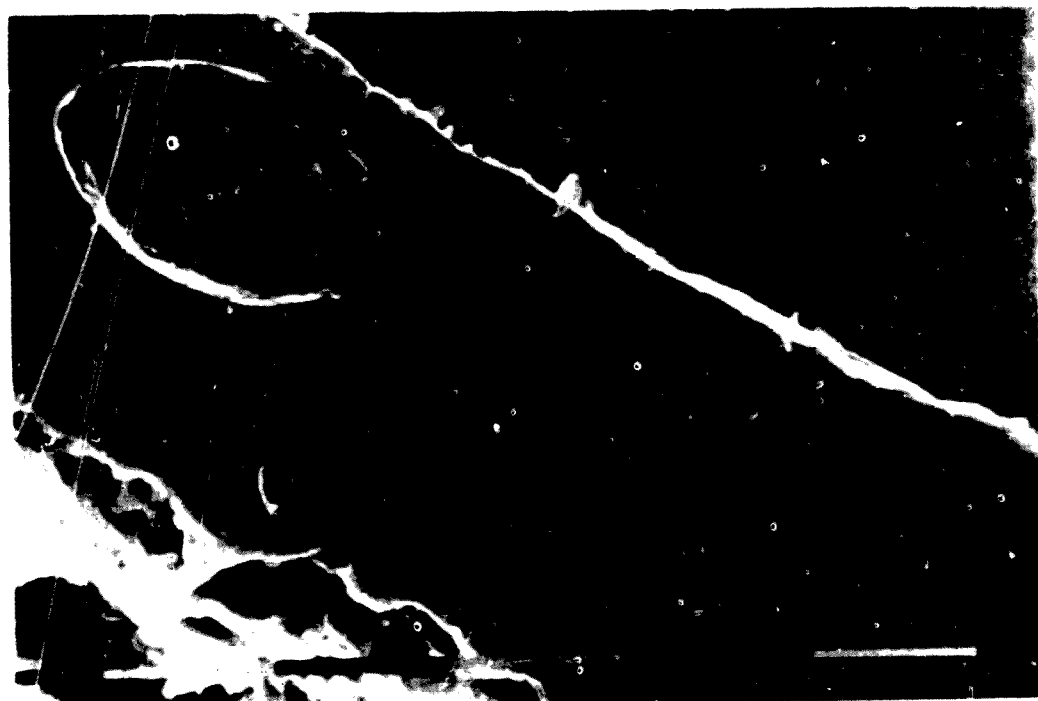
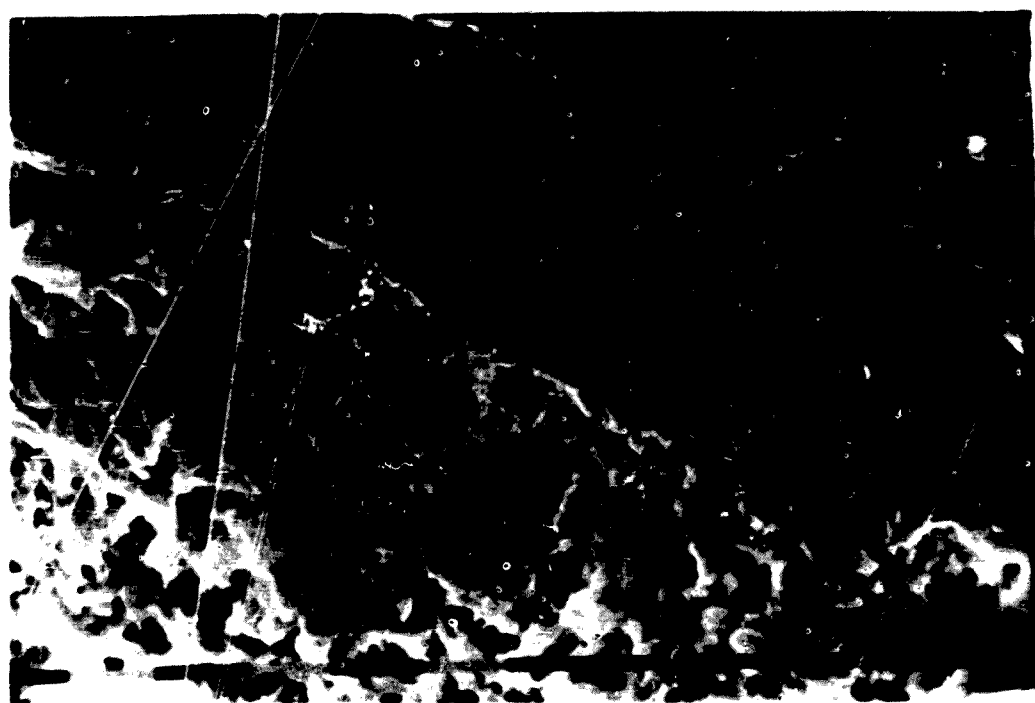
**Figura 77.** Histogrames dels  $\ln(K_2O/SiO)$  del vernissos d'Abella i de Clunia (URCP: E1, E2, E3, E4, D1, D2, possible URCP I<sub>c</sub> 44 i 57, i I<sub>c</sub> classificats com a *outliers* 15, 35 i 99).



**Figura 78.** Dendrograma de l'AA de les composicions dels vernissos. Distància euclidiana i mètode aglomeratiu del centroide.



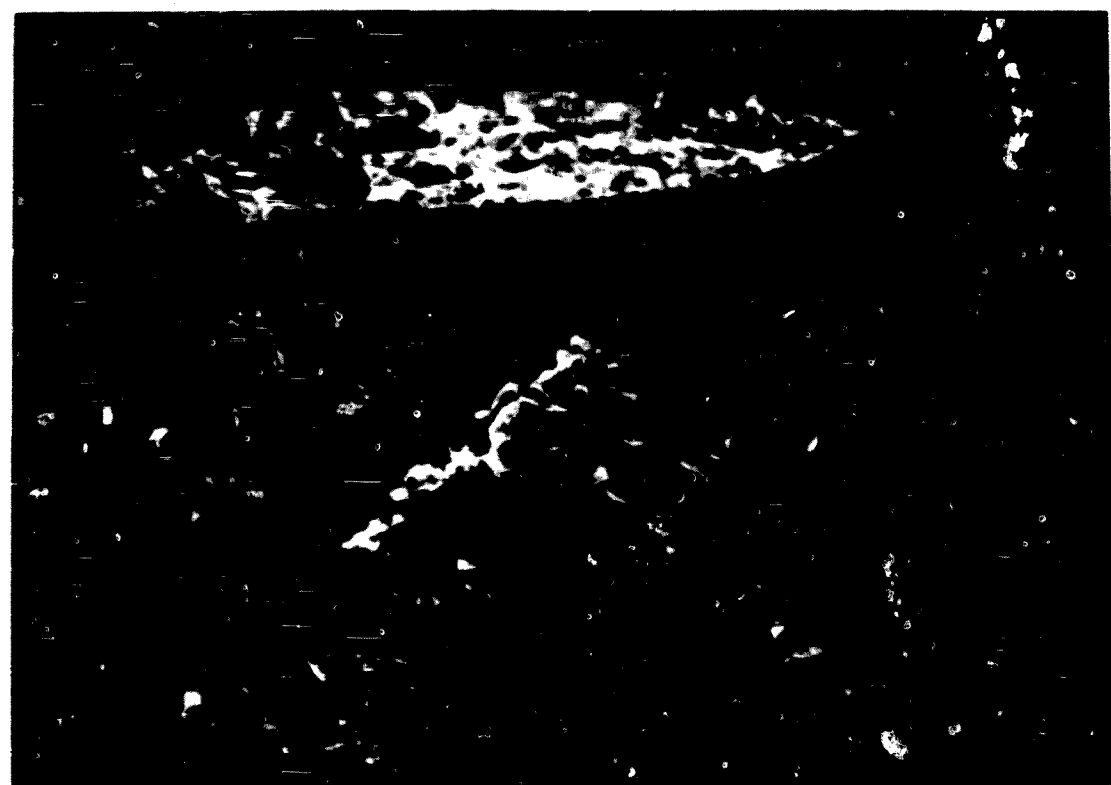
**Figura 79.** Superior: fotografia de MER en fractura fresca del vernís de l'I<sub>C</sub> 11 (F<sub>1</sub>) d'Abella a 1010X. La línia de referència representa 20  $\mu$ m. Inferior: Detall de l'anterior a 2020X.



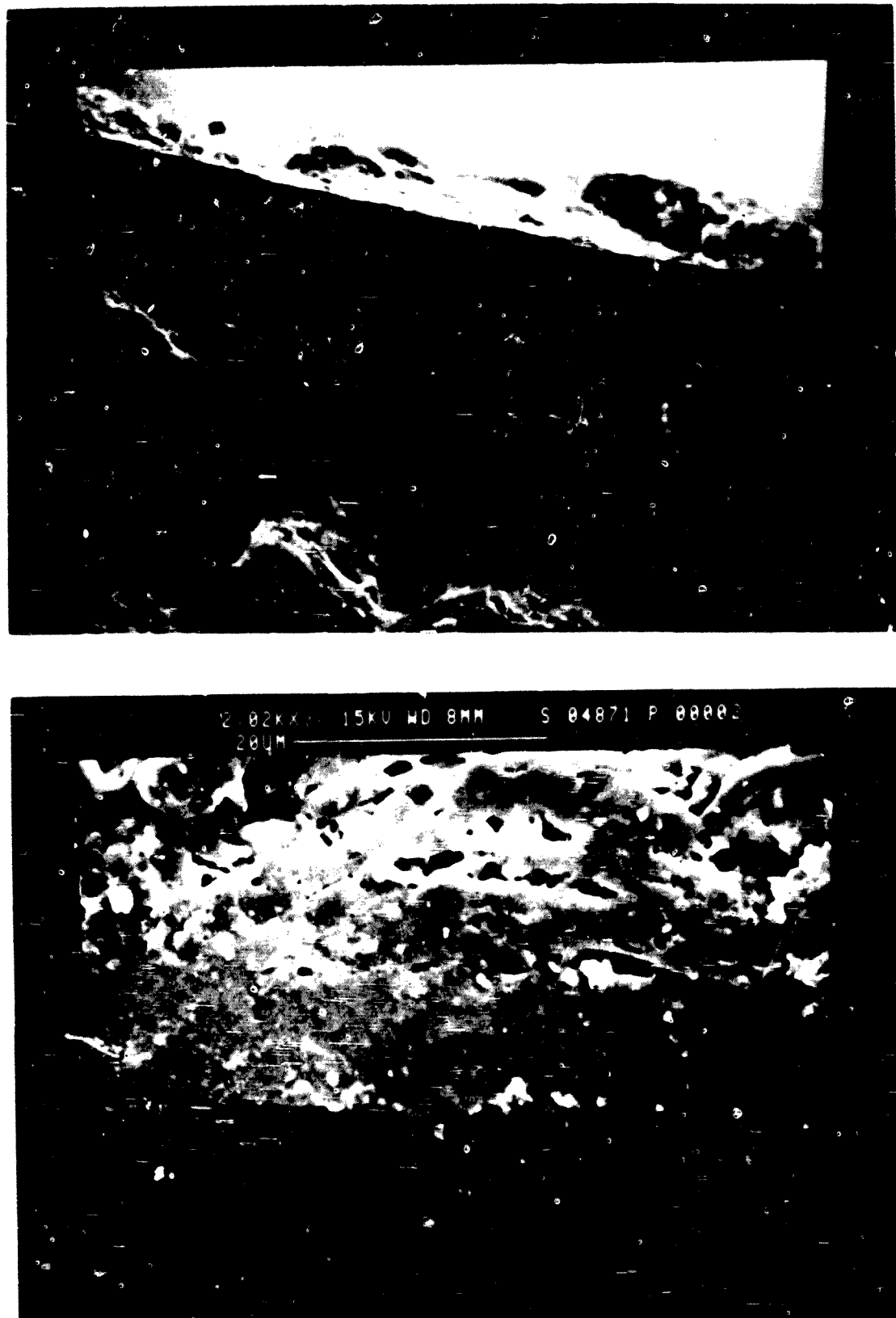
**Figura 79 continuació.** Superior: fotografia de MER en fractura fresca del vernís de l'Lc 11 d'Abella recuit a 1080°C a 1010X. La línia de referència representa 20  $\mu\text{m}$ . Inferior: Detall de l'anterior a 2020X.



**Figura 7C continuació.** Superior: fotografia de MER en fractura fresca del vernís de l'I<sub>c</sub> 1 (F<sub>1</sub>) d'Abella a 2020X. Inferior: fotografia de MER en fractura fresca del vernís de l'I<sub>c</sub> 13 (F<sub>4</sub>) d'Abella a 2020X. La línia de referència representa 20  $\mu\text{m}$ .



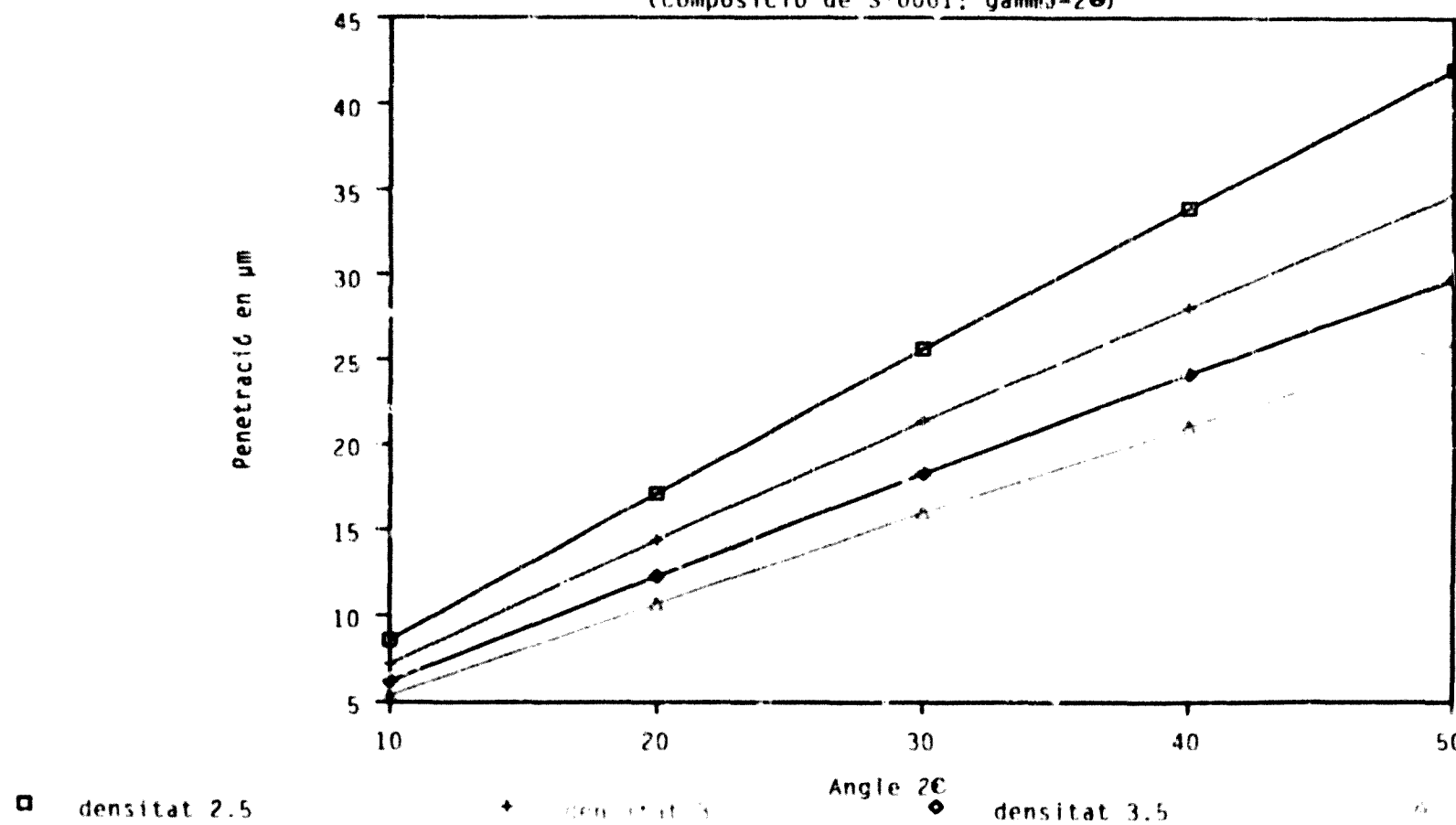
**Figura 80.** Superior: fotografía de MER en fractura fresca del vernis de l'I<sub>c</sub> 64 (E1b) a 2020X. Inferior: fotografía de MER en fractura fresca del ve. nís de l'I<sub>c</sub> 14 (E1a). La línea de referencia representa 20  $\mu\text{m}$ .



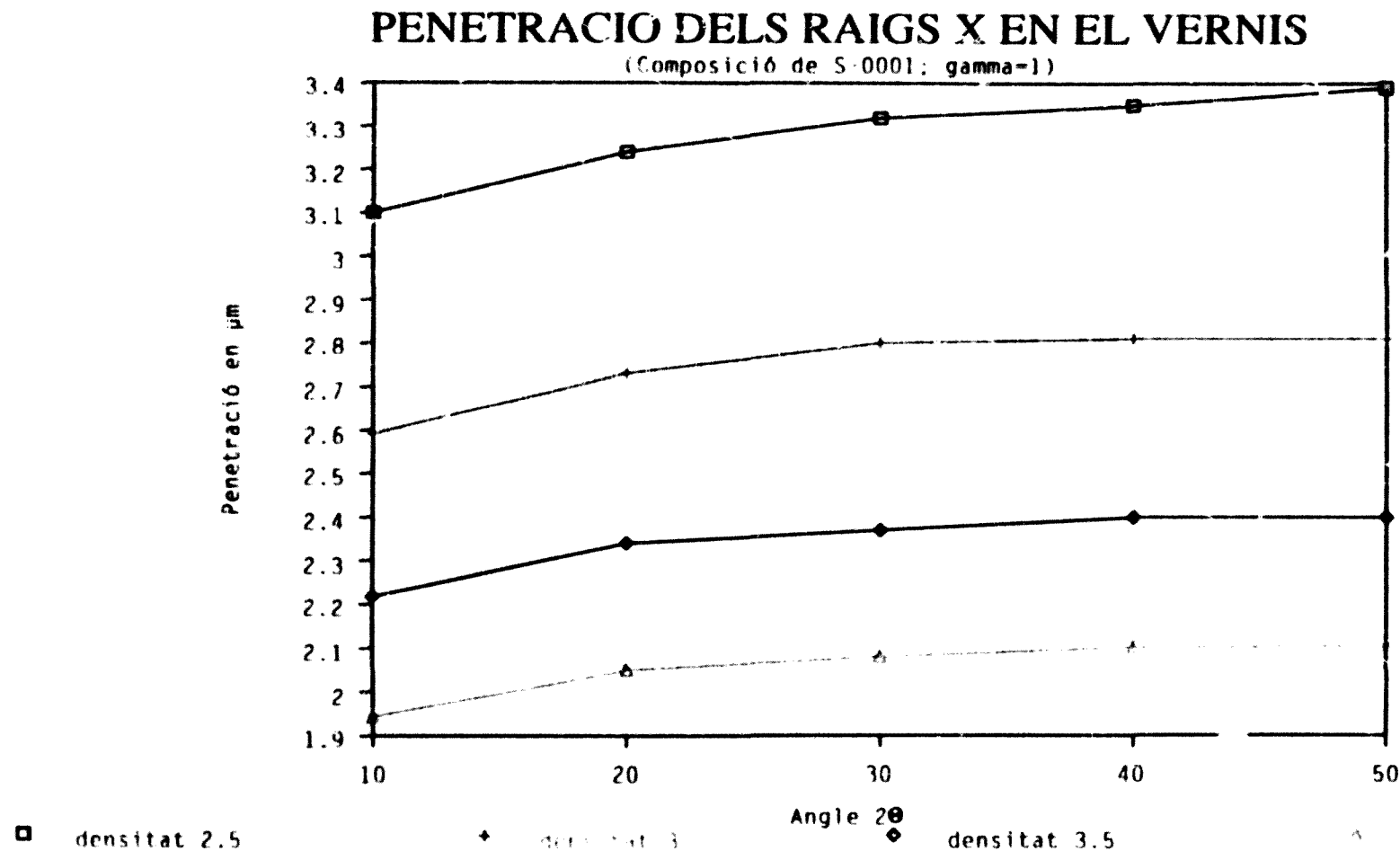
**Figura 81.** Superior: fotografía de MER en fractura fresca del vernís de  $\text{I}'\text{I}_c$  45 (D2b) a 2020X. Inferior: fotografía de MER en fractura fresca del vernís de  $\text{I}'\text{I}_c$  42 (D2a). La línea de referencia representa  $20 \mu\text{m}$ .

## PENETRACIÓ DELS RAIGS X EN EL VERNIS

(Composició de S-0001: gamma=2θ)



**Figura 84.** Penetració del 96 % dels raigs X incidents en un vernís de composició com el de l'Ic I d'Abella. Angle estàndard $2\theta$ . Densitats 2.5, 3, 3.5 i 4 g/cm³.



**Figura 83.** Penetració del 96 % dels raigs X incidents en un vernís de composició com el de l'IIC-1 d'Abella. Angle d'incidència rasant d' $1^\circ$ . Densitats 2.5, 3, 3.5 i 4 g/cm<sup>3</sup>.

## PENETRACIÓ DELS RAIGS X EN EL VERNIS

(Composició de S-0001; gamma=2)

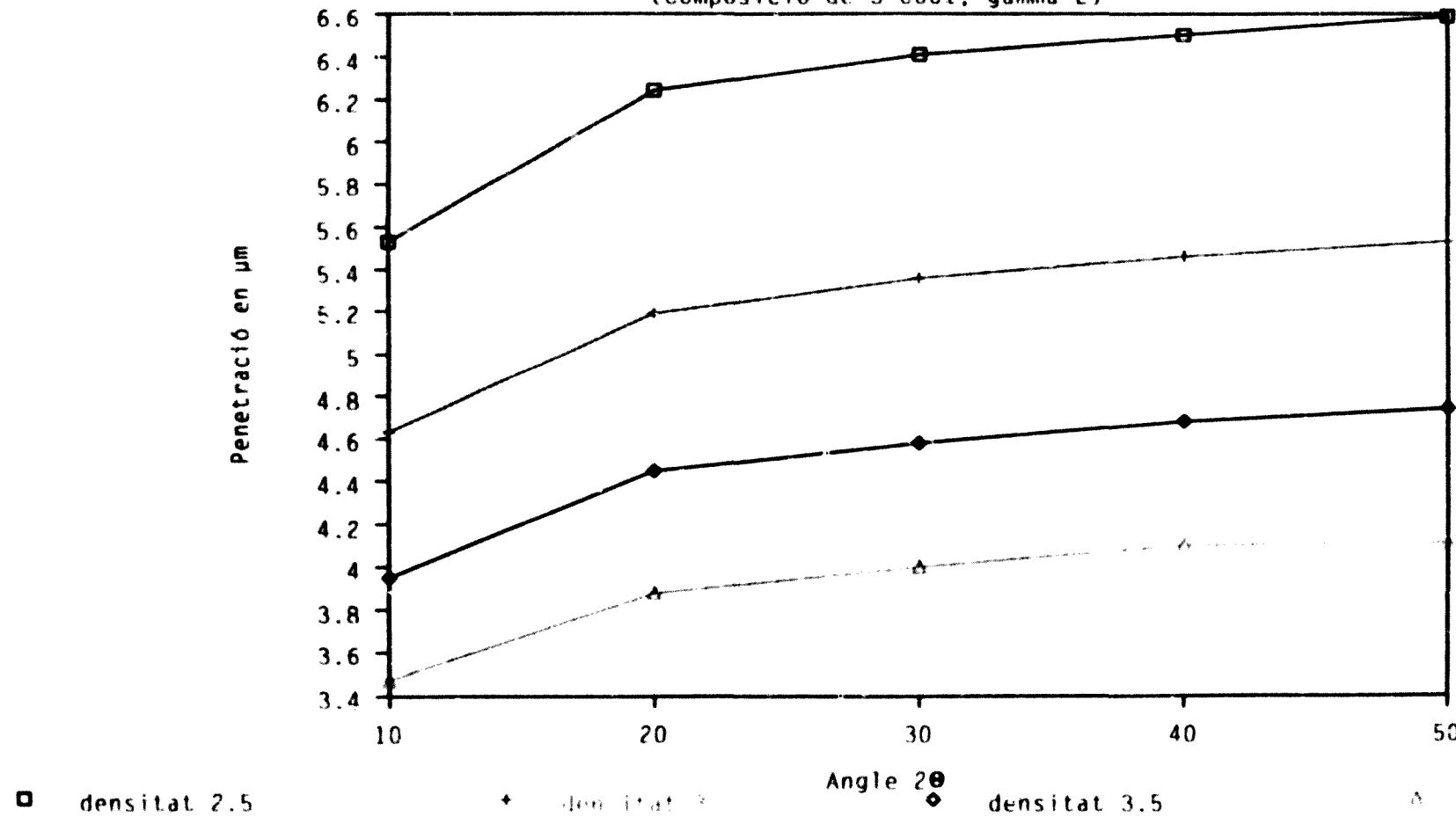
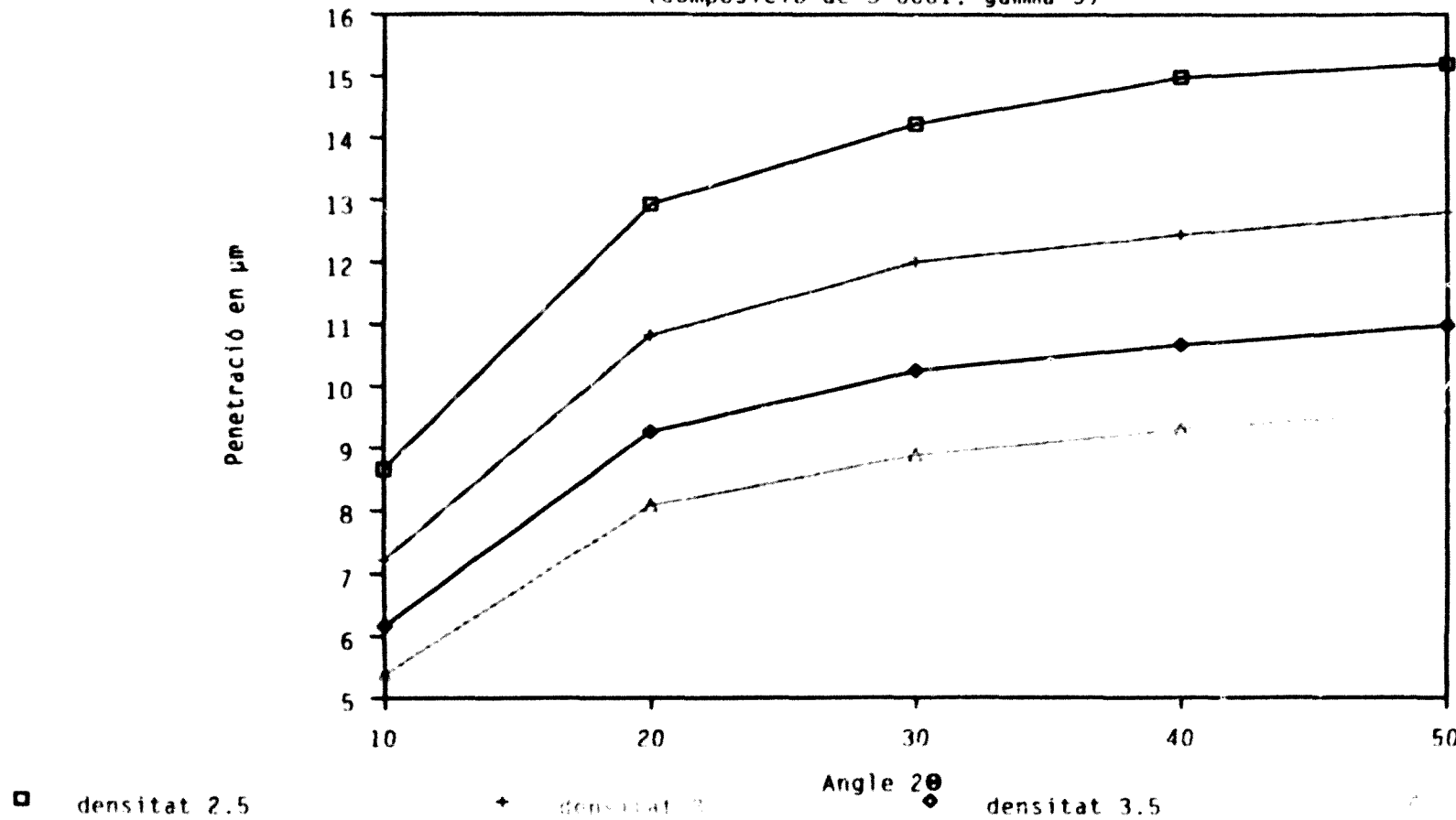


Figura 84. Penetració del 96 % dels raigs X incidents en un vernís de composició com el de l'Ic 1 d'Abella. Angle d'incidència rasant de 2°. Densitats 2.5, 3, 3.5 i 4 g/cm<sup>3</sup>.

## PENETRACIÓ DELS RAIGS X EN EL VERNIS

(Composició de S-0001; gamma=5)



**Figura 85.** Penetració del 96 % dels raigs X incidents en un vernís de composició com el de l'Ic 1 d'Abella. Angle d'incidència rasant de  $5^\circ$ . Densitats 2.5, 3, 3.5 i 4 g/cm<sup>3</sup>.

## PENETRACIÓ DELS RAIGS X EN EL VERNIS

(Composició de S-0001; densitat 2.5)

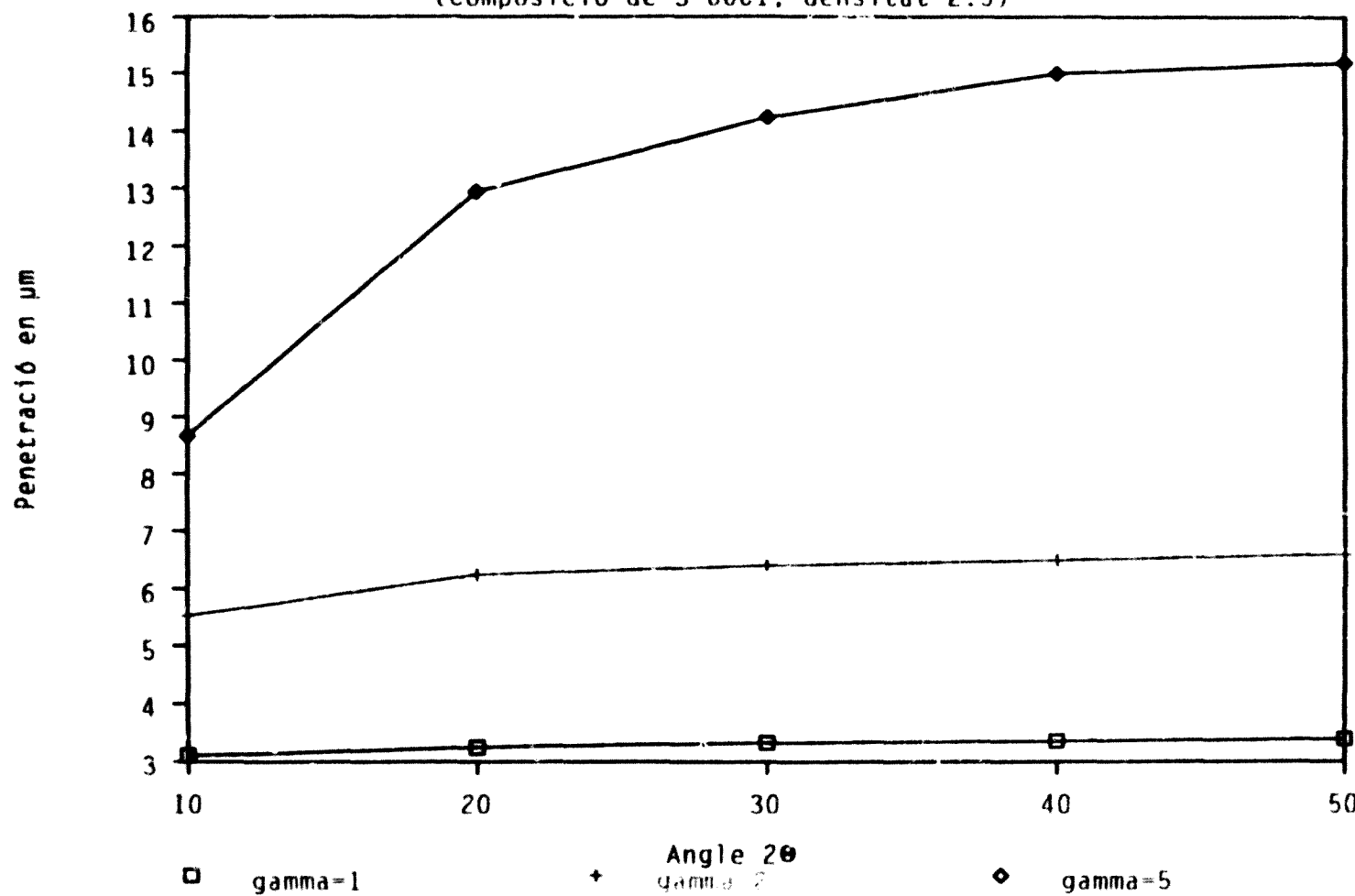


Figura 86. Penetració del 96 % dels raigs X incidents en un vernís de composició com el de l'I<sub>C</sub> 1 d'Abella. Densitat 2.5 g/cm<sup>3</sup>. Angles d'incidència: 20, 1, 2 i 5°.

## PENETRACIO DELS RAIGS X EN EL VERNIS

(Composició de S-0001; densitat 3)

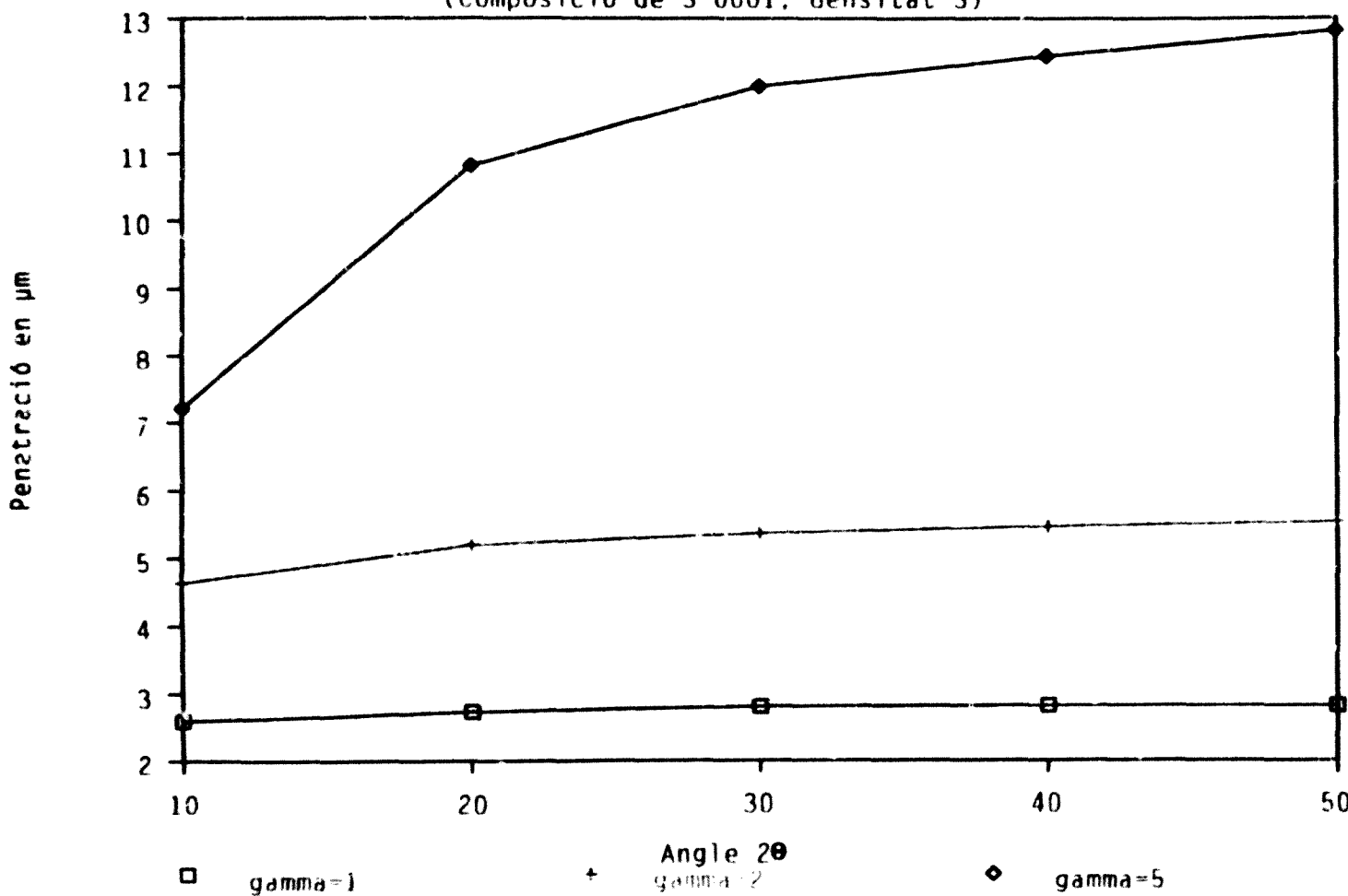


Figura 87. Penetració del 96 % dels raigs X incidents en un vernís de composició com el de l'Ic 1 d'Abella. Densitat  $3 \text{ g/cm}^3$ . Angles d'incidència:  $2\theta = 1^\circ, 2^\circ, 5^\circ$ .

## PENETRACIÓ DELS RAIGS X EN EL VERNIS

(Composició de S-0001; densitat 3.5)

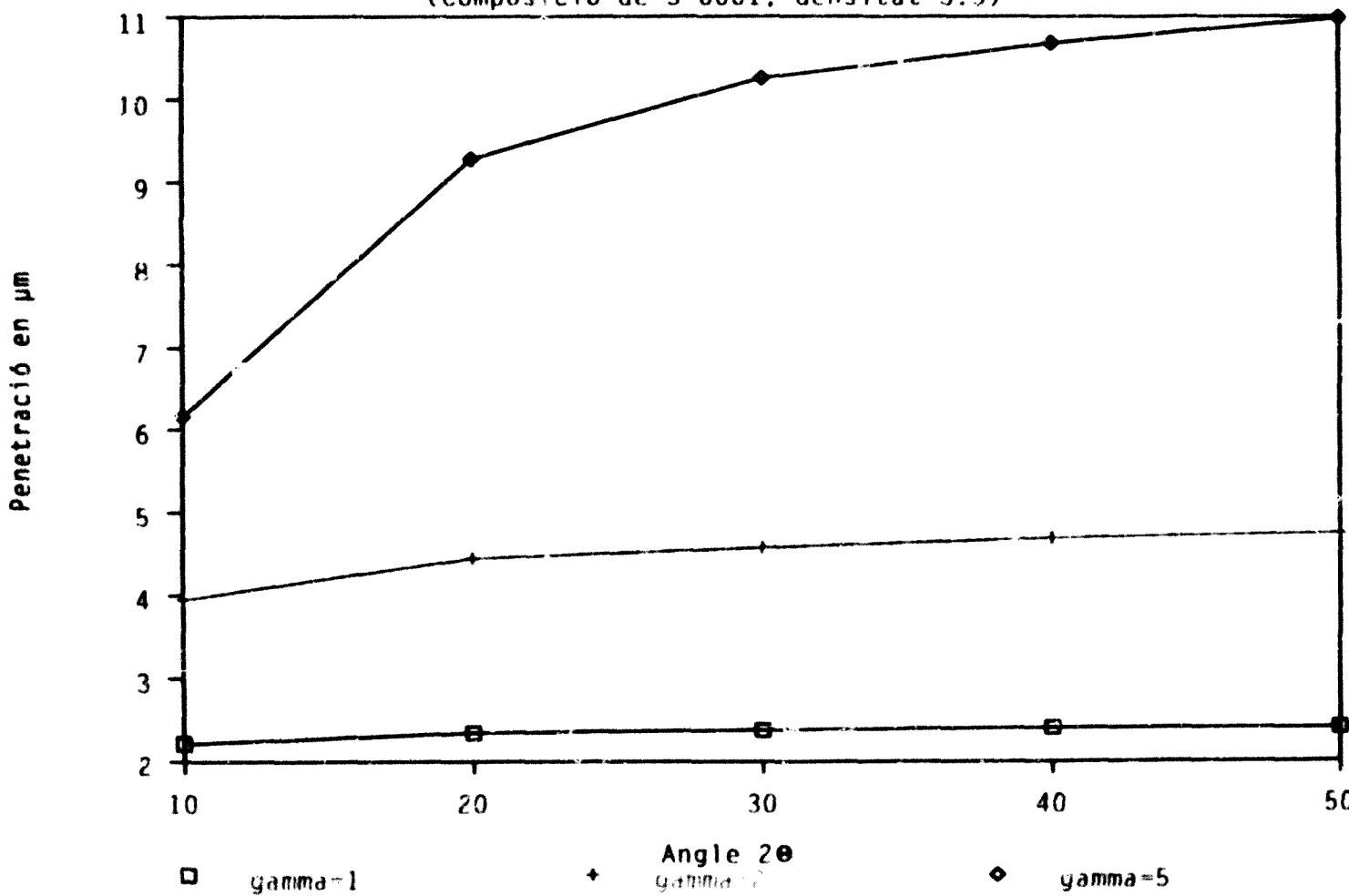


Figura 88. Penetració del 96 % dels raigs X incidents en un vernís de composició com el de l'I<sub>c</sub> I d'Abella. Densitat 3.5 g/cm<sup>3</sup>. Angles d'incidència: 2θ, 1, 2 i 5°.

## PENETRACIÓ DELS RAIGS X EN EL VERNIS

(Composició de S 0001; densitat 4)

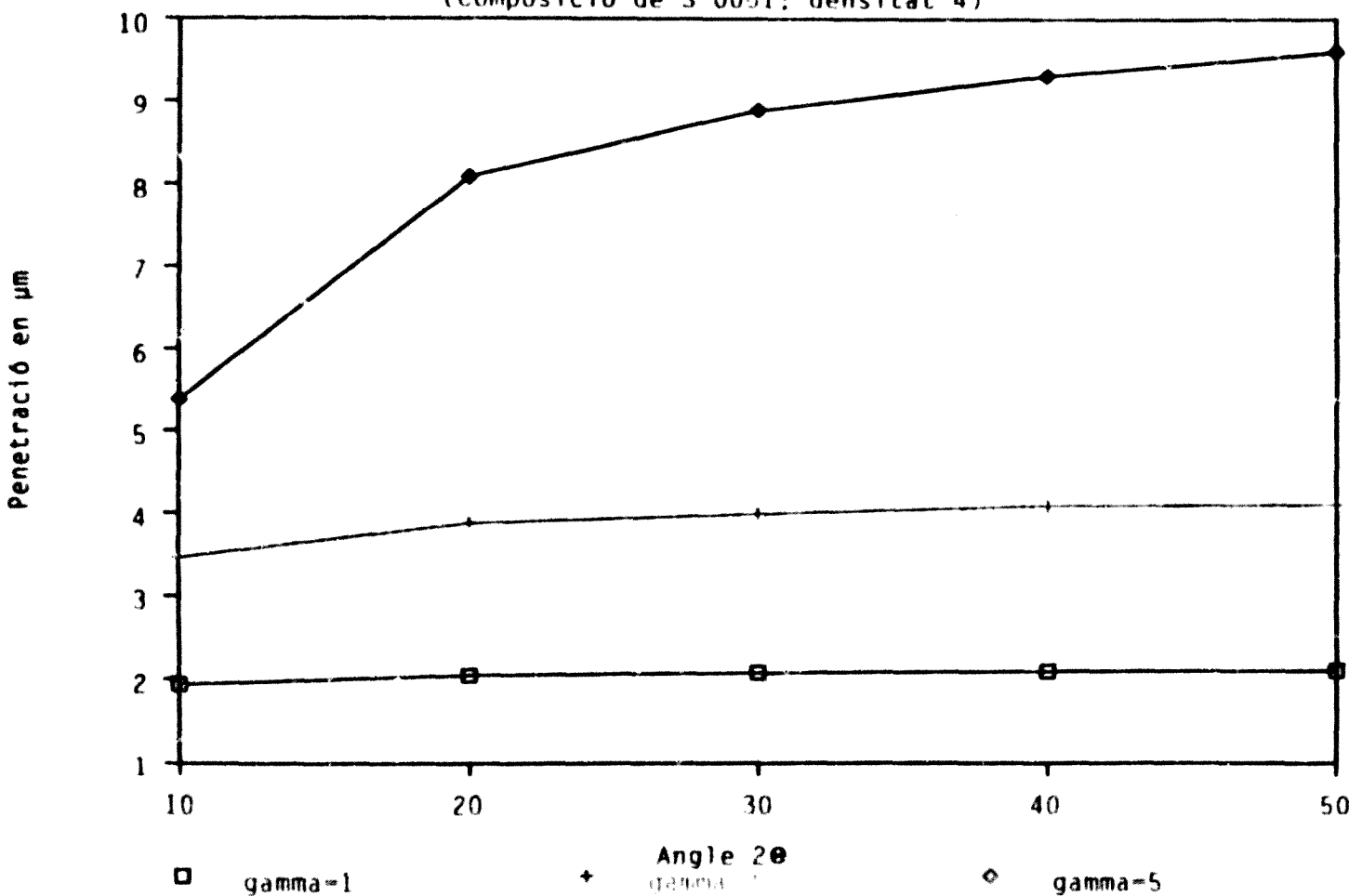
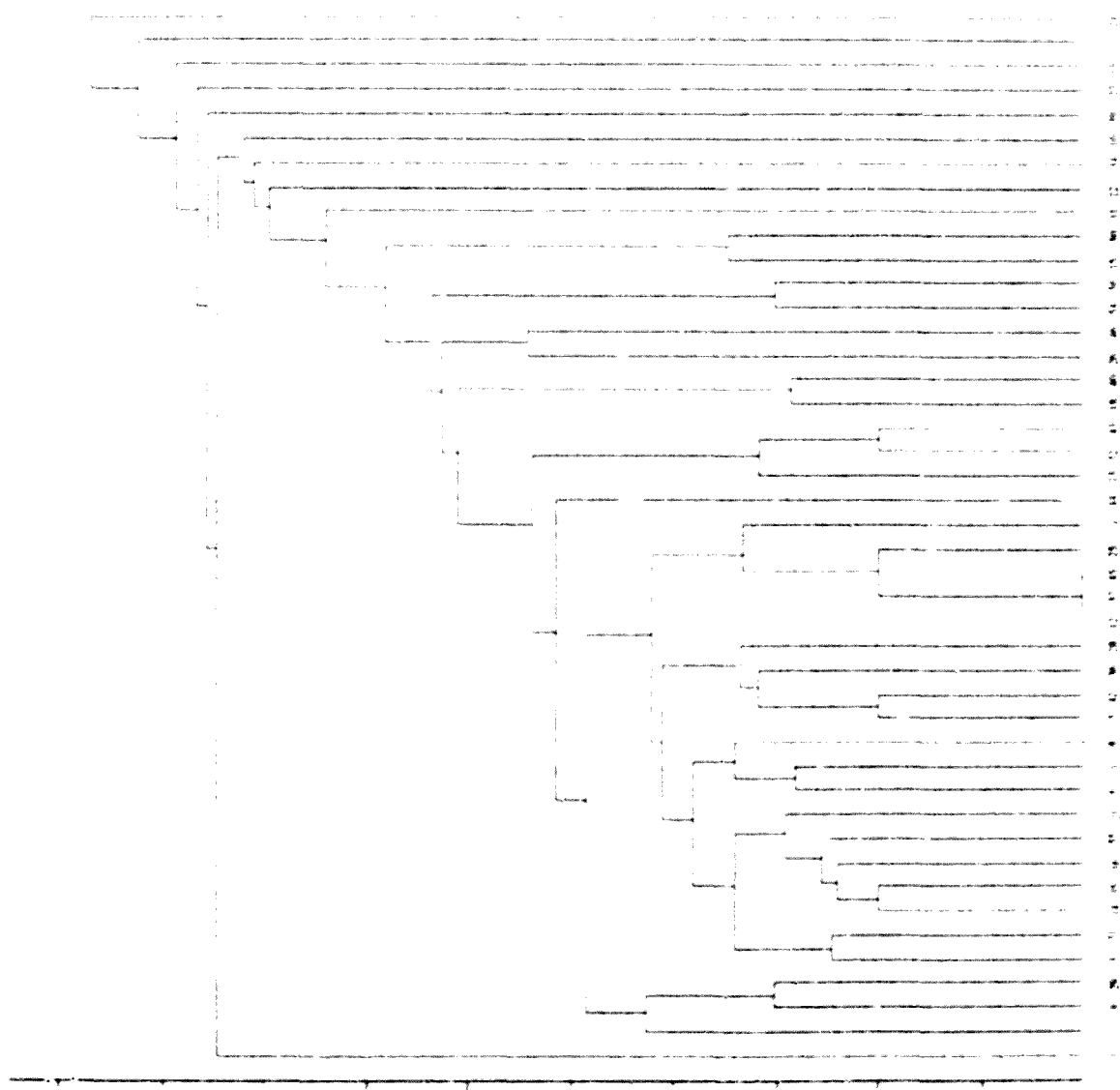


Figura 89. Penetració del 96 % dels raigs X incidents en un vernís de composició com el de l'I<sub>C</sub> 1 d'Abella. Densitat 4 g/cm<sup>3</sup>. Angles d'incidència: 2θ, 1, 2 i 5°.



**Figura 90.** Dendrograma de l'AA d'Abella, amb les 7 variables nominals de pasta, emprant la distància entre individus estadístics basada en *scores* i el mètode aglomeratiu UPGMA.  $R_c = 0.93$ .



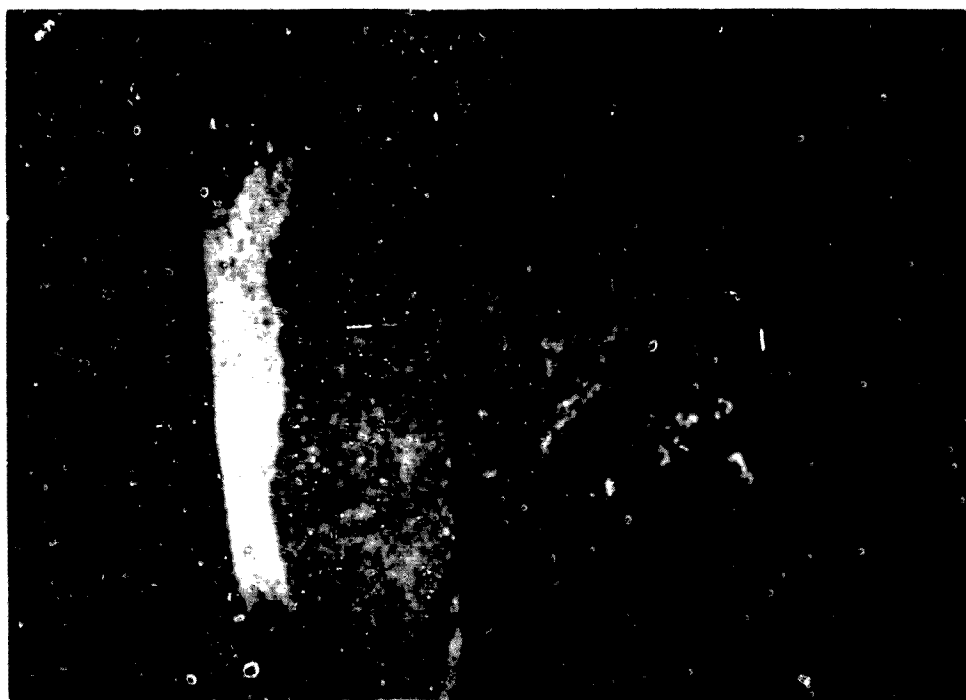
**Figura 91.** Dendrograma de l'AA de Clunia, amb les 7 variables nominals de pasta, emprant la distància entre individus estadístics basada en scores i el mètode aglomeratiu UPGMA.  $R = 0.97$



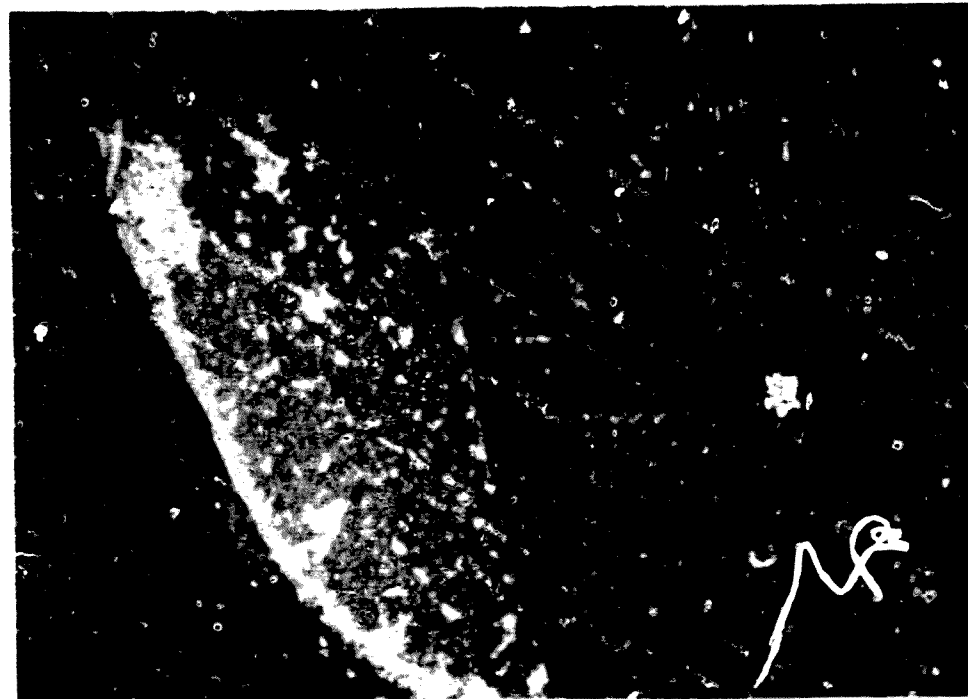
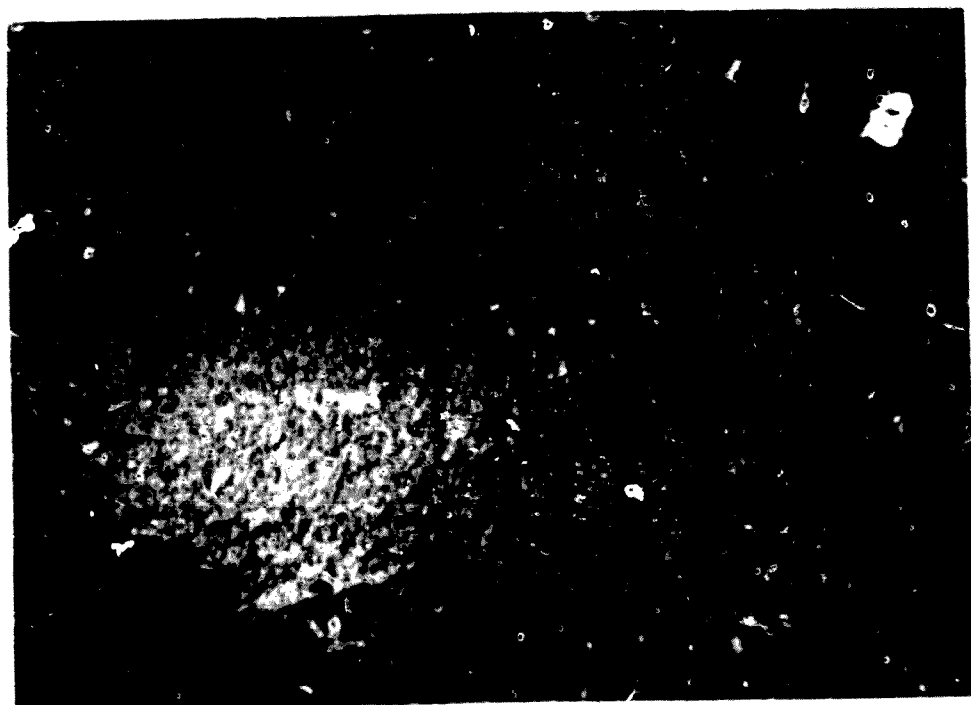
**Figura 92.** Dendrograma de l'AA de Clunia, amb les 15 variables nominals de pasta i vernís, emprant la distància entre individus escadístics basada en scores i el mètode aglomeratiu UPGMA.  $R_c = 0.95$ .



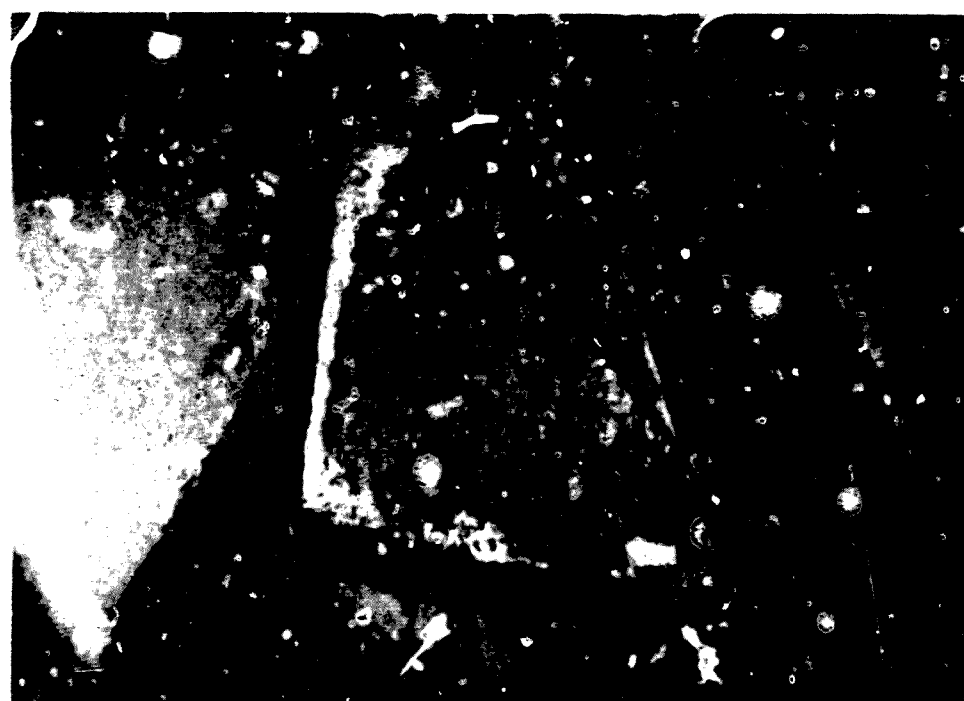
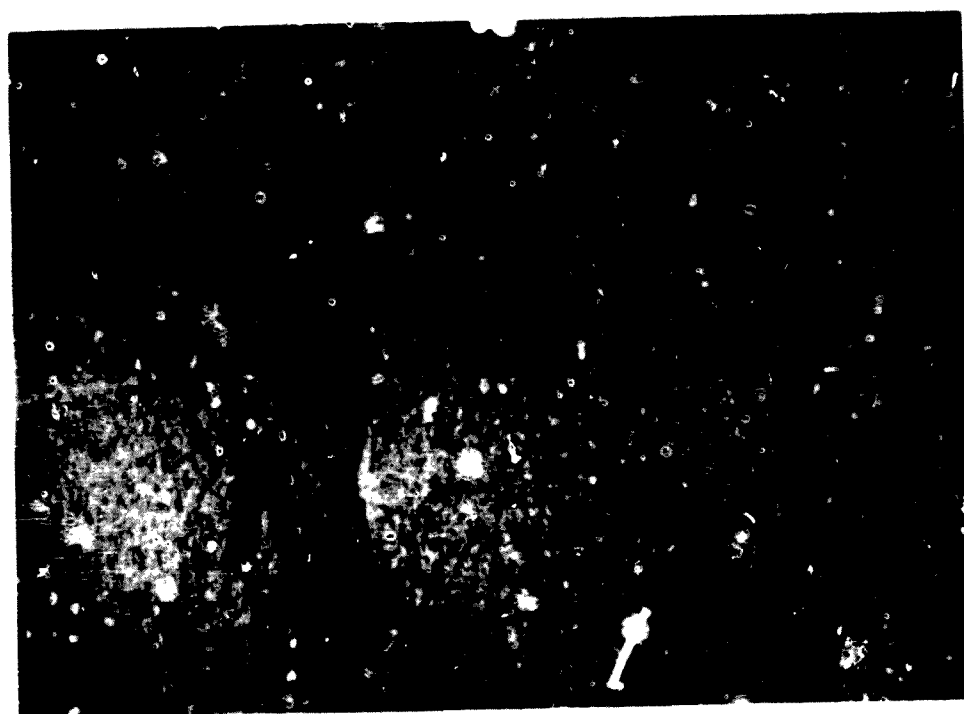
**Figura 93.** Dendrograma de l'AA de Clunia amb les 15 variables nominals de pasta i vernis, emprant el coeficient de Gower i el mètode aglomeratiu UPGMA.



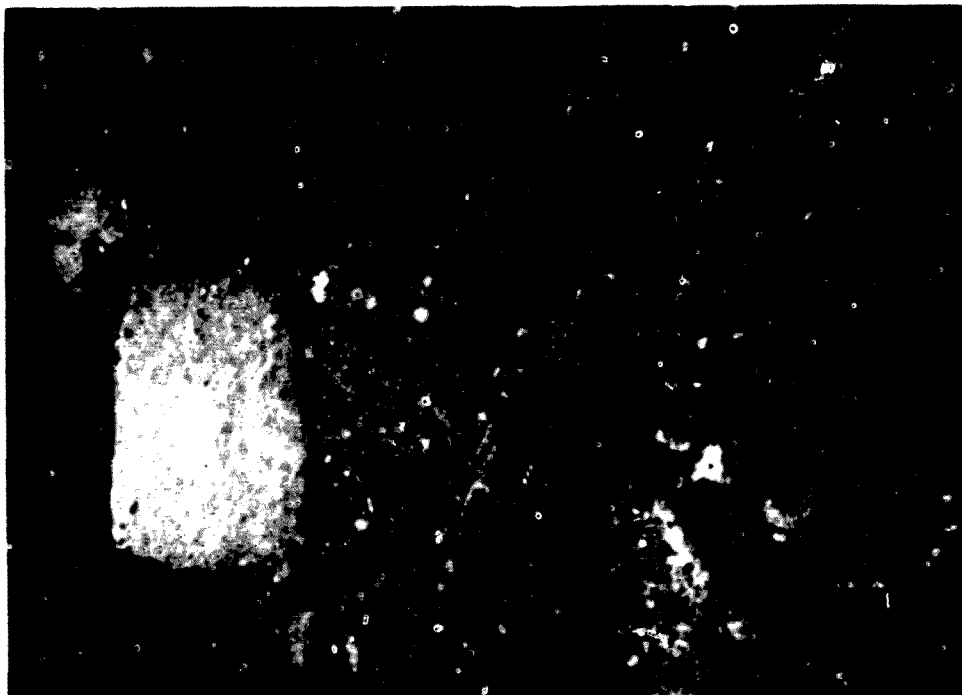
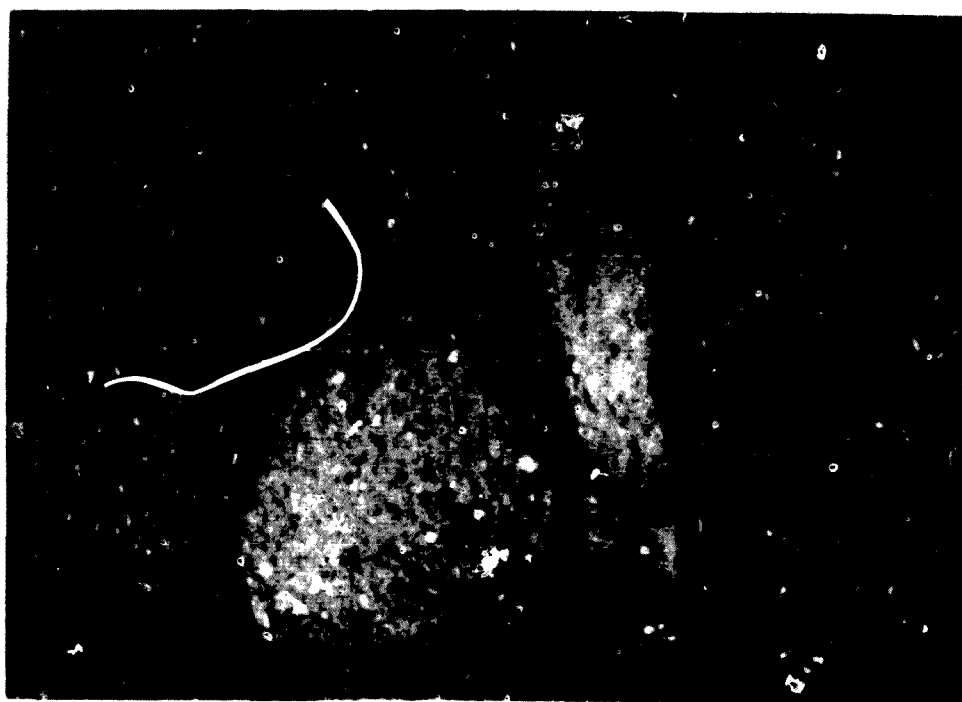
**Figura 94.** Fotografies d'observació macroscòpica per lupa binocular a 10X. Superior (d'esquerra a dreta): matriu de l'I<sub>c</sub> 64 (E1b) i 11 (E1a). Inferior (d'esquerra a dreta): vernisso de l'I<sub>c</sub> 64 (E1b) i 11 (E1a).



**Figura 95.** Fotografies d'observació macroscòpica per lupa binocular a 10X. Superior (d'esquerra a dreta): matrui de  $\text{I}_{\text{C}}$  31 (E2b) i 90 (E2a). Inferior (d'esquerra a dreta): vernissos de  $\text{I}_{\text{C}}$  31 (E2b) i 90 (E2a).



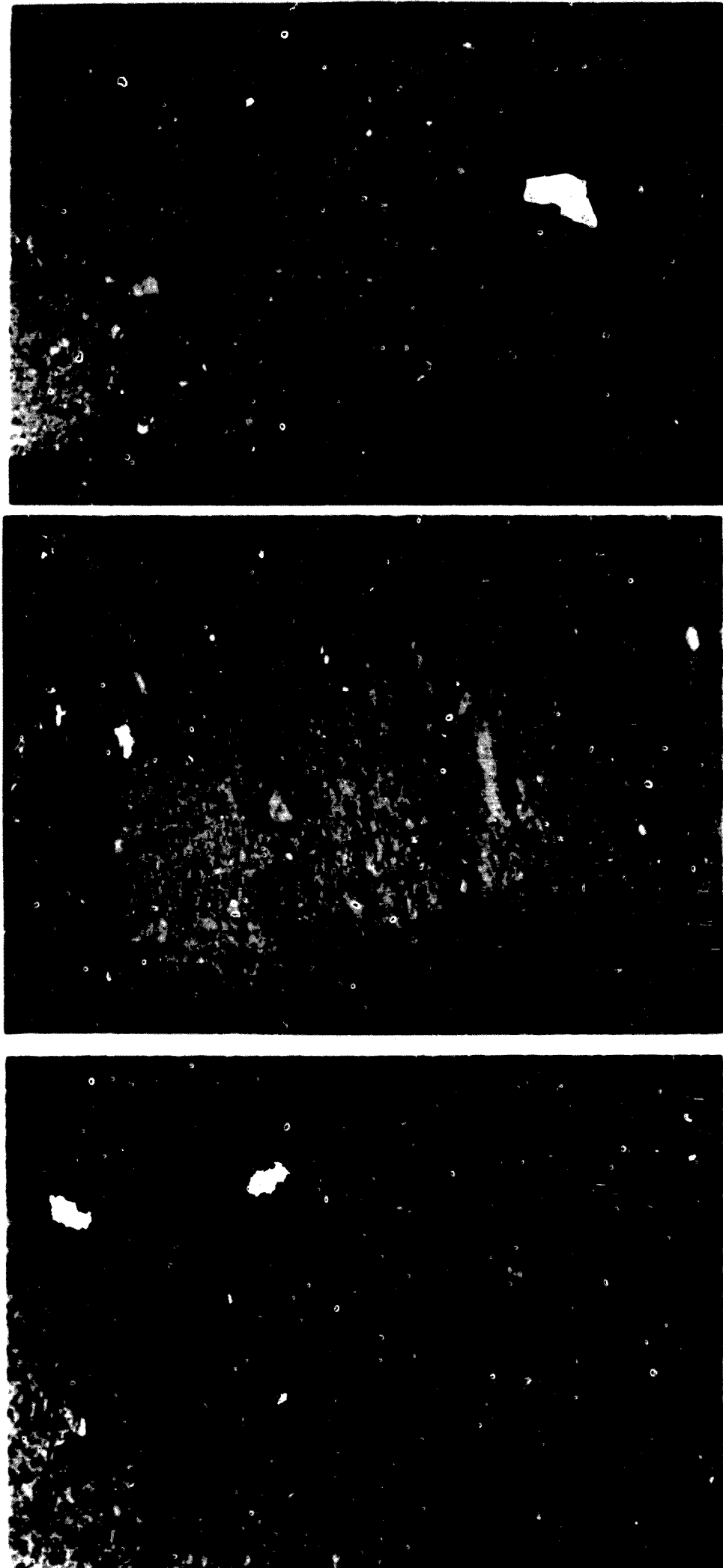
**Figura 96.** Fotografies d'observació macroscòpica per lupa binocular a 10X. Superior (d'esquerra a dreta): matrxi de l'I<sub>C</sub> 18 (E3b), 37 (E3m) i 68 (E3a). Inferior (d'esquerra a dreta): vernissos de l'I<sub>C</sub> 18 (E3b), 37 (E3m) i 68 (E3a).



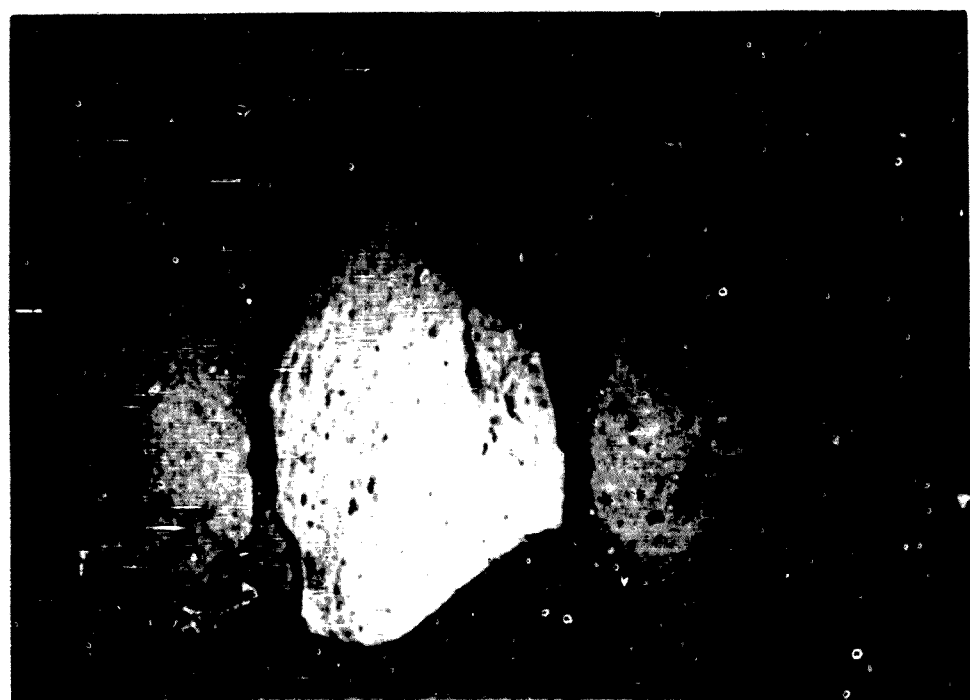
**Figura 97.** Fotografies d'observació macroscòpica per lupa binocular a 10X. Superior (d'esquerra a dreta), matriu de l'I<sub>C</sub> 25 (D1b), 94 (D1m) i 33 (D1a). Inferior (d'esquerra a dreta): vernissos de l'I<sub>C</sub> 25 (D1b), 94 (D1m) i 33 (D1a).



**Figura 98.** Fotografies d'observació macroscòpica per lupa binocular a 10X. Superior (d'esquerra a dreta): matriu de l' $I_c$  45 (D2b), 27 (D2b) i 42 (D2a). Inferior (d'esquerra a dreta): vernissos de l' $I_c$  45 (D2b), 27 (D2b) i 42 (D2a).



**Figura 99. Fotografies d'observació macroscòpica per lupa binocular a 25X. Superior: I<sub>c</sub> 64 (E1b). Centre: I<sub>c</sub> 27 (D2b). Inferior: I<sub>c</sub> 68 (E3a).**



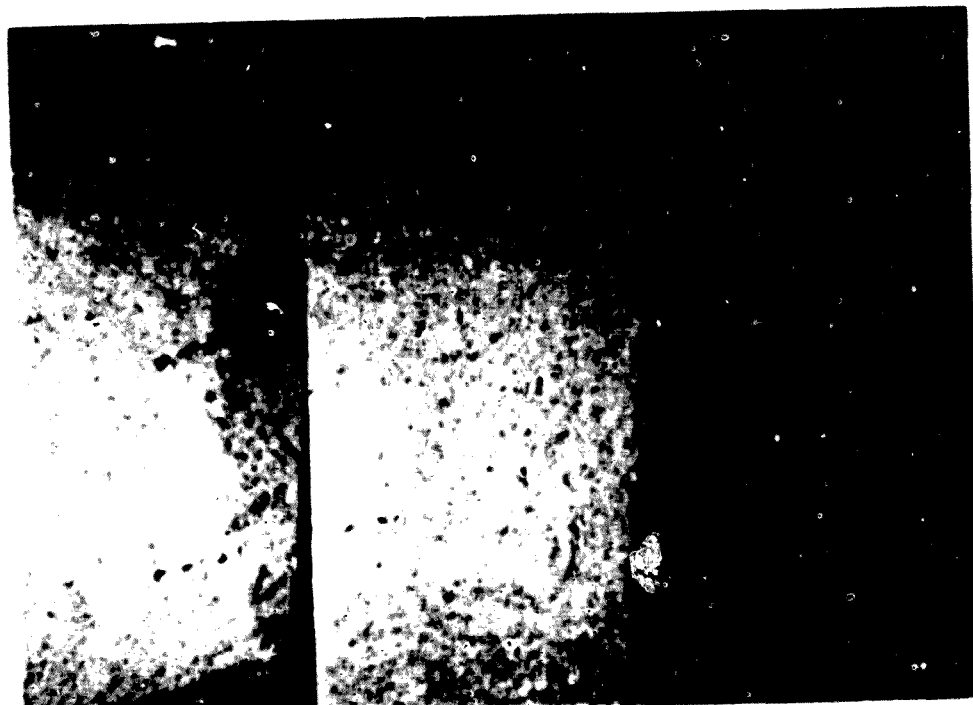
**Figura 100.** Fotografies d'observació macroscòpica per lupa binocular a 10X d'Abella. Superior (d'esquerra a dreta): matriu de l'I<sub>c</sub> PA87.16, I<sub>c</sub> 25 (F<sub>1</sub>), I<sub>c</sub> 46 (F<sub>1</sub>). Inferior (d'esquerra a dreta): matriu de l'I<sub>c</sub> ECEP 1 (F<sub>2</sub>), I<sub>c</sub> 1 recuit a 1080°C, I<sub>c</sub> 1 recuit a 1150°C.



**Figura 100 continuació. Fotografies d'observació macroscòpica per lupa binocular a 10X d'Abella. Superior (d'esquerra a dreta): matriu de l'I<sub>c</sub> 1 (F<sub>2</sub>), I<sub>c</sub> 47 (F<sub>3</sub>), I<sub>c</sub> 13 (F<sub>4</sub>). Inferior (d'esquerra a dreta): vernissos de l'I<sub>c</sub> PA87.16, I<sub>c</sub> 1 (F<sub>2</sub>), I<sub>c</sub> 43 (F<sub>3</sub>).**

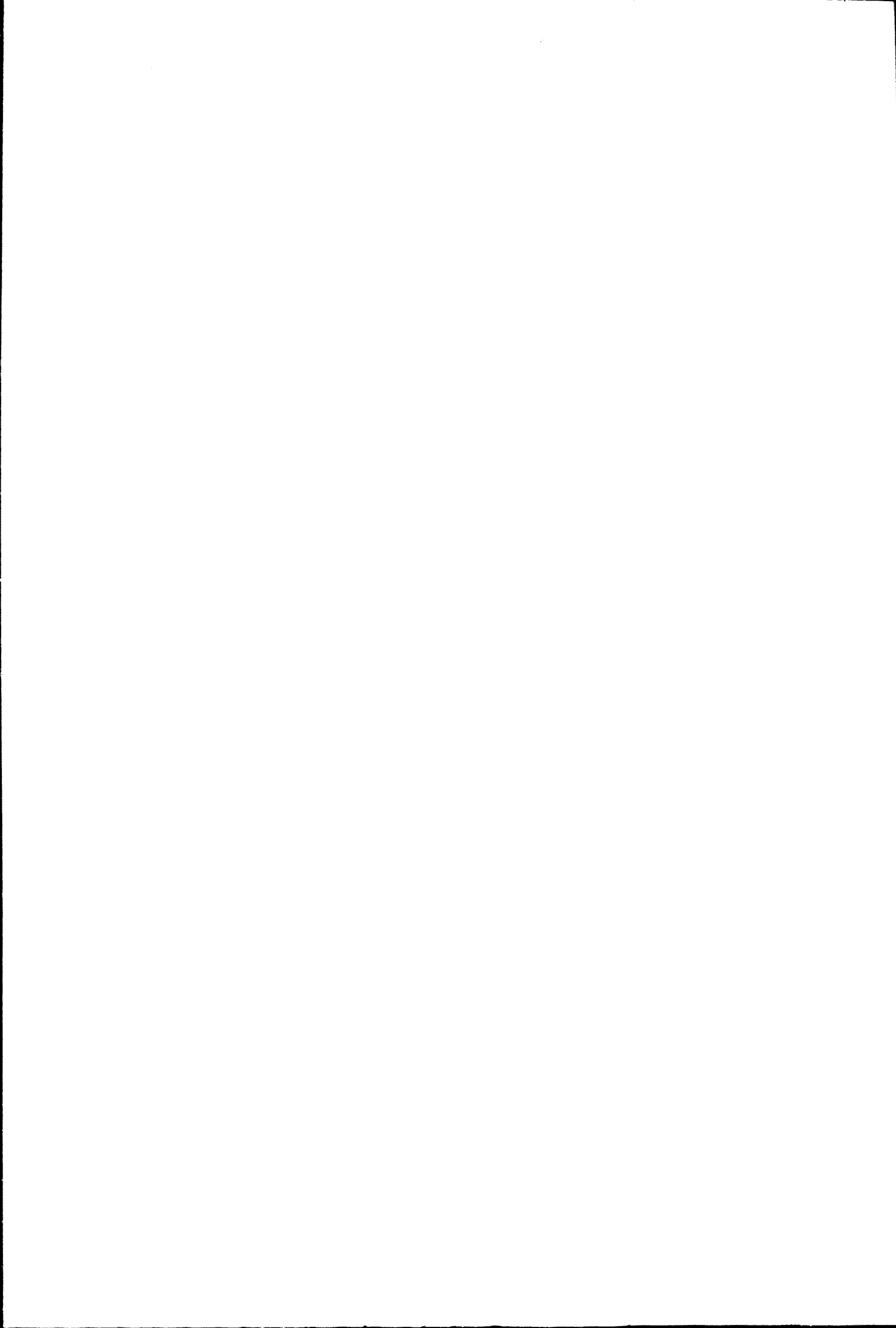


**Figura 101.** Fotografies d'observació macroscòpica per lupa binocular a 10X d'Abella. D'esquerra a dreta:  $I_{ECER}$  11 i  $I_C$  11 recuit a  $950^{\circ}\text{C}$  en atmosfera O-O.



**Figura 102.** Fotografies d'observació macroscòpica per lupa binocular a 10X. D'esquerra a dreta: L<sub>c</sub> 31 (E2) recuit a 1050°C, recuit a 1100°C i recuit a 1150°C.

## **TAULES**



Font d'excitació amb ànode de Rh (perles)

ELEMENT	COL	DET	CRT	ORD	KV	mA	ANG	F+	F-
Al Ka	G	F	P E T	I	60	50	145.13	0	4.2
P Ka	G	F	Ge	I	60	50	141.04	3.2	0
K Ka	G	F	LIF200	I	60	50	136.69	5	0
Ca Ka	F	F	LIF200	I	60	50	113.09	0	3.3
Si Ka	G	F	P E T	I	60	50	109.21	0	4
Ti Ka	F	F	LIF200	I	60	50	86.14	0	2
Mn Ka	F	F	LIF200	I	60	50	62.97	2	2
Fe Ka	F	F	LIF200	I	60	50	57.52	0	2
Mg Ka	C	F	PX <sub>1</sub>	I	60	50	22.7	1.6	1.6

Font d'excitació amb ànode de Rh (pastilles)

ELEMENT	COL	DET	CRT	ORD	KV	mA	ANG	F+	F-
Na Ka	G	F	PX <sub>1</sub>	I	40	65	26.69	1.8	1.8
Ba Ka	F	C	LIF220	I	65	40	15.6	1.2	0.4
C Rh Ka	F	C	LIF220	I	65	40	26.125	0	0
*Mo Ka	F	C	LIF220	I	65	40	28.9	0.6	0.6
*Nb Ka	F	C	LIF220	I	65	40	30.44	0.5	0.6
*Zr Ka	F	C	LIF220	I	65	40	32.1	0.9	1.2
*Y Ka	F	C	LIF220	I	65	40	33.9	0.9	0.9
*Sr Ka	F	C	LIF220	I	65	40	35.85	0.7	0.7
*Rb Ka	F	C	LIF220	I	65	40	37.99	1.6	1.6
*Th LaI	F	C	LIF220	I	65	40	39.23	0.3	0.3
*Pb LaI	F	FC	LIF220	I	50	50	40.38	0.8	0.8

C = radiació compton de la Ka del Rh

\* elements amb correcció de l'efecte matrxi mitjançant la radiació compton de la Ka del Rh

Font d'excitació amb ànode d'Au (pastilles)

ELEMENT	COL	DET	CRT	ORD	KV	mA	ANG	F+	F-
Ce Ka	F	C	LIF220	I	70	40	14.47	0.3	0.3
C Au LaI	F	FC	LIF200	I	50	50	31.93	0	0
*Ga Ka	F	FC	LIF200	I	50	50	38.92	1	0
*Zn Ka	F	F	LIF200	I	50	50	41.8	0	2
*W La	F	F	LIF200	I	50	50	43.02	1.1	0
*Cu Ka	F	FC	LIF200	I	60	50	45.03	2	0
*Ni Ka	F	FC	LIF200	I	60	50	48.67	2	2
*Co Kd	F	FC	LIF200	I	60	50	47.47	0.4	0.4
*V Ka	F	F	LIF200	I	50	50	76.93	0	3

C = radiació compton de la LaI de l'Au

\* elements amb correcció de l'efecte matrxi mitjançant la radiació compton de la LaI de l'Au

COL: col·limador, DET: detector, CRT: cristall, ORD: ordre opac, KV: kilovolatge, mA: miliamperatge, ANG: angle, F+: lectura de fons. Pel col·limador: F, f; G: grolier. Pel detector: F, de fluxo, C, de cintellieg.

En element, s'inclou el canal de lectura

**Taula 1. Condicions de mesura de l'espectrofotòmetre per a cada un dels elements.**

	Màxima	Mínima	m	s	c	v <sub>c</sub>	L <sub>vc</sub> m <sub>1</sub>	L <sub>vc</sub> m <sub>2</sub>	Deviació mínima	Deviació màxima
Fe <sub>2</sub> O <sub>3</sub>	9.615	9.597	9.605	0.006	0.00061	9.7	0.005	0.00008	0.001	0.156
Al <sub>2</sub> O <sub>3</sub>	17.56	17.317	17.429	0.079	0.00451	17.52	0.151	0.00052	0.002	0.209
MnO	0.214	0.21	0.212	0.001	0.00595	0.22	0.166	0.0004	0.005	0.023
P <sub>2</sub> O <sub>5</sub>	0.248	0.207	0.211	0.013	0.05480	0.25	0.109	0.0016	0.015	0.025
TiO <sub>2</sub>	1.05	1.034	1.042	0.005	0.01506	1.09	0.048	0.0044	0.01	0.052
MgO	4.479	4.314	4.373	0.048	0.01101	4.4	0.027	0.00061	0.002	0.105
CaO	6.854	6.814	6.824	0.015	0.00217	7.05	0.226	0.0021	0.026	0.131
Na <sub>2</sub> O	2.752	2.718	2.743	0.005	0.00195	2.99	0.247	0.0026	0.017	0.066
K <sub>2</sub> O	1.788	1.77	1.78	0.006	0.00124	1.7	0.08	0.0071	0.013	0.085
SiO <sub>2</sub>	51.024	52.365	52.710	0.172	0.00126	52.45	0.171	0.00021	0.003	0.363
Ba	409.9	401.9	404.2	3.47	0.00058	385	19.2	0.00099	0.011	0.049
Rb	76.3	75.4	76	0.13	0.00049	73	1	0.00111	0.04	42.2
Mo	1.1	0.1	0.7	0.17	0.51378	v <sub>c</sub>				
Tl	5	4	4.5	0.48	0.10043	5	0.05	0.1	2.24	11.14
Nb	10.9	10.3	10.6	0.25	0.02377	8	2.6	0.125	2.83	14.14
Re	56.8	54.1	55.6	1.13	0.02027	55	0.6	0.01049	7.42	37.08
Zr	115.9	111.5	114.5	0.88	0.00654	125	0.5	0.076	11.14	55.9
Y	28.4	26.4	27.5	0.7	0.0256	28	0.5	0.0178	5.29	26.46
Sr	181	179.1	180.1	0.81	0.00219	181	19.9	0.0097	20	109
Ce	46.4	39.1	43.1	1.6	0.00361	46	2.9	0.161	6.78	31.91
Co	17.5	15.6	16.8	0.75	0.0154	15	1.8	0.01514	5.92	29.58
Ga	21.2	20.6	20.9	0.26	0.0155	22	1.1	0.015	4.62	21.45
V	115.5	111.9	114.7	0.64	0.0045	125	35.1	0.164	7.41	116
Zn	140	149.3	149.3	0.81	0.00553	145	4.3	0.1296	12.14	60.21
W	121.4	120.4	121.9	1.26	0.01034	130	8.1	0.0623	11.4	57.01
Cu	47.2	46.3	46.8	0.34	0.0073	50	3.2	0.0004	7.97	35.15
Ni	17.7	17	17.3	0.22	0.01291	15	2.3	0.1531	1.87	19.46

Taula de precisió i exactitud de l'estàndard DR-N (Association Nationale de la Recherche Technique, Paris), amb els valors certificats donats a K (Geometria) (Ed.). Geostandards Newsletter, Vol XIII, Special Issue, July 1969, a partir de 10 lectures seguides dels elements majors i menors (excepte el Na<sub>2</sub>O) i de 5 lectures seguides dels elements traces i del Na<sub>2</sub>O, realitzades el març d'abril de 1964, amb els següents límits de regressió dels valors dels elements majors i minors vistos expressos en %, els elements traces en ppm): Fe<sub>2</sub>O<sub>3</sub> (0.07-25.65), Al<sub>2</sub>O<sub>3</sub> (0.15-59.2), MnO (0.01-4.35), P<sub>2</sub>O<sub>5</sub> (0.01-15.7), TiO<sub>2</sub> (0.01-2.71), MgO (0.12-4.1), CaO (0.04-49), Na<sub>2</sub>O (0.1-11), K<sub>2</sub>O (0.05-12.8), SO<sub>3</sub> (1.13-30.4), Ba (110-4000), Rb (50-560), Th (3-379), Nb (6-64), Po (2-928), Zr (40-780), V (7-184), Sr (20-1370), Ce (1.3-410), Co (15-112), Ga (5-40), Cr (20-1720), W (15-400), Cu (5-1230), Ni (5-2380). Màniga: valor més alt en una lectura. Màniga: valor més baix en una lectura. Màniga: valor mitjà de les n lectures, s'expressa en percentatge de variació de les n lectures. v<sub>c</sub>: valor certificat (en el cas del Mo, s'ha de multiplicar per 100). v<sub>c</sub> = 0.01 (Mo)<sup>1/2</sup>, on c és la concentració de l'element.

**Taula 2. Taula de precisió i exactitud de l'estàndard DR-N.**

CL-058

	FeO,	Al <sub>2</sub> O <sub>3</sub> ,	MnO	P <sub>2</sub> O <sub>5</sub> ,	TiO <sub>2</sub> ,	MgO	CaO	Na <sub>2</sub> O	K <sub>2</sub> O	SiO <sub>2</sub> ,	Ba	Rb	Y	Sr	Cr	Co	Ga	V	Zn	W	Cu	Ni
Maxima	5.804	18.34	18.109	0.035	0.214	0.672	8.941	0.216	3.315	55.223	425.5	186.1	1.4	15.7	16.6	124.2	156.6	30.1	80.9	540.2	17	43.9
Minima	5.776	18.109	18.109	0.032	0.205	0.643	8.904	0.208	3.304	54.52	377.8	179	0.3	8.1	15.1	118.3	152.8	28.1	66.9	515.1	15.7	43.4
m	5.793	18.213	18.213	0.034	0.211	0.659	8.924	0.211	3.309	54.847	398.6	183.5	0.7	12.1	15.8	120.9	154.9	29.1	61.8	517.7	15.7	43.4
s	0.0093	0.0744	0.0744	0.034	0.21	0.659	0.913	0.028	0.0032	0.0036	0.0257	2.26	0.74	0.187	0.44	1.99	1.22	0.72	0.88	0.0025	0.0013	0.00161
c <sub>v</sub>	0.0008	0.0008	0.0008	0.0146	0.0137	0.01505	0.0146	0.0137	0.0137	0.0137	0.01233	0.01234	0.0137	0.00341	0.00341	0.01234	0.01234	0.02467	0.00954	0.00954	0.00954	0.00954

CL-059

	FeO,	Al <sub>2</sub> O <sub>3</sub> ,	MnO	P <sub>2</sub> O <sub>5</sub> ,	TiO <sub>2</sub> ,	MgO	CaO	Na <sub>2</sub> O	K <sub>2</sub> O	SiO <sub>2</sub> ,	Ba	Rb	Y	Sr	Cr	Co	Ga	V	Zn	W	Cu	Ni
Maxima	5.853	18.496	18.496	0.036	0.224	0.665	0.855	0.932	0.212	55.06	329	55.06	181	174.5	3.27	54.797	359	181	27.8	54.797	1011.6	60.6
Minima	5.779	18.28	18.28	0.031	0.225	0.642	0.784	0.919	0.203	54.797	179	54.797	81.3	174.5	3.27	54.932	380.4	27.8	54.932	1011.6	1011.6	60.6
m	5.81	18.42	18.42	0.031	0.224	0.654	0.825	0.919	0.203	54.797	325	54.797	82.2	174.5	3.27	54.932	380.4	27.8	54.932	1011.6	1011.6	60.6
s	0.0241	0.006	0.006	0.031	0.022	0.022	0.025	0.0163	0.022	0.022	0.0029	0.0171	0.0171	0.0171	0.0025	0.0025	0.0171	0.0171	0.0027	0.0027	0.0027	
c <sub>v</sub>	0.00415	0.0058	0.0058	0.01561	0.0137	0.0137	0.0137	0.0137	0.0137	0.0137	0.01271	0.01271	0.01271	0.01271	0.01184	0.01184	0.01184	0.01184	0.0082	0.0082	0.0082	

Taula de precisió a partir de dues estudiants secundaris, CL-058 i CL-059 (correspondents a certificacions de TSMT de la ciutat de Chiñia), realitzades a partir de 10 lectures seguides, realitzades el gener de 1990, excepte per els elements trinxats determinats en un ab d'Au, determinacions que foren fets el novembre de 1990. Maxima: valor màxim en una lectura; Minima: valor més baix en una lectura; m: mitjana aritmètica de les 10 lectures; s: desviació estàndard de les 10 lectures; c<sub>v</sub>: coeficient de variació de les 10 lectures.

Taula 3. Taula de precisió de dos patrons secundaris, CL-058 i CL-059.

CL-058		Fe <sub>2</sub> O <sub>3</sub>	Al <sub>2</sub> O <sub>3</sub>	MnO	P <sub>2</sub> O <sub>5</sub>	TiO <sub>2</sub>	MgO	CaO	Na <sub>2</sub> O	K <sub>2</sub> O	SiO <sub>2</sub>	Ba	Rb	Mo	Th	Nb
	Inicjal	5.79	18.21	0.03	0.21	0.56	0.82	8.92	0.21	3.31	54.85	399	183	1	12	16
	I-91	5.82	18.17	0.04	0.2	0.64	0.81	8.77		3.28	54.21					
	II-91								0.16							
	III-91	5.68	18.83	0.03	0.18	0.64	0.78	8.59	0.15	3.22	53					
	IV-91	5.84	18.45	0.03	0.19	0.64	0.78	8.82	0.17	3.31	54.59					
	IV-92															
	V-92	5.69	18.17	0.03	0.25	0.63	0.91	8.66		3.22	54.23					
	IX-92	5.61	18.16	0.03	0.21	0.53	0.76	8.9		3.22	54.04					
	VII-93	5.81	18.29	0.03	0.21	0.65	0.94	8.86	0.19	3.31	54.42	432	198	1	13	18
	VIII-93	5.81	18.45	0.03	0.22	0.65	0.91	8.82		3.32	54.37					
	XI-93															
	m	5.76	18.22	0.03	0.21	0.54	0.84	8.79	0.18	3.27	54.21	428	190		12	17
	s	0.079	0.184	0.003	0.02	0.023	0.066	0.108	0.021	0.043	0.514	22	6	1	1	
	cv	0.014	0.01	0.006	0.004	0.036	0.078	0.012	0.122	0.013	0.009	0.051	0.033		0.036	0.057
CL-059		Fe <sub>2</sub> O <sub>3</sub>	Al <sub>2</sub> O <sub>3</sub>	MnO	P <sub>2</sub> O <sub>5</sub>	TiO <sub>2</sub>	MgO	CaO	Na <sub>2</sub> O	K <sub>2</sub> O	SiO <sub>2</sub>	Ba	Rb	Mo	Th	Nb
	Inicjal	5.81	18.42	0.03	0.23	0.65	0.82	8.92	0.21	3.27	54.91	381	177	1	12	15
	I-91	5.86	18.34	0.03	0.22	0.64	0.89	8.8		3.26	54.41					
	II-91								0.19							
	III-91	5.86	18.25	0.03	0.21	0.64	0.84	8.73	0.19	3.29	54.43					
	IV-91	5.84	18.39	0.03	0.22	0.64	0.81	8.86	0.16	3.31	54.82					
	IV-92															
	V-92	5.73	18.01	0.04	0.23	0.64	0.9	8.69		3.22	53.68					
	IX-92	5.63	18.15	0.03	0.23	0.58	0.81	8.9		3.19	54.07					
	VII-93	5.83	18.37	0.03	0.26	0.65	0.91	8.76	0.2	3.28	54.11	394	193	1	12	17
	VIII-93	5.82	18.33	0.03	0.26	0.65	0.87	8.8		3.31	54.88					
	XI-93															
	m	5.8	18.28	0.03	0.23	0.64	0.86	8.81	0.19	3.27	54.41	382	183		12	16
	s	0.074	0.131	0.003	0.017	0.022	0.039	0.076	0.017	0.04	0.37	10	7	0	1	
	cv	0.013	0.017	0.006	0.004	0.034	0.045	0.009	0.088	0.012	0.007	0.026	0.019		0	0.06

Taula de precisió, en el decurs del temps, emprant els patrons secundaris CL-058 i CL-059. La data de les diverses determinacions ve donada pel mes, en xifres romanes, i l'any, en xifres aràbigues. Inicjal, són les 10 primeres lectures seguides realitzades amb els estàndards secundaris per a determinar la precisió de llurs elements, prenent-se aquí el valor de la mitjana aritmètica de les 10 lectures, m: mitjana aritmètica de les n determinacions realitzades en el decurs del temps, s: desviació estàndar de les n lectures, cv: coeficient de variació de les n lectures.

**Taula4. Taula de precisió, en el decurs del temps, emprant els patrons secundaris CL-058 i CL-059.**

CL-058	Pb	Zr	Y	Sr	Ce	Co	Ga	V	Zn	W	Cu	Ni
Inicjal	121	155	29	92	73	78	24	92	82	537	16	43
I-91												
II-91	125	158	31	95		77	25	92	83	518	18	43
III-91						60	26	91	83	523	18	43
IV-91						74	25	84	86	511	26	44
IV-92						62	70	80				
V-92												
IX-92												
VII-93	132	170	28	101		70	74	84	83	492	23	42
VIII-93												
XI-93												
m	126	161	29	96	69	74	24	87	83	516	20	43
s	4	6	1	4	6	7	1	5	1	15	4	1
cv	0.036	0.04	0.042	0.039	0.09	0.033	0.037	0.054	0.016	0.029	0.184	0.015
CL-059	Pb	Zr	Y	Sr	Ce	Co	Ga	V	Zn	W	Cu	Ni
Inicjal	119	146	29	90	66	51	23	94	81	1037	20	60
I-91												
II-91	130	152	32	93		64	50	93	82	1025	22	59
III-91						68	50	93	82	1007	22	60
IV-91						64	51	86	85	984	29	59
IV-92						63	46	82				
V-92												
IX-92												
VII-93	128	167	26	98		70	49	85	82	962	26	57
VIII-93												
XI-93												
m	126	153	29	94	66	49	24	89	82	1001	24	59
s	5	6	2	3	2	2	1	5	1	27	3	1
cv	0.038	0.04	0.084	0.035	0.038	0.034	0.031	0.053	0.016	0.027	0.136	0.019

Taula de precisió, en el decurs del temps, emprant els patrons secundaris CL-058 i CL-059. La data de les diverses determinacions ve donada pel mes, en xifres romanes, i l'any, en xifres aràbigues. Inicjal: són les 10 primeres lectures seguides realitzades amb els estàndards secundaris per a determinar la precisió de diversos elements, present-se aquí el valor de la mitjana aritmètica de les 10 lectures, m: mitjana aritmètica de les n determinacions realitzades en el decurs del temps, s: desviació estàndar de les n lectures, cv: coeficient de variació de les n lectures.

**Taula 4 continuació. Taula de precisió, en el decurs del temps, emprant els patrons secundaris CL-058 i CL-059.**

**Taula 5.** Resultats de les analisis de FRX. Els valors dels elements majors, menors, de la pèrdua al foc (PAF) i del sumatori vénen expressats en tant per cent (%). En el cas dels elements traces, en parts per milió (ppm). s.r.: sense resultats.

**Taula 5 continuació.** Resultats de les analisis de FRX. Els valors dels elements majors, menors, de la pèrdua al foc (PAF) i de la sumatori vénen expressats en tant per cent (%). En el cas dels elements traces, en parts per milió (ppm). s.r.: sense resultats.

	Fe <sub>2</sub> O <sub>3</sub>	Al <sub>2</sub> O <sub>3</sub>	MnO	P <sub>2</sub> O <sub>5</sub>	TiO <sub>2</sub>	MgO	CaO	Na <sub>2</sub> O	K <sub>2</sub> O	SiO <sub>2</sub>	Ba	Rb
Fe <sub>2</sub> O <sub>3</sub>	0	0.001119	0.026741	0.146127	0.001854	0.010934	0.070636	0.253894	0.043136	0.001844	0.086733	0.023822
Al <sub>2</sub> O <sub>3</sub>	0.001119	0	0.032097	0.160032	0.003812	0.009733	0.068334	0.252875	0.044406	0.033942	0.19179	0.020804
MnO	0.026741	0.032097	0	0.129538	0.023988	0.043254	0.060929	0.318162	0.061526	0.02162	0.040504	0.07602
P <sub>2</sub> O <sub>5</sub>	0.146127	0.160032	0.129538	0	0.138985	0.177846	0.181679	0.339802	0.189615	0.1362	0.15391	0.215854
TiO <sub>2</sub>	0.001854	0.003812	0.023988	0.138985	0	0.013507	0.062141	0.252312	0.046464	0.001255	0.078363	0.030705
MgO	0.010934	0.009733	0.043254	0.177846	0.013507	0	0.076474	0.233387	0.070118	0.013072	0.109288	0.013503
CaO	0.070636	0.068334	0.060929	0.181679	0.062141	0.076474	0	0.304284	0.113668	0.056869	0.068927	0.12385
Na <sub>2</sub> O	0.253894	0.252875	0.318162	0.239802	0.252312	0.233387	0.304284	0	0.427224	0.253704	0.471286	0.245899
K <sub>2</sub> O	0.043136	0.044406	0.061526	0.189615	0.046464	0.070118	0.113668	0.427224	0	0.044088	0.090003	0.049789
SiO <sub>2</sub>	0.001844	0.003942	0.02162	0.1362	0.001255	0.013072	0.056869	0.250704	0.044088	0	0.07498	0.031856
Ba	0.086733	0.09179	0.060504	0.156911	0.078383	0.109288	0.068927	0.471286	0.090003	0.07498	0	0.162625
Rb	0.023822	0.020804	0.07602	0.215854	0.030705	0.033503	0.13385	0.245899	0.049789	0.031856	0.162625	0
Th	0.014662	0.013431	0.053815	0.167591	0.016299	0.028801	0.062601	0.239995	0.063305	0.017608	0.113934	0.032618
Nb	0.010249	0.01604	0.048214	0.167591	0.017437	0.017315	0.067245	0.226547	0.070269	0.018774	0.101284	0.038838
Po	0.000699	0.085312	0.087968	0.191722	0.076446	0.084534	0.148144	0.377592	0.152537	0.078166	0.121494	0.141148
Zr	0.009807	0.012618	0.027484	0.124132	0.00592	0.01822	0.050783	0.230627	0.058239	0.004874	0	0.548
Y	0.004192	0.006248	0.024292	0.13219	0.028802	0.016693	0.05036	0.263399	0.042672	0.018186	0.06411	0.038936
Sr	0.263976	0.262362	0.233693	0.352787	0.251706	0.276167	0.113871	0.580633	0.264378	0.240637	0.1212132	0.35397
Ce	0.007076	0.008775	0.031884	0.139167	0.007786	0.020863	0.07524	0.260648	0.041175	0.007669	0.087472	0.029276
Ga	0.008075	0.005849	0.047509	0.202311	0.013697	0.012748	0.100074	0.247989	0.056099	0.014517	0.130411	0.013505
V	0.031342	0.029839	0.068857	0.226857	0.041402	0.038737	0.158105	0.297786	0.069817	0.041188	0.158778	0.025796
Zn	0.031431	0.034734	0.064441	0.192155	0.040787	0.04562	0.126963	0.26275	0.055337	0.039037	0.159459	0.033535
Cu	0.151072	0.155349	0.164766	0.139403	0.149563	0.150365	0.22768	0.293828	0.21008	0.149159	0.22865	0.178883
Ni	0.004154	0.001643	0.036175	0.169552	0.007666	0.011254	0.064966	0.256078	0.044915	0.007377	0.093155	0.021666
Total	1.295735	1.321546	1.743477	4.175442	1.284917	1.512144	2.463796	6.887699	2.308856	1.256696	2.926259	1.979181

	Th	Nb	Pb	Zr	Y	Sr	Ce	Ga	V	Zn	Cu	Ni
Fe <sub>2</sub> O <sub>3</sub>	0.014622	0.018249	0.080699	0.009607	0.004192	0.265976	0.007076	0.008075	0.031342	0.033831	0.151072	0.004154
Al <sub>2</sub> O <sub>3</sub>	0.013431	0.01604	0.085512	0.012618	0.006248	0.262562	0.008775	0.005849	0.029839	0.034734	0.155349	0.001643
MnO	0.053815	0.048214	0.087968	0.027484	0.024292	0.233693	0.031884	0.047509	0.068857	0.064441	0.164766	0.036175
P <sub>2</sub> O <sub>5</sub>	0.164987	0.167591	0.191722	0.124132	0.13219	0.352787	0.139167	0.202311	0.226857	0.192155	0.139403	0.169552
TiO <sub>2</sub>	0.016299	0.017437	0.076446	0.00592	0.002802	0.251706	0.007786	0.013697	0.041402	0.040787	0.149563	0.007666
MgO	0.028801	0.017315	0.084534	0.01822	0.016693	0.276167	0.030863	0.012748	0.038737	0.04562	0.150365	0.011254
CaO	0.082601	0.067245	0.148144	0.050783	0.050336	0.113871	0.07524	0.100074	0.158105	0.126963	0.22768	0.064966
Na <sub>2</sub> O	0.239995	0.225547	0.377592	0.230627	0.263399	0.580633	0.260648	0.247989	0.297786	0.26275	0.293828	0.2546078
K <sub>2</sub> O	0.063305	0.070269	0.152537	0.058239	0.042672	0.264378	0.041175	0.056099	0.069817	0.055337	0.21008	0.044915
SiO <sub>2</sub>	0.017008	0.018774	0.078166	0.004874	0.00185	0.240637	0.007669	0.014517	0.041188	0.039037	0.149159	0.007377
Ba	0.113934	0.103284	0.121494	0.077648	0.06841	0.132132	0.087472	0.130411	0.158778	0.159459	0.22865	0.093155
Rb	0.032618	0.038838	0.141148	0.046283	0.038936	0.35397	0.029276	0.013505	0.025796	0.033535	0.178883	0.021666
Th	0	0.025922	0.108876	0.022406	0.017348	0.282364	0.017603	0.021419	0.055791	0.051085	0.155919	0.017072
Nb	0.025922	0	0.091007	0.016623	0.020009	0.258566	0.022532	0.0246	0.05915	0.055741	0.130434	0.016356
Pb	0.108476	0.091007	0	0.081265	0.080229	0.277648	0.081213	0.101562	0.122965	0.192038	0.245253	0.080695
Zr	0.022406	0.016623	0.081265	0	0.004358	0.237862	0.013005	0.027603	0.038907	0.046954	0.129421	0.016338
Y	0.017348	0.020009	0.080229	0.004358	0	0.228979	0.009562	0.020147	0.051074	0.043292	0.145156	0.009358
Sr	0.282364	0.258566	0.277648	0.237862	0.228979	0	0.260226	0.322728	0.386669	0.381107	0.467676	0.253668
Ce	0.017603	0.022532	0.081213	0.013005	0.009562	0.260226	0	0.019144	0.045144	0.043577	0.158698	0.010919
Ga	0.021419	0.0246	0.101562	0.027663	0.020147	0.322728	0.019144	0	0.017458	0.030079	0.169384	0.007477
V	0.055791	0.06915	0.122965	0.063807	0.051074	0.386869	0.045144	0.017458	0	0.042688	0.198622	0.031322
Zn	0.051085	0.055743	0.192038	0.049654	0.043292	0.381107	0.043577	0.030079	0.042684	0	0.149185	0.036718
Cu	0.155919	0.130434	0.245253	0.129421	0.145156	0.467676	0.158698	0.169384	0.198622	0.149185	0	0.162295
Ni	0.017072	0.016356	0.080695	0.016338	0.009558	0.253668	0.010919	0.007477	0.031322	0.036718	0.162295	0
Total	1.615219	1.510747	3.096714	1.328876	1.281451	6.686206	1.398454	1.614385	2.263494	2.163814	4.310842	1.370821

Suma total de variàncies: 57.816772

Variació total: 1.2045161

**Taula 6. Matriu de variació composicional dels 50 Lc d'Abella amb les 24 concentracions elementals determinades.**

	C1	C2	C3	C4
Fe <sub>2</sub> O <sub>3</sub>	-0.021	-0.02	-0.004	0.011
Al <sub>2</sub> O <sub>3</sub>	-0.022	-0.019	-0.024	0.021
MnO	0.058	-0.008	0.047	-0.034
TiO <sub>2</sub>	0.045	0.142	0.332	0.053
TiO <sub>2</sub>	-0.007	-0.006	0.002	-0.003
MgO	-0.041	0.003	-0.043	-0.004
CaO	0.155	0.128	-0.055	-0.041
Na <sub>2</sub> O	-0.312	0.304	-0.053	0.036
K <sub>2</sub> O	0.074	-0.125	0.012	0.126
Ba	0.239	0.003	0.052	-0.007
Rb	-0.103	-0.053	-0.053	0.114
Zr	0.001	0.037	0.014	-0.021
Sr	0.421	0.204	-0.121	0.07
V	0.1	-0.102	-0.031	0.074
VE	0.389	0.257	0.143	0.047
PVE	0.4219	0.2784	0.1546	0.0511

	C1	C2	C3	C4
Fe <sub>2</sub> O <sub>3</sub>	0.004	-0.021	-0.006	0.023
Al <sub>2</sub> O <sub>3</sub>	0.012	-0.011	-0.021	0.034
MnO	-0.063	0.011	0.031	-0.133
P <sub>2</sub> O <sub>5</sub>	-0.005	0.007	0.356	-0.092
TiO <sub>2</sub>	0	-0.01	-0.002	0
MgO	0.039	-0.015	-0.041	0.01
CaO	-0.012	0.184	-0.017	-0.104
Na <sub>2</sub> O	0.488	-0.001	0.053	-0.092
K <sub>2</sub> O	-0.111	0.025	0.027	0.152
Ba	-0.173	0.153	0.064	-0.052
Rb	0.068	-0.048	-0.027	0.147
Zr	0.017	0.008	0.015	-0.038
Sr	-0.102	0.473	0.004	-0.068
V	0.02	-0.09	-0.036	0.13
VE	0.302	0.293	0.14	0.102
PVE	0.3272	0.3174	0.1517	0.1105

	C1	C2	C3
Fe <sub>2</sub> O <sub>3</sub>	-0.027	-0.011	0.015
Al <sub>2</sub> O <sub>3</sub>	-0.025	-0.034	0.019
MnO	0.044	0.083	0.03
TiO <sub>2</sub>	-0.009	0.003	0
MgO	-0.031	-0.046	0.001
CaO	0.2	-0.023	-0.079
Ba	0.212	0.122	0.108
Rb	-0.108	-0.105	0.055
Zr	0.014	0.015	-0.045
Sr	0.478	-0.096	0.033
V	-0.128	-0.054	0.13
VE	0.346	0.049	0.043
PVE	0.7033	0.0998	0.0867

	C1	C2	C3
Fe <sub>2</sub> O <sub>3</sub>	-0.018	-0.013	0.024
Al <sub>2</sub> O <sub>3</sub>	-0.006	-0.05	0.035
MnO	0.005	0.098	-0.01
TiO <sub>2</sub>	-0.01	-0.001	0.012
MgO	-0.007	-0.05	0.014
CaO	0.182	0.025	-0.113
Ba	0.144	0.225	0.019
Rb	-0.046	-0.107	0.11
Zr	0.003	0	-0.049
Sr	0.472	0.114	-0.154
V	-0.08	-0.042	0.164
VE	0.286	0.091	0.081
PVE	0.5812	0.1849	0.1139

**Taula 7.** Taula dels coeficients dels components transformats en logaritmes de raons, emprant el SiO<sub>2</sub> com a divisor, en les components principals de les ACP realitzades. De dalt a baix: Primera subcomposició sense rotació i amb rotació varimax. Segona subcomposició sense rotació i amb rotació varimax.

	GA	GB	GC	GD
Al <sub>2</sub> O <sub>3</sub>	-587.773	-482.421	-608.041	-613.172
MnO	-700.075	-703.723	-668.447	-692.319
Ba	-383.733	-401.043	-379.064	-395.12
Sr	9.232	22.582	-29.614	-18.963
V	-439.645	-408.517	-379.255	-827.634
Constant	-7190	-7246	-6800	-7592

	GA	GB	GC
GB	82.98		
GC	48.98	23.1	
GD	30.46	39.08	26.28

	VC1	VC2	VC3
Al <sub>2</sub> O <sub>3</sub>	-3.115	41.376	-5.159
MnO	-0.475	-3.657	-5.734
Ba	1.747	-0.964	-4.4
Sr	4.608	2.719	0.12
V	-5.37	-2.86	-5.722
Constant	-9.727	1.831	-116.81
PADT	0.63578	0.87161	1

**Taula 8.** De dalt a baix: coeficients de les funcions discriminants. Taula F de les agrupacions preses dos a dos. Coeficients de les tres primeres variables canòniques PADT: proporció acumulada de la dispersió total. Totes els components estan transformats a logaritmes de raons emprant el SiO<sub>2</sub> com a divisor. Les agrupacions GB i GE s'han unificat en l'agrupació GB.

## GRUP GA

	GA	GB	GC	GD
S-0001	4.9	46.6	62.1	85.9
S-0003	3.4	37	55.8	80.8
S-0004	2.6	32.6	46.5	64.1
S-0005	4.4	36.6	41.5	67.6
S-0006	5.1	52.4	66.6	79.6
S-0007	4.2	74.5	90.1	92.4
S-0008	4.4	58.7	64.5	50.8
S-0009	3.1	42.6	53.5	48.8
S-0010	8.4	85.2	75	85.7
S-0011	12.3	80.2	72.1	71.8
S-0012	6.6	41.5	59.7	45.6
S-0015	5.5	60.8	83.5	99.2
S-0017	8.2	66.5	67	56.2
S-0030	5.3	37.7	48.4	54.6
S-0034	2.4	49.8	71.5	6.6
S-0035	4.4	68.1	2.3	84.5
S-0036	5.2	74.3	69.6	54.6
S-0039	2.9	67.6	79.1	91.7

## GRUP GB

	GA	GB	GC	GD
S-0013	55.3	3.9	25.4	96.6
S-0018	48.9	1	31.5	73
S-0022	42.6	8.5	47.6	117.5
S-0026	65.2	2.8	47.9	102.9
S-0027	78.1	3.3	34.6	105.8
S-0028	51.1	3.1	45.9	81.7
S-0029	71.9	1	31.1	83.1
S-0031	35.8	9.3	24.2	97.7
S-0032	56.2	1.3	27.4	80.5
S-0041	54.1	2	24.1	99.9
S-0042	47.2	7.7	24.7	65
S-0043	35.2	8.2	40.4	53.8
S-0044	52.8	1.7	18.3	86.4
S-0045	56.5	4	19.1	97.6
S-0047	51.2	5.3	34.7	62.6
S-0050	45.3	1.1	32.5	74.2
S-0052	59.2	2.2	33.4	73.8
S-0054	90.8	9.2	47	140.6

## GRUP GC

	GA	GB	GC	GD
S-0024	57.5	23.7	0.8	76.1
S-0025	53.2	16.7	4.6	72.5
S-0046	85.7	43.9	3.1	91
S-0048	62.5	34.8	1.7	73.5
S-0049	104.8	65.2	12.2	101.6
S-0055	28.3	16.2	7.5	52.2

## GRUP GD

	GA	GB	GC	GD
S-0038	75.1	96	78.7	0.9
S-0053	62.3	85.1	72.3	1.7
S-0056	63.8	75.8	71.8	1.7

## MAL CLASSIFICATS

	GA	GB	GC	GD
S-0014	91.9	105.2	56.4	15.8
S-0015	28.4	21.1	23.9	26.3
S-0019	21.8	8.2	33.2	65.7
S-0021	128.6	68	29.9	68.7
S-0033	35.4	42	11.1	64.7

Taula 9. Distàncies de Mahalanobis dels 50 Lc d'Abella als centreides de les agrupacions definides. Les agrupacions GB i GE s'han unificat en l'agrupació GB.

	$\text{Fe}_2\text{O}_3$	$\text{Al}_2\text{O}_3$	$\text{MnO}$	$\text{P}_2\text{O}_5$	$\text{TiO}_2$	$\text{MgO}$	$\text{CaO}$	$\text{Na}_2\text{O}$	$\text{K}_2\text{O}$	$\text{SiO}_2$	$\text{Ba}$	$\text{Rb}$
GA (N=18)	5.77	18.08	0.08	0.19	0.62	2.78	22.38	0.41	1.58	45.83	986	143
	(±0.19)	(±0.52)	(±0.005)	(±0.03)	(±0.03)	(±0.18)	(±1.98)	(±0.06)	(±0.5)	(±1.17)	(±174)	(±21)
GB (N=12)	6.57	20.56	0.07	0.18	0.67	3.12	15.38	0.43	4.09	48.71	662	189
	(±0.26)	(±0.74)	(±0.006)	(±0.01)	(±0.02)	(±0.14)	(±1.97)	(±0.07)	(±0.38)	(±0.94)	(±84)	(±15)
GC (N=6)	6.38	19.55	0.1	0.18	0.66	2.58	16.88	0.28	4.37	48.67	901	176
	(±0.19)	(±0.34)	(±0.021)	(±0.02)	(±0.02)	(±0.12)	(±1.61)	(±0.03)	(±0.11)	(±0.9)	(±85)	(±7)
GD (N=3)	5.88	16.87	0.09	0.19	0.68	2.53	19.88	0.58	3.44	49.64	758	158
	(±0.02)	(±0.15)	(±0.006)	(±0.01)	(±0.05)	(±0.2)	(±0.45)	(±0.05)	(±0.08)	(±0.44)	(±102)	(±1)
GE (N=6)	6.31	20	0.07	0.16	0.66	3.3	19.88	1.48	2.84	47.62	525	205
	(±0.27)	(±0.67)	(±0.007)	(±0.01)	(±0.04)	(±0.08)	(±0.45)	(±0.62)	(±0.82)	(±0.83)	(±17)	(±26)

	$\text{Th}$	$\text{Nb}$	$\text{Pb}$	$\text{Zr}$	$\text{Y}$	$\text{Sr}$	$\text{Ce}$	$\text{Ga}$	$\text{V}$	$\text{Zn}$	$\text{Cu}$	$\text{Ni}$
GA (N=18)	-14	18	33	115	27	1274	66	20	94	58	11	47
	(±2)	(±2)	(±4)	(±7)	(±1)	(±329)	(±6)	(±1)	(±12)	(±8)	(±4)	(±3)
GB (N=12)	-16	19	34	116	28	493	74	22	128	128	11	52
	(±1)	(±1)	(±4)	(±3)	(±1)	(±58)	(±5)	(±2)	(±18)	(±10)	(±2)	(±2)
GC (N=6)	-15	17	32	110	27	554	71	24	146	132	11	49
	(±1)	(±1)	(±4)	(±5)	(±1)	(±50)	(±6)	(±1)	(±17)	(±18)	(±2)	(±1)
GD (N=3)	-14	16	30	133	29	690	68	19	81	109	8	40
	(±1)	(±1)	(±5)	(±4)	(±1)	(±57)	(±8)	(±1)	(±4)	(±2)	(±2)	(±1)
GE (N=6)	-15	22	28	120	26	463	67	26	132	131	13	51
	(±1)	(±5)	(±6)	(±7)	(±1)	(±52)	(±4)	(±1)	(±5)	(±6)	(±1)	(±1)

	$\text{Fe}_2\text{O}_3$	$\text{Al}_2\text{O}_3$	$\text{MnO}$	$\text{P}_2\text{O}_5$	$\text{TiO}_2$	$\text{MgO}$	$\text{CaO}$	$\text{Na}_2\text{O}$	$\text{K}_2\text{O}$	$\text{SiO}_2$	$\text{Ba}$	$\text{Rb}$	$\text{Th}$
GA (N=18)	-2.072	-0.93	-6.376	-5.515	-4.304	-2.6	-0.72	-4.717	-2.56	-6.155	-8.083	-10.399	
	(±0.07)	(±0.025)	(±0.079)	(±0.122)	(±0.033)	(±0.076)	(±0.114)	(±0.148)	(±0.144)	(±0.162)	(±0.142)	(±0.129)	
GB (N=12)	-2.003	-0.863	-6.513	-5.611	-4.280	-2.748	-1.16	-4.751	-2.481	-6.608	-7.855	-10.298	
	(±0.03)	(±0.031)	(±0.095)	(±0.071)	(±0.023)	(±0.058)	(±0.141)	(±0.179)	(±0.081)	(±0.124)	(±0.077)	(±0.071)	
GC (N=6)	-2.032	0.912	-6.177	-5.573	-4.293	-2.899	-1.062	-5.145	-2.409	-6.295	-7.927	-10.417	
	(±0.014)	(±0.005)	(±0.19)	(±0.11)	(±0.021)	(±0.062)	(±0.107)	(±0.092)	(±0.011)	(±0.079)	(±0.05)	(±0.094)	
GD (N=3)	-2.133	-1.079	-6.357	-5.579	-4.289	-2.98	-0.915	-4.444	-2.668	-6.49	-8.188	-10.461	
	(±0.008)	(±0.017)	(±0.071)	(±0.035)	(±0.082)	(±0.081)	(±0.029)	(±0.098)	(±0.016)	(±0.133)	(±0.011)	(±0.095)	
GE (N=6)	-2.022	-0.860	-6.5	-5.723	-4.278	-2.669	-1.012	-3.551	-2.858	-6.81	-7.76	-10.34	
	(±0.029)	(±0.025)	(±0.11)	(±0.071)	(±0.39)	(±0.035)	(±0.103)	(±0.443)	(±0.316)	(±0.04)	(±0.135)	(±0.075)	

	$\text{Nb}$	$\text{Pb}$	$\text{Zr}$	$\text{Y}$	$\text{Sr}$	$\text{Ce}$	$\text{Ga}$	$\text{V}$	$\text{Zn}$	$\text{Cu}$	$\text{Ni}$
GA (N=18)	-10.139	-9.548	-8.288	-9.744	-5.916	-8.855	-10.037	-8.497	-8.45	-10.67	-9.194
	(±0.122)	(±0.123)	(±0.065)	(±0.045)	(±0.256)	(±0.093)	(±0.042)	(±0.118)	(±0.078)	(±0.374)	(±0.069)
GB (N=12)	-10.146	-9.582	-8.344	-9.767	-6.903	-8.791	-9.865	-8.256	-8.249	-10.698	-9.153
	(±0.084)	(±0.104)	(±0.027)	(±0.028)	(±0.123)	(±0.069)	(±0.057)	(±0.128)	(±0.084)	(±0.161)	(±0.039)
GC (N=6)	-10.27	-9.644	-8.396	-9.793	-6.781	-8.834	-9.896	-8.118	-8.216	-10.729	-9.2
	(±0.058)	(±0.11)	(±0.032)	(±0.026)	(±0.101)	(±0.084)	(±0.047)	(±0.114)	(±0.135)	(±0.222)	(±0.033)
GD (N=3)	-10.314	-9.712	-8.227	-9.752	-6.581	-8.402	-10.145	-8.717	-8.423	-11.019	-9.414
	(±0.083)	(±0.178)	(±0.036)	(±0.023)	(±0.075)	(±0.112)	(±0.054)	(±0.04)	(±0.03)	(±0.208)	(±0.032)
GE (N=6)	-10.014	-9.742	-8.284	-9.811	-6.94	-8.865	-9.804	-8.194	-8.187	-10.499	-9.145
	(±0.226)	(±0.222)	(±0.07)	(±0.033)	(±0.126)	(±0.076)	(±0.02)	(±0.032)	(±0.044)	(±0.087)	(±0.027)

**Taula 10.** En la part superior: mitjanes i desviacions estàndards per als 24 components determinats de les 5 agrupacions definides. En la part inferior: mitjanes i desviacions estàndards per als logaritmes de raons per als 24 components determinats de les 5 agrupacions definides, transformats emprant el  $\text{SiO}_2$  com a divisor.

	PA-1	PA-2	PA-3	PA-4	PA-5	PA-6	PA-7	PA-8	PA-9	PA-10	PA-11	PA-12
A.o. 10 Å/Å	1.191	2.035	1.541	1.606	1.043	1.317	1.607	1.623	1.133	0.967	1.403	1.146
F.f. 10 Å/Å	0.993	1.365	1.075	1.243	1.063	1.112	1.246	1.276	0.986	0.562	1.094	0.959
R.t. 10 Å/Å	0.701	1.132	1.015	0.815	0.692	0.677	0.853	1.036	0.734	0.474	0.785	0.68
F.f. 4.26 Å/3.03 Å	0.482	0.619	0.259	1.566	0.432	1.659	1.478	0.387	0.381	0.343	0.923	0.594
R.t. 4.26 Å/3.03 Å	0.63	0.117	0.173	1.537	0.414	3.992	0.708	0.184	0.567	0.726	0.272	0.709
F.f. 4.26 Å/(10 Å+7 Å)	0.342	0.391	0.281	0.193	0.272	0.242	0.299	0.219	0.318	0.358	0.216	0.2
R.t. 4.26 Å/(10 Å+7 Å)	0.873	0.54	0.547	0.506	0.494	0.6	0.804	0.736	0.825	0.894	0.619	0.551
F.f. 3.03 Å/(10 Å+7 Å)	0.709	0.632	1.082	0.123	0.629	0.146	0.202	0.564	0.835	1.064	0.234	0.337
R.t. 3.03 Å/(10 Å+7 Å)	1.386	4.627	3.16	0.329	1.191	0.15	1.136	4	1.455	1.232	2.275	0.777

**Taula 11.** Proporcions d'intensitats per a les 12 mostres d'argiles. A.o.: Agregats orientats. F.f.: Fracció fina. R.t.: Roca total. 10 Å: illites; 7 Å: clorites; 4.26 Å: quars; 3.03 Å: calcita.

	I-M	Color	D/Q	PAF
S-0001	0	1	1.36	5.66
S-0002	0	5	1.23	6.12
S-0003	0	5	1.5	7.41
S-0004	0	5	1.32	7.47
S-0005	1	1	1.27	5.97
S-0006	1	1	0.88	7.95
S-0007	0	1	0.89	8.19
S-0008	1	1	0.93	7.56
S-0009	0	5	2.13	7.25
S-0010	0	5	1.39	6.92
S-0011	1	6	0	13.12
S-0012	0	5	1.02	6.72
S-0013	0	4	7.69	2.34
S-0014	1	1	0.75	12.77
S-0015	1	7	0.95	7.52
S-0016	0	1	1.5	5.67
S-0017	0	1	1.03	9.63
S-0018	0	20	2.66	3.79
S-0019	0	4	6.81	8.21
S-0021	1	1	0.49	5.36
S-0022	0	16	1.76	2.74
S-0024	1	10	0	11
S-0025	1	5	0	12.4
S-0026	6	5	4.79	2.77
S-0027	0	19	13.85	2.05
S-0028	0	5	3.08	3.86
S-0029	0	5	6.72	2.66
S-0030	0	7	1.84	5.5
S-0031	0	1	2.66	4.65
S-0032	0	4	10.25	3.17
S-0033	1	6	0	16.27
S-0034	0	1	1.56	5.28
S-0035	0	1	1.25	8.33
S-0036	1	1	0.85	7.43
S-0037	0	5	5.81	3.51
S-0038	1	1	0.55	10.11
S-0039	0	1	0.82	7.94
S-0040	0	20	3.67	3.09
S-0041	1	5	1.47	3.37
S-0042	1	1	0.78	5.83
S-0043	0	4	4.36	4.68
S-0044	1	6	1.99	4.15
S-0045	1	5	1.14	4.04
S-0046	1	1	0	11.9
S-0047	0	5	8.09	5.42
S-0048	1	1	0.74	9.17
S-0049	1	1	0	13.03
S-0050	1	5	2.16	2.61
S-0052	1	5	2.4	1.68
S-0053	1	1	0.63	9.04
S-0054	1	1	1.74	2.3
S-0055	1	1	0.89	7.66
S-0056	1	1	0.63	8.96

**Taula 12.** Taula de valors per a les variables definides per a l'AA amb el coeficient de Gower. I-M: presència o absència del pic de 10 Å de les il·lites. Color: color de la pasta. D/Q: proporció d'intensitats de piroxens i quars. PAF: pèrdua al foc.

	SiO <sub>2</sub>	Al <sub>2</sub> O <sub>3</sub>	TiO <sub>2</sub>	P <sub>2</sub> O <sub>5</sub>	MnO	Cr <sub>2</sub> O <sub>3</sub>	FeO <sub>2</sub>	CaO	Na <sub>2</sub> O	K <sub>2</sub> O	Rb	Ba	Th	Nd
CLA001	6.95	18.71	0.05	0.1	0.79	1.62	0.46	5.79	58.25	1.91	0	14	21	21
CLA002	5.15	19.16	0.04	0.13	0.99	1.14	0.49	5.95	4.86	2.8	20	20	21	21
CLA003	5.68	16.28	0.07	0.19	0.71	4.96	0.41	5.32	0.46	5.45	1.14	14	14	16
CLA004	6.45	17.64	0.05	0.12	0.71	3.65	0.36	4.61	58.45	5.72	166	1	1	16
CLA005	6.56	20.19	0.06	0.12	0.77	2.76	0.42	5.25	1.02	5.43	2.8	67.9	414	142
CLA006	6.11	18.87	0.05	0.11	0.75	3.2	0.44	6.34	3.9	55.75	216	0	14	20
CLA007	5.86	20.34	0.01	0.08	0.94	0.52	0.9	0.17	3	530	195	1	14	20
CLA008	5.86	20.1	0.02	0.07	0.95	0.52	0.88	0.18	2.99	66.58	413	1	11	26
CLA009	5.54	19.83	0.01	0.08	0.96	0.42	1.24	0.15	2.77	66.81	516	1	13	24
CLA010	5.93	17.43	0.07	0.15	0.66	5.25	10.36	1.67	1.02	52.66	521	229	0	16
CLA011	5.92	18.26	0.05	0.12	0.75	2.67	0.54	6.34	3.75	58.73	537	0	16	14
CLA012	5.79	20.34	0.05	0.16	0.77	0.76	5.7	0.2	3.08	59.6	410	183	0	17
CLA013	5.33	18.18	0.01	0.05	0.95	0.47	0.84	0.19	2.64	69.14	373	141	0	12
CLA014	5.32	17.76	0.05	0.12	0.72	2.74	7.87	0.48	3.45	58.01	478	173	1	14
CLA015	4.7	15.77	0.05	0.12	0.64	1.7	12.81	0.36	3.14	51.09	463	147	0	12
CLA016	5.44	18.81	0.05	0.13	0.73	2.43	8.38	0.43	3.54	55.85	595	181	1	14
CLA017	6.61	20.67	0.01	0.05	0.92	0.46	0.71	0.27	2.57	65.79	419	155	2	19
CLA018	5.79	17.66	0.05	0.12	0.71	3.34	9.41	0.5	3.62	51.41	497	175	0	6
CLA019	5.98	17.38	0.06	0.14	0.73	2.71	7.81	0.54	3.56	57.24	522	175	0	11
CLA020	6.06	16.79	0.05	0.14	0.72	3.62	7.15	0.4	4.35	56.98	572	146	1	15
CLA021	6.33	22.76	0.04	0.14	0.81	0.68	2.82	0.27	3.18	59.48	444	193	0	16
CLA022	6.44	19.95	0.01	0.08	0.92	0.48	0.77	0.2	2.62	65.96	408	152	1	16
CLA023	6.19	20.84	0.05	0.17	0.83	0.77	2.72	0.2	3.06	61.63	446	179	1	12
CLA024	5.77	21.05	0.01	0.05	0.94	0.52	0.4	2.49	2.46	65.51	459	165	1	16
CLA025	6.02	21.5	0.04	0.16	0.76	0.68	4.62	0.31	3.14	59.23	480	181	0	14
CLA026	5.62	18.96	0.04	0.22	0.8	0.61	3.2	0.18	2.93	63.04	411	169	0	16
CLA027	6.15	20.06	0.01	0.06	0.94	0.44	0.82	0.16	2.83	66.37	441	167	1	16
CLA028	5.46	16.89	0.05	0.12	0.71	2.51	9.57	0.52	3.53	55.78	446	156	1	19
CLA029	5.55	19.22	0.01	0.05	0.96	0.57	0.86	0.29	2.71	67.94	409	151	1	17
CLA030	5.81	20.26	0.01	0.12	0.95	0.41	1.46	0.22	2.29	66.75	314	140	0	12
CLA031	6.1	17.31	0.06	0.18	0.67	3.57	7.32	0.44	4.7	56.16	581	150	0	11
CLA032	6.48	19.84	0.01	0.07	0.9	0.53	0.97	0.15	2.78	65.79	366	149	1	18
CLA033	6.24	22.48	0.04	0.12	0.8	0.7	3.35	0.35	3.01	59.63	470	191	0	15
CLA034	5.56	13.15	0.04	0.15	0.77	0.76	4.32	0.19	2.81	61.68	318	141	1	13
CLA035	6.74	19.76	0.05	0.26	0.79	1.89	10.36	0.55	3.41	53.39	465	153	2	10
CLA036	5.98	17.59	0.05	0.2	0.63	1.94	13.99	0.53	3.2	48.43	391	142	1	16
CLA037	5.58	17.28	0.07	0.09	0.77	1.14	9.95	0.49	1.51	55.72	480	171	1	6
CLA038	5.16	18.82	0.03	0.09	0.94	0.49	1.17	0.34	2.42	69.29	409	140	1	19
CLA039	6.27	20.66	0.05	0.12	0.81	0.68	3.04	0.23	3.01	62.35	370	180	0	17
CLA040	7.08	21.41	0.01	0.06	0.9	0.53	0.63	0.18	2.76	63.42	411	156	1	11
CLA041	6.1	21.19	0.05	0.39	0.99	0.44	1.17	0.18	2.53	65.48	375	151	0	21
CLA042	5.74	19.44	0.03	0.05	0.97	0.48	0.57	0.17	2.75	67.34	418	146	1	18
CLA043	6.42	21.55	0.02	0.06	0.91	0.41	0.66	0.19	2.68	63.98	389	153	0	11
CLA044	6.67	20.84	0.05	0.11	0.61	0.61	1.98	0.37	4.58	59.37	471	212	1	17
CLA045	5.98	20.38	0.02	0.11	0.95	0.4	0.94	0.18	2.72	66.38	451	156	0	17
CLA046	6.11	18.52	0.06	0.11	0.79	2.62	5.41	0.51	3.97	58.72	495	194	1	19
CLA047	5.68	17.83	0.05	0.1	0.76	1.46	6.63	0.48	3.68	61.68	418	146	1	18
CLA048	5.6	17.54	0.05	0.13	0.72	1.99	7.87	0.47	3.78	55.99	503	171	1	16
CLA049	7.05	22.35	0.01	0.07	0.88	0.36	1.03	0.2	2.68	63.17	425	161	1	16
CLA050	7.01	22.62	0.01	0.07	0.89	0.43	1.03	0.18	2.72	66.38	495	194	1	16
CLA051	5.05	16.83	0.05	0.14	0.68	1.99	6.63	0.48	3.68	61.68	418	146	1	18
CLA052	6.56	21.31	0.02	0.07	0.82	0.28	0.92	0.16	2.73	64.95	382	154	0	19
CLA053	6.03	20.47	0.02	0.06	0.82	0.43	0.92	0.16	2.72	64.95	413	157	0	19

**Taula 13.** Resultats de les analisis de FRX. Els valors dels elements majors, menors, de la pèrdua al foc (PAF) i del sumatori vénen expressats en tant per cent (%). En el cas dels elements traces, en parts per mil·lió (ppm).

	No	23	16	16	21	21	20	13	17	17	11	20	16	16	16
	Ti	20	13	17	17	17	11	11	16	16	16	17	17	17	17
	Mo	1	0	0	0	0	0	0	0	0	0	0	0	0	0
	Rb	152	343	6752	452	155	393	168	5744	452	6623	452	5949	218	181
	Ba	343	343	343	343	343	343	343	343	343	343	343	343	343	343
	SO <sub>4</sub>														
	K <sub>2</sub> O														
	Na <sub>2</sub> O														
	CaO	0.37	0.78	0.13	2.42	0.38	0.48	3.69	0.13	2.83	0.15	0.15	0.15	0.15	0.15
	MgO	0.07	1.01	0.12	0.73	1.57	0.94	0.45	0.9	0.45	0.42	4.5	4.5	4.5	4.5
	P <sub>2</sub> O <sub>5</sub>	0.01	0.01	0.01	0.01	0.01	0.01	0.01	0.01	0.01	0.01	0.01	0.01	0.01	0.01
	Al <sub>2</sub> O <sub>3</sub>	16.79	16.79	19.96	19.96	16.79	16.79	16.79	16.79	16.79	16.79	16.79	16.79	16.79	16.79
CLA054	5.8	5.42	5.8	5.8	5.42	5.8	5.42	5.8	5.42	5.8	5.42	5.8	5.42	5.8	5.42
CLA055	5.42	5.42	5.42	5.42	5.42	5.42	5.42	5.42	5.42	5.42	5.42	5.42	5.42	5.42	5.42
CLA056	5.8	5.8	5.8	5.8	5.8	5.8	5.8	5.8	5.8	5.8	5.8	5.8	5.8	5.8	5.8
CLA057	6.54	6.54	20.7	20.7	6.54	6.54	6.54	6.54	6.54	6.54	6.54	6.54	6.54	6.54	6.54
CLA058	5.98	18.49	18.49	18.49	5.98	18.49	18.49	18.49	18.49	18.49	18.49	18.49	18.49	18.49	18.49
CLA059	6.05	20.43	0.02	0.02	0.02	0.02	0.02	0.02	0.02	0.02	0.02	0.02	0.02	0.02	0.02
CLA060	6.01	18.54	0.06	0.06	0.06	0.06	0.06	0.06	0.06	0.06	0.06	0.06	0.06	0.06	0.06
CLA061	5.75	5.53	17.8	17.8	0.05	0.05	0.05	0.05	0.05	0.05	0.05	0.05	0.05	0.05	0.05
CLA062	6.1	17.69	17.69	17.69	17.69	17.69	17.69	17.69	17.69	17.69	17.69	17.69	17.69	17.69	17.69
CLA063	6.15	19.97	0.05	0.05	0.05	0.05	0.05	0.05	0.05	0.05	0.05	0.05	0.05	0.05	0.05
CLA064	6.23	18.24	0.06	0.06	0.06	0.06	0.06	0.06	0.06	0.06	0.06	0.06	0.06	0.06	0.06
CLA065	6.5	20.44	0.08	0.08	0.08	0.08	0.08	0.08	0.08	0.08	0.08	0.08	0.08	0.08	0.08
CLA066	5.53	20.01	0.05	0.05	0.05	0.05	0.05	0.05	0.05	0.05	0.05	0.05	0.05	0.05	0.05
CLA067	6.06	19.28	0.06	0.06	0.06	0.06	0.06	0.06	0.06	0.06	0.06	0.06	0.06	0.06	0.06
CLA068	5.41	16.62	0.05	0.05	0.05	0.05	0.05	0.05	0.05	0.05	0.05	0.05	0.05	0.05	0.05
CLA069	5.57	17.12	0.06	0.06	0.06	0.06	0.06	0.06	0.06	0.06	0.06	0.06	0.06	0.06	0.06
CLA070	5.58	17.63	0.06	0.06	0.06	0.06	0.06	0.06	0.06	0.06	0.06	0.06	0.06	0.06	0.06
CLA071	5.98	17.45	0.06	0.06	0.06	0.06	0.06	0.06	0.06	0.06	0.06	0.06	0.06	0.06	0.06
CLA072	5.98	26.46	0.05	0.05	0.05	0.05	0.05	0.05	0.05	0.05	0.05	0.05	0.05	0.05	0.05
CLA073	5.82	19.44	0.08	0.08	0.08	0.08	0.08	0.08	0.08	0.08	0.08	0.08	0.08	0.08	0.08
CLA074	6.07	18.79	0.05	0.05	0.05	0.05	0.05	0.05	0.05	0.05	0.05	0.05	0.05	0.05	0.05
CLA075	5.77	17.63	0.06	0.06	0.06	0.06	0.06	0.06	0.06	0.06	0.06	0.06	0.06	0.06	0.06
CLA076	5.91	16.8	0.07	0.07	0.07	0.07	0.07	0.07	0.07	0.07	0.07	0.07	0.07	0.07	0.07
CLA077	5.84	16.81	0.07	0.07	0.07	0.07	0.07	0.07	0.07	0.07	0.07	0.07	0.07	0.07	0.07
CLA078	5.98	16.37	0.04	0.04	0.04	0.04	0.04	0.04	0.04	0.04	0.04	0.04	0.04	0.04	0.04
CLA079	5.25	16.16	0.04	0.04	0.04	0.04	0.04	0.04	0.04	0.04	0.04	0.04	0.04	0.04	0.04
CLA080	5.97	16.5	0.03	0.03	0.03	0.03	0.03	0.03	0.03	0.03	0.03	0.03	0.03	0.03	0.03
CLA081	5.74	17.95	0.05	0.05	0.05	0.05	0.05	0.05	0.05	0.05	0.05	0.05	0.05	0.05	0.05
CLA082	5.8	15.99	0.04	0.04	0.04	0.04	0.04	0.04	0.04	0.04	0.04	0.04	0.04	0.04	0.04
CLA083	5.56	21.39	0.01	0.01	0.01	0.01	0.01	0.01	0.01	0.01	0.01	0.01	0.01	0.01	0.01
CLA084	5.56	17.14	0.05	0.05	0.05	0.05	0.05	0.05	0.05	0.05	0.05	0.05	0.05	0.05	0.05
CLA085	5.67	16.12	0.05	0.05	0.05	0.05	0.05	0.05	0.05	0.05	0.05	0.05	0.05	0.05	0.05
CLA086	5.99	15.83	0.03	0.03	0.03	0.03	0.03	0.03	0.03	0.03	0.03	0.03	0.03	0.03	0.03
CLA087	5.36	16.33	0.06	0.06	0.06	0.06	0.06	0.06	0.06	0.06	0.06	0.06	0.06	0.06	0.06
CLA088	6.09	16.76	0.05	0.05	0.05	0.05	0.05	0.05	0.05	0.05	0.05	0.05	0.05	0.05	0.05
CLA089	6.88	22.53	0.02	0.02	0.02	0.02	0.02	0.02	0.02	0.02	0.02	0.02	0.02	0.02	0.02
CLA090	6.31	17.69	0.03	0.03	0.03	0.03	0.03	0.03	0.03	0.03	0.03	0.03	0.03	0.03	0.03
CLA091	6.09	16.82	0.05	0.05	0.05	0.05	0.05	0.05	0.05	0.05	0.05	0.05	0.05	0.05	0.05
CLA092	5.9	16.99	0.05	0.05	0.05	0.05	0.05	0.05	0.05	0.05	0.05	0.05	0.05	0.05	0.05
CLA093	5.91	17.05	0.06	0.06	0.06	0.06	0.06	0.06	0.06	0.06	0.06	0.06	0.06	0.06	0.06
CLA094	6.03	21.7	0.04	0.04	0.04	0.04	0.04	0.04	0.04	0.04	0.04	0.04	0.04	0.04	0.04
CLA095	5.98	18.63	0.05	0.05	0.05	0.05	0.05	0.05	0.05	0.05	0.05	0.05	0.05	0.05	0.05
CLA096	5.98	18.39	0.06	0.06	0.06	0.06	0.06	0.06	0.06	0.06	0.06	0.06	0.06	0.06	0.06
CLA097	5.31	16.57	0.06	0.06	0.06	0.06	0.06	0.06	0.06	0.06	0.06	0.06	0.06	0.06	0.06
CLA098	5.7	17.89	0.07	0.07	0.07	0.07	0.07	0.07	0.07	0.07	0.07	0.07	0.07	0.07	0.07
CLA099	5.93	18.9	0.08	0.08	0.08	0.08	0.08	0.08	0.08	0.08	0.08	0.08	0.08	0.08	0.08
CLA100	5.2	16.37	0.05	0.05	0.05	0.05	0.05	0.05	0.05	0.05	0.05	0.05	0.05	0.05	0.05
CLA101	5.62	17.01	0.06	0.06	0.06	0.06	0.06	0.06	0.06	0.06	0.06	0.06	0.06	0.06	0.06
CLA102	5.68	17.66	0.05	0.05	0.05	0.05	0.05	0.05	0.05	0.05	0.05	0.05	0.05	0.05	0.05
CLA103	5.75	16.14	0.05	0.05	0.05	0.05	0.05	0.05	0.05	0.05	0.05	0.05	0.05	0.05	0.05
CLA104	5.51	17.13	0.04	0.04	0.04	0.04	0.04	0.04	0.04	0.04	0.04	0.04	0.04	0.04	0.04
CLA105	5.46	17.21	0.05	0.05	0.05	0.05	0.05	0.05	0.05	0.05	0.05	0.05	0.05	0.05	0.05
CLA106	5.6	17.35	0.05	0.05	0.05	0.05	0.05	0.05	0.05	0.05	0.05	0.05	0.05	0.05	0.05

**Taula 13 continuació. Resultats de les analisis de FRX.** Els valors dels elements majors, menors, de la pèrdua al foc (PAF) : del sumatori vénen expressats en tant per cent (%). En el cas dels elements tracs, en parts per milió (ppm).

	Sumatori									
	0.45	0.46	0.47	0.48	0.49	0.50	0.51	0.52	0.53	0.54
PAF	0.73	1.21	2.07	0.91	0.91	0.91	0.91	0.91	0.91	0.91
N	42	34	32	38	0.8	0.8	0.8	0.8	0.8	0.8
C	15	15	15	18	50	45	45	45	45	45
W	163	345	231	227	135	45	47	197	98	76
Zn	82	59	107	87	135	50	53	51	51	51
V	89	102	80	101	91	79	115	117	72	71
Ga	24	27	20	24	27	26	26	26	26	26
Cr	30	43	35	28	29	37	34	24	23	23
Ce	77	97	74	91	91	110	84	92	92	109
Sr	313	82	196	163	32	252	309	70	21	24
Y	11	40	29	34	24	42	47	93	93	93
Zr	182	231	200	209	159	32	171	32	222	14
Pa	27	30	30	34	32	29	29	29	29	29
CLA001	CLA032	CLA43	CLA004	CLA005	CLA006	CLA007	CLA008	CLA009	CLA010	CLA011
CLA012	CLA013	CLA014	CLA015	CLA016	CLA017	CLA018	CLA019	CLA020	CLA021	CLA022
CLA023	CLA024	CLA025	CLA026	CLA027	CLA028	CLA029	CLA030	CLA031	CLA032	CLA033
CLA034	CLA035	CLA036	CLA037	CLA038	CLA039	CLA040	CLA041	CLA042	CLA043	CLA044
CLA045	CLA046	CLA047	CLA048	CLA049	CLA050	CLA051	CLA052	CLA053	CLA054	CLA055

**Taula 13 continuació. Resultats de les analisis de FRX.** Els valors dels elements majors, menors, de la pèrdua al foc (PAF) i del sumatori vénen expressats en tant per cent (%). En el cas dels elements tracs, en parts per mil·lió (ppm).

**Taula 13 continuació.** Resultats de les analisis de FRX. Els valors dels elements majors, menors, de la pèrdua al foc (PAF) i del sumatori vénen expressats en tant per cent (%). En el cas dels elements traces, en parts per milió (ppm).

	Fe <sub>2</sub> O <sub>3</sub>	Al <sub>2</sub> O <sub>3</sub>	MnO	P <sub>2</sub> O <sub>5</sub>	TiO <sub>2</sub>	MgO	CaO	Na <sub>2</sub> O	K <sub>2</sub> O	SiO <sub>2</sub>	Ba	Rb
Fe <sub>2</sub> O <sub>3</sub>	0	0.006228	0.432971	0.184067	0.013591	0.762684	1.045121	0.281983	0.042644	0.009608	0.028723	0.02906
Al <sub>2</sub> O <sub>3</sub>	0.006228	0	0.482936	0.21438	0.007942	0.867546	1.129234	0.331602	0.068354	0.007956	0.045065	0.028657
MnO	0.432971	0.482936	0	0.203901	0.536537	0.266603	0.32062	0.21175	0.29118	0.492216	0.320327	0.374779
P <sub>2</sub> O <sub>5</sub>	0.184067	0.21438	0.203901	0	0.246101	0.460269	0.533313	0.198926	0.12927	0.218947	0.139998	0.165931
TiO <sub>2</sub>	0.013591	0.007942	0.536537	0.246101	0	0.915935	1.219565	0.363703	0.08237	0.002888	0.054926	0.048211
MgO	0.762684	0.867546	0.266603	0.460269	0.915935	0	0.25765	0.26876	0.504657	0.851004	0.562451	0.71889
CaO	1.045121	1.129234	0.32062	0.533313	1.219565	0.25765	0	0.436496	0.810369	1.145775	0.844851	0.944121
Na <sub>2</sub> O	0.281983	0.331602	0.21175	0.198926	0.363703	0.26876	0.436496	0	0.206764	0.333815	0.191337	0.224958
K <sub>2</sub> O	0.042644	0.068354	0.29118	0.12927	0.08237	0.504657	0.810369	0.206764	0	0.063636	0.022802	0.067019
SiO <sub>2</sub>	0.009608	0.007956	0.492216	0.218947	0.002888	0.851004	1.145775	0.333815	0.063636	0	0.041756	0.043733
Ba	0.028723	0.045065	0.120327	0.139998	0.054926	0.562451	0.844851	0.191337	0.022802	0.041756	0	0.039865
Rb	0.02906	0.028657	0.374779	0.165931	0.048211	0.71889	0.944121	0.224968	0.067019	0.043733	0.039865	0
Th	0.083096	0.083094	0.611479	0.329893	0.071537	0.980204	1.329773	0.443005	0.149806	0.073243	0.126506	0.134968
Nb	0.020231	0.012713	0.53573	0.252327	0.009003	0.919981	1.212135	0.372317	0.087774	0.010816	0.058613	0.050025
Pb	0.750794	0.729979	1.195221	1.076002	0.739267	1.72061	1.974214	1.08715	0.822531	0.741038	0.806432	0.730361
Zr	0.031661	0.034207	0.579084	0.275743	0.013583	0.928485	1.291881	0.401473	0.091345	0.012775	0.071446	0.086819
Y	0.017625	0.010331	0.538912	0.249306	0.006982	0.922724	1.222701	0.364792	0.085433	0.008754	0.054699	0.043587
Sr	0.318082	0.359923	0.19854	0.200473	0.407673	0.277046	0.366483	0.108011	0.229043	0.378939	0.212575	0.255403
Ce	0.027817	0.023322	0.568178	0.275074	0.018991	0.922904	1.277423	0.385153	0.088311	0.019171	0.061225	0.061316
Ga	0.010269	0.001327	0.502913	0.231409	0.008021	0.90374	1.168233	0.349843	0.078609	0.009651	0.052224	0.030391
V	0.017399	0.014912	0.532728	0.249237	0.411642	0.915039	1.247709	0.383893	0.075799	0.013302	0.062391	0.057584
Zn	0.06221	0.078076	0.280923	0.119648	0.105473	0.540599	0.775769	0.206475	0.034503	0.08557	0.045318	0.051583
Cu	0.246012	0.251364	0.499317	0.296624	0.275074	0.864347	1.036504	0.458726	0.245979	0.254361	0.231535	0.244614
Ni	0.019511	0.022003	0.433523	0.203872	0.033443	0.743773	1.024751	0.266452	0.052398	0.030593	0.033624	0.025083
Total	4.441888	4.411115	10.409969	6.45471	5.192457	17.081684	22.614692	7.877393	4.330595	4.849549	4.109691	4.460966

	Th	Nb	Pb	Zr	Y	Sr	Ce	Ga	V	Zn	Cu	Ni
Fe <sub>2</sub> O <sub>3</sub>	0.083096	0.020231	0.750794	0.031661	0.017625	0.318082	0.027817	0.010269	0.017899	0.06221	0.246012	0.019511
Al <sub>2</sub> O <sub>3</sub>	0.083094	0.012713	0.729979	0.034207	0.010331	0.359923	0.023322	0.061327	0.014912	0.078076	0.251364	0.022003
MnO	0.611479	0.53573	1.195221	0.579084	0.538912	0.19854	0.568178	0.502513	0.522728	0.280923	0.499317	0.433523
P <sub>2</sub> O <sub>5</sub>	0.329893	0.252327	1.076002	0.275743	0.249306	0.200473	0.275074	0.231409	0.249237	0.119648	0.296624	0.203872
TiO <sub>2</sub>	0.071537	0.009003	0.739267	0.013583	0.006982	0.407673	0.018991	0.008021	0.011642	0.105473	0.275074	0.033443
MgO	0.989324	0.919981	1.72061	0.928485	0.922724	0.277046	0.922904	0.900704	0.915039	0.540599	0.864347	0.743773
CaO	1.329773	1.212135	1.974214	1.291881	1.222701	0.366483	1.277423	1.168233	1.247709	0.775769	1.036504	1.024751
Na <sub>2</sub> O	0.443005	0.372317	1.08715	0.401473	0.364792	0.108011	0.385153	0.349843	0.383893	0.206475	0.458726	0.266452
K <sub>2</sub> O	0.149806	0.087774	0.822531	0.091345	0.085433	0.229543	0.088311	0.078609	0.075799	0.034503	0.245979	0.052398
SiO <sub>2</sub>	0.073243	0.010816	0.741038	0.012775	0.008754	0.378939	0.01471	0.009653	0.013302	0.08557	0.254361	0.030593
Ba	0.126506	0.05.613	0.806432	0.071446	0.054699	0.212575	0.061225	0.052224	0.063391	0.045318	0.231535	0.033624
Rb	0.134968	0.050025	0.730361	0.088319	0.043587	0.255403	0.061316	0.03091	0.05784	0.053583	0.244614	0.025083
Th	0	0.076971	0.902474	0.07056	0.079996	0.515249	0.079109	0.083471	0.05136	0.188328	0.409263	0.120536
Nb	0.076971	0	0.759616	0.023345	0.013922	0.412403	0.025136	0.01201	0.01723	0.107624	0.274695	0.03896
Pb	0.902474	0.759616	0	0.788628	0.736225	1.037253	0.753294	0.711791	0.76584	0.861175	0.788415	0.759312
Zr	0.07056	0.023945	0.788628	0	0.022115	0.477129	0.024759	0.035238	0.021579	0.134199	0.300278	0.06339
Y	0.079996	0.013722	0.731225	0.022115	0	0.404034	0.013714	0.009903	0.015711	0.103764	0.265029	0.029027
Sr	0.515249	0.412403	1.037253	0.477129	0.404034	0	0.433572	0.376955	0.437062	0.227448	0.446415	0.289532
Ce	0.079109	0.025136	0.533294	0.024759	0.013714	0.433572	0	0.023215	0.024209	0.109568	0.278788	0.038206
Ga	0.083471	0.01301	0.711791	0.035238	0.009903	0.376955	0.023215	0	0.016013	0.086519	0.259116	0.024679
V	0.075186	0.01723	0.76684	0.021579	0.015711	0.437062	0.024209	0.016018	0	0.102732	0.263732	0.03837
Zn	0.188328	0.107624	0.861175	0.134299	0.103764	0.227448	0.109568	0.086519	0.102732	0	0.245097	0.052926
Cu	0.403263	0.274495	0.788415	0.300278	0.265029	0.446415	0.278788	0.259116	0.263752	0.245097	0	0.3068
Ni	0.120536	0.03896	0.759312	0.06339	0.02902	0.289532	0.038206	0.024679	0.03837	0.052926	0.23068	0
Total	7.026567	5.304176	21.238621	5.78242	5.219286	8.369244	5.532456	4.982113	4.361823	4.607627	8.665983	4.574646

Suma total de variàncies: 183.29971

Variancia total: 3.818744

Taula 14. Matriu de variació composicional dels 106 Ic de Clunia.

	C1	C2	C3	C4
Fe <sub>2</sub> O <sub>3</sub>	0.056	0.003	-0.012	0.031
Al <sub>2</sub> O <sub>3</sub>	0.009	-0.04	-0.015	0.047
MnO	0.643	-0.07	0.744	0.114
TiO <sub>2</sub>	-0.033	-0.008	-0.011	0.021
MgO	0.877	0.281	-0.014	-0.025
CaO	1.044	-0.179	-0.031	-0.145
K <sub>2</sub> O	0.208	0.094	0.025	0.014
Ba	0.175	0.047	-0.025	0.036
Rb	0.119	-0.568	-0.036	0.107
Zr	-0.057	0.062	0.026	-0.031
Sr	0.561	-0.052	-0.191	0.138
Ce	-0.042	0.045	-0.017	0.058
V	-0.034	0.023	0.03	0.042
VE	2.687	0.141	0.102	0.076
PVE	0.8717	0.0457	0.0331	0.0246

	C1	C2	C3	C4
Fe <sub>2</sub> O <sub>3</sub>	0.053	-0.003	0.037	-0.004
Al <sub>2</sub> O <sub>3</sub>	-0.007	-0.01	0.067	0.002
MnO	0.547	0.182	0.237	0.321
TiO <sub>2</sub>	0.93	-0.024	0.012	-0.009
MgO	0.894	0.215	0.059	-0.011
CaO	0.805	0.611	0.34	0.09
K <sub>2</sub> O	0.228	0.02	0	0.02
Ba	0.178	0.018	0.05	-0.017
Rb	0.006	-0.001	0.151	0.004
Zr	-0.022	-0.033	-0.085	0.001
Sr	0.472	0.157	0.339	-0.103
Ce	-0.008	-0.082	0	-0.024
V	-0.012	0.06	-0.007	0.025
VE	2.065	0.49	0.328	0.124
PVE	0.6699	0.159	0.1061	0.0402

**Taula 15.** Taula dels coeficients dels components transformats en logaritmes de raons, emprant el SiO<sub>2</sub> com a divisor, en les components principals de les ACP realitzades. De dalt a baix: Sense rotació i amb rotació varimax.

	E1	E2	E3	E4	D1	D2
MnO	6.319	3.816	4.836	1.718	14.478	3.403
TiO <sub>2</sub>	-911.691	-976.522	-861.376	-976.591	-960.292	-876.957
MgO	-145.574	-133.624	-141.418	-134.846	-168.327	-160.82
K <sub>2</sub> O	-368.596	-343.309	-368.286	-346.122	-404.714	-408.582
Rb	-153.954	-175.073	-155.984	-179.601	-145.155	-160.145
Zr	3674.847	3567.931	3705.97	3544.759	3723.103	3673.458
V	-704.861	-681.245	-723.364	-678.406	-672.702	-677.306
Constant	-21288	-20595	-21500	-20451	-21660	-21137

	E1	E2	E3	E4	D1
E2	33.65				
E3	5.09	63.7			
E4	19.1	1.7	31.27		
D1	31.36	97.9	53.03	49.13	
D2	65.73	146.92	119.84	48.84	28.32

	VC1	VC2	VC3
MnO	-0.217	-0.644	-2.157
TiO <sub>2</sub>	-4.473	-7.923	-7.934
MgO	2.855	0.305	-2.321
K <sub>2</sub> O	6.104	0.625	-0.032
Rb	-1.254	-3.298	-1.86
Zr	7.77	17.415	-2.187
V	-2.182	5.765	-7.284
Constant	39.56	127.991	15.892
PADT	0.64334	0.929	0.99457

**Taula 16.** De dalt a baix: coeficients de les funcions discriminants. Taula F de les agrupacions preses dos a dos. Coeficients de les tres primeres variables canòniques. PADT: proporció acumulada de la dispersió total. Totes els components estan transformats a logaritmes de raons emprant el SiO<sub>2</sub> com a divisor.

## GRUP E1

	E1	E2	E3	E4	D1	D2
CLA001	5.8	31.6	7.3	41.3	64.8	67.8
CLA011	2	45.7	4.6	59.4	38.1	59.2
CLA014	3.6	40.6	8.6	52.5	40.2	60.5
CLA016	2.4	53.7	1.4	67.8	41.8	60.5
CLA019	3.4	39.3	4.5	51.1	55.5	70.7
CLA046	4.5	22.5	12.6	30.7	55.9	60.9
CLA047	2.6	49.9	6	60.4	34	51.3
CLA048	1.6	34.3	8.7	44.3	42	58.3
CLA058	3.3	41.5	12.6	54	29.2	52.5
CLA052	2.1	27.4	12	36.8	41.9	53.7
CLA063	1.4	46.4	3.4	60.2	40.9	60
CLA064	0.6	34	6.1	45.5	42.4	57
CLA095	1.2	36.6	5.6	50.1	46.3	67.5

## GRUP E2

	E1	E2	E3	E4	D1	D2
CLA003	36.3	2.2	47.5	9.1	131.5	129.1
CLA004	48.2	8.2	73	12.8	119.6	125.8
CLA020	42.4	1.1	62	2.8	125.3	115.7
CLA031	31.4	5.5	52.2	13.7	105.9	121.8
CLA071	48.4	1.9	67.2	2.6	138.8	124.8
CLA073	38.2	0.8	52.1	6.1	129.8	124.6
CLA076	35.6	0.9	49.4	6.3	126.3	122.1
CLA077	40.9	1.7	54.4	7	137.8	131.9
CLA080	40.4	0.9	57.4	2	127.9	115
CLA088	44.6	1.3	64.5	2.8	129.1	122
CLA090	36.6	0.6	54	5	121.4	118.1
CLA091	31.5	0.9	48.1	3.5	120	109.9
CLA092	22.6	8.6	30.6	15.6	98.1	94.9
CLA093	36.8	3.8	56.5	10	112.8	122.2
CLA103	45.8	4.9	58.7	4.6	141.1	117.2

## GRUP E3

	E1	E2	E3	E4	D1	D2
CLA006	3.3	38.2	2.7	52	62.3	72.1
CLA018	3.7	31.7	4.3	45.5	67.1	75.5
CLA028	1.5	41.5	4.5	54.3	39.2	59
CLA037	8.1	53.7	2.7	69.2	65	84
CLA060	3.9	53.1	2.3	71.1	46.7	73.7
CLA061	3.3	43.1	3	58.1	56	76.5
CLA067	13.7	75.5	6.7	95.6	59.5	82.5
CLA068	10.2	63.8	4.4	80.4	55.1	75.5
CLA069	3.6	41.5	1.7	57.1	5.8	79.5
CLA070	12.9	71.8	5.5	88.9	61.4	85.9
CLA074	14.9	67.6	5.3	88.2	73	92.9
CLA075	8.9	58.3	3	78	58.6	87.4
CLA079	10	61.6	1.8	77.2	65	77.6
CLA084	5.8	50.6	1.5	64.7	60.7	76.2
CLA096	3.8	50.7	1.6	67.9	48.4	71.4
CLA097	7.4	53.6	4.7	68.2	58.7	81.2
CLA098	16.4	69.1	6.8	85.2	72.3	80.1
CLA100	11.9	62.5	2.8	80.1	73.7	93.3
CLA101	9.1	66.8	4.5	82.6	50.9	67.9
CLA102	4.6	54	1.3	67.6	54.1	67.4
CLA104	12.9	62.4	3.4	79.4	76.3	85.4
CLA105	7.1	54.3	1.8	71.3	65.2	79.4
CLA106	7.2	56.3	2.5	69.7	59.6	69.6

## GRUP E4

	E1	E2	E3	E4	D1	D2
CLA078	46.5	3.4	68.1	0.3	124	104.9
CLA082	49.4	5.5	69.1	0.5	132	105.5
CLA085	44.1	2.9	65.2	0.7	119.7	104.6
CLA086	53.4	6.6	73.6	0.9	139.2	109.8

Taula 17. Distàncies de Mahalanobis dels 106 I<sub>C</sub> de Clunia als centroides de les agrupacions definides.

## GRUP D1

	E1	E2	E3	E4	D1	D2
CLA012	33.3	104.3	50.1	119.5	2.7	32.5
CLA021	51.7	142.7	64.6	151.1	4	31.6
CLA023	34.6	114.8	46.5	121	2	25
CLA025	64.5	153.8	81.6	164	6.5	50
CLA026	45.5	110.7	67.2	111.3	4.4	26.1
CLA033	56.9	148.6	71.5	157.4	1.8	36.9
CLA034	34.7	97.8	52.4	99.9	5.1	26.1
CLA039	41.7	122	60.2	126.2	1.4	26.3
CLA072	36.9	116.9	49.5	124.6	2.6	31.7
CLA094	48.6	140.9	60.3	152.2	1.9	46.1

## GRUP D2

	E1	E2	E3	E4	D1	D2
CLA002	66.8	120.2	86.6	110.2	32	12
CLA007	62.4	121.9	79.5	112.6	34.4	5.8
CLA018	58.6	111.7	80.7	102.9	24.4	4.3
CLA009	73.3	126.1	95	111.6	41.9	3.4
CLA013	60.7	112.8	75.2	97.5	48.9	5.8
CLA017	60.1	114.3	77.7	99.7	44.7	3.5
CLA022	57	111.9	72.2	98.4	42.9	3.2
CLA021	52.4	105	65.3	92.3	48.4	5.8
CLA029	65.1	107.7	83.7	92.7	50.9	5.5
CLA030	77.3	147.7	89.3	172.7	49.8	5.8
CLA032	56.2	100.3	76	87.1	39.7	4.1
CLA038	75.4	127.8	99.7	115.5	29.4	12.2
CLA040	50.8	107.3	64	96.8	40.2	3.5
CLA041	84.5	159.3	101.4	152.3	33.3	20.5
CLA042	76.1	116.4	103.2	103.4	36.9	12.6
CLA043	68.1	133.9	89.2	125.2	20.3	4.8
CLA045	62.4	121.4	82.4	109.2	29.4	7
CLA049	67.9	143.2	85.5	134	25.3	4.6
CLA050	60.2	126.2	76.9	115.9	31	2.1
CLA052	52.9	116	71.4	108	17.3	2.1
CLA053	57.5	127.4	70.8	117.8	29.6	3.9
CLA054	95.3	160.7	113.5	144.3	54.4	7
CLA056	57.1	112.8	70.6	106.8	46.1	3.1
CLA059	60.8	137.1	70.5	128.6	33.6	7.3
CLA083	40.9	112.4	51.6	111.1	28.1	21.3

## Mal classificats

	E1	E2	E3	E4	D1	D2
CLA005	6.7	56.5	6.2	74.6	49.4	72.2
CLA010	15.4	37.3	21.3	55.9	78.1	107.6
CLA015	12.6	70.5	13.2	84	39.7	71.6
CLA024	56.6	122	69.3	112.6	37.1	3.6
CLA035	9.7	64.8	10.1	77.9	31.8	47.7
CLA036	4.7	51.5	6.1	65.6	35.4	35.2
CLA044	9	56.3	16	71.2	31.2	55.5
CLA051	23.9	69.4	28.8	85.2	46	88.2
CLA055	7.1	46.5	15.6	55.7	35.7	57.3
CLA057	4.1	37.3	12.4	49.6	42.7	60
CLA065	10	60.3	8.5	81.2	51.7	81.3
CLA066	45.6	168.2	46.9	161.2	18.8	58.5
CLA081	11	65.7	3.1	83.8	61.9	78.4
CLA087	53	131.8	51.7	143.3	66.5	82.1
CLA089	33	73.5	52.3	79.1	39.2	41.3
CLA099	82.2	185.6	84.4	210.3	89	136.3

Taula 17 continuació. Distàncies de Mahalanobis dels 106  $I_C$  de Clunia als centroides de les agrupacions definides.

	Fe <sub>2</sub> O <sub>3</sub>	Al <sub>2</sub> O <sub>3</sub>	MnO	P <sub>2</sub> O <sub>5</sub>	TiO <sub>2</sub>	MgO	CaO	Na <sub>2</sub> O	K <sub>2</sub> O	SiO <sub>2</sub>	Ba	Rb
E1 (N=13)	6.08 (±0.3)	18.92 (±0.47)	0.05 (±0.005)	0.13 (±0.02)	0.78 (±0.02)	2.58 (±0.44)	6.89 (±1.2)	0.51 (±0.07)	3.97 (±0.22)	59.89 (±0.79)	536 (±63)	190 (±8)
E2 (N=15)	6.16 (±0.19)	17.39 (±0.47)	0.06 (±0.008)	0.17 (±0.03)	0.74 (±0.02)	3.98 (±0.51)	7.06 (±1.06)	0.41 (±0.04)	4.68 (±0.23)	59.16 (±1.11)	553 (±43)	149 (±9)
E3 (N=23)	5.91 (±0.23)	18.34 (±0.76)	0.06 (±0.006)	0.16 (±0.03)	0.74 (±0.02)	3.16 (±0.46)	10.7 (±1.61)	0.55 (±0.09)	3.78 (±0.28)	56.42 (±1.54)	535 (±46)	183 (±10)
E4 (N=4)	6.01 (±0.17)	16.55 (±0.21)	0.04 (±0.008)	0.16 (±0.03)	0.81 (±0.01)	2.92 (±0.08)	4.43 (±0.27)	0.43 (±0.02)	4.52 (±0.08)	63.97 (±0.5)	511 (±6)	140 (±2)
D1 (N=10)	6.21 (±0.24)	21.51 (±1.35)	0.05 (±0.007)	0.15 (±0.03)	0.82 (±0.03)	0.74 (±0.06)	4.02 (±1.08)	0.24 (±0.05)	3.17 (±0.11)	62.93 (±1.66)	429 (±39)	186 (±9)
D2 (N=25)	6.18 (±0.55)	20.79 (±1.12)	0.02 (±0.011)	0.08 (±0.03)	0.96 (±0.04)	0.48 (±0.06)	0.94 (±0.2)	0.19 (±0.05)	2.79 (±0.25)	67.44 (±1.6)	418 (±42)	157 (±10)

	Th	Nb	Pb	Zr	Y	Sr	Ce	Ga	V	Zn	Cu	Ni
E1 (N=13)	13 (±3)	19 (±1)	293 (±496)	153 (±9)	33 (±1)	258 (±14)	82 (±8)	24 (±1)	84 (±7)	88 (±4)	31 (±10)	40 (±2)
E2 (N=15)	15 (±3)	18 (±6)	26 (±11)	32 (±4)	191 (±37)	81 (±8)	22 (±1)	89 (±5)	92 (±6)	23 (±5)	34 (±2)	
E3 (N=23)	12 (±3)	17 (±1)	38 (±23)	164 (±9)	31 (±2)	338 (±49)	71 (±8)	23 (±1)	74 (±6)	92 (±7)	26 (±11)	40 (±2)
E4 (N=4)	15 (±2)	17 (±0.1)	22 (±3)	252 (±6)	31 (±1)	133 (±2)	87 (±3)	20 (±1)	92 (±3)	88 (±4)	24 (±2)	33 (±1)
D1 (N=10)	14 (±3)	21 (±2)	43 (±31)	188 (±17)	34 (±1)	123 (±12)	80 (±7)	28 (±2)	97 (±9)	99 (±5)	35 (±13)	35 (±1)
D2 (N=25)	16 (±3)	22 (±2)	62 (±41)	241 (±16)	40 (±3)	90 (±15)	90 (±13)	27 (±1)	100 (±10)	62 (±21)	25 (±17)	38 (±9)

	Fe <sub>2</sub> O <sub>3</sub>	Al <sub>2</sub> O <sub>3</sub>	MnO	P <sub>2</sub> O <sub>5</sub>	TiO <sub>2</sub>	MgO	CaO	Na <sub>2</sub> O	K <sub>2</sub> O	Ba	Rb	Th
E1 (N=13)	-2.288 (±0.047)	-1.152 (±0.032)	-6.994 (±0.085)	-6.149 (±0.167)	-4.34 (±0.025)	-3.158 (±0.167)	-2.176 (±0.185)	-4.782 (±0.117)	-2.715 (±0.056)	-7.024 (±0.114)	-8.054 (±0.042)	-10.752 (±0.311)
E2 (N=15)	-2.263 (±0.03)	-1.225 (±0.031)	-6.932 (±0.156)	-5.871 (±0.171)	-4.375 (±0.025)	-2.705 (±0.136)	-2.136 (±0.165)	-4.967 (±0.094)	-2.530 (±0.05)	-6.977 (±0.091)	-8.287 (±0.064)	-10.615 (±0.207)
E3 (N=23)	-2.256 (±0.051)	-1.124 (±0.055)	-6.909 (±0.144)	-5.9 (±0.234)	-4.329 (±0.033)	-2.891 (±0.158)	-1.673 (±0.17)	-4.635 (±0.163)	-2.705 (±0.076)	-6.964 (±0.05)	-8.035 (±0.068)	-10.781 (±0.285)
E4 (N=4)	-2.365 (±0.034)	-1.352 (±0.019)	-7.367 (±0.204)	-5.975 (±0.162)	-4.371 (±0.008)	-3.087 (±0.027)	-2.671 (±0.069)	-4.995 (±0.05)	-2.649 (±0.029)	-7.132 (±0.017)	-8.426 (±0.024)	-10.681 (±0.178)
D1 (N=10)	-2.316 (±0.056)	-1.075 (±0.086)	-7.218 (±0.15)	-5.966 (±0.165)	-4.334 (±0.034)	-4.45 (±0.094)	-2.782 (±0.273)	-5.594 (±0.229)	-2.987 (±0.058)	-7.294 (±0.105)	-8.129 (±0.07)	-10.742 (±0.291)
D2 (N=25)	-2.391 (±0.109)	-1.178 (±0.077)	-8.423 (±0.508)	-6.794 (±0.327)	-4.256 (±0.028)	-4.956 (±0.125)	-4.29 (±0.21)	-5.902 (±0.231)	-3.19 (±0.094)	-7.391 (±0.105)	-8.365 (±0.077)	-10.634 (±0.201)

	Nb	Pb	Zr	Y	Sr	Ce	Ga	V	Zn	Cu	Ni
E1 (N=13)	-10.356 (±0.072)	-8.604 (±1.343)	-8.082 (±0.041)	-9.807 (±0.04)	-7.756 (±0.134)	-8.90 (±0.1)	-10.108 (±0.053)	-8.879 (±0.088)	-8.827 (±0.049)	-9.927 (±0.324)	-9.621 (±0.058)
E2 (N=15)	-10.405 (±0.167)	-10.061 (±0.251)	-7.919 (±0.045)	-9.841 (±0.107)	-8.053 (±0.194)	-8.899 (±0.103)	-10.217 (±0.049)	-8.808 (±0.052)	-8.774 (±0.065)	-10.152 (±0.185)	-9.75 (±0.051)
E3 (N=23)	-10.382 (±0.066)	-9.693 (±0.369)	-8.142 (±0.038)	-9.818 (±0.082)	-7.13 (±0.154)	-8.957 (±0.109)	-10.098 (±0.058)	-8.945 (±0.094)	-8.727 (±0.082)	-10.101 (±0.35)	-9.562 (±0.058)
E4 (N=4)	-10.509 (±0.009)	-10.273 (±0.163)	-7.84 (±0.017)	-9.933 (±0.032)	-8.481 (±0.015)	-8.906 (±0.042)	-10.36 (±0.043)	-8.849 (±0.037)	-8.886 (±0.041)	-10.188 (±0.071)	-9.87 (±0.036)
D1 (N=10)	-10.32 (±0.097)	-9.724 (±0.462)	-8.119 (±0.067)	-9.809 (±0.036)	-8.544 (±0.096)	-8.97 (±0.061)	-10.035 (±0.08)	-8.78 (±0.105)	-8.761 (±0.058)	-9.889 (±0.434)	-9.806 (±0.05)
D2 (N=25)	-10.318 (±0.09)	-9.451 (±0.548)	-7.936 (±0.049)	-9.737 (±0.082)	-8.934 (±0.175)	-8.835 (±0.138)	-10.112 (±0.07)	-8.817 (±0.1)	-9.332 (±0.264)	-10.44 (±0.737)	-9.806 (±0.22)

**Taula 18.** En la part superior: mitjanes i desviacions estàndards per als 24 components determinats de les 6 agrupacions definides. En la part inferior: mitjanes i desviacions estàndards per als logaritmes de raons per als 24 components determinats de les 6 agrupacions definides, transformats emprant el SiO<sub>2</sub> com a divisor.

	Fe <sub>2</sub> O <sub>3</sub>	Al <sub>2</sub> O <sub>3</sub>	MnO	P <sub>2</sub> O <sub>5</sub>	TiO <sub>2</sub>	MgO	CaO	Na <sub>2</sub> O	K <sub>2</sub> O	SiO <sub>2</sub>	Ba	Rb	
Fe <sub>2</sub> O <sub>3</sub>	0	0.002147	0.00784	0.028963	0.00109	0.029907	0.048497	0.021644	0.000603	0.002172	0.016333	0.000858	
Al <sub>2</sub> O <sub>3</sub>	0.002147	0	0.009003	0.027496	0.00101	0.027371	0.03496	0.023417	0.002355	0.001003	0.01096	0.000866	
MnO	0.00784	0.009003	0	0.024369	0.006748	0.036418	0.043025	0.012725	0.006708	0.007278	0.025675	0.008734	
P <sub>2</sub> O <sub>5</sub>	0.028963	0.027495	0.024369	0	0.031021	0.064832	0.031445	0.031232	0.027583	0.028067	0.027773	0.028817	
TiO <sub>2</sub>	0.00109	0.00101	0.006748	0.031021	0	0.027262	0.040272	0.019088	0.020279	0.00614	0.015468	0.001094	
MgO	0.029907	0.027371	0.036418	0.064832	0.027262	0	0.072328	0.054976	0.033962	0.02797	0.038728	0.025044	
CaO	0.048497	0.03496	0.042325	0.031445	0.040272	0.072328	0	0.040984	0.04791	0.034096	0.034199	0.04427	
Na <sub>2</sub> O	0.021644	0.023417	0.012725	0.031232	0.019088	0.054976	0.040984	0	0.024154	0.018725	0.049365	0.025666	
K <sub>2</sub> O	0.000603	0.002355	0.008708	0.027583	0.002079	0.033962	0.04791	0.024154	0	0.003161	0.016272	0.001138	
SiO <sub>2</sub>	0.00172	0.001003	0.007278	0.023067	0.00614	0.02797	0.034096	0.018725	0.003161	0	0.013056	0.001801	
Ba	0.016333	0.01096	0.025675	0.027773	0.015468	0.03828	0.034199	0.049365	0.016272	0.013056	0	0.012083	
Rb	0.000858	0.000866	0.008734	0.028817	0.01094	0.025044	0.04427	0.025666	0.001338	0.001801	0.012083	0	
Th	0.09658	0.09104	1.802577	0.103969	0.02694	0.100602	0.097581	0.102012	0.10845	0.093703	0.086981	0.095072	0.09459
Nb	0.010974	0.006133	0.013609	0.038732	0.00612	0.017382	0.028355	0.025437	0.012884	0.005127	0.017636	0.008076	
Pb	1.789177	1.820577	1.762548	1.981.46	1.782446	2.126132	1.966884	1.77972	1.778493	1.804581	1.906532	1.81637	
Zr	0.002787	0.003591	0.005859	0.030633	0.001473	0.028919	0.040377	0.018629	0.004151	0.001671	0.01698	0.002562	
Y	0.003945	0.002496	0.004847	0.028701	0.001874	0.028268	0.034829	0.019742	0.005274	0.001596	0.013092	0.00284	
Sr	0.020788	0.016166	0.039008	0.056854	0.018832	0.021847	0.05163	0.059958	0.022927	0.018087	0.011516	0.016461	
Ce	0.014457	0.009871	0.018406	0.031508	0.011835	0.026322	0.035366	0.041537	0.016037	0.010051	0.008597	0.009517	
Ga	0.003364	0.001582	0.00923	0.032178	0.001874	0.031884	0.039747	0.027521	0.003564	0.002773	0.011629	0.001846	
V	0.004145	0.006947	0.013777	0.031238	0.005591	0.022928	0.058392	0.02115	0.00435	0.007845	0.029247	0.005603	
Zn	0.001382	0.002301	0.008326	0.031287	0.001784	0.02957	0.044911	0.023588	0.001204	0.002455	0.014649	0.001736	
Cu	0.098695	0.111928	0.097612	0.113572	0.10453	0.190168	0.151093	0.100739	0.102777	0.105076	0.131502	0.107318	
Ni	0.001054	0.00295	0.00961	0.036213	0.001599	0.028793	0.051826	0.024629	0.00123	0.003367	0.01812	0.001596	
Total	2.207421	2.215129	2.277331	2.829572	2.184107	3.09859	3.077409	2.573077	2.214718	2.197552	2.534481	2.219506	

	Th	Nb	Pb	Zr	Y	Sr	Ce	Ga	V	Zn	Cu	Ni
Fe <sub>2</sub> O <sub>3</sub>	0.09658	0.010974	1.789177	0.002787	0.003945	0.020788	0.014457	0.003364	0.004145	0.001382	0.098695	0.001054
Al <sub>2</sub> O <sub>3</sub>	0.09104	0.006133	1.820577	0.002391	0.002496	0.016166	0.008831	0.001582	0.006947	0.002301	0.111928	0.00295
MnO	0.103969	0.013609	1.762548	0.005859	0.004847	0.030633	0.018832	0.031508	0.032178	0.034238	0.031287	0.036213
P <sub>2</sub> O <sub>5</sub>	0.062694	0.038732	1.981.46	0.030633	0.028701	0.056854	0.031508	0.011635	0.001874	0.005591	0.001784	0.001599
TiO <sub>2</sub>	0.130602	0.00612	1.782446	0.001473	0.001874	0.018832	0.011635	0.016037	0.022927	0.016037	0.003564	0.00123
MgO	0.097581	0.017382	2.126132	0.028919	0.028268	0.021847	0.026322	0.031884	0.032928	0.02957	0.190168	0.028761
CaO	0.102012	0.028355	1.946884	0.040377	0.034829	0.05163	0.035366	0.039747	0.058392	0.044911	0.151093	0.051826
Na <sub>2</sub> O	0.10845	0.025437	1.77972	0.018629	0.019742	0.059958	0.041537	0.027521	0.02115	0.023588	0.100739	0.024629
K <sub>2</sub> O	0.093703	0.012884	1.776393	0.004151	0.005274	0.022927	0.016037	0.003564	0.00435	0.001204	0.102777	0.00123
SiO <sub>2</sub>	0.096981	0.008127	1.804581	0.001671	0.001596	0.018987	0.010051	0.002773	0.007845	0.002455	0.105676	0.003367
Ba	0.095072	0.017636	1.906522	0.01698	0.013092	0.011516	0.008597	0.011629	0.029247	0.014649	0.131502	0.01812
Rb	0.09459	0.008076	1.81637	0.02962	0.00284	0.016463	0.009517	0.001846	0.035603	0.001736	0.107338	0.001596
Th	0	0.105889	0	1.11215	0.111619	0.10798	0.10829	0.108284	0.089959	0.096988	0.283492	0.10649
Nb	0.105889	0	1.879122	0	0.006304	0.005045	0.015031	0.0097	0.007899	0.017895	0.009388	0.129335
Pb	2.532693	1.879122	0	1.752099	1.776439	1.995964	1.901611	1.747685	1.795988	1.788205	1.541282	1.758205
Zr	0.11215	0.006304	1.752099	0	0.001675	0.022588	0.01244	0.003109	0.008823	0.003433	0.045816	0.003303
;	0.110619	0.005045	1.776439	0.001675	0	0.02031	0.007552	0.032529	0.011988	0.004085	0.097694	0.004805
Sr	0.10798	0.011031	1.995964	0.022588	0.02031	0	0.016574	0.018672	0.032273	0.018269	0.160532	0.019457
Ce	0.10829	0.00997	1.901611	0.01244	0.007552	0.016574	0	0.039193	0.024247	0.016145	0.124845	0.016546
Ga	0.1042847	0.007899	1.747685	0.003109	0.002529	0.018672	0.009193	0	0.009126	0.003595	0.106778	0.003282
V	0.089959	0.017895	1.794988	0.008823	0.011988	0.032273	0.024247	0.009126	0	0.007301	0.117199	0.004791
Zn	0.096988	0.009388	1.788205	0.003433	0.004085	0.018699	0.016145	0.003695	0.007301	0	0.10853	0.001028
Cu	0.283492	0.129335	1.541282	0.095816	0.097694	0.160532	0.124845	0.106778	0.117199	0.10853	0	0.108689
Ni	0.10649	0.010363	1.758205	0.003303	0.004805	0.019457	0.016553	0.003282	0.004791	0.001028	0.108689	0
Total	4.906107	2.386706	42.783101	2.179772	2.190245	2.781725	2.479679	2.187445	2.342804	2.220259	4.289223	2.217952

Suma total de variàncies: 102.59391

Variació total: 2.1373731

Taula 19. Matriu de variació composicional dels 13 I<sub>C</sub> de l'agrupació E1.

	Fe <sub>2</sub> O <sub>3</sub>	Al <sub>2</sub> O <sub>3</sub>	MnO	P <sub>2</sub> O <sub>5</sub>	TiO <sub>2</sub>	MgO	CaO	Na <sub>2</sub> O	K <sub>2</sub> O	SiO <sub>2</sub>	Ba	Rb
Fe <sub>2</sub> O <sub>3</sub>	0	0.000348	0.025474	0.033667	0.002608	0.020518	0.029577	0.012262	0.001589	0.000934	0.005546	0.001842
Al <sub>2</sub> O <sub>3</sub>	0.000348	0	0.021778	0.030053	0.002434	0.01891	0.028078	0.010083	0.001638	0.000964	0.004984	0.001823
MnO	0.025474	0.021778	0	0.019477	0.024302	0.010373	0.015015	0.025287	0.022115	0.02423	0.017496	0.021217
P <sub>2</sub> O <sub>5</sub>	0.033667	0.030053	0.019477	0	0.027794	0.029549	0.01425	0.029392	0.02931	0.029257	0.028856	0.037024
TiO <sub>2</sub>	0.002608	0.002434	0.024302	0.027794	0	0.016879	0.025182	0.008553	0.004746	0.000609	0.010313	0.006801
MgO	0.020518	0.01891	0.010373	0.029549	0.016879	0	0.011954	0.025376	0.022965	0.018627	0.017443	0.01999
CaO	0.029577	0.028078	0.015015	0.01425	0.025182	0.011954	0	0.032894	0.031483	0.02719	0.021858	0.030905
Na <sub>2</sub> O	0.012262	0.010083	0.025287	0.029392	0.008553	0.025176	0.032894	0	0.012798	0.008786	0.020116	0.016342
K <sub>2</sub> O	0.001589	0.001038	0.022115	0.02931	0.004746	0.022945	0.031483	0.012798	0	0.002538	0.006835	0.002084
SiO <sub>2</sub>	0.000934	0.000964	0.02423	0.029257	0.000609	0.018627	0.02719	0.008786	0.002538	0	0.006247	0.004163
Ba	0.005546	0.004984	0.017496	0.028856	0.010313	0.017443	0.021858	0.020116	0.006835	0.008247	0	0.005224
Rb	0.001842	0.001823	0.021217	0.037024	0.006801	0.01999	0.030905	0.016342	0.030244	0.004163	0.005024	0
Th	0.044457	0.04508	0.054281	0.075465	0.036059	0.029843	0.050632	0.050358	0.055186	0.040984	0.045061	0.049771
Nb	0.0244	0.025625	0.035716	0.072073	0.029641	0.043544	0.049053	0.038122	0.02998	0.028037	0.027916	0.022181
Pb	0.063985	0.062205	0.098457	0.08687	0.064123	0.099056	0.096727	0.06057	0.06568	0.062918	0.059836	0.073455
Zr	0.003574	0.004037	0.02711	0.034187	0.001847	0.019401	0.027462	0.012679	0.007212	0.002029	0.01081	0.007195
Y	0.010374	0.008528	0.024053	0.029671	0.014272	0.035478	0.04178	0.020899	0.004908	0.011387	0.012937	0.008137
Sr	0.049384	0.039772	0.036266	0.031254	0.03479	0.023589	0.016347	0.051796	0.04686	0.037561	0.030304	0.044808
Ce	0.007839	0.007536	0.030332	0.039617	0.011102	0.026938	0.03579	0.027175	0.00923	0.010621	0.007269	0.008039
Ga	0.0009	0.000956	0.024832	0.038509	0.004252	0.020819	0.032397	0.013454	0.00252	0.002403	0.005074	0.001165
V	0.001353	0.001529	0.031321	0.039525	0.004706	0.025832	0.038204	0.01365	0.002454	0.002669	0.007827	0.002869
Zn	0.006717	0.004893	0.019155	0.020774	0.004502	0.018319	0.026113	0.007313	0.005961	0.004268	0.011789	0.009697
Cu	0.031613	0.031066	0.057405	0.048517	0.037478	0.056022	0.048213	0.030353	0.034122	0.027548	0.035996	
Ni	0.001762	0.001549	0.026024	0.036728	0.004578	0.022446	0.036808	0.012331	0.001989	0.002611	0.007817	0.002424
Total	0.37172	0.353291	0.111716	0.86182	0.377572	0.633641	0.775736	0.55871	0.399815	0.365155	0.400406	0.412912

	Th	Nb	Pb	Zr	Y	Sr	Ce	Ga	V	Zn	Cu	Ni
Fe <sub>2</sub> O <sub>3</sub>	0.044457	0.0244	0.063985	0.003574	0.010174	0.040384	0.007819	0.0009	0.001353	0.006717	0.031613	0.001762
Al <sub>2</sub> O <sub>3</sub>	0.04508	0.025625	0.062205	0.004017	0.008528	0.039772	0.007536	0.000956	0.001529	0.004893	0.031086	0.001549
MnO	0.054281	0.054716	0.098457	0.02711	0.024053	0.036266	0.030332	0.024832	0.031321	0.019155	0.057405	0.026024
P <sub>2</sub> O <sub>5</sub>	0.075465	0.072073	0.08687	0.034187	0.029671	0.031254	0.039617	0.038509	0.039525	0.020774	0.048517	0.036728
TiO <sub>2</sub>	0.036059	0.029861	0.064123	0.001847	0.014272	0.03479	0.011102	0.004252	0.004706	0.004502	0.037478	0.004578
MgO	0.029843	0.043544	0.099056	0.019401	0.035428	0.023389	0.026938	0.020819	0.025832	0.018319	0.056022	0.022446
CaO	0.050612	0.049053	0.096727	0.027462	0.04178	0.016347	0.03579	0.032397	0.038204	0.026113	0.056036	0.036808
Na <sub>2</sub> O	0.050358	0.038122	0.060593	0.012679	0.020899	0.051796	0.027175	0.013454	0.01365	0.007313	0.048213	0.012633
K <sub>2</sub> O	0.025186	0.02998	0.06568	0.007212	0.004908	0.04686	0.00923	0.00252	0.002454	0.005961	0.030353	0.001989
SiO <sub>2</sub>	0.040984	0.028037	0.062918	0.002029	0.011387	0.037561	0.010621	0.002403	0.002659	0.004248	0.034122	0.002611
Ba	0.049061	0.027916	0.099836	0.01081	0.012937	0.030304	0.007269	0.005074	0.007827	0.011789	0.027548	0.007817
Rb	0.049771	0.022181	0.073455	0.007195	0.008137	0.044808	0.008039	0.001165	0.002869	0.005697	0.035996	0.002424
Th	0	0.064412	0.108248	0.038986	0.071528	0.045817	0.045502	0.043956	0.047643	0.050133	0.086474	0.044722
Nb	0.064812	0	0.087613	0.028654	0.038965	0.067957	0.025851	0.0207	0.021893	0.034085	0.050319	0.026319
Pb	0.108248	0.087613	0	0.067065	0.06622	0.08909	0.073792	0.062838	0.061414	0.059683	0.039745	0.063375
Zr	0.031896	0.028654	0.067065	0	0.017316	0.032073	0.013039	0.004243	0.00644	0.008475	0.042831	0.006976
Y	0.071528	0.038953	0.06622	0.017316	0	0.058538	0.01431	0.039653	0.009125	0.010477	0.031959	0.007688
Sr	0.045817	0.067957	0.08909	0.032073	0.058538	0	0.044678	0.041896	0.048156	0.036469	0.063141	0.04805
Ce	0.043502	0.025851	0.073792	0.013039	0.01431	0.044678	0	0.007117	0.007956	0.01677	0.034667	0.008585
Ga	0.043956	0.0207	0.062838	0.034243	0.009653	0.041896	0.007117	0	0.001292	0.0075	0.033409	0.001911
V	0.047643	0.021893	0.061414	0.00644	0.009125	0.048156	0.007956	0.001292	0	0.007063	0.029613	0.00114
Zn	0.050133	0.034085	0.059683	0.006975	0.010477	0.036469	0.01677	0.0075	0.007063	0	0.029661	0.006618
Cu	0.086474	0.050319	0.039745	0.042831	0.031959	0.063141	0.03467	0.033409	0.02903	0.029661	0	0.029853
Ni	0.044722	0.026319	0.063375	0.006976	0.007688	0.04805	0.008585	0.001911	0.00114	0.006618	0.029853	0
Total	1.222972	0.913457	1.672924	0.422117	0.558152	1.009398	0.511756	0.381795	0.413091	0.404936	0.965483	0.402606

Suma total de variàncies: 15.101681

Variació total: 0.3146183

Taula 20. Matriu de variació composicional dels 15 I<sub>C</sub> de l'agrupació E2.

	Fe <sub>2</sub> O <sub>3</sub>	Al <sub>2</sub> O <sub>3</sub>	MnO	P <sub>2</sub> O <sub>5</sub>	TiO <sub>2</sub>	MgO	CaO	Na <sub>2</sub> O	K <sub>2</sub> O	SiO <sub>2</sub>	Ba	Rb
Fe <sub>2</sub> O <sub>3</sub>	0	0.000171	0.019547	0.055394	0.001041	0.022664	0.031398	0.03064	0.003214	0.002608	0.008495	0.001842
Al <sub>2</sub> O <sub>3</sub>	0.000171	0	0.019154	0.054628	0.001208	0.024031	0.029905	0.03184	0.003031	0.003083	0.008107	0.001838
MnO	0.019547	0.019154	0	0.091682	0.020102	0.046691	0.045282	0.042992	0.026948	0.020875	0.033405	0.023888
P <sub>2</sub> O <sub>5</sub>	0.055394	0.054628	0.091682	0	0.051756	0.079436	0.04159	0.076175	0.056415	0.054778	0.044584	0.058663
TiO <sub>2</sub>	0.001041	0.001208	0.020102	0.051756	0	0.024714	0.026992	0.026164	0.00525	0.00109	0.008549	0.002376
MgO	0.022664	0.024031	0.046691	0.079436	0.024714	0	0.037969	0.033233	0.032415	0.025098	0.031421	0.024162
CaO	0.031398	0.029905	0.045282	0.04159	0.026992	0.037969	0	0.027805	0.043369	0.029087	0.034024	0.030845
Na <sub>2</sub> O	0.03064	0.03184	0.042992	0.076175	0.026164	0.033233	0.027805	0	0.047263	0.026678	0.045875	0.027219
K <sub>2</sub> O	0.003214	0.003031	0.026948	0.056415	0.00525	0.032415	0.043369	0.047263	0	0.005807	0.006553	0.006319
SiO <sub>2</sub>	0.002608	0.003083	0.020875	0.054778	0.00109	0.025098	0.029087	0.026678	0.005807	0	0.008111	0.004661
Ba	0.008495	0.008107	0.033405	0.044584	0.008549	0.031421	0.034024	0.045875	0.006553	0.008111	0	0.012076
Rb	0.001842	0.001838	0.023888	0.058663	0.002376	0.024162	0.030445	0.027219	0.006319	0.004661	0.012076	0
Th	0.077424	0.07616	0.12476	0.097905	0.078431	0.106841	0.107784	0.102125	0.072277	0.081001	0.078401	0.067817
Nb	0.004431	0.004341	0.025709	0.064975	0.00398	0.027866	0.032122	0.03533	0.007206	0.004384	0.010401	0.005358
Ph	0.132355	0.134524	0.169556	0.213176	0.135652	0.175989	0.222611	0.176278	0.124724	0.136245	0.165807	0.12837
Zr	0.005111	0.005668	0.021968	0.059664	0.002706	0.031466	0.031138	0.028088	0.009301	0.001481	0.01166	0.006803
Y	0.005288	0.004651	0.025034	0.060676	0.005589	0.031746	0.036129	0.036108	0.004886	0.006663	0.007518	0.005871
Sr	0.023773	0.023816	0.059172	0.076845	0.023549	0.03924	0.052522	0.046347	0.023015	0.023817	0.028243	0.021901
Ce	0.009172	0.009062	0.033799	0.068985	0.011921	0.039914	0.047102	0.049845	0.007836	0.011982	0.01573	0.011922
Ga	0.000503	0.000387	0.020429	0.059441	0.001406	0.022366	0.029264	0.031233	0.003497	0.003335	0.007229	0.001504
V	0.004003	0.004808	0.031173	0.064338	0.006462	0.024628	0.045454	0.035333	0.006795	0.008934	0.017352	0.005153
Zn	0.004182	0.005104	0.025122	0.050579	0.004577	0.02181	0.03221	0.026946	0.010411	0.006791	0.012762	0.004209
Cu	0.129535	0.132018	0.15496	0.18735	0.125687	0.19516	0.199612	0.170774	0.125845	0.122844	0.128332	0.131434
Ni	0.000512	0.000443	0.019229	0.056765	0.001182	0.026141	0.030356	0.029833	0.004401	0.003338	0.009763	0.001554
Total	0.57331	0.572979	1.101478	1.720301	0.570385	1.125002	1.24417	1.184124	0.636751	0.59269	0.734422	0.585386

	Th	Nb	Pb	Zr	Y	Sr	Ce	Ga	V	Zn	Cu	Ni
Fe <sub>2</sub> O <sub>3</sub>	0.077424	0.004431	0.132355	0.005111	0.005284	0.023773	0.009172	0.00503	0.004003	0.004192	0.129535	0.000512
Al <sub>2</sub> O <sub>3</sub>	0.07616	0.004341	0.134524	0.005668	0.004651	0.023816	0.009062	0.00387	0.004808	0.005104	0.132018	0.000643
MnO	0.12476	0.025709	0.169556	0.021968	0.025034	0.059172	0.033799	0.020429	0.03173	0.025122	0.15496	0.019229
P <sub>2</sub> O <sub>5</sub>	0.097905	0.064975	0.213175	0.059664	0.060676	0.076845	0.068985	0.053941	0.064348	0.050579	0.18735	0.056765
TiO <sub>2</sub>	0.078431	0.00398	0.135652	0.002706	0.005589	0.023549	0.011921	0.001406	0.006462	0.04577	0.125687	0.001182
MgO	0.106841	0.027866	0.175989	0.031466	0.031746	0.03924	0.039914	0.022366	0.024628	0.02181	0.19516	0.026141
CaO	0.107784	0.032122	0.222611	0.031138	0.036129	0.052522	0.047102	0.029264	0.045454	0.03221	0.19612	0.030356
Na <sub>2</sub> O	0.102125	0.03533	0.176278	0.028088	0.036108	0.046347	0.049845	0.031233	0.035333	0.026946	0.170774	0.029833
K <sub>2</sub> O	0.072277	0.007206	0.124724	0.009301	0.004846	0.023015	0.007836	0.003497	0.006795	0.010411	0.125843	0.004401
SiO <sub>2</sub>	0.081001	0.004384	0.136245	0.001481	0.006663	0.023817	0.011982	0.003335	0.006934	0.006791	0.122844	0.003338
Ba	0.076401	0.010401	0.16583	0.01166	0.077518	0.028243	0.01573	0.007229	0.017352	0.012762	0.128332	0.009763
Rb	0.067817	0.005358	0.12837	0.006803	0.005871	0.021901	0.011922	0.001504	0.005153	0.004209	0.131434	0.001554
Th	0	0.085823	0.176697	0.091219	0.065978	0.083667	0.071422	0.073605	0.076487	0.226353	0.078187	
Nb	0.085123	0	0.148667	0.003946	0.006802	0.027517	0.010726	0.00437	0.010658	0.00955	0.115923	0.038314
Pb	0.176697	0.148667	0	0.16729	0.137857	0.156166	0.126022	0.140841	0.124319	0.147973	0.16516	0.135044
Zr	0.091219	0.003946	0.138729	0	0.00915	0.029567	0.0131	0.006375	0.013001	0.00926	0.106096	0.004776
Y	0.065978	0.006802	0.137857	0.00915	0	0.017598	0.01127	0.004191	0.012027	0.010278	0.122706	0.005097
Sr	0.065698	0.027517	0.156166	0.029567	0.017598	0	0.030136	0.021281	0.024792	0.02236	0.179833	0.024857
Ce	0.083667	0.010726	0.126022	0.0131	0.01127	0.030136	0	0.010439	0.013812	0.016751	0.120233	0.009936
Ga	0.071422	0.00437	0.140841	0.006375	0.004191	0.021281	0.010439	0	0.004922	0.003749	0.135618	0.009
V	0.073605	0.010658	0.124319	0.013001	0.012027	0.024792	0.013812	0.004922	0	0.007256	0.13908	0.00321
Zn	0.076487	0.00955	0.147973	0.00925	0.010278	0.02236	0.016751	0.003749	0.007256	0	0.134433	0.004747
Cu	0.226333	0.115923	0.16516	0.16696	0.122706	0.179833	0.120233	0.135618	0.13908	0.134432	0	0.125107
Ni	0.078187	0.003814	0.135044	0.004776	0.005097	0.024857	0.009936	0.0009	0.00521	0.004747	0.125007	0
Total	2.166039	0.6539	3.512585	0.640272	0.633088	1.042046	0.763364	0.579002	0.683913	0.647559	3.374773	0.581092

Suma total de variances: 25.92361

Variacio total: 0.5400756

Taula 21. Matriu de variació composicional dels 23 I<sub>C</sub> de l'agrupació E3.

Taula 22. Matríc de variació comparsional dels 4 Lc de l'agrupació EA.

	Fe <sub>2</sub> O <sub>3</sub>	Al <sub>2</sub> O <sub>3</sub>	MnO	P <sub>2</sub> O <sub>5</sub>	TiO <sub>2</sub>	MgO	CaO	Na <sub>2</sub> O	K <sub>2</sub> O	SiO <sub>2</sub>	Ba	Rb
Fe <sub>2</sub> O <sub>3</sub>	0	0.001456	0.022567	0.040972	0.001413	0.010239	0.082909	0.036158	0.001698	0.003148	0.007346	0.00095
Al <sub>2</sub> O <sub>3</sub>	0.001456	0	0.029149	0.047454	0.004985	0.013065	0.083488	0.029117	0.002245	0.007345	0.007126	0.000592
MnO	0.022567	0.029149	0	0.041822	0.01935	0.021849	0.066923	0.090601	0.02154	0.022662	0.02341	0.02539
P <sub>2</sub> O <sub>5</sub>	0.040972	0.047454	0.041822	0	0.031705	0.039835	0.081432	0.122661	0.032267	0.027179	0.036897	0.042078
TiO <sub>2</sub>	0.001413	0.004985	0.01935	0.031705	0	0.010058	0.082728	0.047328	0.002983	0.001157	0.007197	0.003164
MgO	0.010239	0.013065	0.021849	0.039835	0.010058	0	0.056459	0.062713	0.008337	0.008882	0.015714	0.011323
CaO	0.082909	0.083488	0.066923	0.081432	0.082728	0.056459	0	0.131384	0.068597	0.074669	0.084738	0.078223
Na <sub>2</sub> O	0.036158	0.029117	0.090601	0.122661	0.047328	0.062713	0.131384	0	0.043674	0.052394	0.040766	0.033428
K <sub>2</sub> O	0.001698	0.003245	0.02154	0.032767	0.002983	0.008347	0.068597	0.043674	0	0.003414	0.00854	0.001609
SiO <sub>2</sub>	0.003148	0.007345	0.022662	0.027179	0.021157	0.008882	0.074669	0.052394	0.003414	0	0.011149	0.004873
Ba	0.007346	0.007126	0.02341	0.036897	0.007197	0.015714	0.084738	0.040766	0.00854	0.011149	0	0.006273
Rb	0.000595	0.000592	0.02539	0.040278	0.00314	0.011323	0.078223	0.033428	0.001609	0.004873	0.001273	0
Th	0.087511	0.09165	0.144268	0.14042	0.086258	0.119491	0.205145	0.095284	0.09807	0.084824	0.104373	0.083991
Nb	0.00497	0.005288	0.029713	0.043503	0.00618	0.017604	0.09027	0.03495	0.006965	0.009411	0.008855	0.004039
Ph	0.208344	0.205665	0.265527	0.225852	0.220236	0.221741	0.237789	0.161128	0.207078	0.213579	0.224745	0.209985
Zr	0.013031	0.021522	0.022103	0.023766	0.006509	0.0164	0.081217	0.078373	0.014131	0.0045	0.020218	0.016113
Y	0.005117	0.009792	0.018133	0.024945	0.00167	0.009596	0.06978	0.059361	0.004786	0.001269	0.010396	0.006434
Sr	0.012845	0.014025	0.045598	0.031493	0.011846	0.023752	0.073943	0.037358	0.01286	0.00929	0.014682	0.011721
Ce	0.011904	0.017503	0.026401	0.033582	0.007977	0.010239	0.069509	0.057278	0.014123	0.006554	0.012765	0.013099
Ga	0.001716	0.000766	0.032623	0.047771	0.004816	0.013089	0.087268	0.03152	0.002545	0.006384	0.009514	0.001477
V	0.004621	0.00244	0.041281	0.051669	0.008593	0.021787	0.093712	0.019334	0.00656	0.011073	0.009544	0.003802
Zn	0.001206	0.00328	0.023411	0.035863	0.001367	0.010459	0.093383	0.043989	0.00308	0.003377	0.006214	0.002629
Cu	0.211899	0.22023	0.276269	0.148924	0.204236	0.223565	0.273201	0.224784	0.210276	0.188619	0.215082	0.218652
Ni	0.000566	0.002486	0.018369	0.036461	0.000998	0.009485	0.075295	0.041183	0.001421	0.002474	0.006408	0.001027
Total	0.372606	0.820668	1.328958	1.389048	0.772713	0.958392	2.341819	1.574764	0.778204	0.758223	0.892472	0.778808

	Th	Nb	Ph	Zr	Y	Sr	Ce	Ga	V	Zn	Cu	Ni
Fe <sub>2</sub> O <sub>3</sub>	0.087511	0.00497	0.208344	0.013031	0.005117	0.012845	0.011904	0.001716	0.004621	0.001206	0.211899	0.000566
Al <sub>2</sub> O <sub>3</sub>	0.09165	0.005288	0.205665	0.021522	0.009792	0.014025	0.017503	0.00766	0.00244	0.00328	0.22023	0.002486
MnO	0.144268	0.029713	0.265527	0.022103	0.018133	0.045598	0.026401	0.032623	0.041281	0.023411	0.276269	0.018369
P <sub>2</sub> O <sub>5</sub>	0.14042	0.043503	0.225852	0.023766	0.024945	0.01493	0.033582	0.047771	0.004816	0.008593	0.001387	0.009998
TiO <sub>2</sub>	0.086258	0.00618	0.220236	0.006509	0.00167	0.011846	0.007977	0.004816	0.00656	0.093712	0.204236	0.009998
MgO	0.119491	0.017604	0.221741	0.0164	0.009596	0.023752	0.010239	0.013089	0.021787	0.010459	0.225365	0.009485
CaO	0.205145	0.090027	0.237789	0.081217	0.06978	0.073943	0.069509	0.087268	0.093712	0.093383	0.273201	0.075295
Na <sub>2</sub> O	0.055284	0.03495	0.161128	0.078373	0.059361	0.037358	0.057278	0.03152	0.019334	0.043989	0.224784	0.041183
K <sub>2</sub> O	0.098967	0.006965	0.207078	0.014131	0.004786	0.01286	0.014123	0.002545	0.00656	0.00308	0.210276	0.001421
SiO <sub>2</sub>	0.084824	0.009411	0.213579	0.0045	0.001269	0.00929	0.006554	0.006384	0.011073	0.003377	0.188619	0.002474
Ba	0.104373	0.008855	0.224745	0.020218	0.010396	0.014682	0.012765	0.009514	0.009544	0.006214	0.215082	0.009008
Rb	0.083991	0.004039	0.209985	0.016113	0.006434	0.011721	0.013099	0.01477	0.003802	0.002629	0.216652	0.001027
Th	0	0.069673	0.242515	0.031347	0.088519	0.072319	0.079534	0.093583	0.085937	0.091392	0.215278	0.085566
Nb	0.069673	0	0.191053	0.018455	0.009707	0.014962	0.015291	0.008127	0.006623	0.005927	0.206474	0.004555
Ph	0.242515	0.191053	0	0.241494	0.230405	0.175336	0.216454	0.214937	0.183914	0.216443	0.169602	0.214079
Zr	0.081347	0.018455	0.241494	0	0.003333	0.016874	0.006442	0.020418	0.027046	0.01193	0.190506	0.0103
Y	0.088319	0.009707	0.230405	0.003333	0	0.011844	0.0064	0.00931	0.014438	0.005411	0.203157	0.033157
Sr	0.072319	0.014962	0.175336	0.016824	0.011844	0	0.011077	0.013688	0.010583	0.014625	0.142089	0.01246
Ce	0.079534	0.015291	0.216454	0.006442	0.0064	0.011037	0	0.018345	0.021367	0.011578	0.183381	0.010116
Ga	0.093583	0.008127	0.214937	0.020418	0.00931	0.013686	0.018345	0	0.002813	0.003529	0.218966	0.033171
V	0.085937	0.006623	0.183914	0.027046	0.014438	0.010583	0.021367	0.002813	0	0.007051	0.196129	0.046699
Zn	0.091392	0.005927	0.216443	0.01193	0.005411	0.014625	0.01178	0.003529	0.007051	0	0.206786	0.01941
Cu	0.215278	0.206474	0.116962	0.190506	0.203157	0.142089	0.183381	0.218966	0.196129	0.206786	0	0.214898
Ni	0.085566	0.004555	0.214079	0.0103	0.003157	0.01246	0.010116	0.003171	0.006699	0.001941	0.214898	0
Total	2.547843	0.812351	4.845263	0.945977	0.80696	0.795178	0.860879	0.847274	0.836985	0.804489	4.710161	0.763585

Suma total de variancias: 32.744024

Variació total: 0.6821671

Taula 23. Matriu de variació composicional dels 10 I<sub>c</sub> de l'agrupació D1.

	Fe <sub>2</sub> O <sub>3</sub>	Al <sub>2</sub> O <sub>3</sub>	MnO	P <sub>2</sub> O <sub>5</sub>	TiO <sub>2</sub>	MgO	CaO	Na <sub>2</sub> O	K <sub>2</sub> O	SiO <sub>2</sub>	Ba	Rb
Fe <sub>2</sub> O <sub>3</sub>	0	0.003135	0.29619	0.128349	0.012821	0.028339	0.056312	0.064929	0.016241	0.012006	0.020265	0.008247
Al <sub>2</sub> O <sub>3</sub>	0.003135	0	0.273098	0.110548	0.006784	0.022874	0.043559	0.059545	0.00871	0.005982	0.013394	0.0026
MnO	0.29619	0.273098	0	0.301433	0.24656	0.286359	0.293242	0.332345	0.282553	0.257684	0.269725	0.296341
P <sub>2</sub> O <sub>5</sub>	0.128349	0.110548	0.301433	0	0.104684	0.145158	0.058688	0.178301	0.128077	0.106759	0.13733	0.119766
TiO <sub>2</sub>	0.012821	0.006784	0.24656	0.104684	0	0.019508	0.045566	0.059837	0.011572	0.000792	0.012338	0.007399
MgO	0.028339	0.022874	0.286359	0.145158	0.019508	0	0.068565	0.062444	0.011243	0.015603	0.021556	0.016961
CaO	0.056312	0.043559	0.293242	0.058688	0.045566	0.068565	0	0.087793	0.058038	0.044095	0.06137	0.049906
Na <sub>2</sub> O	0.064929	0.059545	0.332345	0.178301	0.059837	0.062444	0.087793	0	0.074661	0.053446	0.068139	0.063448
K <sub>2</sub> O	0.016241	0.00871	0.282553	0.128077	0.011572	0.011243	0.058038	0.074661	0	0.00891	0.008691	0.003152
SiO <sub>2</sub>	0.012006	0.005982	0.257684	0.106759	0.000792	0.015603	0.044095	0.05346	0.00891	0	0.011099	0.005881
Ba	0.020265	0.013394	0.269725	0.13733	0.012338	0.021556	0.06137	0.068139	0.008691	0.011099	0	0.007881
Rb	0.008247	0.0026	0.286341	0.119766	0.007399	0.016961	0.049906	0.063448	0.003152	0.005881	0.007881	0
Th	0.048018	0.046305	0.209765	0.155786	0.037452	0.064148	0.104795	0.103374	0.059346	0.030341	0.054466	0.051768
Nb	0.02324	0.017294	0.26678	0.104409	0.007353	0.026285	0.051417	0.07288	0.014988	0.008159	0.018254	0.015973
Pb	0.275219	0.277836	0.540948	0.378051	0.296357	0.375968	0.387318	0.398412	0.313314	0.3005	0.297036	0.292062
Zr	0.018049	0.013225	0.249252	0.112003	0.002261	0.02087	0.051117	0.053559	0.018052	0.02365	0.015378	0.014074
Y	0.015079	0.007924	0.257092	0.121849	0.007663	0.019886	0.049577	0.067476	0.006857	0.06752	0.005005	0.004986
Sr	0.028645	0.027263	0.322068	0.149412	0.029776	0.057916	0.07845	0.089959	0.039398	0.030671	0.024808	0.031381
Ce	0.026996	0.017461	0.275586	0.137018	0.022556	0.028227	0.06387	0.069134	0.012562	0.019091	0.019787	0.011979
Ga	0.006697	0.000795	0.261025	0.106395	0.005349	0.020137	0.044519	0.063025	0.007883	0.004847	0.01351	0.003134
V	0.020459	0.012732	0.246141	0.125989	0.009157	0.025329	0.050843	0.072379	0.014064	0.010046	0.015123	0.011127
Zn	0.081722	0.071221	0.398614	0.218303	0.077311	0.037495	0.135707	0.138252	0.03577	0.06951	0.058077	0.052543
Cu	0.536686	0.518045	0.777889	0.463406	0.5591	0.585328	0.453763	0.53929	0.518912	0.542593	0.500634	0.518049
Ni	0.650529	0.642352	0.343383	0.181915	0.052803	0.038480	0.080294	0.110727	0.027681	0.048605	0.031496	0.03228
Total	1.776174	1.602682	7.224125	3.769617	1.626399	1.998678	2.419905	2.948009	1.684681	1.605754	1.67626	1.610948

	Th	Nb	Pb	Zr	Y	Sr	Ce	Ga	V	Zn	Cu	Ni
Fe <sub>2</sub> O <sub>3</sub>	0.048018	0.02324	0.225219	0.018049	0.015079	0.028645	0.026996	0.004697	0.020459	0.081722	0.536686	0.050529
Al <sub>2</sub> O <sub>3</sub>	0.046305	0.017294	0.277836	0.013225	0.007924	0.027263	0.017461	0.00795	0.012732	0.071221	0.518045	0.042152
MnO	0.204765	0.26678	0.540948	0.249252	0.257092	0.272068	0.275586	0.261025	0.246141	0.348614	0.777889	0.343383
P <sub>2</sub> O <sub>5</sub>	0.155786	0.104409	0.328051	0.112003	0.121849	0.149412	0.133018	0.106393	0.125989	0.218303	0.463406	0.181915
TiO <sub>2</sub>	0.037452	0.007353	0.298557	0.002261	0.007663	0.029776	0.022556	0.005349	0.009357	0.077311	0.5501	0.052803
MgO	0.064148	0.026785	0.375968	0.02087	0.019886	0.057916	0.028227	0.020137	0.025329	0.07495	0.585328	0.038481
CaO	0.104795	0.051417	0.387318	0.051117	0.049577	0.07945	0.06387	0.044519	0.050443	0.135707	0.453763	0.080294
Na <sub>2</sub> O	0.103374	0.07288	0.388412	0.053559	0.067476	0.089959	0.069134	0.063025	0.072379	0.138252	0.60329	0.110727
K <sub>2</sub> O	0.059346	0.018988	0.313314	0.018062	0.006857	0.039398	0.012562	0.007883	0.014064	0.03577	0.518912	0.027681
SiO <sub>2</sub>	0.040341	0.006159	0.3005	0.002365	0.006752	0.030672	0.019091	0.004847	0.010046	0.06951	0.542593	0.048605
Ba	0.054466	0.018254	0.297936	0.015378	0.005005	0.024808	0.009287	0.01351	0.015123	0.058077	0.500634	0.031496
Rb	0.051768	0.015973	0.292052	0.014044	0.004786	0.031381	0.011579	0.00314	0.011127	0.052543	0.518049	0.03228
Th	0	0.046618	0.273863	0.036435	0.051024	0.064505	0.058318	0.042917	0.055486	0.140883	0.723486	0.132197
Nb	0.046618	0	0.325005	0.008602	0.016092	0.041806	0.033868	0.016231	0.01685	0.082079	0.567996	0.058007
Pb	0.273863	0.315005	0	0.308298	0.294008	0.218711	0.281311	0.281261	0.341817	0.463235	0.767666	0.431195
Zr	0.036436	0.006602	0.308298	0	0.012253	0.033686	0.027568	0.011164	0.014172	0.085817	0.566463	0.062591
Y	0.051024	0.016092	0.290008	0.012253	0	0.02354	0.009524	0.007569	0.006341	0.06202	0.491272	0.028602
Sr	0.064505	0.041806	0.218711	0.033686	0.02354	0	0.0139	0.029992	0.031899	0.131561	0.481671	0.069508
Ce	0.058318	0.031868	0.281311	0.023568	0.009524	0.03139	0	0.0172	0.024708	0.05369	0.462033	0.036121
Ga	0.042917	0.016231	0.281261	0.011164	0.007569	0.029992	0.0172	0	0.012407	0.088276	0.530254	0.043782
V	0.055486	0.016985	0.341837	0.014172	0.006341	0.031899	0.024708	0.012407	0	0.077398	0.503668	0.032157
Zn	0.140883	0.082079	0.463235	0.085817	0.06202	0.131561	0.05369	0.068276	0.077398	0	0.5856	0.044127
Cu	0.723486	0.567996	0.767066	0.566463	0.491272	0.481671	0.482033	0.530254	0.503668	0.5856	0	0.422256
Ni	0.132197	0.058007	0.433195	0.062591	0.028602	0.068508	0.03642	0.043782	0.032157	0.044127	0.432256	0
Total	2.599297	1.852146	8.139454	1.737265	1.577463	2.018015	1.74812	1.586363	1.730612	3.169211	12.691698	2.402191

Suma total de variàncies = 1.205308

Variació total = 1.4834439

Taula 24. Matr u de variació composicional dels 25 I<sub>C</sub> de l'agrupació D2.

	Fe <sub>2</sub> O <sub>3</sub>	Al <sub>2</sub> O <sub>3</sub>	MnO	P <sub>2</sub> O <sub>5</sub>	TiO <sub>2</sub>	MgO	CaO	Na <sub>2</sub> O	K <sub>2</sub> O	SiO <sub>2</sub>	SO <sub>3</sub>	Cl
S-0001	6	19.5	0.1	sr	0.8	3.1	21.9	0.4	3.9	43.3	0.8	0.
	5.93	18.82	0.08	0.16	0.62	2.97	20.38	0.48	3.98	46.59	sr	sr
S-0011	5.9	17.8	0.1	sr	0.8	2.8	24.5	0.3	4.1	42.9	0.7	0.1
	5.83	17.69	0.08	0.2	0.59	2.75	21.48	0.45	4.14	46.8	sr	sr
S-0013	6.4	19.9	0.1	sr	0.9	3.3	19.2	0.7	4	45	0.5	sr
	6.32	20.13	0.08	0.15	0.68	3.44	17.75	0.77	3.69	46.99	sr	sr
S-0031	6.7	21.7	0.1	0.2	0.8	3.4	17.7	0.5	3.4	44.4	1	sr
	6.61	20.44	0.09	0.16	0.66	3.19	17.71	0.36	3.42	47.36	sr	sr
CLA001	6.3	17.4	sr	sr	0.9	3.3	7	0.5	4.1	59.6	0.6	0.1
	6.19	19.15	0.05	0.1	0.81	3.7	4.93	0.47	3.99	59.61	sr	sr
CLA008	5.8	19.4	sr	sr	1	1.5	1	0.4	3.2	67	0.7	0.1
	5.98	20.7	0.02	0.07	0.97	0.53	0.9	0.18	3.05	67.61	sr	sr
CLA011	6.2	15.9	sr	sr	0.9	2.4	6.3	0.7	3.8	63.1	0.8	0.1
	6.1	18.8	0.05	0.12	0.77	2.75	6.53	0.56	3.86	60.47	sr	sr
CLA014	5.2	17.9	sr	sr	0.8	2.7	8.6	0.5	3.5	60	0.5	0.1
	5.51	18.4	0.05	0.12	0.75	2.84	8.15	0.5	3.57	60.1	sr	sr
CLA015	5.2	17.6	sr	sr	0.7	2.2	10	0.5	3.4	59.7	0.6	0.1
	5.06	17.07	0.05	0.13	0.69	1.84	13.9	0.39	3.4	57.45	sr	sr
CLA018	5.9	17.8	sr	sr	0.7	3.1	9.8	0.6	3.6	57.6	0.6	0.1
	6.11	18.63	0.05	0.13	0.74	3.73	9.93	0.53	3.82	56.34	sr	sr
CLA027	6	19.5	sr	sr	0.9	1.4	0.9	0.4	3	67.1	0.5	0.1
	6.28	20.48	0.01	0.06	0.96	0.55	0.84	0.16	2.89	67.77	sr	sr
CLA029	5.3	20.1	sr	sr	0.9	1.4	0.9	0.5	2.8	67.4	0.5	0.2
	5.65	19.58	0.01	0.05	0.98	0.58	0.88	0.3	2.76	69.21	sr	sr
CLA035	6.2	18.9	sr	sr	0.7	2.1	11.6	0.6	3.1	56.2	0.5	0.1
	6.96	20.41	0.05	0.27	0.75	1.95	10.7	0.57	3.52	54.82	sr	sr
CLA038	5.5	17.4	sr	sr	1	1.2	1.3	0.4	2.8	69.2	1	0.2
	5.23	19.06	0.03	0.91	0.95	0.5	1.19	0.34	2.45	70.17	sr	sr
CLA039	6.4	19.5	sr	sr	0.9	1.4	3.6	0.4	3.2	65.6	0.8	sr
	6.45	21.25	0.05	0.13	0.85	0.66	3.13	0.24	3.12	64.13	sr	sr
CLA043	6.2	19.7	sr	sr	1	1.3	1.2	0.4	2.8	66.1	1.1	0.1
	6.61	22.17	0.02	0.06	0.94	0.42	1.01	0.2	2.76	65.82	sr	sr
CLA044	6.8	19.6	sr	sr	0.8	2.2	2.6	0.5	4.8	61.9	0.7	0.1
	6.89	21.52	0.05	0.1	0.84	2.12	2.05	0.38	4.73	61.31	sr	sr
CLA045	5.8	19.2	sr	sr	1	1.2	1.1	0.4	3	67.6	0.6	0.1
	6.11	20.8	0.02	0.11	0.97	0.41	0.86	0.18	2.78	67.76	sr	sr
CLA050	6.8	20.7	sr	sr	0.9	1.3	1.5	0.5	2.8	64.9	0.5	0.2
	7.16	23.09	0.01	0.07	0.91	0.44	1.05	0.18	2.74	64.35	sr	sr
CLA053	5.6	20.9	sr	sr	0.9	1.3	1.2	0.4	3.3	65.4	0.7	0.1
	6.14	20.84	0.02	0.06	0.98	0.46	0.73	0.17	2.74	67.86	sr	sr
CLA054	5.3	20	sr	sr	0.9	1.3	1	0.4	2.8	67.8	0.5	0.1
	6.09	20.45	0.01	0.07	1.03	0.38	0.79	0.13	2.46	68.59	sr	sr
CLA056	5.7	20.8	sr	sr	0.9	1.3	1.2	0.4	3.2	65.5	0.7	0.2
	5.96	20.51	0.01	0.07	0.97	0.46	0.93	0.15	2.91	68.04	sr	sr

**Taula 25.** Comparació dels resultats de les composicions de les matrius determinades per MER-EDX, en la línia superior, i FRX, en la línia inferior.

	Fe <sub>2</sub> O <sub>3</sub>	Al <sub>2</sub> O <sub>3</sub>	MnO	P <sub>2</sub> O <sub>5</sub>	TiO <sub>2</sub>	MgO	CaO	Na <sub>2</sub> O	K <sub>2</sub> O	SiO <sub>2</sub>	SO <sub>3</sub>	Cl
S-001	9.4	26.7	st	st	0.5	2.3	1.8	0.4	14.7	43.6	0.6	st
S-011	9.2	26.5	st	st	0.7	2.8	1.9	0.4	9.1	47.7	1.4	0.3
S-003	8.3	23.1	st	st	0.5	2.4	4.3	0.5	13.8	46.2	0.9	st
S-011	8.4	24.4	st	st	0.6	2.7	1.1	0.5	13.3	48	1	st
CLA001	9.9	28.9	st	st	0.7	2.1	1.9	0.6	8.5	46.3	0.9	st
CLA008	8.1	29.5	st	st	0.6	1.8	1	0.5	4.4	53.3	0.8	st
CLA011	8.7	29.5	st	st	0.6	2.2	1.9	0.6	8.3	47.3	0.9	st
CLA014	9.5	29.8	st	st	0.5	2.4	1.9	0.7	7.1	47.7	0.3	st
CLA015	8.7	27.9	st	st	0.6	2	2.7	0.7	7.1	49.8	0.4	st
CLA018	8.9	27.4	st	st	0.6	2.2	2.1	1	12.3	45.3	0.2	st
CLA027	12.4	28.4	st	st	0.7	1.7	1.5	0.4	3.6	50.6	0.7	0.2
CLA029	7.1	30.2	st	st	0.6	2	1.1	0.7	4.1	53.6	0.6	0.1
CLA035	8.8	28.3	st	st	0.6	1.9	2.7	1	11.2	44.9	0.6	st
CLA038	11.2	71	st	st	0.7	1.5	1	st	4.7	48.8	1.3	st
CLA040	8.8	29.4	st	st	0.6	1.6	1.4	st	4	53	1.3	st
CLA043	9.5	30.4	st	st	0.7	1.5	1.4	st	4.1	51.1	1.2	st
CLA044	10.9	29	st	st	0.7	2.2	1.6	0.5	4.3	50	0.8	st
CLA045	9.6	30.1	st	st	0.8	1.8	1.6	0.5	3.7	51.3	0.6	0.1
CLA050	9.1	31.1	st	st	0.6	2.1	1.1	0.6	3.7	51.1	0.5	st
CLA053	11.8	27.6	st	st	0.7	1.6	1.4	0.4	3	52.7	0.6	0.3
CLA054	9.7	30.6	st	st	0.7	1.8	1.3	0.5	3.4	51.5	0.5	0.1
CLA056	9.9	28.5	st	st	0.7	1.9	1.3	0.5	2.6	53.9	0.5	0.3
CLA064	9.5	29.4	st	st	0.6	2.3	1.7	0.7	5.6	49.5	0.4	0.2
CLA076	9.4	28.9	st	st	0.6	2.3	2.8	0.7	9.7	45.3	0.3	st
CLA082	9.1	30.1	st	st	0.7	2	1.8	0.7	4.78	47.8	0.6	st
CLA084	8.5	28.1	st	st	0.6	2.1	2.7	0.8	3.3	47.6	0.6	st
CLA086	9	29.9	st	st	0.6	1.9	1.8	0.7	7.1	47.8	0.9	st
CLA088	8.7	28.4	st	st	0.5	2.4	2	0.6	3.3	48.5	0.6	st
CLA090	9.4	29.1	st	st	0.6	2.4	2.4	0.5	8.3	46.6	0.5	st
CLA092	9.6	29.5	st	st	0.6	2.2	1.9	0.7	8.2	46.9	0.5	st
CLA094	9.6	30.4	st	st	0.7	2	1.6	0.5	4.4	53.5	0.1	0.2
CLA096	9	30.5	st	st	0.7	2.1	1.5	0.8	9.2	46.1	st	st
CLA099	7.8	27.9	st	st	0.6	2.3	1.6	0.5	13.1	44.3	st	st
CLA100	9.1	29.3	st	st	0.7	1.9	0.9	0.9	11.6	45	0.7	st
CLA103	9.1	29.4	st	st	0.6	2.2	1.7	0.6	10.2	45.8	0.3	st
CLA104	8.3	29.7	st	st	0.5	2.2	2.4	1	11.8	43.5	0.6	st

**Taula 26.** Composició dels vernissos ceràmics determinats per MER-EDX.

**Composició química del vernis de la mostra S-0001, utilitzat per a calcular la penetració dels raigs X en el vernis argilós de les ceràmiques antigues:**

S-0001	Fe <sub>2</sub> O <sub>3</sub>	Al <sub>2</sub> O <sub>3</sub>	MnO	P <sub>2</sub> O <sub>5</sub>	TiO <sub>2</sub>	MgO	CaO	Na <sub>2</sub> O	K <sub>2</sub> O	SiO <sub>2</sub>	SO <sub>3</sub>	Cl
	9.4	26.7	0.7	0.5	0.5	2.1	1.8	0.4	14.7	42.6	0.6	0.7

Profunditats, en  $\mu\text{m}$ , a la que penetren el 96% dels raigs X incidents sobre un vernis argilós de densitat relativa 2.5, 3, 3.5 i 4 g/cm<sup>3</sup> (la seva composició química essent igual a la de la mostra S-0001), segons si l'angle gamma és igual a  $2\theta$  o si pren un valor diferent fent incidència rasant ( $1^\circ$ ,  $2^\circ$  i  $5^\circ$ ):

	10	20	30	40	50
<b>Gamma=2θ</b>					
2.5	8.172	17.13	25.62	33.87	41.98
3	7.178	14.41	21.35	28.04	34.68
3.5	6.16	12.278	18.3	24.13	29.71
4	5.10	10.676	16	21.04	25.97
<b>Gamma=1°</b>					
2.5	3.1	1.24	3.32	3.35	3.36
3	2.592	2.71	2.8	2.81	2.81
3.5	2.218	2.34	2.37	2.4	2.4
4	1.942	2.05	2.08	2.103	2.105
<b>Gamma=2°</b>					
2.5	5.53	6.24	6.41	6.5	6.59
3	4.63	5.19	5.36	5.46	5.53
3.5	3.95	4.45	4.58	4.68	4.74
4	3.47	3.88	4	4.1	4.11
<b>Gamma=5°</b>					
2.5	8.671	12.93	14.23	14.99	15.2
3	7.217	10.819	12	12.454	12.807
3.5	6.16	9.275	10.25	10.675	10.929
4	5.10	8.089	8.896	9.311	9.608

**Taula 27.** Taula de profunditat de penetració, en  $\mu\text{m}$ , del 96% dels raigs X, per una matèria amb la composició química del vernis de l'L. S-0001 i amb les densitats de 2.5, 3, 3.5 i 4 g/cm<sup>3</sup>, emprant un angle d'incidència  $2\theta$  o un angle d'incidència rasant de 1, 2 o 5°C, en les posicions de 10, 20, 30, 40 i 50°2θ.

	Var 1	Var 2	Var 3	Var 4	Var 5	Var 6	Var 7	Var 8	Var 9	Var 10	Var 11	Var 12	Var 13	Var 14	Var 15	Var 16	Var 17	Var 18	Var 19
S-0001	2	1	1	1	1	1	1	1	1	1	1	1	1	1	1	1	1	1	1
S-0002	2	2	1	1	1	1	1	1	1	1	1	1	1	1	1	1	1	1	1
S-0003	6	5	5	5	5	5	5	5	5	5	5	5	5	5	5	5	5	5	5
S-0004	2	5	5	5	5	5	5	5	5	5	5	5	5	5	5	5	5	5	5
S-0005	2	1	1	1	1	1	1	1	1	1	1	1	1	1	1	1	1	1	1
S-0006	2	2	4	4	4	4	4	4	4	4	4	4	4	4	4	4	4	4	4
S-0007	4	4	4	4	4	4	4	4	4	4	4	4	4	4	4	4	4	4	4
S-0008	4	4	4	4	4	4	4	4	4	4	4	4	4	4	4	4	4	4	4
S-0009	5	5	5	5	5	5	5	5	5	5	5	5	5	5	5	5	5	5	5
S-0010	5	5	5	5	5	5	5	5	5	5	5	5	5	5	5	5	5	5	5
S-0011	5	5	5	5	5	5	5	5	5	5	5	5	5	5	5	5	5	5	5
S-0012	5	5	5	5	5	5	5	5	5	5	5	5	5	5	5	5	5	5	5
S-0013	5	5	5	5	5	5	5	5	5	5	5	5	5	5	5	5	5	5	5
S-0014	5	5	5	5	5	5	5	5	5	5	5	5	5	5	5	5	5	5	5
S-0015	5	5	5	5	5	5	5	5	5	5	5	5	5	5	5	5	5	5	5
S-0016	2	1	1	1	1	1	1	1	1	1	1	1	1	1	1	1	1	1	1
S-0018	2	20	20	20	20	20	20	20	20	20	20	20	20	20	20	20	20	20	20
S-0021	2	1	1	1	1	1	1	1	1	1	1	1	1	1	1	1	1	1	1
S-0022	2	16	16	16	16	16	16	16	16	16	16	16	16	16	16	16	16	16	16
S-0024	10	10	10	10	10	10	10	10	10	10	10	10	10	10	10	10	10	10	10
S-0025	5	5	5	5	5	5	5	5	5	5	5	5	5	5	5	5	5	5	5
S-0026	5	5	5	5	5	5	5	5	5	5	5	5	5	5	5	5	5	5	5
S-0027	19	19	19	19	19	19	19	19	19	19	19	19	19	19	19	19	19	19	19
S-0028	5	5	5	5	5	5	5	5	5	5	5	5	5	5	5	5	5	5	5
S-0029	10	10	10	10	10	10	10	10	10	10	10	10	10	10	10	10	10	10	10
S-0030	5	5	5	5	5	5	5	5	5	5	5	5	5	5	5	5	5	5	5
S-0031	2	2	2	2	2	2	2	2	2	2	2	2	2	2	2	2	2	2	2
S-0032	2	6	6	6	6	6	6	6	6	6	6	6	6	6	6	6	6	6	6
S-0033	5	5	5	5	5	5	5	5	5	5	5	5	5	5	5	5	5	5	5
S-0034	2	4	4	4	4	4	4	4	4	4	4	4	4	4	4	4	4	4	4
S-0035	2	7	7	7	7	7	7	7	7	7	7	7	7	7	7	7	7	7	7
S-0036	2	6	6	6	6	6	6	6	6	6	6	6	6	6	6	6	6	6	6
S-0037	2	6	6	6	6	6	6	6	6	6	6	6	6	6	6	6	6	6	6
S-0038	5	5	5	5	5	5	5	5	5	5	5	5	5	5	5	5	5	5	5
S-0039	6	6	6	6	6	6	6	6	6	6	6	6	6	6	6	6	6	6	6
S-0040	2	20	20	20	20	20	20	20	20	20	20	20	20	20	20	20	20	20	20
S-0041	4	4	4	4	4	4	4	4	4	4	4	4	4	4	4	4	4	4	4
S-0042	2	4	4	4	4	4	4	4	4	4	4	4	4	4	4	4	4	4	4
S-0043	2	4	4	4	4	4	4	4	4	4	4	4	4	4	4	4	4	4	4
S-0044	2	6	6	6	6	6	6	6	6	6	6	6	6	6	6	6	6	6	6
S-0045	2	5	5	5	5	5	5	5	5	5	5	5	5	5	5	5	5	5	5
S-0046	2	5	5	5	5	5	5	5	5	5	5	5	5	5	5	5	5	5	5
S-0054	2	12	12	12	12	12	12	12	12	12	12	12	12	12	12	12	12	12	12
S-0055	2	12	12	12	12	12	12	12	12	12	12	12	12	12	12	12	12	12	12

**Taula 28.** Taula de les 15 variables nominals per als 1<sub>i</sub> J'Abella inclosos en el càlcul de la matríu de distàncies amb la distància entre individus estadístics.

**Taula 29.** Taula de les 15 variables nominals per als  $I_C$  de Clunia inclosos en el càlcul de la matriu de distàncies amb la distància entre individus estadístics.

A scatter plot showing the relationship between Var 1 and Var 15. The x-axis is labeled "Var 1" and ranges from 0 to 12. The y-axis is labeled "Var 15" and ranges from 1 to 15. Data points are represented by small black dots. A dashed horizontal line is drawn at y=8. A solid diagonal line represents the identity line (y=x).

The data points show a strong positive correlation, with most points falling along or slightly below the identity line. There is a notable cluster of points around Var 1 = 10 and Var 15 = 10, and another cluster around Var 1 = 12 and Var 15 = 12.

**Taula 29 continuació.** Taula de les 15 variables nominals per als 1<sup>er</sup> de Clunia inclosos en el càlcul de la matriu de distàncies amb la distància entre individus estadístics.

	Var. 1	Var. 2	Var. 3	Var. 4	Var. 5	Var. 6	Var. 7	Var. 8	Var. 9	Var. 10	Var. 11	Var. 12	Var. 13	Var. 14	Var. 15
CLA100	2	3	12	1	1	2	18	18	4	4	2	2	7	7	7
CLA101	2	3	3	3	1	2	1	18	18	4	4	2	2	7	4
CLA102	2	1	6	12	1	1	1	18	18	4	4	2	2	7	4
CLA103	2	1	6	1	1	2	1	2	2	2	2	2	1	1	1
CLA104	2	3	12	3	1	2	2	18	21	11	11	2	2	4	7
CLA105	2	3	7	1	1	2	7	20	22	2	2	2	2	5	5
CLA106	2	3	7	3	1	1	2	2	2	4	4	2	2	1	5
305/042	2	2	12	1	1	1	1	3	2	2	10	7	1	1	1
598/007	2	2	13	1	3	1	6	2	2	4	4	1	1	1	1
598/008	2	3	12	1	12	1	5	3	3	6	6	2	2	3	3
620/001	2	1	12	12	12	6	4	2	2	4	14	1	1	1	1
622/015	2	3	12	3	1	2	5	3	3	4	4	1	1	1	1
233/008	2	3	7	1	12	2	6	1	1	4	4	1	1	1	1
233/014	2	1	12	3	2	2	4	1	1	7	7	1	1	1	1
233/031	2	3	3	1	1	2	4	3	3	4	4	1	1	1	1
274/019	2	2	6	3	1	4	2	3	26	4	4	2	2	1	5
278/003	2	1	12	1	3	6	5	2	2	4	4	1	1	1	1
474/063	2	2	6	1	1	2	5	2	2	11	11	2	2	1	1
474/068	2	1	12	12	3	2	1	1	1	4	4	2	2	1	1
474/096	2	1	3	1	1	2	1	1	1	4	4	2	2	1	1
474/104	2	3	3	1	1	1	1	1	1	4	4	2	2	1	1
474/162	2	1	12	3	3	2	8	1	1	4	4	2	2	1	1

**Taula 29 continuació.** Taula de les 15 variables nominals per als I<sub>e</sub> de Clunia inclosos en el càlcul de la matriu de distàncies amb la distància entre individus estadístics